

524

1975



საქართველოს სსრ
მეცნიერებათა აკადემია

АМЯДЕК
СООБЩЕНИЯ

АКАДЕМИИ НАУК
ГРУЗИНСКОЙ ССР

BULLETIN
OF THE ACADEMY OF SCIENCES
OF THE GEORGIAN SSR

№ 277 ТОМ

№ 2

ФЕВРАЛЬ 1975

თბილისი • ТБИЛИСИ • TBILISI

საქართველოს სსრ
მეცნიერებათა აკადემიის
ამჟამადეს

СООБЩЕНИЯ
АКАДЕМИИ НАУК
ГРУЗИНСКОЙ ССР

BULLETIN
OF THE ACADEMY OF SCIENCES
OF THE GEORGIAN SSR

1976

ტომი 77 თომ

№ 2

თებერვალი 1975 ФЕВРАЛЬ

თბილისი • ТБИЛИСИ • TBILISI

ქ. ბოჭეთ სახ. საქ. მუნ.
სახელმწიფო 1/12

ს ა რ ე დ ა კ ც ი ღ ბ ი ღ ბ ი ღ

- ა. ბოჭორიშვილი, თ. გამურელიძე, პ. გამურელიძე, ი. გეგინებშვილი (მთ. რედაქტორის
მოადგილი), თ. დავითაძე, ს. ღურიმიძე, ა. თაველიძე, ნ. კუბაველი,
ვ. კუპრაძე, ნ. ლანდია (მთ. რედაქტორის მოადგილი), ვ. მახალიაძე,
გ. მელიქიშვილი, ნ. მუსხელიშვილი, ვ. ოკუფავა ა. ცაგარელი,
გ. ცაგარელი, ე. ხარაძე (მთ. რედაქტორი), გ. ხელიშვილი,
ნ. ჯავახიშვილი

РЕДАКЦИОННАЯ КОЛЛЕГИЯ

А. Т. Бочоришвили, П. Д. Гамкелидзе, Т. В. Гамкелидзе, И. М. Гигинейшвили
(зам. главного редактора), Ф. Ф. Давитая, Н. А. Джавахишвили,
С. В. Дурмисидзе, Н. Н. Кецховели, В. Д. Купрадзе, Н. А. Ландиა
(зам. главного редактора), В. В. Махадиани, Г. А. Меликишвили,
Н. И. Мухелишвили, В. М. Окуджава, А. Н. Тавхелидзе,
Е. К. Харадзе (главный редактор), Г. Р. Хуцишвили,
А. Л. Цагарели, Г. В. Цицишвили

პასუხისმგებელი მდივანი გ. მახარაძე
Ответственный секретарь Г. Е. Махарадзе

ნელმოწერილია დასაბეჭდად 28.2.1975; ჟუვ. № 90; ანაწყობის ზომა 7×12;
ქაღალდის ზომა 70×108; ფიზიკური ფერცვალი 16; სააღრიცხვო-საგამომცემლო
ფერცვალი 18,5; ნაბეჭდი ფერცვალი 22,5; უ. 11059; ტირაჟი 1850

* * *

Подписано к печати 28.2.1975; зак. № 90; размер набора 7×12; размер
бумаги 70×108; физический лист 16; уч.-издательский лист 18,5; печатный
лист 22,5; УЭ 11059; тираж 1850

* * *

გამომცემლობა „მეცნიერება“, თბილისი, 380060, კუტუზოვის ქ., 19
Издательство «Мецнериба», Тбилиси, 380060, ул. Кутузова, 19

* * *

საქ. სსრ მეცნ. აკად. სტამბა, თბილისი, 380060, კუტუზოვის ქ., 19
Тип. АН Груз. ССР, Тбилиси, 380060, ул. Кутузова, 19

శిక్షణ పాత్రాలు

పాఠ్య పుస్తకాలు

*మ. గ్రాహాద్రీ. అనాలోటుర ఫ్రెంచ్ విషయాల బ్రాంచ్ కు ప్రాథమిక పాఠ్య పుస్తకాల లిస్టు	275
*ఏండ్రోల్-సార్తార్ న. ఎంబ్రూన్. స్క్రింగ్ రాఫ్టిస్ గాన్సోగాట్టెబ్లులో ఫ్రెంచ్ విషయాల ప్రాథమిక పాఠ్య పుస్తకాలు	280
*శ. గౌర్వగాద్రీ. నెచ్చుంగ్ కెప్పి క్రింగ్ న. గాల్ మిల్లేజ్ రాఫ్టిస్ గాన్సోగాట్టెబ్లులో ఫ్రెంచ్ విషయాల ప్రాథమిక పాఠ్య పుస్తకాలు	283
*ట. రంగాన్ధికాద్రీ. నీటు ప్రాథమిక పాఠ్య పుస్తకాల లిస్టు	288
*ప్ర. కొట్టింగ్ నాన్. క్రీప్ మాటల్ బ్రాంచ్ కు ప్రాథమిక పాఠ్య పుస్తకాలు	291
*ప్ర. డాఫాగాద్రీ. శ్రీ. గ్రెండా షెపిల్స. సింటోమార్ట్రిఅర్ ప్రాథమిక పాఠ్య పుస్తకాలులో మహావాల్గుమ్చింమిల్లేబింగ్ గాన్సోగాట్టెబ్లులో ఫ్రెంచ్ విషయాల ప్రాథమిక పాఠ్య పుస్తకాలు	295
*ప్ర. ప్రాథిలింగంగ. ట్రైటోల్ ప్రాథమిక పాఠ్య పుస్తకాలులో ఫ్రెంచ్ విషయాల ప్రాథమిక పాఠ్య పుస్తకాలు	300
*ప్ర. గ్రంగంల్ నా. గ్రెంసు ప్రాథమిక పాఠ్య పుస్తకాలులో ఫ్రెంచ్ విషయాల ప్రాథమిక పాఠ్య పుస్తకాలు	303
*ప్ర. కెలాంగ్ ద్రీ. ఫ్రెంచ్ — ప్రాథమిక పాఠ్య పుస్తకాలులో ఫ్రెంచ్ విషయాల ప్రాథమిక పాఠ్య పుస్తకాలు	307
*ప్ర. కెలాంగ్ ప్రోల్. మిట్టార్ ప్రాథమిక పాఠ్య పుస్తకాలులో ఫ్రెంచ్ విషయాల ప్రాథమిక పాఠ్య పుస్తకాలు	311
*ప్ర. నెసింగ్. క్రింగ్ ప్రాథమిక పాఠ్య పుస్తకాలులో ఫ్రెంచ్ విషయాల ప్రాథమిక పాఠ్య పుస్తకాలు	315
పాఠ్య పుస్తకాల లిస్టు	
*ప్ర. నాసా ష్టోల్. జీ. శ్రుంతింగ్. భ. శ్రుంతింగ్. ప్రాథమిక పాఠ్య పుస్తకాలులో ఫ్రెంచ్ విషయాల ప్రాథమిక పాఠ్య పుస్తకాలు	320
*ప్ర. మింజ్ లాంగ్. జీఎర్జీస్. ష్టార్కమ్మెంస్ ప్రాథమిక పాఠ్య పుస్తకాలులో ఫ్రెంచ్ విషయాల ప్రాథమిక పాఠ్య పుస్తకాలు	323
పాఠ్య పుస్తకాల లిస్టు	
*ప్ర. భింగాల్ ష్టోల్. రామిల్ ప్రాథమిక పాఠ్య పుస్తకాలులో ఫ్రెంచ్ విషయాల ప్రాథమిక పాఠ్య పుస్తకాలు	328
పాఠ్య పుస్తకాల లిస్టు	
*ప్ర. ప్రాథమిక పాఠ్య పుస్తకాలులో ఫ్రెంచ్ విషయాల ప్రాథమిక పాఠ్య పుస్తకాలు	331
*ప్ర. ప్రాథమిక పాఠ్య పుస్తకాలులో ఫ్రెంచ్ విషయాల ప్రాథమిక పాఠ్య పుస్తకాలు	335
పాఠ్య పుస్తకాల లిస్టు	
*ప్ర. కోన్గాద్రీ. నామాలాంగ్. గ్రంగ్లోబ్స్ పాఠ్య పుస్తకాల లిస్టు	339

* వాస్కెస్క్లాప్పింగ్ విషయాల పాఠ్య పుస్తకాలులో ఫ్రెంచ్ విషయాల ప్రాథమిక పాఠ్య పుస్తకాలు.



მარკანათა ცოდნებისა

- * ଦ. ତାଙ୍କେ ଲାପେ (ସାଫ୍ଟରକ୍ୱେଲ୍ସ ସିଲର ମେଚ୍‌ନ. ଏକାର୍ଥମୋଳ ପ୍ରେରଣ-କର୍ମକାଳୀକରଣଦ୍ୱାରି), ବ. ଡ୍ୱେମ୍‌ପୁର୍ବ ରୀତିଶ୍ଵର ଲୋକ, ବ. ଡାକ୍‌ଗିରିତାଶ୍ଵର ଲୋକ. ସାଫ୍ରର୍ଯୁଲ୍ୱ ମରୁଭିତାରୀ-ମହାପ୍ରାଚୀନ ମେଘା-ବିଶ୍ଵବିଦ୍ୟୁତି ପରିଯାନ କରିବାରେ ପ୍ରକାଶିତ ହେବାରେ

ଓଡ଼ିଆ ଲେଖକ

- * კ. ბ ი ლ ა შ ვ ი ლ ი . წ ყ ა ლ ე ქ ე შ ა უ ე რ დ ღ ბ ზ ე ზ ვ ა ვ ე ბ ი ს ფ ი რ მ ი რ ე ბ ი ს ა დ გ ა ნ ვ ი თ ა რ ე ბ ი ს ზ ღ ვ ი რ თ ს ს ა კ ი თ ხ ი 404

აპტომატური მართვა და განვითარებითი ტექნიკა

- *8. ၆၁။ ၂၀၁၅ ခုနှစ်၊ မြန်မာနိုင်ငြန်ရေးဝန်ကြီးချုပ်၊ အပါဒ်မြတ်သွေ့လုပ် မြို့ပြန်မြောက်မြောက် ပုဂ္ဂန်မြောက်မြောက် ပုဂ္ဂန်မြောက်မြောက်

ნიაზაგობოდენგა

- * კ. ლომინე, მ. ბერძენიშვილი. ოქტომვენის მუზეუმ-ჩეზილ-ნარების ნიაღავების ჰუცუსის შედეგნილობა 415

- * 8. მინდელი მასალები კანგოს კავკასიონის ტყის უმტრალი ნიაღვების შესწავლისათვის 420

8080303081

- *რ. ჩ უ ბ ი ა ნ ი შ ვ ი ლ ი. კორომის სხვადასხვა იარსებში ფორმირებული აღმოსავალეთის წიფლის ფორმისინთზური სისტემის მორფოლოგიურ-აატომიკური დახმარება

ପ୍ରକାଶକ

- * కుండల గ్రామం, నెఱ్లుండి, నొఱదుగ్గిల్లాబడిన ప్రాంతమేళిల్లా దా వ్యవసాయిలు ఉన్నారు. ఈ ప్రాంతమేళిల్లా దా వ్యవసాయిలు ఉన్నారు. 428

- *8. გამ ცემლი ი. სუბპრეზიდური სარტყლის მცენარეთა ზოგიერთი ბიუჯეთობრივი თავისებურების შესახებ 431

მცხვენარისთა ფილიალების

- * გ. ელენ ტ. ზრდის ენდოკარდიური რევალუტორების დინამიკა ზამთრის ვეგეტაციის
შექმნების ზოგიერთ ბალანსურ მცენარეში

გენეტიკა და სოლერონა

3. ნაცყიდვაში ის. საქართველოს მაგარი ხორბლის ჯიში (*T. durum V. caeruleascens*) ჰიბრიდული ქონდარბის გენები 437

აფარისებრი და ცენტრალური ფინანსობრივი

- *^a. ტიპ ჩენკო, გ. ბერძენი. ბოცვერის გარეულ დაწესებულების სხეულის ვენტრალური ბირთვის აღირებული კავშირების ელექტროგაფიით გამოყენებულ შესწავლა 443

- *6. კი კნატე. თავის ტურის ელექტრული აქტოვბის დინამიკა ძილის სხვადასხვა დაზღვის რენტგენის სხივების ზემოქმედების შემთხვევა

- * კ. მალოლეტნევი, ზ. თელია. ფიზიული დატენირვის გაცლენა ადამიანის ლაბის ძილზე 45.

- * 8. ბუთხეული, ვ. ბერიშვილი, ა. ჩხარტიშვილი. ტეკილის ქვევითი და ელექტრული გამოცვინების ცელილებები ღვიძილისა და ძილის სხვადასხვა ფაზის ღრმი

СОДЕРЖАНИЕ

МАТЕМАТИКА

М. И. Гварадзе. О пространствах $B(p, q, \lambda)$ аналитических функций	273
Абдель-Саттар А. Дабур. Об обобщенной группе Стирода	277
З. Г. Горгадзе, Нгуен Зуй Тиен. О компактности семейства гауссовских мер в пространствах Орлича последовательностей	281
Т. А. Торонджадзе. Построение обновляющего процесса для одного класса процессов Ито	285
Г. Г. Кипиани. О системах сходимости	289
В. В. Бадагадзе, Ш. М. Гелашвили. О равномерной сходимости явных двухслойных разностных схем повышенной точности для многомерного уравнения теплопроводности	293
В. А. Фришлинг. Об асимптотическом порядке точности оценок плотности распределения в точке	297
М. П. Григория. О задаче Гурса для гиперболической системы с сильной сингулярностью	301
Ш. В. Хеладзе. О расходимости всюду рядов Фурье—Уолша	305
Т. В. Кадеишвили. К теории гомологии главных расслоений	309
А. Г. Осидзе. Об одной статистике для проверки сложной гипотезы относительно вида спектральной плотности стационарного гауссовского случайного процесса	313

МЕХАНИКА

С. В. Иасашвили, К. З. Шубитидзе, Н. Г. Шумов. Спектр когерентности механических и гидродинамических параметров ядра потока жидкости центробежного насоса	317
М. Ш. Микеладзе. Теория образования корки при непрерывной разливке стали на установках овального типа	321

ТЕОРИЯ УПРУГОСТИ

Л. П. Бицадзе. Смешанная задача статики термоупругого трансверсального изотропного слоя	325
---	-----

КИБЕРНЕТИКА

Г. М. Бегалишвили. Некоторые замечания о достаточных условиях существования оптимального управления	329
Б. И. Церцвадзе. Один рекуррентный метод построения неполных сбалансированных блок-схем	333

ФИЗИКА

Л. В. Кикнадзе, Ю. Г. Мамаладзе. Кинетика накопления вихрей в колеблющемся гелии II	337
---	-----

* Заглавие, отмеченное звездочкой, относится к резюме статьи.



Г. Т. Адамашвили, Чан Хань Май. Электронно-ядерная кросс-релаксация при наличии спинов трех сортов	341
В. Г. Цицишвили, Э. И. Федин. Магнитная релаксация протонов воды, обусловленная спин-вращательным взаимодействием	345
Т. Г. Гачечиладзе, Г. Ш. Киртадзе. Распределение Вигнера для собственных значений компонент оператора спина $\frac{1}{2} \hbar$	349
ГЕОФИЗИКА	
Н. Г. Хатиашвили. К механизму экстремума электрического потенциала при деформации кристаллов LiF	353
АНАЛИТИЧЕСКАЯ ХИМИЯ	
Л. Л. Каракашвили, А. Г. Данелия, Н. А. Куциава, В. Д. Эристави. Исследование кинетики сорбции скандия, иттрия и лантана на анионитах АВ-17 и АВ-16 динамическим методом	357
ОБЩАЯ И НЕОРГАНИЧЕСКАЯ ХИМИЯ	
А. Е. Швелашивили, А. И. Квиташвили, М. Н. Канделаки, Э. А. Микеладзе. Кристаллическая структура дихлордиэтилендиамирийдий (III) хлорида	361
Н. Д. Каландадзе, В. Н. Гапринашвили. Кинетика термического разложения сульфата меди	365
ФИЗИЧЕСКАЯ ХИМИЯ	
Р. Н. Ахобадзе, Л. Ф. Уткина, Т. А. Теплицкая. Квазилинейчатые спектры флуоресценции и поглощения бензо-(В)-нафто-(2,3-d)-тиофена, 7-метил-бензо-(В)-нафто--(2,3-d)-тиофена и 9,10-дигидро-7-метил-бензо-(В)-нафто-(2,3-d)-тиофена.	369
М. В. Мамаладзе, Е. М. Нанобашвили. Исследование γ -радиолиза водных растворов арсенитов	373
ФИЗИЧЕСКАЯ ГЕОГРАФИЯ	
Ч. П. Джанелидзе, И. С. Микадзе. Свидетельства средневюрмской трансгрессии в верхнеплейстоценовых отложениях Колхидской низменности	377
ГИДРОЛОГИЯ	
Г. С. Метревели. Исследование течений в прибрежной зоне Грузии	381
ПЕТРОЛОГИЯ	
Т. Ш. Гогишвили, И. Б. Кипиани. Фация красных криноидных известняков и продукты кислого вулканализма в лейасе Локского массива (Юго-Восточная Грузия)	385
СТРОИТЕЛЬНАЯ МЕХАНИКА	
Н. П. Булия. Новый метод расчета пологих оболочек с отверстием	389
МЕТАЛЛУРГИЯ	
Г. Н. Звиададзе, Н. В. Чхиквадзе, Ю. И. Пуларини. Достижение максимальной степени восстановления хлоридов лантана и церия при вакуумтермическом процессе получения лигатур алюминий-лантан и алюминий-церий	393

МАШИНОВЕДЕНИЕ	
Д. С. Тавхелидзе (член-корреспондент АН ГССР), Н. В. Демуришвили, Н. С. Давиташвили. К вопросу кинематического исследования сферического кривошипно-ползунного механизма	397
 160	
ГИДРОТЕХНИКА	
К. А. Билашвили. Некоторые вопросы формирования и развития подводных наносных лавин	401
 161	
АВТОМАТИЧЕСКОЕ УПРАВЛЕНИЕ И ВЫЧИСЛИТ. ТЕХНИКА	
М. Н. Налбандян. Класс кодов, исправляющий многократные асимметрические ошибки	405
О. К. Хомерики, Г. Я. Штейнберг. Об одном методе компенсации погрешности, вызванной магниторезистивным эффектом в датчиках Холла	409
 162	
ПОЧВОВЕДЕНИЕ	
Д. В. Ломидзе, М. Г. Бердзенишвили. Состав гумуса почв дубово-грабовых лесов Восточной Грузии	413
М. Г. Миндели. Материалы к изучению бурых лесных почв Кахетинского Кавказиона	417
 163	
ЛЕСОВОДСТВО	
Р. И. Чубианишвили. Морфолого-анатомическая характеристика фотосинтезирующих систем буков восточного, сформировавшихся в разных ярусах древостоя	421
 164	
БОТАНИКА	
Г. В. Кацелаки, Н. С. Мелия. Процесс двойного оплодотворения в скрещиваниях пшеницы с рожью при различных способах опыления	425
З. Г. Гамцемидзе. О некоторых биоэкологических особенностях растений субнивального пояса	429
 165	
ФИЗИОЛОГИЯ РАСТЕНИЙ	
Г. В. Жгенти. Динамика природных регуляторов роста некоторых зимневегетирующих растений	433
 166	
ГЕНЕТИКА И СЕЛЕКЦИЯ	
* П. П. Наскидашвили. Гены гибридной карликовости в сорте грузинской твердой пшеницы (<i>T. durum v. caeruleascens</i>)	438
 167	
ФИЗИОЛОГИЯ ЧЕЛОВЕКА И ЖИВОТНЫХ	
А. С. Тимченко, Г. Г. Берадзе. Электрофизиологическое изучениеafferентных связей вентрального ядра наружного коленчатого тела кролика	441
Н. Р. Кикнадзе. Динамика электрической активности мозга в различных фазах сна после облучения рентгеновскими лучами	445
В. И. Малолетнев, З. А. Телия. Влияние физических нагрузок на иночный сон человека	449
С. М. Бутхузи, В. Г. Беришвили, А. Г. Чартишвили. Изменение поведенческих и электрических проявлений боли во время бодрствования и в разных фазах сна	453

БИОФИЗИКА

- | | | |
|---|---|-----|
| Д. А. Ониани, Б. А. Ломсадзе, А. Н. Қудрин, Л. Н. Воробьев. | Влияние биогенных аминов на подвижность протоплазмы в клетках | |
| | харовых водорослей <i>Nitella Syncarpa</i> | 457 |
| В. В. Тевдорадзе. | Электрическая спектроскопия кожи лягушки | 461 |

БИОХИМИЯ

- | | | |
|---|--|--------------------------------------|
| *М. Ш. Гордезиани, Д. Ф. Кинцурashvili. | Энергетическая эффективность трансаминационного и дегидрогеназного путей окисления глютамата в | |
| | листьях виноградной лозы | 468 |
| Ж. А. Инанешивили, Д. В. Гогисванидзе, М. А. Бокучава | (член-корреспондент АН ГССР). | Об образовании стабильного комплекса |
| | свекольно-чайного красителя и продолжительности процесса стабилизации | 469 |

МИКРОБИОЛОГИЯ И ВИРУСОЛОГИЯ

- | | | |
|------------------------------------|------------------------------|-----|
| Д. В. Таркашвили, Т. А. Даташвили. | Фитоауксины в бобово-ризоби- | |
| | альном симбиозе | 473 |

ЭКСПЕРИМЕНТАЛЬНАЯ МОРФОЛОГИЯ

- | | | |
|--|---|-----|
| Р. Д. Чхеидзе. | Обмен нуклеиновых кислот в клетках внутренних органов | |
| | у животных с высокой фистулой кишечника | 477 |
| Т. А. Чурадзе. | Структурные изменения нейронов в ядрах переднего отдела | |
| | гипоталамуса при экспериментальной пневмонии | 481 |
| М. Г. Лордкипанидзе, Л. А. Тевдорадзе, В. А. Ахобадзе. | Электроэнцефалографический контроль эффективности лечения острых, тяже- | |
| | лых черепно-мозговых травм различными видами обезболивания | 485 |

ЯЗЫКОЗНАНИЕ

- | | | |
|--------------------|---|-----|
| *Л. Ш. Гегечкори. | Опытное обучение взрослых иноязычной речи по интен- | |
| | сивному курсу | 492 |
| Д. Д. Свани. | К вопросу генетивной конструкции в сирийском | |
| * Д. А. Грикурова. | К вопросу о характере порядка слов в грузинском пред- | |
| | ложении | 500 |

ИСТОРИЯ

- | | | |
|--|---|-----|
| Л. И. Маруашвили, А. А. Бурчуладзе, Г. И. Тогонидзе. | «Перекинутые бревна» Главной галереи Цщхвавской пещерной системы, их радио- | |
| | углеродный возраст и историческое значение | 501 |

ЭТНОГРАФИЯ

- | | | |
|-----------------------|---|-----|
| * Т. Ш. Цагареишвили. | Специфические хозяйствственные постройки для молочных | |
| | продуктов в Нижней Картли | 507 |

CONTENTS*

MATHEMATICS

M. I. Gvaradze. On $B(p, q, \gamma)$ spaces of analytic functions	276
Abdel-Sattar A. Dabour. On a generalization of Steenrod's homology group	280
Z. G. Gorgadze, Nguen Zuy Tien. On the compactness of a family of Gaussian measures in Orlicz sequence spaces	283
T. A. Toronjadze. On the construction of the innovation process for one class of Ito processes	288
G. G. Kipiani. On the systems of convergence	291
V. V. Badagadze, Sh. M. Gelashvili. On the uniform convergence of explicit two-layer difference schemes of multiple precision for the multivariate equation of heat conductivity	295
V. A. Frishling. On the asymptotic order of the precision of estimates of the density function at a point	300
M. P. Grigolia. On the Goursat problem for a hyperbolic system with strong singularity	303
Sh. V. Kheladze. On everywhere divergence of Fourier-Walsh series	307
T. V. Kadeishvili. On the homology theory of the principal fibre spaces	311
A. G. Osidze. On one statistics to verify the complex hypothesis of the spectral density of a Gaussian stationary random process	315

MECHANICS

S. V. Iashashvili, K. Z. Shubitidze, N. G. Shumov. Investigation of the coherence spectrum of mechanical and hydrodynamic parameters of the core of the centrifugal pump fluid flow	320
M. Sh. Mikelladze. Theory of crustification in continuous steel-casting on oval installations	324

THEORY OF ELASTICITY

L. P. Bitsadze. A mixed boundary value problem of the statics of a thermo-elastic transversely isotropic layer	328
--	-----

CYBERNETICS

G. M. Begalishvili. Some remarks on the sufficient conditions for the existence of optimal control	332
B. I. Tserتسадзе. One recurrent method of constructing incomplete balanced block diagrams	335

* A title marked with an asterisk refers to the summary of the article.



PHYSICS

L. V. Kiknadze, Yu. G. Mamaladze. Kinetics of vortex pumping in oscillating helium II	340
G. T. Adamashvili, Chan Khan Mai. Electron-nuclear cross-relaxation in the presence of spins of three kinds	344
V. G. Tsitsishvili, E. I. Fedin. Magnetic relaxation of water protons due to spin-rotational interaction	348
T. G. Gatchetchiladze, G. Sh. Kirtadze. Wigner distribution for eigenvalues of $1/2$ h spin operator components	352

GEOPHYSICS

N. G. Khatiashvili. On the mechanism of the extremum of the electrical potential at the deformation of crystals of <i>Lif</i>	356
---	-----

ANALYTICAL CHEMISTRY

L. L. Kashakashvili, A. G. Danelia, N. A. Kutsiava, V. D. Eristavi. Investigation of the kinetics of sedimentary sorption of Scandium, Yttrium and Lanthanum on anion exchangers by the dynamic method	360
--	-----

GENERAL AND INORGANIC CHEMISTRY

A. E. Shvelashvili, A. I. Kvitalashvili, M. N. Kandelaki, E. A. Mikeladze. Crystalline structure of dichlorodiethylenediamineiridium (III) chloride	364
N. D. Kalanadze, V. N. Gaprindashvili. Kinetics of thermal decomposition of copper sulphate	368

PHYSICAL CHEMISTRY

R. N. Akhobadze, L. Ph. Utkina, T. A. Teplitskaya. Quasi-linear spectra of fluorescence and absorption of benzo-(B)-naphtho-(2,3-d)-thiophene, 7-methyl-benzo-(B)-naphtho-(2,3-d)-thiophene and 9,10-dihydro-7-methyl-benzo-(B)-naphtho-(2,3-d)-thiophene	372
M. V. Mamaladze, E. M. Nanobashvili. Investigation of γ -radiolysis of aqueous solutions of arsenites	376

PHYSICAL GEOGRAPHY

Ch. P. Janelidze, I. S. Mikadze. On the evidence of the Middle Würmian transgression in the Upper Pleistocene deposits of the Kolkheti lowland	379
--	-----

HYDROLOGY

G. S. Metreveli. A study of Georgia's coastal zone currents	383
---	-----

PETROLOGY

T. Sh. Gogishvili, I. B. Kipiani. The facies of red limestones and products of oxidized volcanism in Liassic sediments of the Lok massif	387
--	-----

PHYSICS

- L. V. Kiknadze, Yu. G. Mamaladze. Kinetics of vortex pumping in oscillating helium II 340
- G. T. Adamashvili, Chan Khan Mai. Electron-nuclear cross-relaxation in the presence of spins of three kinds 344
- V. G. Tsitsishvili, E. I. Fedin. Magnetic relaxation of water protons due to spin-rotational interaction 348
- T. G. Gatchetchiladze, G. Sh. Kirtadze. Wigner distribution for eigenvalues of $1/2$ h spin operator components 352

GEOPHYSICS

- N. G. Khatiashvili. On the mechanism of the extremum of the electrical potential at the deformation of crystals of *Lif* 356

ANALYTICAL CHEMISTRY

- L. L. Kashakashvili, A. G. Danelia, N. A. Kutsiava, V. D. Eristavi. Investigation of the kinetics of sedimentary sorption of Scandium, Yttrium and Lanthanum on anion exchangers by the dynamic method 360

GENERAL AND INORGANIC CHEMISTRY

- A. E. Shvelashvili, A. I. Kvitalashvili, M. N. Kandelaki, E. A. Mikeladze. Crystalline structure of dichlorodiyethylenediamineiridium (III) chloride 364
- N. D. Kalanadze, V. N. Gaprindashvili. Kinetics of thermal decomposition of copper sulphate 368

PHYSICAL CHEMISTRY

- R. N. Akhobadze, L. Ph. Utkina, T. A. Teplitskaya. Quasi-linear spectra of fluorescence and absorption of benzo-(B)-naphtho-(2,3-d)-thiophene, 7-methyl-benzo-(B)-naphtho-(2,3-d)-thiophene and 9,10-dihydro-7-methyl-benzo-(B)-naphtho-(2,3-d)-thiophene 372
- M. V. Mamaladze, E. M. Nanobashvili. Investigation of γ -radiolysis of aqueous solutions of arsenites 376

PHYSICAL GEOGRAPHY

- Ch. P. Janelidze, I. S. Mikadze. On the evidence of the Middle Würmian transgression in the Upper Pleistocene deposits of the Kolkheti lowland 379

HYDROLOGY

- G. S. Metreveli. A study of Georgia's coastal zone currents 383

PETROLOGY

- T. Sh. Gogishvili, I. B. Kipiani. The facies of red limestones and products of oxidized volcanism in Liassic sediments of the Lok massif 387

STRUCTURAL MECHANICS

- N. P. Bulia. A new method of calculation of a gently inclined perforated casing 392

METALLURGY

- G. N. Zviadadze, N. V. Chkhikvadze, I. I. Pulariani. Attainment of the maximal degree of reduction of lanthanum- and cerium chlorides by the vacuumthermical process of obtaining the ligature of aluminium-lanthanum and aluminium-cerium 396

MACHINE BUILDING SCIENCE

- D. S. Tavkhelidze, N. V. Demurishvili, N. S. Davitashvili. Toward a kinematic study of crank and slider spherical mechanisms 400

HYDRAULIC ENGINEERING

- K. A. Bilashvili. Some questions of the formation and development of avalanches on submarine slopes 404

AUTOMATIC CONTROL AND COMPUTER ENGINEERING

- M. N. Nalbandian. Class of codes correcting multiple asymmetric errors 407

- O. K. Khomeriki, G. Ya. Steinberg. On one method of compensating errors caused by the magnetoresistive effect in Hall generators 412

SOIL SCIENCE

- D. V. Lomidze, M. G. Berzenishvili. Humus composition of oak and hornbeam forest soils in eastern Georgia 416

- M. G. Mindeli. Materials for studying the brown forest soils of the Kakhetian portion of the Greater Caucasus Range 420

FORESTRY

- R. I. Chkhubianishvili. Morpho-anatomical characteristic of the photosynthesizing systems of European beech formed in various layers of a stock 424

BOTANY

- G. V. Kandelaki, N. S. Melia. Double fertilization in crossing wheat and mountain rye, using different pollination methods 428

- Z. G. Gamtselidze. On some bioecological peculiarities of plants of the subnival belt 431

PLANT PHYSIOLOGY

- G. V. Zhgenti. The dynamics of natural growth regulators of some winter-vegetative plants 435



GENETICS AND SELECTION

- P. P. Naskidashvili. Genes of hybrid dwarfness in the Georgian durum wheat variety (*T. durum v. caeruleascens*) 438

HUMAN AND ANIMAL PHYSIOLOGY

- A. S. Timchenko, G. G. Beradze. Electrophysiological study of the afferent connections of the ventral nucleus of the lateral geniculate body in rabbits 443
- N. R. Kiknadze. Effects of X-irradiation on the dynamics of the brain electrical activity during different phases of sleep 448
- V. I. Maloletnev, Z. A. Telia. The influence of exercise on the night sleep in man 452
- S. M. Butkhuzi, V. G. Berishvili, A. G. Chkhartishvili. On the changes of behavioral and electrical manifestations of pain during wakefulness and different phases of sleep 456

BIOPHYSICS

- J. A. Oniani, B. A. Lomsadze, A. N. Kudrin, L. N. Vorobyov. Effects of biogenic amines on the protoplasm motility in the *Nitella Syncarpae* cells 460
- V. V. Tevdoradze. Electrical spectroscopy of the frog's skin 463

BIOCHEMISTRY

- M. Sh. Gordziani, D. F. Kintsurashvili. Energetic effectiveness of the transaminase and the dehydrogenase ways of glutamate oxidation in vine leaves 468
- Zh. A. Inaneishvili, J. V. Gogisvanidze, M. A. Bokuchava. On the formation of a stable complex of beef-tea dye-stuff and the duration of the stabilization process 471

MICROBIOLOGY AND VIROLOGY

- D. V. Tarkashvili, T. A. Datashvili. Phytoauxins in leguminous-rhizobium symbiosis 476

EXPERIMENTAL MORPHOLOGY

- R. D. Chkheidze. Metabolism of nucleic acids in cells of internal organs of animals with intestinal high fistulae 480
- T. A. Churadze. Structural changes of neurons in the nuclei of the anterior portion of the hypothalamus in experimentally induced pneumonia 483

EXPERIMENTAL MEDICINE

- M. G. Lordkipanidze, L. A. Tevdoradze, V. A. Akhobadze. EEG control of the treatment effectivity of acute, grave craniocerebral traumas with various types of pain-killing 487

LINGUISTICS

L. Sh. Gegechkori. Experimental intensive course of teaching foreign languages to grown-ups	492
D. D. Svani. Concerning the genitive construction in Syriac	496
D. A. Grikurova. Concerning the character of word order in the Georgian sentence	500

HISTORY

L. I. Maruashvili, A. A. Burchuladze, G. I. Togonidze. "The cross-beams" in the main gallery of the Tsutskhyati cave complex, their radiocarbon dating and historical value	504
---	-----

ETHNOGRAPHY

T. Sh. Tsagareishvili. Specific economic buildings for milk products in "Kvemo Kartli" (Lower Kartli)	507
---	-----

МАТЕМАТИКА

М. И. ГВАРАДЗЕ

О ПРОСТРАНСТВАХ $B(p, q, \lambda)$ АНАЛИТИЧЕСКИХ ФУНКЦИЙ

(Представлено членом-корреспондентом Академии Б. В. Хведелидзе 19.6.1974)

Пусть $0 < p < q \leq \infty$, $0 < \lambda \leq \infty$. Обозначим через $B(p, q, \lambda)$ пространство функций, аналитических в круге $|z| < 1$, для которых

$$\int_0^1 (1 - r)^{\lambda(1/p - 1/q) - 1} M_q^\lambda(r, f) dr < \infty,$$

где

$$M_q(r, f) = \left\{ \frac{1}{2\pi} \int_0^{2\pi} |f(re^{i\theta})|^q d\theta \right\}^{1/q}.$$

При $q, \lambda \geq 1$ пространства $B(p, q, \lambda)$ являются банаховыми пространствами, в остальных случаях—пространствами Фреше.

Известно, что $H^p \subset B(p, q, \lambda)$ при $\lambda \geq p$ (см. [1]). Пространство $B(p, 1, 1)$ совпадает с пространством B^p (см. [2]).

1. При $0 < \lambda < \infty$ для максимума модуля $M(r, f)$ на окружности $r(0 \leq r < 1)$ функции $f \in B(p, q, \lambda)$ имеем неулучшаемую оценку: $M(r, f) = o((1-r)^{-1/p})$ при $r \rightarrow 1$.

Теорема 1. а) Пусть функция $f, f(z) = \sum a_n z^n$, принадлежит $B(p, q, \lambda)$. Тогда $a_n = o(n^{1/p - 1/q})$ при $q \geq 1$ и $a_n = o(n^{1/p - 1})$ при $q < 1$.

б) Если комплексные числа $a_n (n = 1, 2, \dots)$ удовлетворяют условию $|a_n| \leq Cn^\alpha$, где $\alpha < 1/p - 1/q - 1/2$ при $q < 2$, и $\alpha < 1/p - 1$ при $q \geq 2$, то функция $f, f(z) = \sum a_n z^n$, при любом $\lambda (0 < \lambda \leq \infty)$ принадлежит $B(p, q, \lambda)$.

При любом $\lambda (0 < \lambda < \infty)$ существует функция f , такая, что тейлоровские коэффициенты удовлетворяют условию $|a_n| \leq Cn^\alpha$, где $\alpha = 1/p - 1/q - 1/2$ при $q < 2$ и $\alpha = 1/p - 1$ при $q \geq 2$, но не принадлежит $B(p, q, \lambda)$.

Искрывающее описание тейлоровских коэффициентов функции $f \in B(p, q, \lambda)$ получается в случае лакунарности ряда Тейлора функции f .

Теорема 2. Пусть даны $q \geq 1$, $0 < \lambda \leq \infty$, $\frac{n_{k+1}}{n_k} \geq d > 1$ и последовательность комплексных чисел $\{a_k\}_1^\infty$. Тогда следующие три условия эквивалентны:

$$(a) \sum |a_k|^{\lambda} n_k^{\lambda(1/q-1/p)} < \infty,$$

$$(b) \sum a_k z^{n_k} \in B(p, q, \lambda),$$

(c) существует функция f , $f(z) = \sum b_n z^n$, из $B(p, q, \lambda)$, такая, что $b_{n_k} = a_k$.

При $q < 1$ ряд $\sum |b_{n_k}|^{\lambda} n_k^{\lambda(1-1/p)}$ сходится, как только $\sum b_n z^n \in B(p, q, \lambda)$. Результат окончательный в том смысле, что при любых $q < 1$ и $s > 1$ существует функция f , $f(z) = \sum b_n z^n$, из $B(p, q, \lambda)$, такая, что $\sum |b_{n_k}|^{\lambda} n_k^{\lambda(s-1/p)} = \infty$. Если ряд $\sum |a_k|^{\lambda} n_k^{\lambda(1/q-1/p)}$ сходится, то $\sum a_k z^{n_k} \in B(p, q, \lambda)$.

2. В этом пункте сформулируем теорему об отношении пространств $B(p, q, \lambda)$ с разными индексами.

Теорема 3. а) Имеет место строгое включение $B(p_1, q_1, \lambda_1) \subset B(p, q, \lambda)$ если $p_1 \geq p$, $q_1 \leq q$, $\lambda_1 \leq \lambda$ и хотя бы одно неравенство строгое.

б) Пусть $1/p - 1/q > 1/p_1 - 1/q_1$, $p < p_1$ и $0 < \lambda \leq \infty$. Тогда $B(p_1, q_1, \infty) \subset B(p, q, \lambda)$. Вложение строгое. Существует функция f , такая, что при любом λ ($0 < \lambda \leq \infty$) принадлежит пространству $B(p, q, \lambda)$, но не принадлежит $B(p_1, q_1, \infty)$.

в) $1/p - 1/q = 1/p_1 - 1/q_1$, $p < p_1$ и $0 < \lambda \leq \infty$. Тогда $B(p_1, q_1, \lambda) \subset B(p, q, \lambda)$. Существует функция f из $B(p, q, \lambda)$, не принадлежащая $B(p_1, q_1, \infty)$. При любом λ ($\lambda_1 > \lambda$) существует функция f из $B(p_1, q_1, \lambda_1)$, не принадлежащая $B(p, q, \lambda)$.

г) $1/p - 1/q < 1/p_1 - 1/q_1$, $p < p_1$. Тогда при любом λ ($0 < \lambda \leq \infty$) существует функция f из $B(p, q, \lambda)$, не принадлежащая $B(p_1, q_1, \infty)$, и при любом λ ($0 < \lambda \leq \infty$) существует функция f из $B(p_1, q_1, \lambda)$ не принадлежащая $B(p, q, \infty)$.

д) $p = p_1$, $q < q_1$, $0 < \lambda < \infty$. Тогда существует функция f из $B(p, q_1, \lambda)$, не принадлежащая $B(p, q, \infty)$, и обратно, существует функция f из $B(p, q, \infty)$, не принадлежащая $B(p, q_1, \lambda)$.

3. В статье [1] доказано, что если $f \in H^p$, то $f_{(\alpha)} \in H^s$, где $\alpha = 1/p - 1/s$. Обратное утверждение неверно. Для функций $f \in H^\infty$ функция $f^{(\alpha)}$ может не принадлежать H^p ни при каком $p > 0$. В статье [2] показано, что для пространств B^p справедливо и обратное утверждение; именно эта теорема справедлива и для пространств $B(p, q, \lambda)$.

Теорема 4а. Если $0 < \lambda \leq \infty$ при $0 < q \leq \infty$, то функция f принадлежит пространству $B(p, q, \lambda)$ тогда и только тогда, когда $f_{(\alpha)} \in B(s, q, \lambda)$, где $1/p - 1/s = \alpha < 1/p - 1/q$. При $\alpha \geq 1/p - 1/q$ из того, что функция $f \in B(p, q, \lambda)$ ($\lambda \leq q$ при $q < 1$ и $\lambda \leq 1$ при $q \geq 1$), имеем $f_{(\alpha)} \in H^s$, где $s = \frac{p}{1-\alpha p}$. Обратное утверждение неверно.

Поскольку $H^s \subset B(s, q, s)$ при любом $q > s$, то по теореме 4а дробная производная $f^{(a)}$ функции $f \in H^s$ будет принадлежать пространству $B(p, q, s)$,

где $s = \frac{p}{1 - \alpha p}$. Существует функция f из H^2 , дробная производная (порядка $\alpha = 1/p - 1/2$) которой ни при каком $\lambda < 2$ не принадлежит $B(p, 2, \lambda)$. Пространство $B(p, 2, 2)$ есть пространство дробных производных $f^{(a)}$ порядка $\alpha = 1/p - 1/2$ функций f из H^2 . Существует функция f из $H^s (s > 2)$, дробная производная (порядка $\alpha = 1/p - 1/s$) которой ни при каком $\lambda < \frac{s}{s-1}$ не принадлежит $B(p, s, \lambda)$.

Пусть $E = \{n_k\}$, где $\frac{n_{k+1}}{n_k} \geq d > 1$. Обозначим через $B_E(p, q, \lambda)$ пространство функций f из $B(p, q, \lambda)$, для которого тейлоровские коэффициенты $a_n = 0$ при $n \neq n_k$.

Теорема 4в. Если $0 < \lambda \leq \infty$ и $1 \leq q < \infty$, то функция f принадлежит пространству $B_E(p, q, \lambda)$ тогда и только тогда, когда $f_{(a)} \in E B_E(p, s, \lambda)$, где $0 < \alpha = 1/q - 1/s$.

Теорему 2 можно сформулировать в терминах дробного интеграла:

пусть $q \geq 1$, $0 < \lambda \leq \infty$ и $\frac{n_{k+1}}{n_k} \geq d > 1$. Для того чтобы функция f принадлежала пространству $B_E(p, q, \lambda)$, необходимо и достаточно, чтобы последовательность тейлоровских коэффициентов функции $f_{(a)}$ ($\alpha = 1/p - 1/q$) принадлежала пространству l^λ (пространство последовательностей $\{l_n\}$, для которых $\sum |l_n|^\lambda < \infty$).

Тбилисский государственный университет

(Поступило 20.6.1974)

გათიშვილია

მ. გვარაძე

ანალიზურ ვუნდიათა $B(p, q, \lambda)$ სიცრციების ჯესახის

რეზიუმე

განხილულია $|Z| < 1$ შრეში განსაზღვრულ ანალიზურ ფუნქციათა $B(p, q, \lambda)$ სიცრცეები. ჩამოყალიბებულია თეორემა ამ სიცრცეების დამოკიდებულებაზე p, q, λ ინდექსებზე. მოტანილია აუცილებელი და საქმარისი პირობები იმისა-თვის, რომ ფუნქცია f ექვთვნოდეს განხილულ სიცრცეებს.

M. I. GVARADZE

ON $B(p, q, \lambda)$ SPACES OF ANALYTIC FUNCTIONS

Summary

$B(p, q, \lambda)$ spaces of analytic functions in the unit disk are considered. Theorems on the dependence of the spaces on p, q, λ indices are derived. Necessary and sufficient conditions for f to belong to $B(p, q, \lambda)$ are presented.

ლიტერატურა — REFERENCES

1. G. H. Hardy, J. E. Littlewood. Math. Z., 34, 1932, 403—439.
2. P. L. Duren, B. W. Romberg, A. L. Shields. J. reine und angew. Math., 238, 1969, 32—60.



МАТЕМАТИКА

АБДЕЛЬ-САТТАР А. ДАБУР

ОБ ОБОБЩЕННОЙ ГРУППЕ СТИНРОДА

(Представлено академиком Г. С. Чогошвили 3.12.1974)

S -биразбиением пары (K, L) счетного симплексиального комплекса K и его подкомплекса L назовем пару $(\widehat{K}, \widehat{L}_K)$, где \widehat{K} —подразделение произведения $K \times I$, определенное в [1], а \widehat{L}_K —подкомплекс комплекса \widehat{K} , состоящий из всех таких $\widehat{\sigma} \in \widehat{K}$, что $\sigma \in L$, т. е. из симплексов подразделения произведения $\sigma \times I$ ([1], стр. 535).

Вложением $h : (K_1, L_1) \rightarrow (K_2, L_2)$ назовем симплексиальное изоморфное отображение пары (K_1, L_1) на подпару пары (K_2, L_2) . Через η_0 и η_1 обозначим два таких вложения (K, L) в $(\widehat{K}, \widehat{L}_K)$, что $\eta_0(a) = (a, 0)$ и $\eta_1(a) = (a, 1)$, $a \in K$.

Если $h^l, h^m : (K, L) \rightarrow (K_1, L_1)$ —два вложения, то через $(\widetilde{K}, \widetilde{L})$ обозначим пару, полученную из объединения (без отождествлений) $(\widehat{K}, \widehat{L}_K) \cup (K_1, L_1)$ отождествлением $(a, 0)$ с $h^l(a)$ и $(a, 1)$ с $h^m(a)$, $a \in K$. Через ϕ обозначим естественное симплексиальное отображение $(\widehat{K}, \widehat{L}_K) \cup (K_1, L_1)$ на $(\widetilde{K}, \widetilde{L})$, определенное отождествлением. Через i_1 и \widehat{i} обозначим включения (т. е. тождественные отображения) подкомплексов (K_1, L_1) и соответственно $(\widehat{K}, \widehat{L}_K)$ в $(\widetilde{K}, \widetilde{L})$ на (K_1, L_1) .

Подкатегорию P категории P^* всех пар (K, L) счетных локально-конечных симплексиальных комплексов и их вложений назовем допустимой, если удовлетворяются условия:

- P_1 . Если $(K, L) \in P$, а $j : (K', L') \subset (K, L)$, то (K', L') , $j \in P$.
 - P_2 . Если $(K_1, L_1), (K_2, L_2) \in P$, то $(K_1, L_1) \cup (K_2, L_2) \in P$.
 - P_3 . Если $(K, L) \in P$, то $(\widehat{K}, \widehat{L}_K)$, $\eta_0, \eta_1 \in P$.
 - P_4 . Если h^l, h^m —два вложения из P пары (K, L) в (K_1, L_1) , то $(\widetilde{K}, \widetilde{L})$, $\phi i_1, \phi \widehat{i} \eta_0, \phi \widehat{i} \eta_1 \in P$.
 - P_5 . Если $h \in P$, $h : (K_1, L_1) \rightarrow (K_2, L_2)$, а $h_\Phi : (K_1, \Phi) \rightarrow (K_2, \Phi)$ и $h|L_1 : (L_1, \Phi) \rightarrow (L_2, \Phi)$ суть ограничения, то $h_\Phi, h|L \in P$.
 - P_6 . Если $(K, \Phi) \in P$, а $L \subset K$, то $(K, L) \in P$.
- Пусть $P_\Phi(P_\Phi^*)$ —полная подкатегория категории $P(P^*)$, состоящая из всех объектов вида (K, Φ) , в дальнейшем обозначаемых через K . Через $P'(P'^*)$ обозначим подкатегорию категории $P(P^*)$, объектами которой служат все объекты категории $P(P^*)$, а отображениями—все включения из $P(P^*)$. Пусть $P'_\Phi(P'^*_\Phi)$ —полная подкатегория категории $P'(P'^*)$, состоящая из всех объектов K категории $P'(P'^*)$.

Пусть $Q = \{(X, A)\}$ — категория всех пар компактных пространств и их непрерывных отображений, а Q_Φ — полная подкатегория категории Q , состоящая из всех объектов вида (X, Φ) , в дальнейшем обозначаемых через X . Отображение $f: K \rightarrow X$ называем регулярным отображением пары $(K, L) \in P$ в $(X, A) \in Q$, если, каково бы ни было конечное открытое покрытие типа (O, O^A) [2] пары (X, A) , отображение $f: K \rightarrow X$ является регулярным относительно O в смысле [1], а $f(L) \subset A$. Для каждой пары $(X, A) \in Q$ пусть $F(P; X, A; Q)$ обозначает подсемейство семейства $F^*(P; X, A; Q)$ всех регулярных отображений пар из P в (X, A) , для которого выполняются условия:

F_1 . Если $h: (K, L) \rightarrow (K_1, L_1)$, $f: (K_1, L_1) \rightarrow (X, A)$ и $h \in P$, $f \in F(P; X, A; Q)$, то $fh \in F(P; X, A; Q)$.

F_2 . Если $h_1: (K_1, L_1) \rightarrow (K, L)$, $h_2: (K_2, L_2) \rightarrow (K, L)$, $f_1: (K_1, L_1) \rightarrow (X, A)$, $f_2: (K_2, L_2) \rightarrow (X, A)$, $f^*: (K, L) \rightarrow (X, A)$ и $h_1, h_2 \in P$, $f_1, f_2 \in F(P; X, A; Q)$, $f^* \in F^*(P; X, A; Q)$, причем $f^*h_1 = f_1$ и $f^*h_2 = f_2$, то $f^* \in F(P; X, A; Q)$.

Аналогично определим семейства $F(P'; X, A; Q)$, $F(P_\Phi; X; Q_\Phi)$ и $F(P'_\Phi; X; Q_\Phi)$, заменяя в F_1 , F_2 соответственно P на P' , P на P_Φ и Q на Q_Φ , P на P'_Φ и Q на Q_Φ .

Систему семейств $F(P; X, A; Q)$ и $F(P_\Phi; X; Q_\Phi)$ будем называть допустимой, если выполнены следующие условия:

Φ_1 . Если $f: (K, L) \rightarrow (X, A)$, $g: (X, A) \rightarrow (Y, B)$ и $f \in F(P; X, A; Q)$, $g \in Q$, то $gf \in F(P; Y, B; Q)$.

Φ_2 . Если $f: (K, L) \rightarrow (X, A)$, $f \in F(P; X, A; Q)$, а $f_\Phi: K \rightarrow X$, $f|L: L \rightarrow A$ суть ограничения, то $f_\Phi \in F(P_\Phi; X; Q_\Phi)$, $f|L \in F(P_\Phi; A; Q_\Phi)$.

Φ_3 . Если $(K, L) \in P$, $f: K \rightarrow X$, $f(L) \subset A$ и $f \in F(P_\Phi; X; Q_\Phi)$, то $f \in F(P; X, A; Q)$, $f: (K, L) \rightarrow (X, A)$.

Аналогично определим допустимую систему семейств $F(P'; X, A; Q)$ и $F(P'_\Phi; X; Q_\Phi)$, заменяя P на P' и P_Φ на P'_Φ .

В совокупности $\Lambda(X, A)$ троек $\rho = (K, L; f)$, где $(K, L) \in P'$, а отображение $f: (K, L) \rightarrow (X, A)$ принадлежит $F(P'; X, A; Q)$, введем порядок, полагая $\rho < \sigma$, где $\sigma = (K_1, L_1, f_1) \in \Lambda(X, A)$, если существует включение $i_{\rho\sigma}: (K, L) \subset (K_1, L_1)$ из P' , для которого $f_1 i_{\rho\sigma} = f$ (ср. [3]). Из условий F_2 , P_1 , P_2 следует направленность множества $\Lambda(X, A)$. Каждому $\rho = (K, L; f)$ из $\Lambda(X, A)$ приведем в соответствие группу гомологии бесконечных p -мерных циклов $H_p = H_p(K, L; G)$ пары (K, L) над группой коэффициентов G . Если $\rho < \sigma$, то $i_{\rho\sigma}: (K, L) \subset (K_1, L_1)$ определяет индуцированный гомоморфизм $i_{\rho\sigma}: H_p \rightarrow H_\sigma$. Получаем прямой спектр $\{H_\rho, i_{\rho\sigma}\}$, предельную группу $H_p(X, A; F(P'; X, A; Q); G)$ которого назовем проекционной группой пары (X, A) над G относительно P' и $F(P'; X, A; Q)$.

Если $g: (X, A) \rightarrow (Y, B)$, $g \in Q$, то в силу Φ_1 получим индуцированный гомоморфизм:

$$g_*: H_p(X, A; F(P'; X, A; Q); G) \rightarrow H_p(Y, B; F(P'; Y, B; Q); G).$$

Опираясь на P_5 , Φ_2 , определяем граничный оператор:

$$\partial_*: H_{p+1}(X, A; F(P'; X, A; Q); G) \rightarrow H_p(A; F(P'_\Phi; A; Q_\Phi); G).$$

Именно, если $A_{p+1} \in H_{p+1}(X, A; F(P'; X, A; Q); G)$, а $g_p \in H_p = H_{p+1}(K, L; G)$ есть представитель элемента A_{p+1} , где $\rho = (K, L; f) \in \Lambda(X, A)$, то $\partial_p(g_p) \in \epsilon H_{p'} = H_p(L; G)$ есть представитель элемента $\partial_*(A_{p+1})$, где $\rho' = (L, f|L) \in \Lambda(A)$, а $\partial_p : H_p \rightarrow H_{p'}$ — связывающий гомоморфизм [4].

В совокупности $\Omega(X, A)$ троек $\alpha = (K, L; f)$, где $(K, L) \in P$, а $f : (K, L) \rightarrow (X, A)$ принадлежит $F(P; X, A; Q)$, введем порядок, полагая $\alpha < \beta$, где $\beta = (K_1, L_1, f_1) \in \Omega(X, A)$, если существует по крайней мере одно вложение $h_{\alpha\beta}^i : (K, L) \rightarrow (K_1, L_1)$ из P , для которого $f_1 h_{\alpha\beta}^i = f$ (ср. [5]). Направленность множества $\Omega(X, A)$ следует из F_2 , P_1 и P_2 . Каждому $\alpha = (K, L, f) \in \Omega(X, A)$ приведем в соответствие группу гомологии $H_\alpha = H_p(K, L; G)$. Если $\alpha < \beta$, то $h_{\alpha\beta}^i : (K, L) \rightarrow (K_1, L_1)$ определяют индуцированные гомоморфизмы $h_{\alpha\beta}^i : H_\alpha \rightarrow H_\beta$. С помощью P_3 , P_4 , F_2 можно показать что $\{H_\alpha, h_{\alpha\beta}^i\}$ определяет прямой спектр со многими гомоморфизмами в смысле [6], предельную группу $H_p(X, A; F(P; X, A; Q); G)$ которой назовем проекционной группой гомологии пары (X, A) над G относительно P и $F(P; X, A; Q)$.

С помощью P_5 , Φ_1 , Φ_2 , как выше, вводим индуцированный (непрерывным отображением g) гомоморфизм \tilde{g}_* и граничный оператор $\tilde{\partial}_*$ и показываем, что для каждого p , $\{H_p, g_*\}$ и соответственно $\{\tilde{H}_p, \tilde{g}_*\}$, где $H_p(\tilde{H}_p)$ обозначает проекционные группы гомологии относительно P' и $F(P'; X, A; Q)$ (P и $F(P; X, A; Q)$), являются ковариантными функторами из Q в категорию абелевых групп и гомоморфизмов, а ∂_* и соответственно $\tilde{\partial}_*$ являются естественными преобразованиями степени -1 (см. [4]). Далее, опираясь на P_1 , P_5 , P_6 , Φ_2 , Φ_3 , показываем, что системы $H = \{H_p, g_*, \partial_*\}$ и соответственно $\tilde{H} = \{\tilde{H}_p, \tilde{g}_*, \tilde{\partial}_*\}$ удовлетворяют аксиоме точности [2]. Таким образом, системы H и соответственно \tilde{H} суть ковариантные ∂ -функции на Q [2].

Если $A = \phi$, $P' = P'_\phi = P'^*_\phi$ и $F(P'_\phi; X; Q_\phi) = F^*(P'_\phi; X; Q_\phi)$, то группа $H_p(X; F^*(P'_\phi; X; Q_\phi); G)$ изоморфна с проекционной группой гомологии [3] и, следовательно, если, кроме того, X метрическое, с группой Стинрода [7].

Если (R, A) — пара произвольных пространств, то под $H_p(R, A; P'; G)$ будем понимать группу с компактными носителями, т. е. предел прямого спектра $\{H_p(R_a, A_a; F(P'; R_a, A_a; Q); G), \rho_{ab}\}$, где $(R_a, A_a) \subset (R, A)$, а ρ_{ab} — гомоморфизм, индуцированный включением $\rho_{ab} : (R_a, A_a) \subset (R_b, A_b)$. Если $A = \phi$, R метрическое, $P' = P'^*_\phi$, а $F(P'_\phi; R_a, Q_\phi) = F^*(P'_\phi; R_a; Q_\phi)$ для каждого $R_a \subset R$, то $H_p(R; P'_\phi; G)$ изоморфна группе Ситникова [8].

Группа $\tilde{H}_p(X, A; F(P; X, A; Q); G)$ и соответствующая группа с компактными носителями в частном случае дают группу Стинрода и группу, построенную Д. О. Баладзе в [9].

Аналогично [1] с помощью P_3 и F_2 можно показать, что функтор $\{\tilde{H}_p, \tilde{g}_*\}$ удовлетворяет аксиоме гомотопии.

Если для каждой $(X, A) \in Q$, $F(P; X, A; Q) = F(P', X, A, Q)$, то существует естественное преобразование H на \tilde{H} , являющееся изоморфизмом. Определим



$T_p : H_p(X, A; F(P'; X, A; Q); G) \rightarrow \widetilde{H}_p(X, A; F(P; X, A; Q); G)$ так: пусть $A_p \in H_p(X, A; F(P'; X, A; Q); G)$, а $g_\rho \in H_\rho$ и $g_\rho \in A_p$, где $\rho = (K, L, f) \in \Lambda(X, A)$; тогда $\alpha = (K, L, f) \in \Omega(X, A)$ и $g_\alpha \in H_\alpha$ определяет элемент B_p группы $\widetilde{H}_p(X, A; F(P; X, A; Q); G)$, где $g_\alpha = 1_{\rho\alpha} \cdot (g_\rho)$, $1_{\rho\alpha} : H_\rho \rightarrow H_\alpha$ — гомоморфизм, индуцированный отображением $1_{\rho\sigma}$ пары (K, L) , и мы положаем $T_p(A_p) = B_p$.

Тбилисский государственный университет

(Поступило 12.12.1974)

სათავაზიანი

აგდილ-სატარ ა. დაბური

სტინროდის განვითარებული ჯგუფის შისახებ

რეზიუმე

მონაცემია პირობები, რომელთაც უნდა აქმაყოფილებდნენ კომპლექსთა წყვილების რიამე კატეგორია და ამ კატეგორიის ობიექტთა კომპაქტურ (საზოგადო არა მეტრიკულ) სივრცეთა წყვილებში რეგულარული ასახვების რაომე სისტემა, რომ აიგოს აღნიშნულ სივრცეთა პროექციული პორტლოგიის ჯგუფები (1, 3, 5, 7, 8, 9) და დამტკიცდეს მათი რიგი თვისებები, კერძოდ, ბუნებრივი იზომორფიზმი ასეთ ჯგუფთა ნაირსახეობებისა.

MATHEMATICS

ABDEL-SATTAR A. DABOUR

ON A GENERALIZATION OF STEENROD'S HOMOLOGY GROUP

Summary

The conditions are found which must satisfy a category of pairs of complexes and a system of regular maps of the objects of this category into a pair of compact (generally not metric) spaces in order to be able to construct projective homology groups (1, 3, 5, 7, 8, 9) of the spaces mentioned and prove some of their properties, particularly the natural isomorphism of different kinds of such groups.

ლიტერატურა — ЛИТЕРАТУРА — REFERENCES

1. Абдель-Саттар А. Дабур. Сообщения АН ГССР, 74, № 3, 1974.
2. S. Eilenberg, N. Steenrod. Foundation of Algebraic Topology. Princeton, 1952.
3. G. Chogoshvili. Colloquia Math. Soc. Janos Bolyai. Hungary, 1972.
4. E. Spanier. Algebraic Topology. New Ycrk, 1966.
5. Г. С. Чогошвили. УМН. т. XXIV, 4 (130), 1966.
6. W. Hurewicz, J. Dugundji, C. H. Dowker. Ann. Math., 49; 2, 1948.
7. N. Steenrod. Ann. Math., 41, 1940, 833—851.
8. К. А. Ситников. Матем. сб., 34, 76, 1954.
9. Д. О. Баладзе. Труды Тбилисского матем. ин-та им. А. М. Размадзе АН ГССР, XLI. 1972.

З. Г. ГОРГАДЗЕ, НГҮЕН ЗҮЙ ТИЕН

О КОМПАКТНОСТИ СЕМЕЙСТВА ГАУССОВСКИХ МЕР В ПРОСТРАНСТВАХ ОРЛИЧА ПОСЛЕДОВАТЕЛЬНОСТЕЙ

(Представлено академиком Г. С. Чогошвили 30.10.1974)

В статье даются необходимые и достаточные условия слабой относительной компактности семейства гауссовских мер, сосредоточенных на сепарабельных пространствах Орлича последовательностей. Формулируется критерий сходимости ряда, составленного из независимых случайных элементов со значениями в таких пространствах.

Вероятностная мера μ на борелевской σ -алгебре $B(X)$ банахова пространства X называется гауссовской, если для всякого f из сопряженного к X пространства X^* случайные величины $\langle f, x \rangle$ имеют гауссовское распределение. Известно (см. [1]), что для сепарабельного X существует среднее значение $a \in X$ и можно определить ковариационный оператор $R : X^* \rightarrow X$. Эти параметры однозначно характеризуют меру μ , которую мы будем обозначать через $N(a, R)$.

Пусть $\Phi : R^1 \rightarrow R^1$ — N -функция (см. [2]), удовлетворяющая условию

$$\Phi(2t) \leq c\Phi(t). \quad (\Delta_2).$$

Пусть, далее, I_Φ обозначает пространство Срлича последовательностей (см. [3, 4]). Известно, что при условии (Δ_2) , I_Φ является сепарабельным банаховым пространством, обладающим базисом Шаудера $\{e_k = (\underbrace{0, \dots, 0}_k, 1, 0, \dots)\}$.

k

Основное неравенство. Пусть $\mu = N(0, R)$ сосредоточена в I_Φ . При некоторых значениях чисел α и β , таких, что $\alpha(1-\beta) > 0$, имеет место неравенство

$$\mu \left\{ x \in I_\Phi : \sum_{k=m}^n \Phi(x_k) \geq \alpha(1-\beta) \sum_{k=m}^n \Phi(s_{kk}^{1/2}) \right\} \geq \varepsilon_0 > 0,$$

где $s_{kk} = E_\mu x_k^2$, $m, n (m \leq n)$ — произвольные целые положительные числа и ε_0 не зависит от m, n и меры μ .

Семейство мер $\{\mu_a\}_{a \in A}$ на $(X, B(X))$ называется слабо относительно компактным, если из произвольного бесконечного его подмножества можно выбрать последовательность $\{\mu_n\}_{n=1}^\infty$, такую, что для всякой непрерывной ограниченной функции $\varphi : X \rightarrow R^1$ имеем

$$\int_X \varphi(x) d\mu_n(x) \xrightarrow{n \rightarrow \infty} \int_X \varphi(x) d\mu(x).$$

В [5] получены необходимые и достаточные условия слабой относительной компактности семейства вероятностных мер в банаховых пространствах с базисом Шаудера. Далее, в [6] получена полная характеристизация гауссовских мер в сепарабельных пространствах Орлица. Опираясь на указанные результаты и используя основное неравенство, доказываем следующую теорему:

Теорема 1. Семейство $\{\mu_a = N(a_a, R_a)\} \subset P(l_\Phi)$ слабо относительно компактно тогда и только тогда, когда

1. $\{a_a\}_{a \in A}$ компактно в l_Φ .

$$2. \text{ a)} \sup_a \sum_{k=1}^{\infty} \Phi(\sigma_k(\alpha)) < +\infty;$$

$$\text{б)} \lim_{N \rightarrow \infty} \sup_a \sum_{k=N}^{\infty} \Phi(\sigma_k(\alpha)) = 0.$$

Здесь $P(X)$ обозначает совокупность всех вероятностных мер на $(X, B(X))$ и $\sigma_k^2(\alpha) = (R_a(e_k - a_a), e_k - a_a)$.

Учитывая критерий компактности подмножеств пространства l_Φ , получаем следующую теорему:

Теорема 2. Для слабой относительной компактности семейства $\{\mu_a = N(a_a, R_a)\}_{a \in A}$ необходима и достаточна компактность в l_Φ семейства $\{a_a\}_{a \in A}$ и $\{\{\sigma_k(\alpha)\}\}_{a \in A}$.

Теорема 3. Пусть $\{\xi_n\}$ —последовательность независимых гауссовских случайных элементов со значениями в l_Φ с параметрами a_n и $R_n = (r_{ij}(n))_{i,j=1}^\infty$.

Для сходимости ряда $\sum_{n=1}^{\infty} \xi_n$ с вероятностью 1 по норме в l_Φ необходимо и достаточно выполнение следующих условий:

$$1. \sum_{n=1}^{\infty} a_n \text{ сходится по норме в } l_\Phi.$$

$$2. \sum_{j=1}^{\infty} \Phi \left[\left(\sum_{n=1}^{\infty} r_{jj}(n) \right)^{1/2} \right] < +\infty.$$

ზ. გორგაძე, ნგუენ ზუი ტიენ

მიმღებროგათა ორლიჩის სიცოცხლეში გაუსის ზომების
ოჯახის კომპაქტურობის შესახებ

რეზიუმე

მოცემულია მიმღებრობათა ორლიჩის სეპარაბელურ სივრცეებში თავ-
მოყრილი გაუსის ზომების ოჯახის სუსტი შეფარდებითი კომპაქტურობის
აუცილებელი და საემარჩის პირობები. მიღებულია ასეთ სივრცეებში მნიშვნელობების მქონე დამოუკიდებელი გაუსის შემთხვევითი ელემენტებისაგან შედ-
გენილი მწყრივის კრიტერიუმი.

MATHEMATICS

Z. G. GORGADZE, NGUEN ZUY TIEN

ON THE COMPACTNESS OF A FAMILY OF GAUSSIAN MEASURES
IN ORLICZ SEQUENCE SPACES

Summary

The necessary and sufficient conditions of weak compactness of a family of Gaussian measures supported by separable Orlicz sequence spaces are given. The criterion of convergence of the sum of independent Gaussian random elements with values in such spaces is obtained.

ლიტერატურა — ЛИТЕРАТУРА — REFERENCES

1. Н. Н. Вахания. Вероятностные распределения в линейных пространствах. Тбилиси, 1971.
2. М. А. Красносельский, Я. Б. Рутицкий. Выпуклые функции и пространства Орлича. М., 1958.
3. J. Lindenstrauss, L. Tzafriri. Israel J. Math., 10, 1971, 379—390.
4. J. Lindenstrauss, L. Tzafriri. Israel J. Math., 11, 1972, 355—376.
5. Нгуен Зуй Тиен. Сообщения АН ГССР, 71; № 1, 1973, 21—24.
6. В. Г. Горгадзе, В. И. Тариеладзе. Сообщения АН ГССР, 74, № 3, 1974, 557—559.

МАТЕМАТИКА

Т. А. ТОРОНДЖАДЗЕ

ПОСТРОЕНИЕ ОБНОВЛЯЮЩЕГО ПРОЦЕССА ДЛЯ ОДНОГО
КЛАССА ПРОЦЕССОВ ИТО

(Представлено членом-корреспондентом Академии В. Г. Челидзе 31.5.1974)

Значительную роль в некоторых задачах статистики случайных процессов играет так называемый обновляющий процесс. В настоящей статье приводятся условия, которые обеспечивают возможность построения этого процесса.

1. Пусть $(\Omega, \mathfrak{F}, P)$ — полное вероятностное пространство, (\mathfrak{F}_t) , $0 \leq t \leq T$ — неубывающее семейство σ -подалгебр \mathfrak{F} и $W = (W_t, \mathfrak{F}_t)$, $0 \leq t \leq T$ — стандартный винеровский процесс, определенный на $(\Omega, \mathfrak{F}, P)$.

Рассмотрим некоторый процесс Ито $\xi = (\xi_t, \mathfrak{F}_t)$, $0 \leq t \leq T$ с дифференциалом

$$d\xi_t = \beta_t dt + dW_t, \quad \xi_0 = 0, \quad 0 \leq t \leq T \quad (1)$$

предположим, что процесс $\beta = (\beta_t, \mathfrak{F}_t)$, $0 \leq t \leq T$ удовлетворяет условию

$$\int_0^T M |\beta_s(\omega)| dt < \infty.$$

Тогда, как известно [1], процесс $\bar{W} = (\bar{W}_t, \mathfrak{F}_t^\bar{W})$, $0 \leq t \leq T$ с

$$\bar{W}_t = \xi_t - \int_0^t M(\beta_s / \mathfrak{F}_s^\xi) ds \quad (2)$$

является винеровским.

Процесс \bar{W} играет весьма примечательную роль во многих задачах статистики случайных процессов, поскольку во многих случаях он содержит в себе ту же информацию, что и исходный процесс ξ (в том смысле, что $\mathfrak{F}_t^\xi = \mathfrak{F}_t^{\bar{W}}$). Это обстоятельство является ценным по той причине, что (например, для нужд задач фильтрации, различения гипотез и т. п.) вместо исходного процесса ξ мы можем рассматривать процесс \bar{W} , который устроен много проще, чем процесс ξ , поскольку он является винеровским.

Очевидно, что (в силу (2))

$$\mathfrak{F}_t^{\bar{W}} \subseteq \mathfrak{F}_t^\xi.$$

Определение. Винеровский процесс $\bar{W} = (\bar{W}_t, \bar{\mathcal{F}}_t^{\bar{W}})$ называется обновляющим процессом (по отношению к процессу $\xi = (\xi_t, \mathcal{F}_t)$, $0 \leq t \leq T$), если для каждого t , $0 \leq t \leq T$

$$\bar{\mathcal{F}}_t^{\bar{W}} = \bar{\mathcal{F}}_t^W. \quad (3)$$

Известно [2], что если

$$|\beta_t(\omega)| \leq M < \infty, \quad 0 \leq t \leq T, \quad P \text{ п. н.},$$

где M —некоторая постоянная, не зависящая от $\omega \in \Omega$, то $\bar{\mathcal{F}}_t^{\bar{W}} = \bar{\mathcal{F}}_t^W$.

Напомним также, что если процессы (β, W) образуют гауссовскую систему, то и в этом случае процесс \bar{W} , определенный в (2), будет обновляющим.

2. Рассмотрим процесс Ито $\xi = (\xi_t, \mathcal{F}_t)$, $0 \leq t \leq T$ с дифференциалом следующей простой структуры:

$$d\xi_t = \Theta dt + dW_t, \quad \xi_0 = 0, \quad 0 \leq t \leq T, \quad (4)$$

где Θ —случайная величина с плотностью распределения вероятностей $f = f(a)$, $-\infty < a < +\infty$.

Требуется найти условия, гарантирующие возможность построения обновляющего процесса \bar{W} (относительно данного процесса ξ).

Как показано в [3], процесс ξ удовлетворяет стохастическому дифференциальному уравнению

$$d\xi_t = A(t, \xi_t, f) dt + d\bar{W}_t, \quad \xi_0 = 0, \quad 0 \leq t \leq T, \quad (5)$$

где функция

$$A(t, x, f) = \begin{cases} \frac{\int_{-\infty}^{+\infty} a \exp \left(ax - \frac{a^2 t}{2} \right) f(a) da}{\int_{-\infty}^{+\infty} \exp \left(ax - \frac{a^2 t}{2} \right) f(a) da} & \text{при } 0 < t \leq T, \\ 0 & \text{при } t = 0, \end{cases} \quad (6)$$

а $\bar{W} = (\bar{W}_t, \bar{\mathcal{F}}_t^{\bar{W}})$, $0 \leq t \leq T$ —винеровский процесс с

$$\bar{W}_t = \xi_t - \int_0^t A(s, \xi_s, f) ds. \quad (7)$$

Нетрудно видеть, что если существует единственное сильное решение уравнения (5), то процесс \bar{W} будет обновляющим. Трудность состоит в том, что уравнение (5) сингулярно в точке $t = 0$ (в том смысле, что для любого $x \neq 0$

$$\lim_{t \rightarrow 0} |A(t, x, f)| = +\infty.$$

Сформулированные ниже теоремы дают условия, которые обеспечивают существование и единственность сильного решения уравнения (5). Теорема 1 имеет также самостоятельное значение.

3. Рассмотрим стохастическое дифференциальное уравнение

$$d\xi_t = A(t, \xi_t) dt + dW_t, \quad \xi_0 = 0, \quad 0 \leq t \leq T. \quad (8)$$

Предположим, что функция $A(t, x) : [0, T] \times R_1 \rightarrow R_1$ удовлетворяет следующим двум условиям:

1) функция $A(t, x)$ измерима по паре переменных (t, x) относительно борелевской σ -алгебры $\sigma([0, T] \times R_1)$,

2)

$$\overline{\lim}_{t \rightarrow 0} \sup_{|x| \leq 2\alpha_t} |A(t, x)| < \infty, \quad (9)$$

где $\alpha_t = (1 + \varepsilon) \sqrt{2t \ln_2 \frac{1}{t}}$, $\varepsilon > 0$ — действительное число.

Теорема 1. Существуют марковский (относительно (\mathfrak{F}_t^W) , $t \geq 0$) момент τ , $P(\tau > 0) = 1$ и случайный процесс $\xi = (\xi_t, \mathfrak{F}_t^W)$, такие, что для любого t с вероятностью 1

$$\xi_t J_{\{t \leq \tau\}} = \int_0^t A(s, \xi_s) J_{\{t \leq \tau\}} ds + W_t J_{\{t \leq \tau\}}, \quad (10)$$

где $J_{\{\cdot\}}$ — индикатор события $\{\cdot\}$.

Более того, если некий другой процесс $\widetilde{\xi} = (\widetilde{\xi}_t, \mathfrak{F}_t^W)$ также удовлетворяет соотношению (10), то

$$P\left\{\sup_{0 \leq t \leq \tau} |\xi_t - \widetilde{\xi}_t| > 0\right\} = 0.$$

Далее, зафиксируем некоторое действительное число s , $0 < s < T$ и рассмотрим стохастическое дифференциальное уравнение

$$d\tilde{\xi}_t = A(t, \tilde{\xi}_t, f) dt + d\bar{W}_t, \quad \tilde{\xi}_s = \eta, \quad 0 < s \leq t \leq T, \quad (11)$$

где η \mathfrak{F}_s — измеримая случайная величина, а функция $A(t, x, f)$ определена в (6).

Теорема 2. Существует единственное сильное решение уравнения (11).

Предположим далее, что выполнены условия теоремы 1. Обозначим теперь через $\xi^1 = \xi_t^1$ решение уравнения (5), построенное по теореме 1, а через $\xi^2 = \xi_t^2(s, x, \bar{W}_u - \bar{W}_s, 0 < s \leq u \leq t)$ — решение уравнения (5), построенное по теореме 2. Определим процесс $\xi = \xi_t$ следующим образом: для любого t , $0 \leq t \leq T$

$$\begin{aligned} \xi_t = \xi_t^1 J_{\{t \leqslant \tau\}} + \left[\xi_\tau^1 + \int_\tau^t A(s, \xi_s^2(\tau, \xi_\tau^1, \bar{W}_u - \bar{W}_\tau, 0 < \tau \leqslant u \leqslant s), f) ds + \right. \\ \left. + \bar{W}_t - \bar{W}_\tau \right] J_{\{\tau < t\}}. \end{aligned} \quad (12)$$

Теорема 3. Построенный в (12) процесс $\xi = (\xi_t, \bar{W}_t)$, $0 \leqslant t \leqslant T$ — суть единственное сильное решение стохастического дифференциального уравнения (5).

Теперь можно сформулировать и доказать следующую теорему:

Теорема 4. Пусть случайная величина Θ такова, что $M|\Theta| < \infty$. Тогда существует единственное сильное решение стохастического дифференциального уравнения (5).

Следствие. В условиях теоремы 4 процесс $\bar{W} = (\bar{W}_t, \bar{W}_t^1)$, $0 \leqslant t \leqslant T$, определенный в (7) является обновляющим.

Тбилисский государственный университет

(Поступило 6.6.1974)

880000000000

М. Торонджадзе

ითოს პროცესთა მრთი კლასის შესაბამისი განახლების
პროცესთა აგება

რეზიუმე

მოყვანილია პირობები, რომლებიც უზრუნველყოფენ განახლების პროცესთა აგების შესაძლებლობას იტოს პროცესთა ერთი კლასისათვის.

MATHEMATICS

T. A. TORONJADZE

ON THE CONSTRUCTION OF THE INNOVATION PROCESS FOR ONE CLASS OF ITO PROCESSES

Summary

The conditions are given which ensure the possibility of constructing innovation processes for one class of Ito processes.

ЛІТЕРАТУРА — REFERENCES

1. Р. Ш. Липцер, А. Н. Ширяев. Статистика случайных процессов. М., 1974.
2. J. M. C. Clark. Conditions for the one-to-one correspondence between an observation process and its innovations. Center of Computing and Automation. Imperial College, London, Tech. Rep. 1, 1969.
3. Т. А. Торонджадзе. Сообщения АН ГССР, 76, № 3, 1974.



МАТЕМАТИКА

Г. Г. КИПИАНИ

О СИСТЕМАХ СХОДИМОСТИ

(Представлено членом-корреспондентом Академии В. Г. Челидзе 28.6.1974)

Пусть B_1 — банахово пространство, элементами которого являются числовые последовательности, и пусть B_1 удовлетворяет дополнительно условиям:

1) если $a \in B_1$ и $a = (a_1, a_2, \dots)$, то $\tilde{a}_n = (a_1, a_2, \dots, a_n, 0, 0, \dots)$ при любом $n \geq 1$ также принадлежит B_1 , причем $\lim_{n \rightarrow \infty} \|\tilde{a}_n - a\|_{B_1} = 0$;

2) если $a = (a_1, a_2, \dots)$ — элемент B_1 , то

$$|a_i| \leq \|a\|_{B_1} \quad (i = 1, 2, \dots).$$

Определение 1. Пусть $\{f_n(x)\}$ — последовательность измеримых, конечных почти всюду функций на $[0,1]$. Скажем, что $\{f_n(x)\}$ есть система сходимости (сходимости по мере, абсолютной сходимости) для B_1 , если ряд

$$\sum_{k=1}^{\infty} a_k f_k(x)$$

сходится почти всюду (сходится по мере, абсолютно сходится) на $[0,1]$ для любого $a = (a_1, a_2, \dots) \in B_1$.

Из принципа Банаха и теоремы 1.1.1. работы [1] следует

Теорема 1. Для того чтобы последовательность $\{f_n(x)\}$ была системой сходимости для B_1 , необходимо и достаточно, чтобы

$$\sup_{n \geq 1} \left| \sum_{k=1}^n a_k f_k(x) \right| < \infty$$

почти всюду для любого $a = \{a_k\} \in B_1$.

Используя леммы 1 и 2 работы [2], можно показать, что справедливы следующие теоремы:

Теорема 2. Для того чтобы последовательность $\{f_n(x)\}$ была системой сходимости по мере для B_1 , необходимо и достаточно, чтобы

$$\lim_{\lambda \rightarrow \infty} \sup_{n \geq 1} \mu \left\{ x : \left| \sum_{k=1}^n a_k f_k(x) \right| > \lambda \right\} = 0$$

для любого $a = \{a_k\} \in B_1$.

Теорема 3. Для того чтобы последовательность $\{f_n(x)\}$ была системой абсолютной сходимости для B_1 , необходимо и достаточно, чтобы

$$\lim_{\lambda \rightarrow \infty} \sup_{n \geq 1} \mu \left\{ x : \sum_{k=1}^n |a_k f_k(x)| > \lambda \right\} = 0$$

для любого $a = \{a_k\} \in B_1$.

Пусть B_2 — банахово пространство, элементами которого являются двойные числовые последовательности, и пусть B_2 дополнительно удовлетворяет условиям:

1) если $\{a_{ik}\}_{i,k=1}^\infty \in B_2$, то для любого фиксированного i (k) последовательность $\{a_{ik}\}_{k=1}^\infty \in B_1$ и $\{a_{ik}\}_{i=1}^\infty \in B_1$;

2) если $\{a_k\}_{k=1}^\infty \in B_1$, то для любого фиксированного i_0 (k) последовательность $\{a_{ik}^{(i_0)}\}_{i,k=1}^\infty \in B_2$, где

$$a_{ik}^{(i_0)} = \begin{cases} a_k & \text{при } i = i_0, \\ 0 & \text{при } i \neq i_0, \end{cases} \quad k = 1, 2, \dots,$$

3) если $a = \{a_{ik}\}_{i,k=1}^\infty \in B_2$, то $\bar{a}_{mn} = \{a_{ik}^{(m,n)}\}_{i,k=1}^\infty \in B_2$ и $\{a_{ik}^{(m)}\}_{i,k=1}^\infty \in B_2$ для любых фиксированных m и n , где

$$a_{ik}^{(m,n)} = \begin{cases} a_{ik} & \text{при } 1 \leq i \leq m, \quad 1 \leq k \leq n, \\ 0 & \text{при } i > m \text{ или } k > n, \end{cases}$$

$$a_{ik}^{(m)} = \begin{cases} a_{ik} & \text{при } i = m, \quad k = 1, 2, \dots, \\ 0 & \text{при } i \neq m, \quad k = 1, 2, \dots, \end{cases}$$

причем

$$\lim_{m, n \rightarrow \infty} \|\bar{a}_{mn} - a\|_{B_2} = 0$$

и

$$|a_{ik}| \leq \|a\|_{B_2} \quad (i = 1, 2, \dots, k = 1, 2, \dots).$$

Определение 2. Пусть $\{f_n(x)\}$ есть последовательность измеримых, конечных почти всюду функций на $[0,1]$. Скажем, что двойная последовательность функций $\{f_i(x) \cdot f_k(y)\}$ есть система сходимости (сходимости по мере, абсолютной сходимости) для B_2 , если для любого $a = \{a_{ik}\} \in B_2$ сходится почти всюду (сходится по мере, абсолютно сходится) на $[0,1] \times [0,1]$ ряд

$$\sum_{i=1}^{\infty} \sum_{k=1}^{\infty} a_{ik} f_i(x) \cdot f_k(y).$$

Справедливы следующие теоремы:

Теорема 4. Для того чтобы последовательность $\{f_i(x) \cdot f_k(y)\}$ была системой сходимости для B_2 , необходимо и достаточно, чтобы

$$\sup_{m, n \geq 1} \left| \sum_{i=1}^m \sum_{k=1}^n a_{ik} f_i(x) \cdot f_k(y) \right| < \infty$$

почти всюду для любого $a = \{a_{ik}\} \in B_2$.

Теорема 5. Для того чтобы последовательность $\{f_i(x) \cdot f_k(y)\}$ была системой абсолютной сходимости для B_2 , необходимо и достаточно, чтобы

$$\lim_{\lambda \rightarrow \infty} \sup_{m, n \geq 1} \mu \left\{ (x, y) : \sum_{i=1}^m \sum_{k=1}^n |a_{ik} f_i(x) \cdot f_k(y)| > \lambda \right\} = 0$$

для любого $a = \{a_{ik}\} \in B_2$.

Теорема 6. Для того чтобы последовательность $\{f_i(x) \cdot f_k(y)\}$ была системой сходимости по мере для B_2 , необходимо и достаточно, чтобы

$$\lim_{\lambda \rightarrow \infty} \sup_{m, n \geq 1} \mu \left\{ (x, y) : \left| \sum_{i=1}^m \sum_{k=1}^n a_{ik} f_i(x) \cdot f_k(y) \right| > \lambda \right\} = 0$$

для любого $a = \{a_{ik}\} \in B_2$.

Заметим, что теоремы 4—6 нетрудно сформулировать и для того случая, когда система $\{f_{ik}(x, y)\}$ конечных почти всюду функций двух переменных на $[0,1] \times [0,1]$ не есть система вида $\{f_i(x) \cdot f_k(y)\}$.

Тбилисский государственный университет

(Поступило 28.6.1974)

ათონაზიანი

8. ყიფიანი

დრებადობის სისტემების შესახებ

რეზიუმე

ვთქვათ, $\{f_n(x)\}$ — ზომადი თითქმის ყველგან სასრული ფუნქციების მიმდევრობაა $[0,1]$ სეგმენტზე. მოყვანილია აუცილებელი და საკმარისი პირობები იმისათვის, რომ $\{f_n(x)\}$ ცოს კრებადობის (ზომით კრებადობის, აბსოლუტურად კრებადობის) სისტემა B_1 რიცხვითი მიმდევრობების ბანანის სივრცისათვის.

ანალიზიური თეორემებია მოყვანილი ორმაგი, $[0,1] \times [0,1]$ სეგმენტზე განსაზღვრული $\{f_i(x) \cdot f_k(y)\}$ ფუნქციების მიმდევრობისათვის.

MATHEMATICS

G. G. KIPIANI

ON THE SYSTEMS OF CONVERGENCE

Summary

Let $\{f_n(x)\}$ be a sequence of measurable functions, finite almost everywhere on $[0, 1]$. In the paper the necessary and sufficient conditions are given for the sequence $\{f_n(x)\}$ to be the system of convergence (convergence

in measure, absolute convergence) for B_1 where B_1 is the Banach space whose elements are numerical sequences.

Similar theorems are given for the double sequence of functions $\{f_i(x) \cdot f_k(y)\}$ defined on $[0,1] \times [0,1]$.

ЛІТЕРАТУРА — REFERENCES

1. A. M. Garsia. Topics in Almost Everywhere Convergence. Chicago, Markham Publ. Co., 1970, X.
2. Г. Г. Кипиани. Сообщения АН ГССР, 71, № 2, 1974.

В. В. БАДАГАДЗЕ, Ш. М. ГЕЛАШВИЛИ

О РАВНОМЕРНОЙ СХОДИМОСТИ ЯВНЫХ ДВУХСЛОЙНЫХ РАЗНОСТНЫХ СХЕМ ПОВЫШЕННОЙ ТОЧНОСТИ ДЛЯ МНОГОМЕРНОГО УРАВНЕНИЯ ТЕПЛОПРОВОДНОСТИ

(Представлено академиком Ш. Е. Микеладзе 20.6.1974)

Предлагаются явные двухслойные схемы точности порядка $O(h^4 + \tau^2)$, где h — шаг пространственной сетки, τ — шаг по времени для первой краевой задачи для уравнения теплопроводности с несколькими пространственными переменными. Указана достаточная условия равномерной сходимости предложенных схем.

Вопросам построения и исследования разностных схем повышенной точности для уравнения теплопроводности посвящены многочисленные работы (см., например, библиографию [1]).

Пусть $G = \{0 \leq x_m \leq l_m, m = 1, 2, \dots, p\}$ есть p -мерный параллелепипед с границей Γ . Введем обозначения $Q_T = G \times (0 < t \leq T)$ и $\bar{Q}_T = \bar{G} \times (0 \leq t \leq T)$.

В цилиндре Q_T ищется решение краевой задачи

$$\frac{\partial u}{\partial t} = \sum_{m=1}^p \frac{\partial^2 u}{\partial x_m^2} + f(x, t), \quad (x, t) \in Q_T, \quad (1)$$

$$u|_{\Gamma} = \mu(x, t), \quad 0 \leq t \leq T, \quad u(x, 0) = u_0(x), \quad x \in \bar{G},$$

где $x = (x_1, x_2, \dots, x_p)$ — точка p -мерного евклидова пространства.

Двухслойные разностные схемы $O(h^4 + \tau^2)$ порядка аппроксимации в случае $p=1, 2, 3$ были рассмотрены в [2—5]. В этих же работах была доказана равномерная сходимость этих схем.

На плоскости (x, t) введем сетку $\bar{\omega}_{ht} = \bar{\omega}_h \times \bar{\omega}_t$, где $\bar{\omega}_h = \{x^{(i)} \in \bar{G}\}$ — пространственная сетка $(x^{(i)} = (i_1 h_1, \dots, i_p h_p), i_m = 0, 1, \dots, N_m; m = 1, 2, \dots, p; h_m = l_m / N_m)$ — шаг сетки по x_m . Обозначим $\gamma = \{x^{(i)} \in \Gamma\}$ — множество граничных узлов $\bar{\omega}_h$. $\bar{\omega}_t = \{t_j = j\tau, j = 0, 1, \dots, T/\tau\}$. Предположим, что стороны параллелепипеда G соизмеримы, $h_m = h, m = 1, 2, \dots, p$ и $\tau/h^2 = 1/6$.

Для аппроксимации задачи (1) рассмотрим разностную схему

$$y_i^{j+1} = \sum_{a_1, \dots, a_p=-1}^1 a_{a_1^2 \dots a_p^2} y_{i+a}^j + \frac{h^2}{12} \left(f_i^{j+1} + f_i^j + \frac{h^2}{6} \sum_{m=1}^p \Lambda_m f_i^{j+1} \right), \quad (2)$$

$$y|_{\gamma} = \mu(x, t), \quad y_i^{(0)} = u_0(x_i),$$

где

$$\alpha = (\alpha_1, \alpha_2, \dots, \alpha_p), \quad i = (i_1, i_2, \dots, i_p), \quad f_i^{j+1} = f(x^{(i)}, t_{i+1}),$$

$$\Lambda_m f = \sum_{\vec{x}_m} \sum_{x_m}^a \alpha_1^2 \alpha_2^2 \cdots \alpha_p^2 = a_k, \quad k = \alpha_1^2 + \alpha_2^2 + \cdots + \alpha_p^2,$$

$$a_1 = \frac{1}{18} (4 - p) + \sum_{k=3}^p 2^{k-1} (k-2) C_{p-1}^{k-1} a_k,$$

$$a_2 = \frac{1}{36} - \sum_{k=3}^p 2^{k-2} C_{p-2}^{k-2} a_k,$$

$$a_0 = \frac{1}{18} (p^2 - 7p + 18) - \sum_{k=3}^p 2^{k-1} (k-1)(k-2) C_p^k a_k.$$

Легко проверить, что для произвольных значений коэффициентов $a_k (k \geq 3)$ схема (2) на решении $u(x, t)$ уравнения (1) имеет аппроксимацию порядка $O(h^4 + \tau^2)$.

При $p=2$ схема (2) совпадает со схемой, рассмотренной в [2]. При $p=3$ имеем однопараметрическое семейство разностных схем. Из этой схемы при $a_3=0$ и $a_3=1/72$ получаем разностные схемы, рассмотренные в [4].

Для разностной схемы (2) выполняются условия принципа максимума и, следовательно, схема сходится равномерно со скоростью $O(h^4 + \tau^2)$, если $a_k \geq 0$, $k = 0, 1, \dots, p$.

Пусть, например, $a_k = 0$ при $k = 3, 4, \dots, m-1, m+2, \dots, p$. Тогда будем иметь

$$\begin{aligned} a_0 &= \frac{1}{18} \left[p^2 - 7p + 18 - p(p-1) \left(\frac{m-2}{m} b_m + \frac{m-1}{m+1} b_{m+1} \right) \right], \\ a_1 &= \frac{1}{18} \left[4 - p + (p-1) \left(\frac{m-2}{m-1} b_m + \frac{m-1}{m} b_{m+1} \right) \right], \\ a_2 &= \frac{1}{36} (1 - b_m - b_{m+1}), \end{aligned} \quad (3)$$

где

$$b_m = 9 \cdot 2^m C_{p-2}^{m-2} a_m.$$

В этом случае условия принципа максимума выполняются, если, например,

$$b_{m+1} = 1 - b_m \quad \text{и} \quad \frac{m(3mp - p^2 + 4p - 9m - 9)}{p(p-1)} \leq b_m \leq \frac{(3m-p+1)(m-1)}{p-1},$$

где $m \geq 3$ — любое натуральное число, удовлетворяющее неравенству

$$\frac{1}{3}(p+2) - \frac{p-5}{p-3} \leq m \leq \frac{1}{3}(p+2).$$



Очевидно, такое число m существует для любого $p \geq 7$. Если $3 \leq p \leq 6$, тогда условия принципа максимума выполняются, если в (3) предположим $b_{m+1} = 0$ и

$$\frac{(p-4)(m-1)}{(p-1)(m-2)} \leq b_m \leq 1,$$

где $3 \leq m \leq p$ —натуральное число, удовлетворяющее неравенству

$$\frac{1}{3}(p+2) \leq m \leq \frac{1}{3}(p+2) + \frac{2}{p-3}.$$

Тбилисский государственный университет

(Поступило 28.6.1974)

აკადემიკის

3. გადაბაძე, შ. გელაშვილი

სითბოგამთარებლობის მრავალგანზომილებიანი
განხოლებისათვის მაღალი სიზუსტის ცხადი ორგანიანი
სხვაობიანი სქემების თანაბარი პრეგადობის შესახებ

რეზიუმე

ავტორულია $O(h^4 + \tau^2)$ აპროკსიმაციის ცხადი ორგანიანი სხვაობიანი სქემები
სითბოგამტარებლობის მრავალგანზომილებიანი განტოლებისათვის. მოცემულია
ავტორული სქემების თანაბარი კრებადობის საკმარისი პირობები წების-
მიერი სივრცითი განზომილების შემთხვევაში.

MATHEMATICS

V. V. BADAGADZE, Sh. M. GELASHVILI

ON THE UNIFORM CONVERGENCE OF EXPLICIT TWO-LAYER DIFFERENCE SCHEMES OF MULTIPLE PRECISION FOR THE MULTIVARIATE EQUATION OF HEAT CONDUCTIVITY

Summary

Explicit two-layer difference schemes of precision of the order $O(h^4 + \tau^2)$ for the first boundary-value problem of the heat conductivity equation with several spatial variables are constructed. Sufficient conditions for the uniform convergence of the constructed schemes are indicated.

ლიტერატურა — REFERENCES

1. А. А. Самарский, А. В. Гулин. Устойчивость разностных схем. М., 1973.
2. Ш. Е. Микеладзе. Численные методы интегрирования дифференциальных уравнений с частными производными. М.—Л., 1936.
3. Ш. Е. Микеладзе. Труды Тбилисского матем. ин-та им. А. М. Рзмадзе АН ГССР, т. 27, 1960.
4. П. П. Юшков, Л. Л. Логинов. Инж.-физ. ж. АН БССР, т. 1, № 2, 1958.
5. В. Б. Андреев. ЖВМ и МФ, 6, 2, 1966.

МАТЕМАТИКА

В. А. ФРИШЛИНГ

ОБ АСИМПТОТИЧЕСКОМ ПОРЯДКЕ ТОЧНОСТИ ОЦЕНОК
ПЛОТНОСТИ РАСПРЕДЕЛЕНИЯ В ТОЧКЕ

(Представлено членом-корреспондентом Академии [Л. П. Гокиели] 4.2.1974)

Рассмотрим задачу об оценке некоторого функционала f от вероятностного распределения $F(x)$:

$$f = \int \varphi(x) dF(x).$$

Известно, что если $\int \varphi^2(x) dF(x) < \infty$, то оценка

$$\hat{f} = \frac{\sum_{j=1}^n \varphi(X_j)}{n},$$

где X_j —наблюденные значения, имеет среднеквадратическое отклонение порядка $O\left(\frac{1}{n}\right)$.

Если $\int \varphi^2(x) dF(x) = \infty$, то этот результат, вообще говоря, неверен. Такой пример доставляет задача оценки плотности распределения в данной точке.

Простейшая оценка, представляющая собой статистический аналог конечно-разностной формулы I порядка, для вычисления производной была предложена Розенблатом [1]. Она имеет вид

$$\tilde{f}' = \frac{v_\Delta}{2\Delta},$$
 где v_Δ —относительная частота попадания в $(x_0 - \Delta, x_0 + \Delta)$,

$$E \left(\frac{v_\Delta}{2\Delta} - f(x_0) \right)^2 = O(n^{-4/5}).$$

Аналогично можно построить оценку II порядка

$$\tilde{f}'' = \frac{v_{r\Delta} - r^3 v_\Delta}{2r \Delta (1-r^2)}$$

и

$$E (\tilde{f}'' - f(x_0))^2 = O(n^{-8/9}).$$

Для оценки III порядка будем иметь

$$E(\tilde{f}^3 - f(x_0))^2 = O(n^{-12/13}).$$

Все вышесказанное наводит на мысль, что можно построить последовательность оценок, сходящуюся в среднеквадратическом смысле к $f(x_0)$ быстрее, чем $n^{-1+\varepsilon}$ для всех $\varepsilon > 0$. В настоящей статье поставлена цель достигнуть скорость сходимости $O\left(\frac{\ln^\alpha n}{n}\right)$, где $\alpha > 1/2$.

Пусть функция плотности $f(x)$ в точке x_0 бесконечное число раз дифференцируемая, в интервале $(x_0 - \Delta, x_0 + \Delta)$ ряд Тейлора, соответствующий функции $f(x)$, сходится равномерно по x к плотности $f(x)$, а также выполняется условие (A)

$$\sup_l \frac{f^{(l)}(x_0)}{e^M l^s} < \infty \text{ для некоторых } k \text{ и } s.$$

Введем для каждого p систему интервалов $\Delta_1^p, \Delta_2^p, \dots, \Delta_p^p$, удовлетворяющую следующим условиям:

$$1) \quad \Delta = \Delta_1^p \supset \Delta_2^p \supset \dots \supset \Delta_p^p;$$

$$2) \quad \frac{\Delta_m^p}{\Delta_{m-1}^p} = r_m^p = \left(\frac{p-m+1}{p-m+2} \right)^\alpha, \quad m=2, \dots, p.$$

$$r_1^p = 1 \quad \alpha > \frac{1}{2}.$$

Такой выбор r_m^p обеспечивает ограниченность снизу положительным числом произведений

$$\prod_{k=1}^{p-1} \left(1 - \prod_{l=0}^{k-1} (r_{p-l}^p)^2 \right).$$

Этот факт используется дальше.

Обозначим $r_{[i,k]}^p = \prod_{j=i+1}^{i+k} r_j^p$ и $r_{[i,0]}^p = 1$. Индекс p в дальнейшем будем опускать, так как это не приведет к недоразумениям. Оценку порядка m для функции плотности $\tilde{f}(x_0)$, построенную на m интервалах, начиная с Δ_1 будем обозначать \tilde{f}_i^m .

Зададим рекуррентно последовательность оценок

$$\tilde{f}_{i+1}^m = \frac{1}{1 - r_{[i,m]}^2} (\tilde{f}_{i+1}^m - r_{[i,m]}^2 \tilde{f}_i^m), \quad (1)$$

$$\tilde{f}_i^m = \frac{\gamma_{\Delta_i}}{2\Delta_i} = \frac{\gamma_{[\underline{x}_i, \bar{x}_i] \Delta}}{2r_{[\underline{x}_i, \bar{x}_i]} \Delta}.$$

Обозначим $S_{i,j}^m = \text{cov}(\tilde{f}_i^m, \tilde{f}_j^m)$. Используя (1), получим основное рекуррентное соотношение

$$\begin{aligned} S_{i,j}^{m+1} &= \text{cov}(\tilde{f}_i^{m+1}, \tilde{f}_j^{m+1}) = \\ &= \frac{1}{(1 - r_{[i,m]}^2)(1 - r_{[j,m]}^2)} (S_{i+1,j+1}^m - r_{[i,m]}^2 S_{i,j+1}^m - r_{[j,m]}^2 S_{i+1,j}^m + \\ &\quad + r_{[i,m]}^2 r_{[j,m]}^2 S_{i,j}^m). \end{aligned} \quad (2)$$

Линейные свойства соотношения (2) очевидны. $S_{i,j}^l = \text{cov}(\tilde{f}_i^l, \tilde{f}_j^l)$ представим в виде

$$\begin{aligned} S_{i,j}^l &= \frac{f(x_0)}{2r_{[0,\min(i,j)]}\Delta} + \frac{1}{2r_{[\min(i,j)]}\Delta} \left(\sum_{l=1}^{\infty} \frac{r_{[0,l]}^{2l}}{(2l+1)!} \Lambda^{2l} f^{(2l)}(x_0) \right) - \\ &\quad - \left(\frac{1}{n} - 1 \right) Q_{i,j}^l \end{aligned}$$

где

$$Q_{i,j}^l = \left(\frac{F_{r_{[0,l]}\Delta}}{2r_{[0,l]}\Delta} - f(x_0) \right) \left(\frac{F_{r_{[0,l]}\Delta}}{2r_{[0,l]}\Delta} - f(x_0) \right).$$

Лемма 1. Если $S_{i,j}^l = \frac{1}{r_{[\min(i,j)]}}$, то

$$S_{i,j}^m = \frac{k_{i,j}^m}{\prod_{k=1}^{m-1} (1 - r_{[i+k, m-k-1]}^2) \prod_{k=1}^{m-1} (1 - r_{[j+k, m-k-1]}^2) r_{[\min(i,j)+m-1]}} ,$$

где $0 < A < k_{i,j}^m < B < \infty$ равномерно для всех i и j , таких, что $i+m \leq p$, $j+m \leq p$, или, что то же самое,

$$S_{i,j}^m = O\left(\frac{1}{r_{[\min(i,j)+m-1]}}\right). \quad (3)$$

Лемма 2. Если $S_{i,j}^l = \frac{r_{[0,l]}}{r_{[\min(i,j)]}}$, то

$$S_{i,j}^m = O\left(\frac{r_{[0,i+m]}}{r_{[\min(i,j)+m-1]}}\right). \quad (4)$$

Лемма 3. Если $S_{i,j}^l = Q_{i,j}^l$, то

$$Q_{i,j}^m \leq \left(\sum_{k=m}^{\infty} \frac{\text{const} \cdot \Delta^{2k} f^{(2k)}(x_0) (m+1)! r_{[0,k]}^{2k} \prod_{q=1}^{m-1} r_{q+i}^{2k-2q}}{(2k+1)! 2^{m+1}} \right)^2. \quad (5)$$

Объединяя оценки (3), (4) и (5), полагая $i=j=1$, получаем

$$\begin{aligned} S_{1,1}^m &= E(\tilde{f}_1^m - f(x_0))^2 \leq \frac{\text{const} \cdot m^a}{n \Delta} + \\ &+ \left(\sum_{k=m}^{\infty} \frac{\text{const} \Delta^{2k} f^{(2k)}(x_0) (m+1)! r_{[0,k]}^{2k} \prod_{q=1}^{m-1} r_{q+i}^{2k-2q}}{(2k+1)! 2^{m+1}} \right)^2. \end{aligned} \quad (6)$$



Полагая $\Delta = O(n^{-1/(4m+1)})$ и используя формулу Стирлинга, (6) можно записать следующим образом:

$$S_{1,1}^m \leq \frac{\text{const } m^a}{n \Delta} + A(m) \cdot \frac{1}{n \Delta}, \quad 0 < A(m) < N < \infty.$$

Так как второе слагаемое малое более высокого порядка, чем первое, то для достижения наилучшей скорости стремления к нулю величины $S_{1,1}^m$ необходимо найти такую функцию $m=m(n)$, которая бы минимизировала $m^a/n^{(4m+1)/(4m+1)}$ в смысле порядка. Такой функцией является $m=\text{const} \cdot \ln n$, и, следовательно, достигается среднеквадратическая сходимость порядка $O\left(\frac{\ln^a n}{n}\right)$.

Итак, получен следующий результат:

Теорема. Если функция плотности $f(x)$ удовлетворяет (A), то оценки (1) обладают среднеквадратической погрешностью порядка не менее $O\left(\frac{\ln^a n}{n}\right)$.

Тбилисский отдел НИИ
экономики и организации
материально-технического снабжения

(Поступило 7.2.1974)

აკადემიკის

3. ფრიშლინგი

ზერთილული განაზღვების ციმპრივის ზეზასების
სიჯუსტის ასევებული რიგის შესახებ

რეზიუმე

ნაშრომში განხილულია მოცემულ წერტილში განვილების სიმკვრივის არაპარამეტრული შეფასების ამოცანა. ნაჩვენებია, რომ სიმკვრივის ფუნქციის წარმოებულების სიდიდის გარეული შეზღუდვების დროს სასრულ-სწვაობიანი ფორმულების სტატისტიკური ანალოგები წარმოებულის შეფასებისა-თვის იძლევიან საშუალებადრატული ცდომილების მიღწევას $O\left(\frac{\ln^a n}{n}\right)$ რიგით,
სადაც $\alpha > \frac{1}{2}$.

MATHEMATICS

V. A. FRISHLING

ON THE ASYMPTOTIC ORDER OF THE PRECISION OF ESTIMATES OF THE DENSITY FUNCTION AT A POINT

Summary

The paper deals with the problem of nonparametric estimation of the density function at a given point. It is shown that with some restrictions on the value of derivatives of the density function statistic analogues of the formulas of finite-differences for estimating derivatives allow to attain a mean-root-square error not exceeding $O\left(\frac{\ln^a n}{n}\right)$, where $\alpha > \frac{1}{2}$.

ლიტერატურა — ЛИТЕРАТУРА — REFERENCES

- Rosenblatt. Ann. Math. Stat., 27, 1956.



МАТЕМАТИКА

М. П. ГРИГОЛИЯ

О ЗАДАЧЕ ГУРСА ДЛЯ ГИПЕРБОЛИЧЕСКОЙ СИСТЕМЫ
С СИЛЬНОЙ СИНГУЛЯРНОСТЬЮ

(Представлено академиком В. Д. Купрадзе 19.6.1974)

Рассмотрим гиперболическую систему

$$\frac{\partial^2 u(x, y)}{\partial x \partial y} = f \left(x, y, u(x, y), \frac{\partial u(x, y)}{\partial x} \right) \quad (1)$$

в области

$$D = \{(x, y) : 0 < x \leq a, 0 < y \leq b\},$$

где u —искомая n -мерная вектор-функция, а $f: D \times E^{2n} \rightarrow E^n$ ($n \geq 1$, a и b —некоторые положительные числа, E^k — k -мерное евклидово пространство).

Для системы (1) исследуется следующая

Задача Гурса. Найти непрерывное в \overline{D} (\overline{D} —замыкание области D) решение u системы (1), имеющее непрерывные частные производные $\frac{\partial u}{\partial x}$, $\frac{\partial u}{\partial y}$ и $\frac{\partial^2 u}{\partial x \partial y}$ в D и удовлетворяющее условиям

$$u(x, 0) = 0 \text{ при } 0 \leq x \leq a, \quad u(0, y) = 0 \text{ при } 0 \leq y \leq b. \quad (2)$$

В случае, когда f непрерывна в $\overline{D} \times E^{2n}$, задача (1), (2) изучена многими авторами. Основные результаты, полученные в этом направлении, изложены в [1]. Отметим также работы [2—4], посвященные изучению задачи Гурса для линейных гиперболических уравнений с параболическим вырождением вдоль некоторой прямой.

Мы не исключаем из рассмотрения случая, когда функция f имеет неинтегрируемые сингулярности вдоль характеристик $x = 0$ и $y = 0$, при этом порядок сингулярности относительно x может быть произвольным.

Всюду в дальнейшем будем пользоваться следующими обозначениями:

1) $L = (\lambda_{ik})_{i,k=1}^n$ и $l = (\lambda_i)_{i=1}^n$ —соответственно $n \times n$ -матрица и n -мерный вектор с элементами λ_{ik} и λ_i ($i, k = 1, \dots, n$),

$$|L| = (|\lambda_{ik}|)_{i,k=1}^n, \quad |l| = (|\lambda_i|)_{i=1}^n,$$

$$\|L\| = \sum_{i,k=1}^n |\lambda_{ik}|, \quad \|l\| = \sum_{i=1}^n |\lambda_i|;$$



2) пусть $L^j = (\lambda_{ik}^j)_{i=1}^n, k=1$ и $l^j = (\lambda_i^j)_{i=1}^n$ ($j = 1, 2$), тогда записи $L^1 \leq L^2$, $l^1 \leq l^2$ означают, что

$$\lambda_{ik}^1 \leq \lambda_{ik}^2, \quad \lambda_i^1 \leq \lambda_i^2 \quad (i, k = 1, \dots, n);$$

3) если $v = (v_i)_{i=1}^n$, то

$$S(v) = \begin{pmatrix} \operatorname{sign} v_1 & 0 & 0 & \dots & 0 & 0 \\ 0 & \operatorname{sign} v_2 & 0 & \dots & 0 & 0 \\ \dots & \dots & \dots & \dots & \dots & \dots \\ 0 & 0 & 0 & \dots & 0 & \operatorname{sign} v_n \end{pmatrix}.$$

Теорема 1. Пусть f непрерывна в $D \times E^{2n}$ и удовлетворяет неравенствам

$$|f(x, y, u, 0)| \leq l_0 x^\alpha y^\beta + \frac{1}{xy} L_1(x, y) |u|,$$

$$S(v_1 - v_2)[f(x, y, u, v_1) - f(x, y, u, v_2)] \leq \frac{1}{y} L_2(x, y) |v_1 - v_2|,$$

где $\alpha > -1$, $\beta > -1$, l_0 —неотрицательный постоянный n -мерный вектор, а $L_i(x, y)$ ($i = 1, 2$)—непрерывные и неотрицательные в D $n \times n$ -матрицы, элементы которых не убывают по x и y , при этом спектры матриц

$$\frac{1}{(1+\alpha)(1+\beta)} L_1(0, 0) + \frac{1}{1+\beta} L_2(0, 0) \text{ и } \frac{1}{1+\beta} L(a, 0) \quad (3)$$

расположены внутри единичного круга. Далее, для любого $c > 0$ найдется непрерывная на полуинтервале $0 < x \leq a$ функция $\varphi_c(x)$, такая, что

$$y^{-\beta} \|f(x, y, u, v)\| \leq \varphi_c(x) \text{ при } (x, y) \in D, \|u\| + \|v\| \leq c y^{1+\beta}.$$

Тогда задача (1), (2) имеет решение u , удовлетворяющее условию

$$\sup \left\{ \frac{\|u(x, y)\|}{x^{1+\alpha} y^{1+\beta}} + \frac{\|u_x(x, y)\|}{x^\alpha y^{1+\beta}} : (x, y) \in D \right\} < +\infty. \quad (4)$$

Замечание. Пусть k_i ($i = 1, \dots, n$)—натуральные числа, $\lambda_i \geq -1 - 2(1+\beta)k_i$ ($i = 1, 2, \dots, n$),

$$G(y, v) = \begin{pmatrix} y^{\lambda_1} v_1^{2k_1+1} & 0 & \dots & \dots & 0 \\ 0 & y^{\lambda_2} v_2^{2k_2+1} & \dots & \dots & 0 \\ \dots & \dots & \dots & \dots & \dots \\ 0 & 0 & \dots & \dots & y^{\lambda_n} v_n^{2k_n+1} \end{pmatrix},$$

$h(x, y, a)$ —непрерывная и неотрицательная в $D \times E^n$ n -мерная вектор-функция, а $\sigma(x)$ —непрерывная на полуинтервале $(0, a]$ неотрицательная неограниченная функция. Легко видеть, что если f_0 удовлетворяет условиям теоремы 1, то функция $f(x, y, u, v) = f_0(x, y, u, v) - \sigma(x) G(y, v) h(x, y, u)$ также удовлетворяет условиям этой теоремы. Следовательно, функции, удовлетворяющие условиям теоремы 1, могут иметь сингулярности произвольного порядка в окрестности $x=0$.

Теорема 2. Пусть

$$S(v_1 - v_2) [f(x, y, u_1, v_1) - f(x, y, u_2, v_2)] \leqslant \frac{1}{xy} L_1(x, y) |u_1 - u_2| - \\ - \frac{1}{y} L_2(x, y) |v_1 - v_2|,$$

где $L_i(x, y)$ ($i = 1, 2$) — непрерывные и неотрицательные в \bar{D} матрицы, элементы которых не убывают по x и y , $\alpha > -1$, $\beta > -1$, и спектры матриц (3) расположены внутри единичного круга¹. Тогда задача (1), (2) имеет не более одного решения, удовлетворяющего условию (4).

Теорема 3. Если f непрерывна в $D \times E^{2n}$, удовлетворяет условиям теоремы 2 и, кроме того,

$$\sup \{x^{-\alpha} y^{-\beta} \|f(x, y, 0, 0)\| : (x, y) \in D\} < +\infty,$$

то задача (1), (2) имеет одно и только одно решение, удовлетворяющее условию (4).

Тбилисский государственный университет

(Поступило 27.6.1974)

გათხმაზების

ა. გრიგოლიძე

გურიას ამოცანის შესახებ პიკერგოლური სისტემისათვის
ძლიერი სინგულურობით

რეზიუმე

განხილულია (1), (2) ამოცანა, სადაც $f: (0, a] \times (0, b] \times E^{2n} \rightarrow E^n$, ხოლო u არის საძიებელი n -განზომილებიანი ვექტორ-ფუნქცია. დადგენილია ამოცანის არსებობისა და ერთადერთობის პირობები იმ შემთხვევაში, როცა f -ს აქვს არა-ინტეგრებადი სინგულურობა $x=0$ და $y=0$ მახასიათებლების გასწვრივ.

MATHEMATICS

M. P. GRIGOLIA

ON THE GOURSAT PROBLEM FOR A HYPERBOLIC SYSTEM WITH STRONG SINGULARITY

Summary

The problem (1), (2) is considered, where $f: (0, a] \times (0, b] \times E^{2n} \rightarrow E^n$ and u is the unknown n dimensional vector-function. The conditions

¹ Как в теореме 1, так и в теореме 2 последнее требование является существенным и его нельзя ослабить.

for the existence and uniqueness of the solution are established in the case when f has non-integrable singularity along the characteristics $x = 0$ and $y = 0$.

ЛІТЕРАТУРА — REFERENCES

1. W. Walter. Differential and integral inequalities. Springer-Verlag. Berlin, Heidelberg, New-York, 1970.
2. В. Н. Врагов. Дифференциальные уравнения, 8, № 1, 1972, 7—16.
3. Т. Ш. Кальменов. Дифференциальные уравнения, 8, № 1, 1972, 41—54.
4. М. Мередов. Дифференциальные уравнения, 9, № 7, 1973, 326—333.

МАТЕМАТИКА

Ш. В. ХЕЛАДЗЕ

О РАСХОДИМОСТИ ВСЮДУ РЯДОВ ФУРЬЕ—УОЛША

(Представлено членом-корреспондентом Академии Б. В. Хведелидзе 19.6.1974)

В настоящей заметке доказывается следующая

Теорема. Существует интегрируемая функция, ряд Фурье—Уолша которой расходится всюду.

Имеем в виду определение системы Уолша, имеющееся в [1] (по этому определению, в отличие от имеющегося в [2], функции ω_n , $n=0, 1, \dots$, образующие систему Уолша, предполагаются периодическими с периодом 1 и непрерывными справа). Известно существование интегрируемой функции, ряд Фурье — Уолша которой расходится почти всюду [3]. Сформулированную теорему выведем из этого результата совершенно таким же образом, как это делает И. Кацнельсон в случае тригонометрической системы, выводя вторую теорему Колмогорова о существовании всюду расходящегося ряда Фурье из менее сильной теоремы Колмогорова, в которой утверждается лишь расходимость почти всюду (см. [4], а также [5], стр. 55—61).

Справедливы следующие утверждения:

1. Если $g \in L^p(0, 1)$, $1 \leq p < \infty$, то существуют функция $f \in L^p(0, 1)$ и последовательность положительных чисел $\{\Omega_j\}_{j=0}^{\infty}$, такие, что $\Omega_j \uparrow \infty$, $j \rightarrow \infty$ и $\widehat{f}(j) = \Omega_j \widehat{g}(j)$, $j = 0, 1, \dots$ ($\widehat{g}(j)$, $j = 0, 1, \dots$, обозначает коэффициент Фурье—Уолша функции g).

2. Следующие предложения эквивалентны:

а) Существует функция $f \in L^p(0, 1)$, $1 \leq p < \infty$, ряд Фурье—Уолша которой расходится на множестве E .

б) Существуют функция $f \in L^p(0, 1)$, $1 \leq p < \infty$ и последовательность положительных чисел $\{W_j\}_{j=0}^{\infty}$, $W_j \uparrow \infty$, $j \rightarrow \infty$, такая, что для любого $x \in E$

$$\lim_{j \rightarrow \infty} \frac{|S_j(f)(x)|}{W_j} = \infty$$

$(S_j(f)(x)$, $j = 0, 1, \dots$, означает частичную сумму ряда Фурье—Уолша функции f в точке x).

с) Существует последовательность $\{P_j\}_{j=0}^{\infty}$ полиномов по функциям Уолша, удовлетворяющая условиям

$$\sum_{j=0}^{\infty} \|P_j\|_p < \infty \quad (1)$$

и для любого $x \in E$

$$\sup_j \sup_m |S_m(P_j)(x)| = \infty. \quad (2)$$

3. Пусть множество $E_i \subset [0, 1]$, $i=1, 2, \dots$, если существует функция из $L^p(0, 1)$, $1 \leq p < \infty$, ряд Фурье—Уолша которой расходится на E_i , то существует функция из $L^p(0, 1)$ с расходящимся рядом Фурье—Уолша на $\bigcup_{i=1}^{\infty} E_i$.

Эти утверждения доказываются совершенно так же, как и аналогичные утверждения для тригонометрической системы у И. Кацнельсона. Нужно лишь воспользоваться следующими свойствами системы Уолша: если $f \in L^p(0, 1)$, $1 \leq p < \infty$, то $\|\sigma_n(f) - f\|_p \rightarrow 0$ при $n \rightarrow \infty$ (см. [6], здесь $\sigma_n(f)$ означает $(C, 1)$ среднее ряда Фурье—Уолша функции f); для любых натуральных чисел n и N существует такое натуральное число n_0 , что $n_0 > N$ и

$$\omega_k(x) \cdot \omega_{n_0}(x) = \omega_{k+n_0}(x), \quad x \in [0, 1], \quad k=0, 1, \dots, n.$$

4) Для любого множества E , $E \subset [0, 1]$ меры нуль и p , $1 \leq p < \infty$, существует функция из $L^p(0, 1)$, ряд Фурье—Уолша которой расходится на E . Доказательство этого утверждения, которое несколько отличается от доказательства аналогичного утверждения из [4], можно провести следующим образом. Существуют последовательности множеств $\{F_j\}_{j=1}^{\infty}$, $\{E_j\}_{j=1}^{\infty}$, такие, что $F_j = \bigcup_{k=0}^{n_j} [a_k, b_k]$, $E_j = \bigcup_{k=0}^{n_j} (\alpha_k, \beta_k)$, $F_j \subset E_j \subset [0, 1]$, $\mu E_j \leq 2^{-j}$, $j=1, 2, \dots$, $E \subset \limsup_{j \rightarrow \infty} F_j$. Пусть φ_j , $j=1, 2, \dots$, — непрерывная функция, $|\varphi_j(x)| \leq j$, $j=1, 2, \dots$, $x \in [0, 1]$, и

$$\varphi_j(x) = \begin{cases} j, & \text{если } x \in F_j, \\ 0, & \text{если } x \notin E_j, \end{cases}$$

$j=1, 2, \dots$. Рассмотрим последовательность $\{P_j\}_{j=1}^{\infty}$ полиномов по функциям Уолша, $P_j = \sigma_{N(j)}(\varphi_j)$, $j=1, 2, \dots$, где натуральные числа $N(j)$, $j=1, 2, \dots$, выбраны так, что

$$\sup_x |\sigma_{N(j)}(\varphi_j)(x) - \varphi_j(x)| \leq 2^{-j}$$

и для любого $x \in F_j$

$$|\sigma_{N(j)}(\varphi_j)(x)| \geq \frac{1}{2}, \quad j=1, 2, \dots$$

Это возможно по теореме Файна ([1], теорема XVII). Легко проверить, что последовательность $\{P_j\}_{j=1}^{\infty}$ удовлетворяет условиям (1) и (2). Этим утверждение 4 доказано.

Сформулированная теорема теперь следует из упомянутого результата Стейна [3] и из утверждений 3 и 4.

Тбилисский государственный университет

(Поступило 21.6.1974)

შ. ხელაძე

ცურდი — უოლშის განკრიზისა ყველგან განვლადობის შესახებ
რეზიუმე

დამტკიცებულია შემდეგი ოეორემი: არსებობს ინტეგრირადი ფუნქცია, რომლის ფურიე — უოლშის მწერივი განშლადია ყველგან. უოლშის ფუნქცია-თა განსაზღვრება მოცემულია [1]. ოეორემი დამტკიცებულია ი. კაცნელის მეთოდის გამოყენებით (იხ. [4], [5], გვ. 55—61).

MATHEMATICS

Sh. V. KHELADZE

ON EVERYWHERE DIVERGENCE OF FOURIER-WALSH SERIES

Summary

The following theorem is proved: there exists an integrable function with everywhere divergent Fourier-Walsh series. The definition of Walsh functions is as in [1]. The theorem is proved by Y. Katznelson's method [4], [5], pp. 55-61.

ლიტერატურა — REFERENCES

1. N. Fine. On the Walsh functions. Trans. Am. Math. Soc., v. 65, № 3, 1949, 372—414.
2. С. Качмаж и Г. Штейнгауз. Теория ортогональных рядов. М., 1958.
3. E. Stein. On limits of sequences of operators. Ann. Math., v. 74, № 1, 1961, 140—170.
4. Y. Katznelson. Sur les ensembles de divergence des séries trigonométrique. Studia Math. t. XXVI, 1966, 301—304.
5. Y. Katznelson. An introduction to harmonic analysis. New York, 1968.
6. M. Kobayashi. Capacities of sets and harmonic analysis on the group 2^w . Tonoku Math. J. 1969, 21, № 3, 419—433. Correction: Tonoku Math. J. 1969, 21, № 4, 676.

Т. В. КАДЕИШВИЛИ

К ТЕОРИИ ГОМОЛОГИИ ГЛАВНЫХ РАССЛОЕНИЙ

(Представлено академиком Г. С. Чогошвили 28.5.1974)

В работах [1, 2] вводится функтор $D(B, G)$, где B — топологическое пространство, а $G = \{G_i\}$ — последовательность модулей. Каждому расслоению в смысле Серра $\xi = (E, p, B, F)$ сопоставляется функториально «преддифференциал» $d(\xi) \in D(B, H^*(F, \Lambda))$, с помощью которого вычисляются дифференциалы спектральной последовательности расслоения.

Здесь мы дадим формулу, выражющую $d(\xi)$ для некоторого класса расслоений, содержащего, в частности, главные унитарные расслоения. Справедливость этого результата можно усмотреть из работы Кокрофта [3]. Приведенное здесь доказательство копирует в рамках теории работ [1, 2] доказательство Кокрофта, проведенное им в рамках теории Хирша.

Предположим, что алгебра $H^*(F, \Lambda)$, где Λ — любое коммутативное кольцо с единицей, порождена элементами a_i и имеются только соотношения косой коммутативности и, возможно, соотношения типа $a_i^n = 0$. Пусть $\alpha_i = \dim a_i$.

Обозначим $P = H^\circ(B, \Lambda) \times \prod H^{\alpha_i+1}(B, \Lambda)$. Ниже будет спределено отображение $\lambda : P \rightarrow D(B, H^*(F, \Lambda))$.

Предложение. Допустим, что образующие a_i трансгрессивны и класс когомологии $b_i^{\alpha_i+1}$ содержит в трансгрессии элемента a_i . Тогда если $p = 1 + b_1^{\alpha_1+1} + b_2^{\alpha_2+1} + \dots$, то $d(\xi) = \lambda(p)$.

В частности, верно

Следствие. Для главного унитарного расслоения $\xi = (E, p, B, U(n))$ имеем $d(\xi) = \lambda(c(\xi))$, где $c(\xi)$ означает полный класс Чженя.

Определение отображения λ . Так как модули $H^*(F, \Lambda)$ свободны, то $D(B, H^*(F, \Lambda))$ определяется как фактор-множество множества элементов $h \in C^{**}(B, \text{Hom}(H^*(F, \Lambda), H^*(F, \Lambda)))$ со свойствами $dh = -Jhh$ и $h^0 = h^1 = 0$, где $Jh = h^0 - h^1 + h^2 - \dots$,

Аддитивный базис $H^*(F, \Lambda)$ составляют элементы вида $x = a_{i_1}^{s_1} \cdot a_{i_2}^{s_2} \cdot \dots \cdot a_{i_n}^{s_n}$, $i_1 < i_2 < \dots < i_n$. Множество таких образующих обозначим через I . Допустим, что $x = a_{i_1}^{t_1} \cdot a_{i_2}^{t_2} \cdot \dots \cdot a_{i_n}^{t_n}$ и $y = a_{j_1}^{t_1} \cdot a_{j_2}^{t_2} \cdot \dots \cdot a_{j_k}^{t_k}$; будем писать $y \subset x$, если $(j_1, j_2, \dots, j_k) \subset (i_1, i_2, \dots, i_n)$ и каждый показатель t меньше соответствующего показателя s ; длиной, образующей x будем называть

сумму $\sum s_m$. Таким образом, алгебра $H^*(F, \Lambda)$ разлагается в сумму

$$H^*(F, \Lambda) = \sum_{x \in I} \Lambda_x.$$

Справедливо следующее разложение:

$$\begin{aligned} C^{**} &= C^{**}(B, \text{Hom}(H^*(F, \Lambda), H^*(F, \Lambda))) = \\ &= C^{**}(B, \text{Hom}\left(\sum_x \Lambda_x, H^*(F, \Lambda)\right)) = \prod_x C^{**}(B, H^*(F, \Lambda)). \end{aligned}$$

Поэтому любой элемент $h \in C^{**}$ определяет набор $\{h(x) \in C^{**}(B, H^*(F, \Lambda)), x \in I\}$; таким набором элемент h определяется однозначно.

В алгебре $C^*(B, H^*(F, \Lambda))$ видоизменены умножения, для $x \in C^p(B, H^q(F, \Lambda))$ и $y \in C^m(B, H^n(F, \Lambda))$ положим $x \cdot y = (-1)^{q \cdot m} x \cup y$ и $x \cup_1 y = (-1)^{q(m-1)} x \cup_1 y$, где справа стоит обычное стиридовское \cup_1 -произведение.

Ряду $p = b_0 + b_1 + b_2 + \dots \in P$ сопоставим элемент $h \in C^{**}$, определенный набором $\{h(x) \in C^{**}(B, H^*(F, \Lambda))\}$, где $h(x)$ определяется индуктивно равенствами

$$\begin{aligned} h(a_i) &= b'_i, \\ h(xa_i) &= h(x) \cdot \bar{a}_i + (-1)^{\bar{x}} \bar{x} \cdot h(a_i) + (-1)^{a_i+1} h(x) \cup_1 h(a_i). \end{aligned} \quad (1)$$

Здесь b'_i —коцикл из b_i , а \bar{x} и \bar{a}_i — o -мерные коцепи, сопоставляющие каждой вершине элементы x и a_i соответственно. Можно проверить, что определенный таким образом элемент удовлетворяет условиям $dh = -Jhh$ и $h^0 = h^1 = 0$, а также класс элемента h в $D(B, H^*(F, \Lambda))$ не зависит от выбора коциклов b'_i из b_i . Определим $\lambda(p)$ как класс элемента h в $D(B, H^*(F, \Lambda))$.

Замечание. В случае, когда B —полиэдр под C^{**} , можно понимать группу коцепей как симплексальную, так и сингулярного комплекса пространства, $\lambda(p)$ одинаково определяется как сингулярными коциклическими b'_i из b_i , так и симплексальными (так как симплексальный и сингулярный D совпадают).

Доказательство предложения. В силу [1, 2] существуют упорядоченный симплексальный комплекс L и локальная система коцепных комплексов $C(b)$ (с дифференцированием γ), такая, что: (1) L гомологически эквивалентно B при некотором отображении; (2) $H^*(C(b)) = H^*(F, \Lambda)$; (3) двойной комплекс $Y = C^*(L, C(b))$ (с дифференцированием $d = d_L + J\gamma$) имеет те же когомологии, что и E . Для нахождения преддифференциала $d(\xi)$ достаточно найти пару (h, k) $h \in C^{**}(L, \text{Hom}(H^*(C(b)), H^*(C(b))))$ и $k \in C^{**}(L, \text{Hom}(H^*(C(b)), C(b)))$, такую, что $d_L k + \gamma(Jh) = h \cdot k$, $h^0 = h^1 = 0$ и $k^0(x) \in x$. Тогда класс элемента h есть преддифференциал $d(\xi)$.

Следовательно, для доказательства достаточно вместе с h , данным в предложении I с помощью формул (1), дать выражения для k и проверить для пары (h, k) вышеуказанные условия.



Естественные пополнения комплексов $C(b)$ определяют отображение $p^*: C^*(L, \Lambda) \rightarrow C^*(L, C(b))$. Из трансгрессивности образующих a следует существование коцепей $c_i = c_i^0 + c_i^1 + \dots \in Y$, таких, что $c_i^0 \in \bar{a}_i$ и $dc_i = p^* b'_i$.

Определим k равенствами $k(a_i) = c_i$, $k(xa_i) = k(x) \cdot k(a_i) + (-1)^{\alpha_i} + 1 \times \times k(x) \cup_1 dk(a_i)$; здесь произведения берутся с измененным знаком, как было определено выше.

Легко проверить, что $k^\circ(x) \in x$ и $h^\circ = h^1 = 0$. Для доказательства справедливости равенства $d_L k + \gamma(J \cdot k) = h \cdot k$ сделаем следующее замечание: так как $C^{**}(L, H^*(F, \Lambda)) = C^{**}\left(L, \sum_y \Lambda_y\right) \subset \prod_y C^{**}(L, \Lambda)$, любой элемент $h(x)$ определяет набор $\{[h(x)](y) \in C^{**}(L, \Lambda), y \in I\}$.

Произведение $(h \cdot k)(x)$ разлагается в сумму $(h \cdot k)(x) = \sum_y h(x)(y) \cdot k(y)$.

Из определения элементов $h(x)$ видно, что $h(xa_i)(y) = h(x)(y) \neq 0$ только для $y \subset xa_i$ и $h(xa_i)(x) = (-1)^{\alpha_i} b'_i$; если $y \subset x$, то $h(xa_i)(y) = h(x)(y)$ и $h(xa_i)(y) = (-1)^{\alpha_i} (1+\eta) + 1 h(x)(y) \cup_1 b'_i$; для остальных $y \subset xa_i$ $h(xa_i)(y) = 0$; здесь $\eta = \dim y$.

На основе вышеизложенного равенства $d_L k + \gamma(Jk) = h \cdot k$ проверяется элементарно.

Тбилисский государственный университет

(Поступило 5.7.1974)

გათვალისწინებული

თ. კადეიშვილი

მთავარ ფიზიკო-მათემატიკურ მუზეუმის მომრიცხვის

რეზიუმე

ფიზრაციათა ერთი კლასისთვის, რომელიც შეიცავს მთავარ უნიტარულ ფიზრაციებს, გამოოვლილია პრედიფერენციალი [1, 2]-ის აზრით. გამოყენებულია კოკროფტის შედეგი [3].

MATHEMATICS

T. V. KADEISHVILI

ON THE HOMOLOGY THEORY OF THE PRINCIPAL
FIBRE SPACES

Summary

The predifferential in the sense of [1, 2] is calculated for a class of fibre spaces, which contains the principal unitary fibrations. Cockcroft's result [3] is used.

ლიტერატურა — ЛИТЕРАТУРА — REFERENCES

1. Н. А. Берикашвили. Сообщения АН ГССР, 51, № 1, 1968.
2. Н. А. Берикашвили. О дифференциалах спектральной последовательности. Автореферат, Тбилиси, 1971.
3. W. H. Cockcroft. Trans. Amer. Math. Soc., vol. 98, № 2, 1961.

МАТЕМАТИКА

А. Г. ОСИДЗЕ

ОБ ОДНОЙ СТАТИСТИКЕ ДЛЯ ПРОВЕРКИ СЛОЖНОЙ
ГИПОТЕЗЫ ОТНОСИТЕЛЬНО ВИДА СПЕКТРАЛЬНОЙ
ПЛОТНОСТИ СТАЦИОНАРНОГО ГАУССОВСКОГО СЛУЧАЙНОГО
ПРОЦЕССА

(Представлено членом-корреспондентом Академии Б. В. Хведелидзе 27.1.1974)

1. Пусть $X(t)$ — стационарный гауссовский случайный процесс с дискретным или непрерывным временем t и с нулевым математическим ожиданием $EX(t)=0$. Предположим, что на основе одной реализации конечной длины T , $x(1), \dots, x(T)$ в случае дискретного времени и $x(t), 0 \leq t \leq T$ в случае непрерывного времени, требуется проверить гипотезу H_0 о том, что спектральная плотность процесса $X(t)$ имеет вид $f(\lambda)$, $\lambda \in \Lambda$, где $\Lambda = [-\pi, \pi]$ в случае дискретного времени t и $\Lambda = (-\infty, \infty)$ в случае непрерывного времени t . Предположим, далее, что гипотеза H_0 сложная, т. е. гипотетическая спектральная плотность $f(\lambda)$ зависит от некоторого, скажем p , числа неизвестных параметров $\underline{\theta} = (\theta_1, \dots, \theta_p)$, принимающих значения из некоторой области Θ , т. е. $f(\lambda) = f(\lambda, \underline{\theta})$.

Пусть $\underline{\Phi}$ — вектор с компонентами

$$\Phi_{jT} = \frac{1}{\sqrt{4\pi}} \int_{\Lambda} H_j(\lambda) \frac{I_T(\lambda) - f(\lambda, \underline{\theta})}{f(\lambda, \underline{\theta})} d\lambda, \quad j = \overline{1, m},$$

где $H_j(\lambda)$ — ортонормированная система на Λ ,

$$I_T(\lambda) = \frac{1}{2\pi T} \left| \sum_{t=1}^T x(t) \exp \{i\lambda t\} \right|^2 \quad (\text{в случае дискретного } t)$$

и

$$I_T(\lambda) = \frac{1}{2\pi T} \left| \int_0^T x(t) \exp \{i\lambda t\} dt \right|^2 \quad (\text{в случае непрерывного } t).$$

Пусть, далее, выполняются условия работы [1], при которых вектор $\sqrt{T} \underline{\Phi}$ при $T \rightarrow \infty$ имеет нормальное распределение. Тогда легко убедиться, что предельное нормальное распределение имеет нулевое математическое ожидание и единичную ковариационную матрицу.

Если бы проверялась простая гипотеза, т. е. если бы истинные значения $\underline{\theta}_0$ параметров $\underline{\theta}$ были известны, тогда, очевидно, для проверки гипотезы можно было бы воспользоваться статистикой

$$X^2(\underline{\theta}) = T \sum_{j=1}^m \{\Phi_{jT}\}^2, \quad (1)$$

которая при $\underline{\theta} = \underline{\theta}_0$ и $T \rightarrow \infty$ имеет xi -квадрат-распределение с m степенями свободы.

Но здесь нас будет интересовать лишь случай проверки сложной гипотезы H_0 . Следуя принятим в математической статистике рассуждениям (см., например, [2]), для проверки сложной гипотезы H_0 также воспользуемся статистикой (1), где, однако, вместо $\underline{\theta}$ подставим некоторые их статистические оценки. При этом, разумеется, асимптотическое распределение статистики (1), вообще говоря, будет зависеть от свойств выбранных нами оценок.

Так, например, в [3] было показано, что статистика (1) при $\underline{\theta} = \bar{\underline{\theta}}$, где $\bar{\underline{\theta}}$ — так называемая оценка минимума xi -квадрат, т. е. такое значение $\underline{\theta}$, при котором (1) принимает минимальное значение или какая-нибудь асимптотически эквивалентная ей оценка имеет в пределе при $T \rightarrow \infty$ xi -квадрат-распределение с $m-p$ степенями свободы. Однако задача нахождения оценок $\bar{\underline{\theta}}$ довольно сложна. Если же в статистике (1) вместо $\underline{\theta}$ подставить оценку максимального правдоподобия (см. [4, 5]), то можно увидеть, как показано в [6], что предельное распределение отличается от xi -квадрат-распределения и имеет сложный и плохо изученный вид. К тому же оценки максимального правдоподобия $\bar{\underline{\theta}}$ часто не легко находить.

В свете вышесказанного представляется целесообразным несколько видоизменить статистику (1) так, чтобы ее предельное распределение всегда было xi -квадрат-распределением при использовании практически любой состоятельной оценки параметра $\underline{\theta}$.

2. Пусть $\underline{\theta}^* \sqrt{T}$ — состоятельная оценка $\underline{\theta}$. Обозначим символом $B(\underline{\theta})$ матрицу с элементами

$$b_{jk} = \frac{1}{\sqrt{4\pi}} \int_{\Lambda} H_j(\lambda) \frac{\partial}{\partial \theta_k} \log f(\lambda) d\lambda, \quad j = \overline{1, m}, \quad k = \overline{1, p},$$

имеющую ранг, равный p . Далее, пусть $f(\lambda) \neq 0$ при $\lambda \in \Lambda$ и имеет непрерывные производные первых трех порядков по θ_k .

При указанных условиях справедлива следующая

Теорема. Статистика

$$W(\underline{\theta}^*) = X^2(\underline{\theta}^*) - T \Phi'(\underline{\theta}^*) B(\underline{\theta}^*) [B'(\underline{\theta}^*) B(\underline{\theta}^*)]^{-1} B'(\underline{\theta}^*) \Phi(\underline{\theta}^*) \quad (2)$$

при $T \rightarrow \infty$ имеет хи-квадрат-распределение с $m-p$ степенями свободы.

Доказательство легко вытекает из утверждений следующих лемм:

Лемма 1 [3]. Статистика $X^2(\bar{\theta})$, где $\bar{\theta}$ —оценка минимума хи-квадрат или некоторая асимптотически ей эквивалентная оценка, при $T \rightarrow \infty$ имеет χ^2 -распределение с $m-p$ степенями свободы.

Лемма 2 [7]. Оценка

$$\tilde{\theta} = \underline{\theta}^* + [B'(\underline{\theta}^*) B(\underline{\theta}^*)]^{-1} B'(\underline{\theta}^*) \Phi(\underline{\theta}^*),$$

где $\underline{\theta}^*$ —произвольная \sqrt{T} -состоятельная оценка, асимптотически эквивалентна оценке минимума хи-квадрат.

Лемма 3. Имеет место асимптотическое равенство

$$X^2(\tilde{\theta}) = W(\underline{\theta}^*) + o_p(1),$$

где $o_p(1)$ —случайная величина, при $T \rightarrow \infty$ стремящаяся к нулю.

Академия наук Грузинской ССР

Институт экономики и права

(Поступило 5.7.1973)

გათიშვარი

ა. მიძემ

მოღვაწე სტატისტიკის უნივერსიტეტი, რომლი პიკობითი უნივერსიტეტის გარემონტებულად
გაცდის სტაციონარული უცნობების კრიტერიუმის სპეციალური
სიმძლივოსასისის

რეზიუმე

შემოთხვევაზებულია სტატისტიკა (2) ჰიპოთეზის შესამოწმებლად გაუსის
სტაციონარული შემთხვევითი პროცესის სპექტრალური სიმკვრივისათვის, რო-
ცა სიმკვრივე დამყიდებულია უცნობ პარამეტრებზე.

ღმრთავებულია, რომ სტატისტიკა (2)-ს აქვს χ^2 განაწილება $m-p$ თა-
ვისუფლების ხარისხით.

MATHEMATICS

A. G. OSIDZE

ON ONE STATISTICS TO VERIFY THE COMPLEX HYPOTHESIS
OF THE SPECTRAL DENSITY OF A GAUSSIAN STATIONARY
RANDOM PROCESS

Summary

The statistics (2) is proposed for the verification of the hypothesis of the spectral density of a Gaussian stationary random process when the density depends on unknown parameters.

It is proved that statistics (2) has χ^2 -distribution with the $m-p$ degree of freedom.

ლიტერატურა — ЛИТЕРАТУРА — REFERENCES

1. И. А. Ибрагимов. Теория вероятностей и ее применения, VIII, № 4, 1963.
2. М. Дж. Кендалл, А. Стьюарт. Статистические выводы и связи. М., 1973.
3. А. Г. Осидзе. Сообщения АН ГССР, 75, № 2, 1974.
4. P. Whittle. Ark. Mat., 2, 1953.
5. К. О. Джапаридзе. Теория вероятностей и ее применения, 8, № 3, 1970.
6. А. Г. Осидзе. Сообщения АН ГССР, 74, № 2, 1974.
7. К. О. Джапаридзе. Теория вероятностей и ее применения, XIX, № 2, 1974.

МЕХАНИКА

С. В. ИАСАШВИЛИ, К. З. ШУБИТИДЗЕ, Н. Г. ШУМОВ

СПЕКТР КОГЕРЕНТНОСТИ МЕХАНИЧЕСКИХ И
ГИДРОДИНАМИЧЕСКИХ ПАРАМЕТРОВ ЯДРА ПОТОКА
ЖИДКОСТИ ЦЕНТРОБЕЖНОГО НАСОСА

(Представлено академиком А. А. Дзидзигури 17.7.1974)

В последнее время появилось много работ, посвященных исследованию статистической динамики ядра потока жидкости центробежного насоса, основанных на исследовании методов идентификации [1]. Это вызвано в первую очередь тем, что центробежный насос широко используется в качестве звеньев систем регулирования в гидроприводах, гидроэлеваторах, гидрообъемных передачах, в частности в приводах горных машин, механизмов и для откачки шахтных вод. При этом известны устройства и механизмы, в которых несколько насосов работает параллельно или последовательно. Сложные гидродинамические связи вызывают нежелательные явления в гидравлических и механических цепях, связанных с возникновением вибрационных и гидравлических перегрузок; несогласованность динамических характеристик насосов (их передаточных функций) может служить источником, например, возникновения автоколебаний в системе или потери в определенных режимах устойчивости функционирования.

Исследование взаимовлияния динамических характеристик насоса по каждому из его каналов [2] позволяет выявить области частот, где это влияние наиболее возможно и наиболее сильно, и принять меры к уменьшению их нежелательных последствий.

Путь решения этого важного вопроса лежит на использовании методов статистической динамики, основанной на понятии спектра когерентности. Известно [3], что спектр когерентности двух временных параметров представляет собой коэффициент корреляции, определенный для каждого значения частоты. Он получается следующим образом.

Пусть на выходе насоса (рис. 1) нас интересует давление $P_2(t)$, образуемое как

$$P_2(t) = \int_0^{\infty} W_{p_2 p_1}(\tau) P_1(t - \tau) d\tau + N(t), \quad (1)$$

где $N(t)$ — составляющая давления за счет перегрузок насоса, связанная с его вибрационными перегрузками, возникающими на линии действия привода:

$$N(t) = \int_0^{\infty} W_{p_2 N}(\tau) N(t - \tau) d\tau. \quad (2)$$

Здесь обозначения аналогичны [2] и $P_1(t)$ является входным процессом по линии действия гидродинамических параметров, а $P_2(t)$ — соответствующим выходом, сложенным с независимостью относитель-

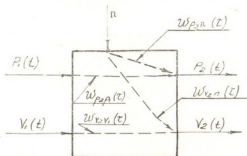


Рис. 1

но $P_1(t)$ шумом $N(t)$. Так как для насоса, рассматриваемого в виде линейного звена, справедливо выражение (2)

$$W_{p_2 p_1}(j\omega) = \frac{S_{p_2 p_1}(j\omega)}{S_{p_1}(\omega)}, \quad (3)$$

то $W_{p_2 p_1}(j\omega)$ представляет собой амплитудно-фазово-частотную характеристику, а в области действительной частоты можно записать амплитудно-частотную характеристику частотности $G(\omega)$. Для одного из высокооборотных насосов амплитудно-фазово-частотная характеристика, найденная методами идентификации, описывается в [4] и имеет вид

$$W_{p_2 p_1}(P) \approx \frac{K(\tau_1^2 p^2 + 2\xi_1 \tau_1 p + 1)}{(T_1 p + 1)(T_2^2 p^2 + 2\xi_2 \tau_2 p + 1)}, \quad p = j\omega. \quad (4)$$

Отсюда, выделив действительную часть, несложно найти амплитудно-частотную характеристику.

Запишем выражение (3) в виде

$$W_{p_2 p_1}(j\omega) = W(\omega) e^{j\psi(\omega)} = \frac{\Omega_{21}(\omega) - j\Phi_{21}(\omega)}{S_{p_1}(\omega)}. \quad (5)$$

Найдем, что амплитудно-частотная характеристика (усиление давления на выходе относительно давления на входе — коэффициент усиления) есть

$$W(\omega) = \frac{\sqrt{\Omega_{21}^2(\omega) + \Phi_{21}^2(\omega)}}{S_{p_1}(\omega)} = \frac{\alpha_{21}(\omega)}{S_{p_1}(\omega)}. \quad (6)$$

Функция $\alpha_{21}(\omega)$ может рассматриваться как «взаимная» амплитуда, т. е. как мера ковариации между значениями давления на выходе $P_2(t)$ и входе $P_1(t)$ на частоте ω , а $S_{p_1}(\omega)$ — по-прежнему спектр входа. Он может характеризовать меру дисперсии входного парамет-

ра на той же частоте. Таким образом $W(\omega)$ здесь играет роль коэффициента регрессии на каждой фиксированной частоте.

Если теперь вернуться к выражению (1), в котором фигурирует составляющая от вибрационных помех, то в соответствии с работой [1] можно записать

$$K_{p_2}(\tau) = \int_{-\infty}^{\infty} \int_{-\infty}^{\infty} W_{p_2 p_1}(u) W_{p_2 p_1}(u') K_{p_1}(\tau + u - u') du du' + K_N(\tau), \quad (7)$$

где $K_{p_2}(\tau)$, $K_{p_1}(\tau)$ и $K_N(\tau)$ — соответствующие корреляционные функции. Взяв преобразование Фурье от этого равенства, получим выражение в области мнимых частот:

$$S_{p_2}(\omega) = G^2(j\omega) S_{p_1}(\omega) + S_N(\omega). \quad (8)$$

Здесь $S_N(\omega)$ — спектр шумовой составляющей давления на выходе насоса. Из выражения (8), подставляя (6), легко получаем

$$S_N(\omega) = S_{p_2}(\omega) - \frac{\alpha_{21}^2(\omega)}{S_{p_1}(\omega)} \quad (9)$$

или

$$S_N(\omega) = S_{p_2}(\omega) [1 - \chi_{21}^2(\omega)], \quad (10)$$

где

$$\chi_{21}^2(\omega) = \frac{\alpha_{21}^2(\omega)}{S_{p_2}(\omega) \cdot S_{p_1}(\omega)} \cdot \quad (11)$$

Функция частоты $\chi_{21}^2(\omega)$ — квадрат спектра когерентности между давлением на выходе и входе насоса. Он играет роль коэффициента корреляции, определенного для каждого значения частоты.

Равенство (10) показывает, что при совпадении спектра шума $S_N(\omega)$ с выходным спектром $S_{p_2}(\omega)$ коэффициент когерентности равен нулю, т. е. выход состоит из одного спектра шума. И наоборот, если $S_N(\omega) = 0$, то $\chi_{21}^2(\omega) = 1$, а выходной спектр просто равен входному, умноженному на квадрат коэффициента усиления давления. Исключая $S_{p_2}(\omega)$ из (8) и (11), получаем

$$\chi_{21}^2(\omega) = \frac{1}{1 + S_N(\omega)/G^2(\omega) \cdot S_{p_1}(\omega)}.$$

Из этого выражения следует важный для теории насосных систем вывод: квадрат коэффициента когерентности (спектра когерентности) мал, когда мало отношение выходного параметра насоса к шуму $G^2(\omega) \cdot S_{p_1}(\omega)$, и близок к единице, когда это отношение велико.

Академия наук Грузинской ССР

Институт горной механики

им. Г. А. Цулукидзе

(Поступило 19.7.1974)

ს. იასაშვილი, ქ. შუბითიძე, ნ. შუმოვი

ცენტრიდანული ტუმბოს სითხის ნაკადის გირთვის
მიზანიდანი და ჰიდროდინამიკური პარამეტრების
კოვერენციულობის სპექტრი

რეზიუმე

მოყვანილია კოვერენციულობის სპექტრის კვლევის შედეგები ცენტრიდანული ტუმბოს ვიბრაციულ დატვირთვებსა და შესვლის და გამოსვლის კვებში, ნაკადის ჰიდროდინამიკურ პარამეტრებს შორის.

MECHANICS

S. V. IASASHVILI, K. Z. SHUBITIDZE, N. G. SHUMOV

INVESTIGATION OF THE COHERENCE SPECTRUM OF MECHANICAL AND HYDRODYNAMIC PARAMETERS OF THE CORE OF THE CENTRIFUGAL PUMP FLUID FLOW

Summary

The results of an experimental investigation of the coherence spectrum between the vibration overload and hydrodynamic parameters of the core of the fluid flow at the intaking and forcing sides of the pump are presented.

ლიტერატურა — REFERENCES

1. Я. А. Гельфанд бейн. Методы кибернетической диагностики динамических систем. Рига, 1967.
2. Я. А. Гельфанд бейн, Н. Г. Шумов. Изв. вузов, «Машиностроение», 8, 1972.
3. Г. Джекинс, Д. Ваттс. Спектральный анализ и его приложения. М., 1972.
4. Я. А. Гельфанд бейн, Н. Г. Шумов. Изв. вузов, «Машиностроение», 9, 1972.



МЕХАНИКА

М. Ш. МИКЕЛАДЗЕ

ТЕОРИЯ ОБРАЗОВАНИЯ КОРКИ ПРИ НЕПРЕРЫВНОЙ РАЗЛИВКЕ СТАЛИ НА УСТАНОВКАХ ОВАЛЬНОГО ТИПА

(Представлено академиком Ш. Е. Микеладзе 1.8.1974)

В последнее время в металлургической промышленности появились установки непрерывной разливки стали, так называемые установки овального типа, в которых заготовка сначала движется по окружности, а по мере прохождения через зону вторичного охлаждения — вдоль кривой, радиус кривизны которой постепенно увеличивается [1—3].

Следуя [4], исследуем механизм образования корки в этом случае.

Основные предположения относительно размеров заготовки, характера напряженного состояния элемента корки и закона распределения температуры по ее толщине остаются прежними [4].

Следовательно, разрешающая система уравнений задачи имеет вид

$$\frac{\partial T_1}{\partial x} + \frac{\partial S}{\partial s} = 0, \quad \frac{\partial S}{\partial x} + \frac{\partial T_2}{\partial s} + \left[\frac{N_2}{R} \right] + q_t = 0, \quad (1)$$

$$\frac{\partial N_2}{\partial s} - \frac{T_2}{R} + q_n = 0, \quad \frac{\partial M_2}{\partial s} - N_2 = 0, \quad (2)$$

$$T_1 + T_2 = \frac{1}{2} \sigma_{s0} h, \quad M_2 = \frac{\sigma_{s0} h^2}{6}, \quad (3)$$

где первые четыре уравнения выражают условия статики, а последующие — критерий прочности Надаи, записанный посредством результирующих величин для материала, предел текучести которого на сжатие во много раз превосходит предел текучести на растяжение.

В соотношениях (1)–(3) мы сохраним обозначения предыдущей статьи [4] с учетом того обстоятельства, что s является дуговой координатой, а $R=R(s)$ — радиусом кривизны.

Анализируя (в качестве примеров) размеры слябов и соответствующих установок, построенных немецкой фирмой «Маннесман» в Хукингене и Дуйсбурге за последние десять лет [3], мы вправе пре-небречь членом в квадратных скобках во втором уравнении (1), имел в виду пологое очертание некруговой части установки и незначительную толщину корки в пределах кристаллизатора.

Тогда на основании уравнений (1) и первого из условий прочности (3), получим

$$\frac{1}{2} \sigma_{s0} \frac{\partial^2 h}{\partial x^2} - \frac{\partial^2 T_2}{\partial x^2} - \frac{\partial^2 T_2}{\partial s^2} - \frac{\partial q_t}{\partial s} = 0,$$

или, пренебрегая, как и в [4], в первом приближении влиянием члена $\left(\frac{1}{2} \sigma_{s0} \frac{\partial^2 h}{\partial x^2}\right)$, в силу плавного характера изменения h по направлению x ,

$$\frac{\partial^2 T_2}{\partial x^2} + \frac{\partial^2 T_2}{\partial s^2} = - \frac{\partial q_t}{\partial s}.$$

Если правая часть этого уравнения представлена в виде ряда

$$\sum_1^m f_m(s) \sin \frac{m \pi x}{D},$$

где D — ширина заготовки, то решение его можно искать также в виде ряда

$$T_2 = \sum_1^m t_m(s) \sin \frac{m \pi x}{D},$$

который заведомо удовлетворяет граничным условиям при $x=0$ и $x=D$ (см. [4]).

Что касается функции $t_m(s)$, то она является решением следующего обыкновенного дифференциального уравнения:

$$\frac{d^2 t_m(s)}{ds^2} - \left(\frac{m \pi}{D}\right)^2 t_m(s) = f_m(s), \quad (4)$$

правая часть которого представляет собой кусочно-непрерывную функцию от s , которая с большой степенью точности может быть представлена кусочно-постоянной величиной. Скачкообразный характер изменения этой величины обусловлен наличием в установке нескольких зон, коэффициенты трения для которых имеют неодинаковые значения. Так, например, для радиальной установки Руставского металлургического завода можно отметить четыре характерных участка, включая и кристаллизатор, вдоль которых коэффициент трения меняется скачкообразно в пределах от 0,5 до 0,1 [2, 3]. На границах между этими участками $\frac{\partial T_2}{\partial s}$ и, следовательно, $\frac{dt_m}{ds}$ терпят разрыв первого рода, как об этом можно судить по второму уравнению (1). Скачки этих производных известны, коль скоро известны скачки тангенциальных составляющих нагрузки q_t .

Таким образом, необходимо построить непрерывное решение уравнения (4), удовлетворяющее следующим начальным условиям:

$$t_m(0) = 0 \text{ и } \left(\frac{dt_m(s)}{ds}\right)_{s=0} = - q_t \left(0, \frac{D}{2}\right).$$

Такое решение можно искать в виде обобщенного Ш. Е. Микеладзе ряда Маклорена [5], определяя значения производных в точке $s=0$ и их скачков в точках разрыва непосредственно из дифференциаль-



ного уравнения (4). Можно, конечно, следуя идеям [5], свести задачу к эквивалентному интегральному уравнению типа Вольтерра второго рода, для численного решения которого автором построены удобные рекуррентные соотношения [6].

Располагая T_2 , легко находим при помощи (2) изгибающий момент M_2 с учетом того обстоятельства, что

$$M_2 = \frac{\partial M_2}{\partial s} = 0 \quad \text{при } s=0.$$

Однако длина прямоугольной области, внутри которой построенные решения для T_2 и M_2 имеют смысл, остается пока неизвестной. Последнюю можно определить на основе второй из формул (3), принимая во внимание, что на границе области при $x = \frac{D}{2}$, т. е. на границе жидкой фазы, толщина корки h должна равняться половине толщины заготовки [4]. Кстати сказать, сама толщина h является также кусочно-непрерывной функцией s , поскольку таковой является предел текучести на поверхности полосы σ_{s_0} в результате неравномерного охлаждения последней. В качестве примера можно сослаться на радиальную установку фирмы «Диллингер Хюттенверке» (ФРГ), зона вторичного охлаждения которой разделена на пять участков с разной интенсивностью охлаждения. В первой зоне широкие грани охлаждаются 329-струйными форсунками, во второй — 340, в третьей — 250, в четвертой и пятой — 170-струйными [3].

Таким образом, изложенная теория позволяет проследить механизм образования корки при непрерывной разливке стали на установках овального типа с учетом скачкообразного характера изменения некоторых геометрических и физических факторов.

Академия наук Грузинской ССР
Тбилисский математический институт
им. А. М. Размадзе

(Поступило 3.10.1974)

80226025

ა. მიძილაძე

ქორქის ვარმოქმნის თეორია ოვალური ტიპის დანაღვარებზე
ფოლადის უწყვეტი ჩამოსხმის დროს

რეზიუმე

შესწავლითი გაციების შედეგად ქერქის წარმოქმნის თეორია ოვალური ტიპის დანაღვარებზე ფოლადის უწყვეტი ჩამოსხმის დროს ზოგიერთი გეომეტრიული და ფიზიკური ფაქტორის წყვეტის შესაძლებლობის გათვალისწინებით.

M. Sh. MIKELADZE

THEORY OF CRUSTIFICATION IN CONTINUOUS STEEL-CASTING ON OVAL INSTALLATIONS

Summary

The mechanism of crustification caused by cooling in continuous steel-casting on oval installations has been investigated, taking into account the discontinuous character of some geometrical and physical factors.

ЛІТОГРАФІЯ — ЛІТЕРАТУРА — REFERENCES

1. М. Я. Бровман, Е. В. Суриц, В. Г. Грузин и др. Энергосиловые параметры установок непрерывной разливки стали. М., 1969.
2. М. Я. Бровман, А. А. Целиков. Сталь, № 8, 1967.
3. В. Т. Сладкоштеев, Р. В. Потанин и др. Сб. «Непрерывная разливка стали в УССР и за рубежом». Киев, 1968.
4. М. Ш. Микеладзе. Сообщения АН ГССР, 75, № 2, 1974.
5. III. E. Mikeladze. Nekotorye zadachi stroyitelnoj mehaniki. M.—L., 1948.
6. M. Sh. Mikeladze. PMM, XVII, 3, 1953.

ТЕОРИЯ УПРУГОСТИ

Л. П. БИЦАДЗЕ

СМЕШАННАЯ ЗАДАЧА СТАТИКИ ТЕРМОУПРУГОГО ТРАНСВЕРСАЛЬНОГО ИЗОТРОПНОГО СЛОЯ

(Представлено академиком В. Д. Купрадзе 16.9.1974)

Пусть D — область, ограниченная двумя параллельными плоскостями

$$x_3=0, \quad x_3=h \quad (h>0).$$

Основные уравнения однородной трансверсально изотропной термоупругой среды в компонентах смещения при отсутствии объемных сил имеют вид [1, 2]

$$\begin{aligned} c_{11} \frac{\partial^2 u_1}{\partial x_1^2} + c_{66} \frac{\partial^2 u_1}{\partial x_2^2} + c_{44} \frac{\partial^2 u_1}{\partial x_3^2} + (c_{11} - c_{66}) \frac{\partial^2 u_2}{\partial x_1 \partial x_2} + (c_{13} + c_{44}) \frac{\partial^2 u_3}{\partial x_1 \partial x_3} &= \beta \frac{\partial u_4}{\partial x_1}, \\ (c_{11} - c_{66}) \frac{\partial^2 u_1}{\partial x_1 \partial x_2} + c_{66} \frac{\partial^2 u_2}{\partial x_1^2} + c_{11} \frac{\partial^2 u_2}{\partial x_2^2} + c_{44} \frac{\partial^2 u_2}{\partial x_3^2} + (c_{13} + c_{44}) \frac{\partial^2 u_3}{\partial x_2 \partial x_3} &= \beta' \frac{\partial u_4}{\partial x_2}, \\ (c_{13} + c_{44}) \frac{\partial}{\partial x_3} \left(\frac{\partial u_1}{\partial x_1} + \frac{\partial u_2}{\partial x_2} \right) + c_{44} \left(\frac{\partial^2 u_3}{\partial x_1^2} + \frac{\partial^2 u_3}{\partial x_2^2} \right) + c_{33} \frac{\partial^2 u_3}{\partial x_3^2} &= \beta' \frac{\partial u_4}{\partial x_3}, \\ \frac{\partial^2 u_4}{\partial x_1^2} + \frac{\partial^2 u_4}{\partial x_2^2} + a_4 \frac{\partial^2 u_4}{\partial x_3^2} &= 0, \end{aligned} \quad (1)$$

$$a_4 = k' \cdot k^{-1},$$

где u_1, u_2, u_3 — компоненты вектора смещения, u_4 — температура тела, c_{11} , c_{13} , c_{44} , c_{33} , c_{66} — упругие постоянные, β и β' — коэффициенты теплового линейного расширения:

$$\beta = \alpha' c_{13} + 2\alpha(c_{11} - c_{66}),$$

$$\beta' = \alpha' c_{33} + 2\alpha c_{13},$$

α и α' — коэффициенты температурного расширения, k , k' — главные коэффициенты теплопроводности.

Рассматривается следующая задача: найти в области D регулярное решение $u(u_1, u_2, u_3)$ и u_4 уравнений (1), когда на граничных плоскостях $x_3=0$ и $x_3=h$ заданы следующие условия:

$$\tau_{13}^+ = f_1, \quad \tau_{23}^+ = f_2, \quad u_3^+ = f_3, \quad u_4^+ = f_4, \quad x_3 = 0,$$

$$u_1^+ = F_1, \quad u_2^+ = F_2, \quad \tau_{33}^+ = F_3, \quad a_4 \left(\frac{\partial u_4}{\partial x_3} \right)^+ = F_4, \quad x_3 = h.$$

Здесь τ_{13} , τ_{23} , τ_{33} компоненты вектора термонапряжения:



$$\begin{aligned}\tau_{13} &= c_{44} \left(\frac{\partial u_1}{\partial x_3} + \frac{\partial u_3}{\partial x_1} \right), \quad \tau_{23} = c_{44} \left(\frac{\partial u_2}{\partial x_3} + \frac{\partial u_3}{\partial x_2} \right), \\ \tau_{33} &= c_{13} \left(\frac{\partial u_1}{\partial x_1} + \frac{\partial u_2}{\partial x_2} \right) + c_{33} \frac{\partial u_3}{\partial x_3} - \beta' u_4.\end{aligned}$$

Пусть

$$f_k(p_1, p_2) = \frac{1}{2\pi} \iint_{-\infty}^{\infty} \widehat{f}_k(y_1, y_2) \exp \left(-i \sum_{j=1}^2 p_j y_j \right) dy_1 dy_2,$$

$$F_k(p_1, p_2) = \frac{1}{2\pi} \iint_{-\infty}^{\infty} \widehat{F}_k(y_1, y_2) \exp \left(-i \sum_{j=1}^2 p_j y_j \right) dy_1 dy_2,$$

$$k=1, 2, 3, 4.$$

Легко получается

$$\begin{aligned}u_4(x) &= \frac{1}{2\pi} \iint_{-\infty}^{\infty} \left[\widehat{f}_1(p_1, p_2) \operatorname{ch} \rho \frac{h-x_3}{\sqrt{a_4}} + \frac{1}{\sqrt{a_4}} \frac{\widehat{F}_4(p_1 p_2)}{\rho} \operatorname{sh} \frac{x_3 \rho}{\sqrt{a_4}} \right] \times \\ &\quad \times \frac{\exp \left(-i \sum_{j=1}^2 p_j x_j \right)}{\rho} dp_1 dp_2, \quad x \in D, \quad \rho^2 = p_1^2 + p_2^2.\end{aligned}$$

Таким образом, правая часть системы уравнений (1) известна и путем построения одного частного решения мы можем привести поставленную задачу термоупругости к задаче теории упругости трансверсально изотропного тела для однородной системы. Это частное решение имеет вид

$$V_j(x) = A_4 \frac{\partial \Phi}{\partial x_j} + \sum_{k=2}^3 b_k \frac{\partial \Psi_k}{\partial x_j}, \quad j=1, 2$$

$$V_3(x) = B_4 \frac{\partial \Phi}{\partial x_3} + b_2 b_3 \sum_{k=2}^3 b_k^{-1} \frac{\partial \Psi_k}{\partial x_3},$$

$$\begin{aligned}\Phi(x) &= -\frac{1}{2\pi} \iint_{-\infty}^{\infty} \left[\widehat{f}_4 \operatorname{ch} \rho \frac{h-x_3}{\sqrt{a_4}} + \frac{1}{\sqrt{a_4}} \frac{\widehat{F}_4}{\rho} \operatorname{sh} \rho \frac{x_3}{\sqrt{a_4}} \right] \times \\ &\quad \times \frac{\exp \left(-i \sum_{j=1}^2 p_j x_j \right)}{\rho^2 \operatorname{ch} \rho \frac{h}{\sqrt{a_4}}} dp_1 dp_2,\end{aligned}$$

$$\begin{aligned} \psi_k(x) = & \frac{(-1)^k}{2\pi\sqrt{a_4}(b_2 - b_3)} \left(b_k A_4 - \frac{b_2 b_3}{b_k} B_4 \right) \iint_{-\infty}^{\infty} \left\{ \left[\sqrt{a_4} \operatorname{ch} \rho \frac{x_3}{\sqrt{a_k}} + \right. \right. \\ & \left. \left. + \sqrt{a_k} \operatorname{sh} \rho \frac{h}{\sqrt{a_4}} \operatorname{sh} \rho \frac{h-x_3}{\sqrt{a_k}} \right] \widehat{f}_4(p_1, p_2) + \frac{1}{\rho} \left[\operatorname{sh} \rho \frac{h}{\sqrt{a_4}} \operatorname{ch} \rho \frac{x_3}{\sqrt{a_k}} - \right. \right. \\ & \left. \left. - \sqrt{\frac{a_k}{a_4}} \operatorname{ch} \rho \frac{h}{\sqrt{a_4}} \operatorname{sh} \rho \frac{h-x_3}{\sqrt{a_k}} \right] \widehat{F}_4(p_1, p_2) \right\} \frac{\exp \left(-i \sum_{j=1}^2 p_j x_j \right) dp_1 dp_2}{\rho^2 \operatorname{ch} \rho \frac{h}{\sqrt{a_4}} \operatorname{ch} \rho \frac{h}{\sqrt{a_k}}}, \end{aligned}$$

где

$$\begin{aligned} A_4 = & a_4 \frac{\beta(c_{33} - c_{44}a_4) - \beta'(c_{13} + c_{44})}{c_{11}c_{44}(a_4 - a_2)(a_4 - a_3)}, \quad B_4 = a_4 \frac{\beta a_4(c_{13} + c_{44}) + \beta'(c_{44} - c_{11}a_4)}{c_{11}c_{44}(a_4 - a_2)(a_4 - a_3)}, \\ b_k = & \frac{c_{13} + c_{44}}{c_{11}a_k + c_{13}}, \quad k=2, 3, \quad a_2 \neq a_4, \quad a_3 \neq a_4, \end{aligned}$$

a_2, a_3 — корни квадратного уравнения

$$c_{11}c_{44}a^2 + [(c_{13} + c_{44})^2 - c_{11}c_{33} - c_{14}^2]a + c_{33}c_{44} = 0.$$

Для существования V_3 предполагается, что $\widehat{F}_4(0, 0) = 0$. Таким образом, решение системы (1) представляется в виде

$$u(x) = V(x) + W(x),$$

где W — общее решение однородных уравнений теории упругости, удовлетворяющее граничным условиям

$$\tau_{13}^+ = f_1, \quad \tau_{23}^+ = f_2, \quad W_3^+ = f_3, \quad x_3 = 0,$$

$$W_1^+ = F_1, \quad W_2^+ = F_2, \quad \tau_{33}^+ = F_3, \quad x_3 = h.$$

Решение $W(x)$ имеет вид

$$W_1(x) = -\frac{\partial \psi_1}{\partial x_2} + \sum_{k=2}^3 b_k \frac{\partial \psi_k}{\partial x_1},$$

$$W_2(x) = \frac{\partial \psi_1}{\partial x_1} + \sum_{k=2}^3 b_k \frac{\partial \psi_k}{\partial x_2},$$

$$W_3(x) = b_2 b_3 \sum_{k=2}^3 b_k^{-1} \frac{\partial \psi_k}{\partial x_3},$$

где

$$\psi_1(x) = \frac{1}{2\pi} \iint_{-\infty}^{\infty} \left[\frac{\sqrt{a_1}}{c_{44}} \frac{i\rho_2 \widehat{f}_1 - i\rho_1 \widehat{f}_2}{\rho^2} \operatorname{sh} \rho \frac{h-x_3}{\sqrt{a_1}} + \right.$$

$$\begin{aligned}
 & + \frac{ip_1\widehat{F}_2 - ip_2\widehat{F}_1}{\rho} \operatorname{ch} \frac{\rho x_3}{\sqrt{a_1}} \Big] \frac{\exp \left(-i \sum_{j=1}^2 p_j x_j \right)}{\rho \operatorname{ch} \frac{h\rho}{\sqrt{a_h}}} dp_1 dp_2, \\
 \psi_h(x) = & \frac{(-1)^h}{2\pi(b_2 - b_3)} \iint_{-\infty}^{\infty} \left\{ \left[\frac{ip_1\widehat{F}_1 + ip_2\widehat{F}_2}{\rho} - \frac{b_2 b_3}{c_{44} b_h} \frac{\widehat{F}_3}{\rho} \right] \operatorname{ch} \frac{x_3 \rho}{\sqrt{a_h}} - \right. \\
 & \left. - V \bar{a}_h \left[\frac{b_h}{c_{44}} \frac{ip_1\widehat{f}_1 + ip_2\widehat{f}_2}{\rho^2} - \widehat{f}_3 \right] \operatorname{sh} \rho \frac{h-x_3}{\sqrt{a_h}} \right\} \frac{\exp \left(-i \sum_{j=1}^2 p_j x_j \right)}{\rho \operatorname{ch} \frac{\rho h}{\sqrt{a_h}}} dp_1 dp_2,
 \end{aligned}$$

$x \in D, \quad k=2, 3, \quad a_1 = c_{44} c_{66}^{-1}$.

Тбилисский государственный университет
Институт прикладной математики

(Поступило 19.9.1974)

დოკადობის თაობის

ლ. ბიცაძე

თმრმოფლობაზე ტრანსმიგრაციის განვითარებული იზოტროპული თერმოდრექაზი ტანისათვის შერტყოლი სასაზღვრო მოცავი უსასრულო ფენაში. მოხსნა მოცემულია კვადრატურული სასაზღვრო მონაცემების ფურიეს გარდამნების მიზართ.

რეზიუმე

განხილულია ტრანსმიგრაციის იზოტროპული თერმოდრექაზი ტანისათვის შერტყოლი სასაზღვრო მოცავი უსასრულო ფენაში. მოხსნა მოცემულია კვადრატურული სასაზღვრო მონაცემების ფურიეს გარდამნების მიზართ.

THEORY OF ELASTICITY

L. P. BITSADZE

A MIXED BOUNDARY VALUE PROBLEM OF THE STATICS OF A THERMOELASTIC TRANSVERSELY ISOTROPIC LAYER

Summary

The solution of a mixed boundary value problem for a thermoelastic transversely isotropic layer is given in quadratures.

ლიტერატურა — ЛИТЕРАТУРА — REFERENCES

1. В. Новацик. Вопросы термоупругости. М., 1962.
2. В. Д. Купрадзе, Т. Г. Гегелиа, М. О. Башелейшили, Т. В. Бурчуладзе. Трехмерные задачи математической теории упругости. Тбилиси, 1968.

КИБЕРНЕТИКА

Г. М. БЕГАЛИШВИЛИ

НЕКОТОРЫЕ ЗАМЕЧАНИЯ О ДОСТАТОЧНЫХ УСЛОВИЯХ
СУЩЕСТВОВАНИЯ ОПТИМАЛЬНОГО УПРАВЛЕНИЯ

(Представлено академиком В. В. Чавчанидзе 5.10.1974)

Дано, что закон управления объектом описывается системой уравнений (в векторной записи [1])

$$\dot{x} = f(x, u), \quad u \in U, \quad (1)$$

где $x \in R^n$, $f \in E^n$, u — управляющий параметр принимающий свои значения из заданного хаусдорфова пространства U , к которому приводится [2] переменная область управления $Q(x)$ работы [1]. Заданы также точки $x_0, x_1 \in R^n$. За класс допустимых управлений примем слабоизмеримые управление D_{cl} (см [3]), для которых существует траектория $x(t)$, $0 \leq t \leq t_1$, (т. е. абсолютно непрерывное решение уравнения (1) при $u=u(t)$ и $x(0)=x_0$). Предположим, что U имеет счетную базу.

Для существования оптимального по быстродействию управления $u(t)$, $0 \leq t \leq t_1$, переводящего объект из состояния x_0 в x_1 , в [1] были сформулированы следующие условия:

А. Вектор-функция $f(x, u)$ непрерывна и непрерывно дифференцируема по координатам вектора $x \in R^n$.

Б. Существует управление, переводящее объект из состояния x_0 в x_1 .

С. Множество $V(x) = \{f(x, u): u \in U\}$ выпукло и компактно.

Д. Множество $V(x)$ полунепрерывно сверху (по x) относительно включений.

Е. Существует постоянная C , такая, что для всех $x, u \in U$ выполняется неравенство $(x; f(x, u)) \leq C((x; x) + 1)$, где $(a; b)$ — скалярное произведение векторов одинаковой размерности.

Для каждого вышеприведенного условия, кроме Д, на примерах было показано, что оно существенно, т. е. невыполнение хотя бы одного из них в общем случае влечет несуществование оптимального управления. Приведем пример, показывающий, что существенно и условие Д.

Пример 1. $\dot{x}^1 = u^1$, $\dot{x}^2 = k(x^1)u^2$, где $(u^1)^2 + (u^2)^2 \leq 1$, а функция $k(x^1)$ определяется так: при $x^1 < 0$ дано $k(x^1) = 2$, а при $x^1 \geq 0$ имеем $k(x^1) = 1$. Нетрудно проверить, что на данном примере условия В, С, Е выполняются. Покажем сейчас, что данную систему можно свес-

ти к такой эквивалентной ей системе (т. е. системе, у которой семейство траекторий совпадает с множеством траекторий исходной системы, см. [2]) с хаусдорфовой областью управления со счетной базой, что условие А для нее будет выполнено. Для этого заметим, что исходная система эквивалентна системе $\dot{x}^1 = u^1$, $\dot{x}^2 = vu^2$, где u^1, u^2 — те же управлениа, а управление v принимает свои значения из переменной области: $0 \leq v \leq k(x^1)$. Последняя область управления удовлетворяет достаточному условию слабодифференцируемости связей (см. [4]), причем можно обойтись счетным числом подмножеств работы [2]. Таким образом, управление v может быть заменено непрерывнодифференцируемой по x^1 функцией $\Lambda(x^1, w)$, где квазиуправление w принимает свои значения из W — хаусдорфова пространства со счетным базисом. Следовательно, приходим к системе, эквивалентной первоначальной $\dot{x}^1 = u^1$, $\dot{x}^2 = \Lambda(x^1, w)u^2$, для которой условие А выполняется. Для последней эквивалентной системы выполняются также условия В, С, Е, не выполняется только условие Д. Покажем, что для исходной системы, значит и для эквивалентной ей системы, не существует оптимального управления, если $x_0 = (0, -1)$, $x_1 = (0, 1)$. Пусть $\varepsilon > 0$ и на $0 \leq t \leq \varepsilon$ управление $u^1(t) = -1$, $u^2(t) = 0$, при $\varepsilon < t < 1 + \varepsilon$ имеем $u^1(t) = 0$, $u^2(t) = 1$, а при $1 + \varepsilon \leq t \leq 1 + 2\varepsilon$ имеем $u^1(t) = 1$, $u^2(t) = 0$. Время перехода $t_1(\varepsilon) = 1 + 2\varepsilon \rightarrow 1$ при $\varepsilon \rightarrow 0$, однако предельная траектория не содержится в семействе траекторий исходной системы.

Рассмотрим теперь вопрос существования оптимального управления при ограничениях на фазовые координаты. Задано некоторое множество $G \subset R^n$, и допустимыми считаются такие траектории $x(t)$, $0 \leq t \leq t_1$, которые удовлетворяют условию $x(t) \in G$ при всех $t \in [0, t_1]$. Сформулируем следующее условие:

F. Множество G замкнуто и ограничено.

Теорема 1. При выполнении условий А–Д, F существует оптимальное (по быстродействию) управление, переводящее объект (1) из состояния $x_0 \in G$ в $x_1 \in G$.

Доказательство проходит по той же схеме, которая дана в [1], с тем изменением, что весьма стеснительное условие Е, которое не выполняется на очень простых нелинейных примерах и гарантирует равномерную ограниченность минимизирующей время перехода последовательности траекторий, теперь заменяется на условие F, где ограниченность G гарантирует равномерную ограниченность всех траекторий.

Условие замкнутости множества G тоже существенно — нетрудно привести пример, показывающий, что если у G не хватает хотя бы одной точки до замкнутости, то могут существовать такие краевые состояния x_0, x_1 , что оптимальное управление не существует. Формально мы можем не рассматривать ограничения на фазовые координаты, а считать лишь, что в (1) разрывна правая часть, и это повлечет за собой то, что траектория не сможет покинуть G . В самом деле, обозначим дополнение множества G через M , так что $G \cup M = R^n$, и будем

считать, что при $x \in M$ имеет место равенство $f(x, u) = 0$ для всех $u \in U$. Таким образом, множество M совпадает с мертвым пространством [5] и фазовое состояние, принадлежащее M , недопустимо, ибо поскольку фазовая скорость там нулевая, постольку объект уже не может выйти оттуда и не может попасть в точку $x_1 \in G$. Из существенности замкнутости G ясно, что в общем случае множество M должно быть открытым, в противном случае оптимальное управление может не существовать. Это соображение привело в [5] к неверному выводу, что если $G = R^n$ и если выполняются условия А—Г, то оптимальное управление может не существовать, если в G имеются точки мертвого пространства, ибо из условия А вытекает, что мертвое пространство замкнуто. Теорема А. Ф. Филиппова [1], вопреки утверждению в [5], верна; более того, если множества G и M данной работы расположены так, что вектор-функцию $f(x, u)$ из G можно непрерывнодифференцировать по x продолжить в M в нулевую (тождественно) вектор-функцию, то G может быть множеством произвольной структуры (не замкнутым), и остальные условия будут гарантировать существование оптимальной траектории.

Пример 1 показывает, что для получения принципа максимума с абсолютно непрерывной $\Phi(t)$ при любом расположении траектории (например, относительно многообразия недифференцируемости правых частей системы (1)) от функций $A_\mu^l, B_\mu^l, D_\mu^s, \varphi_v$ [2, 4] следует потребовать равномерную (относительно $\mu \in C, v \in N$) ограниченность их частных производных (по координатам всех аргументов) на любом компакте изменения их аргументов и это условие в общем случае нельзя ослабить. В [4] все примеры удовлетворяют указанному условию.

Академия наук Грузинской ССР
Институт кибернетики

(Поступило 10.10.1974)

კიბერნეტიკა

პ. შეგალივების

რამდენიმე უცნობესა ყველაზე მართვის არსებობის
საკარისი პირობების უსახები

რეზიუმე

ნაჩვენებია, რომ როდესაც მართვის არქ წარმოადგენს ნებისმიერ ჰაუს-ლორფის ტიპის სიმრავლეს თვლიდი ბაზისით, შესაძლებელია $A - C, E$ პირობების შესრულება, მაშინ როდესაც D პირობა არ სრულდება და ამ შემთხვევაში ნაჩვენებია, რომ D პირობის შესუსტება საზოგადოდ არ შეიძლება. ნაჩვენებია, რომ ფრიად არასასურველი E პირობა შეიძლება შეიცვალოს მოძრაობის დასაშვები არეს შემოსაზღვრულობით ფაზური კოორდინატების შეზღუდვის დროს. ნაჩვენებია, აგრეთვე [5]-ში დაშვებული შეცდომის მიზეზი.

G. M. BEGALISHVILI

SOME REMARKS ON THE SUFFICIENT CONDITIONS FOR THE
EXISTENCE OF OPTIMAL CONTROL

Summary

When the control region is an arbitrary Hausdorff set with a countable base, the realization of $A-C$, E conditions is possible, whereas the D condition is not realized, and in this case it is impossible to relax the D condition. The extremely undesirable E condition may be replaced by the condition of region boundedness permissible for motion under limitation on phase coordinates. The cause of the error occurring in [5] is also indicated.

ЛІТЕРАТУРА — REFERENCES

1. А. Ф. Филиппов. Вестник Московского ун-та, сер. мат., мех., № 2, т. 25, 1959.
2. Г. М. Бегалишвили. Труды Тбилисского гос. ун-та, т. 135, 1970.
3. Г. М. Бегалишвили. Сообщения АН ГССР, 62, № 3, 1971.
4. Г. М. Бегалишвили. Сообщения АН ГССР, 66, № 3, 1972.
5. Г. М. Бегалишвили. Сообщения АН ГССР, 73, № 3, 1974.

КИБЕРНЕТИКА

Б. И. ЦЕРЦВАДЗЕ

ОДИН РЕКУРРЕНТНЫЙ МЕТОД ПОСТРОЕНИЯ НЕПОЛНЫХ
СБАЛАНСИРОВАННЫХ БЛОК-СХЕМ

(Представлено академиком В. В. Чавчанидзе 10.9.1974)

Известно, что неполные сбалансированные блок-схемы используются в планировании экспериментов [1], в теории кодирования, для построения проверочной матрицы линейного кольца с ортогональными проверками [2].

Известные методы построения блок-схем делятся в основном на два типа: прямые и рекурсивные. В данной статье будет рассмотрен один рекуррентный метод построения блок-схем.

Уравновешенные неполные блок-схемы характеризуются пятью параметрами [3]: V , K , r , λ , b (V — число элементов, K — число мест, r — число появлений каждого элемента, λ — число появлений пар элементов, b — количество блоков).

Если существуют блок-схемы с параметрами

$$V_1, K_1, r_1, \lambda_1 = 1, b_1, \quad (1)$$

$$V_2 = K_1^2, K_2 = K_1, r_2 = K_1 + 1, \lambda_2 = 1, b_2 = K_1(K_1 + 1), \quad (2)$$

то существует блок-схема

$$V_3 = V_1 K_1, K_3 = K_1, r_3 = r_1 K_1 + 1, \lambda_3 = 1, b_3 = V_1(r_1 K_1 + 1). \quad (3)$$

Для доказательства рассмотрим множество, состоящее из V_3 элементов. Разделим эти элементы на K_1 непересекающихся подмножеств, получим V_1 подмножеств. Рассматривая эти подмножества как элементы для схемы (1), построим блоки, состоящие из K_1^2 элементов, количество блоков будет b_1 . Эта схема послужит базой, с помощью которой построим схему (3).

Так как $\lambda=1$, то любая пара блоков из базы будет иметь в пересечении один элемент-подмножество или не будет иметь ни одного элемента-подмножества в пересечении. Нетрудно видеть, что в базе встречаются все пары элементов один раз, за исключением пар в непересекающихся подмножествах. Исключенные пары встретятся r_1 раз. Будем считать элементы каждого блока из базы элементами схемы (2), с помощью которой построим новые блоки. Всего получим $b_1 b_2$ блоков, в которых каждый элемент встречается $r_1 r_2$ раз. Пары элементов, за исключением непересекающихся подмножеств из базы, встретятся один раз. В $b_1 b_2$ блоках имеется $b_1 r_1$ одинаковых блоков, которые являлись непересекающимися элементами-подмножествами в

базе. Это всегда возможно, так как учитывается при построении блоков с помощью схемы (2). Исключая одинаковые блоки, кроме одного, получаем $b_3 = b_1 b_2 - v_1(r_1 - 1) = v_1(r_1 k_1 + 1)$ блоков, в которых каждая пара элементов встречается $\lambda = 1$ раз, каждый элемент $r_3 = r_1 r_2 - r_1 + 1 = r_1(r_2 - 1) + 1 = r_1 k_1 + 1$ раз. Это параметры схемы (3), что и требовалось доказать.

Для иллюстрации этого метода рассмотрим пример:

$$v_1 = b_1 = 7, \quad k_1 = r_1 = 3, \quad \lambda_1 = 1, \quad (1)$$

$$v_2 = 9, \quad k_2 = 3, \quad r_2 = 4, \quad \lambda_2 = 1, \quad b_2 = 12. \quad (2)$$

Эти схемы существуют. Построим схему с параметрами

$$v_3 = 21, \quad k_3 = 3, \quad r_3 = 10, \quad \lambda_3 = 1, \quad b_3 = 70. \quad (3)$$

Дано множество из 21 элемента. Разделим эти элементы на 7 непересекающихся подмножеств. Построим базу с помощью схемы (1):

- 1) 1, 2, 3, 4, 5, 6, 7, 8, 9,
- 2) 1, 2, 3, 10, 11, 12, 13, 14, 15,
- 3) 1, 2, 3, 16, 17, 18, 19, 20, 21,
- 4) 4, 5, 6, 10, 11, 12, 16, 17, 18,
- 5) 4, 5, 6, 13, 14, 15, 19, 20, 21,
- 6) 7, 8, 9, 13, 14, 15, 16, 17, 18,
- 7) 7, 8, 9, 10, 11, 12, 19, 20, 21.

Теперь блоки из базы будем считать элементами схемы (2), получим

- 1) 1, 2, 3, 1, 2, 3, 1, 2, 3, 4, 5, 6, 4, 5, 6, 7, 8, 9, 7, 8, 9,
- 2) 4, 5, 6, 10, 11, 12, 16, 17, 18, 10, 11, 12, 13, 14, 15, 13, 14, 15, 10, 11, 12,
- 3) 7, 8, 9, 1, 10, 13, 19, 20, 21, 16, 17, 18, 19, 20, 21, 16, 17, 18, 19, 20, 21,
- 4) 1, 4, 7, 2, 11, 14, 1, 16, 19, 4, 10, 16, 4, 13, 19, 7, 13, 16, 7, 10, 19,
- 5) 2, 5, 8, 3, 12, 15, 2, 17, 20, 5, 11, 17, 5, 14, 20, 8, 14, 17, 8, 11, 20,
- 6) 3, 6, 9, 1, 11, 15, 3, 18, 21, 6, 12, 18, 6, 15, 21, 9, 15, 18, 9, 12, 21,
- 7) 1, 5, 9, 3, 11, 13, 1, 17, 21, 4, 11, 18, 4, 14, 21, 7, 14, 18, 7, 11, 21,
- 8) 3, 5, 7, 2, 10, 15, 3, 17, 19, 6, 11, 16, 6, 14, 19, 9, 14, 16, 9, 11, 19,
- 9) 2, 4, 9, 13, 14, 15, 2, 16, 21, 4, 12, 17, 5, 13, 21, 8, 15, 16, 7, 12, 20,
- 10) 2, 6, 7, 2, 13, 12, 2, 18, 19, 5, 12, 16, 5, 15, 19, 8, 13, 18, 8, 10, 21,
- 11) 3, 4, 8, 1, 12, 14, 1, 18, 20, 5, 10, 18, 4, 15, 20, 7, 15, 17, 9, 10, 20,
- 12) 1, 6, 8, 3, 10, 14, 3, 16, 20, 6, 10, 17, 6, 13, 20, 9, 13, 17, 8, 12, 19.

После выбрасывания одинаковых блоков, кроме одного, получим схему (3).

პიგირნიტიკა

ბ. ცერცვაძე

არასრული გალანსირებული ბლოკ-სქემების აზიგის
მრთი რეკურნენტული მეთოდი

რეზიუმე.

აღწერილია ბლოკ-სქემების აგების ერთი რეკურნენტული მეთოდი. კერ-
ძოდ, თუ არსებობს ბლოკ-სქემები პარამეტრებით:

$$(1) \quad v_1; \quad k_1; \quad r_1; \quad \lambda_1=1; \quad b_1$$

$$(2) \quad v_2=k_1^2; \quad k_2=k_1; \quad r_2=k_1+1; \quad \lambda_2=1; \quad b_2=k_1(k_1+1).$$

მაშინ ამ სქემებზე დაყრდნობით აიგება ახალი ბლოკ-სქემა

$$(3) \quad v_3=v_1k_1; \quad k_3=k_1; \quad r_3=r_1k_1+1; \quad \lambda_3=1; \quad b_3=v_1(r_1k_1+1).$$

განხილულია მაგალითი.

CYBERNETICS

B. I. TSERTSVADZE

ONE RECURRENT METHOD OF CONSTRUCTING INCOMPLETE
BALANCED BLCK DIAGRAMS

Summary

A new recurrent method of constructing incomplete balanced block diagrams is described. If there exists a block diagram with the parameters

$$(1) \quad v_1; \quad k_1; \quad r_1; \quad \lambda_1=1; \quad b_1$$

$$(2) \quad v_2=k_1^2; \quad k_2=k_1; \quad r_2=k_1+1; \quad \lambda_2=1; \quad b_2=k_1(k_1+1)$$

then by means of these diagrams a new block diagram is constructed

$$(3) \quad v_3=v_1k_1; \quad k_3=k_1; \quad r_3=r_1k_1+1; \quad \lambda_3=1; \quad b_3=v_1(r_1k_1+1).$$

An example is considered.

ლიტერატურა — ЛИТЕРАТУРА — REFERENCES

1. Д. Диоге. Теоретическая и прикладная статистика. М., 1972.
2. Р. П. Мегрелишвили, Т. Г. Николайшивили, Б. И. Церцвадзе. Сообщения АН ГССР, 74, № 1, 1974.
3. М. Холл. Комбинаторика. М., 1970.

ФИЗИКА

Л. В. КИКНАДЗЕ, Ю. Г. МАМАЛАДЗЕ

КИНЕТИКА НАКОПЛЕНИЯ ВИХРЕЙ В КОЛЕБЛЮЩЕМСЯ
ГЕЛИИ II

(Представлено академиком Э. Л. Андроникашвили 25.7.1974)

Задача о поведении квантованных вихрей в колеблющемся гелии II, которой посвящена эта работа, относится к числу проблем гидродинамики сверхтекучей жидкости, плохо поддающихся детальному теоретическому рассмотрению, несмотря на наличие большого экспериментального материала (см., например, обзоры [1, 2]). В отличие от хорошо изученного случая малых возмущений однородного вращения в интересующей нас ситуации, когда надкритические колебания совершают сосуд с жидким гелием или погруженное в него тело, периодически меняется интенсивность вихреобразования. Причем направления вращения в вихрях, образуемых в последовательных полупериодах, противоположны. Качественное описание основных особенностей сложного процесса образования и исчезновения таких вихрей оказалось возможным при помощи относительно простых уравнений:

$$\dot{n}_1 - \dot{n}_2 = k_1 \omega_n \sin \Omega t - k_2 (n_1 - n_2), \quad (1)$$

$$\dot{n}_2 = -k_2 n_2 - k_3 n_1 n_2. \quad (2)$$

Здесь n_1 — число вихрей, знак циркуляции которых соответствует направлению движения жидкости в рассматриваемом полупериоде ее колебаний («положительные» вихри); n_2 — число вихрей противоположного знака («отрицательных»); точки над n_1 и n_2 обозначают дифференцирование по t ; k_1 , k_2 , k_3 , ω_n — постоянные. Уравнения дают простейшее описание следующих фактов: интенсивность образования избытка положительных вихрей пропорциональна разности скорости нормальной компоненты (определенной законом колебания $\omega_n \sin \Omega t$) и скорости сверхтекучей компоненты (определенной числом вихрей); отрицательные вихри распадаются с интенсивностью, пропорциональной их количеству, анигилируют с положительными вихрями с интенсивностью, пропорциональной произведению количеств вихрей с противоположно направленной циркуляцией. Уравнения не учитывают пространственного распределения концентраций вихрей и возможного наличия выделенных мест интенсивного вихреобразования, в связи с чем они дают некоторую усредненную картину. Что касается отсутствия вихреобразования при скорости меньше критической и задержки в вихреобразовании после достижения критической скорости [3], пренебре-

жение этими факторами возможно при далеко закритических амплитудах и при периодах, превышающих 20 сек [3, 4]. В противных случаях первое из уравнений (1) действует не в течение всего полупериода, а только через определенный промежуток времени после того, как Ωt превысит некоторое значение; пока длится этот период задержки, вихри обоих типов исчезают в соответствии с уравнением (2).

Результаты решения системы (1), (2) показаны на рис. 1. Не трудно видеть, что в зависимости от соотношения между коэффициентами уравнений и периодом колебаний могут представаться два предельных случая: 1) происходит накопление вихрей до некоторого предела, причем возможно характерное чередование больших и малых максимумов (кривая 1), 2) образование вихрей в каждом полуперио-

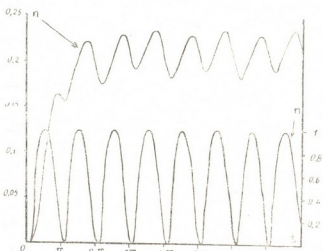


Рис. 1. Два типичных решения системы уравнений $n_1 = p(\sin t - n_1) - qn_1 n_2$, $n_2 = -pn_2 - qn_1 n_2$, полученных преобразованием системы (1), (2) к безразмерному виду. На оси абсцисс—безразмерное время (период колебаний 2π), на осях ординат—суммарное число вихрей $n = n_1 + n_2$ (в единицах $k_1 \omega / k_2$), $p = k_2 / \Omega$, $q = k_1 k_3 \omega \tau / k_2 \Omega$. Кривая 1 (левая ось ординат): $p=0,1$, $q=2$; кривая 2 (правая ось ординат): $p=10$, $q=10$. В обоих случаях образование вихрей определенного знака начинается через время 0,45 после начала соответствующего полупериода и прекращается за время 0,22 до его конца

де начинается практически заново (кривая 2). Первый из этих случаев реализуется в эксперименте Р. А. Баблидзе [5, 6], где период равен 8,64 сек (ср. рис. 12 в статье [5]). Второй был осуществлен в эксперименте Дж. С. Цакадзе [7] по измерению энергии вихря (при периоде 154 сек), причем предполагаемый характер вихреобразования

⁽¹⁾ Для неподвижного сосуда, в котором имеется некоторое количество вихрей (одного знака), экспоненциальный распад вихрей, соответствующий уравнению вида $n = -k_2 n$, наблюдался многими экспериментаторами. Образование вихрей в сосуде, вращающемся с постоянной скоростью ω , соответствует уравнение $n = k_1 \omega - k_2 n$, решение которого $n = (k_1 \omega / k_2) [1 - \exp(-k_2 t)]$ качественно соответствует экспериментальным данным; количественное сравнение в последнем случае затруднительно (описание соответствующих экспериментов и ссылки на оригинальные работы см., например в [1, 2]).

составлял основу идеи использованного метода измерения⁽¹⁾ — предполагалось, что насыщение по числу вихрей отсутствует и каждый полуperiод связан с одинаковыми энергетическими затратами на образование определенного числа вихрей.

После прекращения колебаний вихри обоих знаков исчезают в соответствии с уравнением (2). Изменение числа вихрей во времени

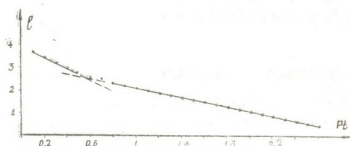


Рис. 2. Решение системы уравнений $\dot{n}_1 = -pn_1 - qn_1n_2$, $\dot{n}_2 = -pn_2 - qn_1n_2$, имеющее вид $n = n_1 + n_2 = a\varphi(t) \exp(-pt)$, где $a = n_{10} - n_{20}$; $\varphi = 1 + 2/(b \exp \psi - 1)$; $\psi = c[1 - \exp(-pt)]$; $b = n_{10}/n_{20}$; $c = aq/p$; n_{10} и n_{20} — начальные значения n_1 и n_2 . На оси ординат $l = \ln(n/a) + \ln[1 + 2/(b - 1)]$. Рисунок построен для случая $b = 1.1$, $c = 5$, когда начальная часть графика, не являясь прямой, выглядит как прямая, что создает впечатление наложения двух экспонент, подобных найденным в эксперименте [5]

представляет собой наложение на экспоненциальный закон распада более сложной зависимости, связанный с аннигиляцией (см. рис. 2). Подобная картина наблюдалась в другом эксперименте Баблидзе (см. рис. 13 в статье [5]).

Академия наук Грузинской ССР
Институт физики

(Поступило 5.9.1974)

ვიზიკა

ლ. პირეაძე, ი. გაგალაძე

გრიგლების დაგროვების პინტიკა მოწევა ვილიუმ II-ში

რეზიუმე

შემუშავებულია შედარებით მარტივი დიფერენციალური განტოლებები, რომლებიც თვისობრივად სწორად აღწერენ გრიგლების გაჩენის, დაშლის და ანაზილაციის რთულ პროცესებს.

⁽¹⁾ Настоящая работа была предпринята по предложению Э. Л. Андроникашвили именно с целью обоснования методики эксперимента [7].

L. V. KIKNADZE, Yu. G. MAMALADZE

KINETICS OF VORTEX PUMPING IN CSCILLATING HELIUM II

Summary

Relatively simple differential equations are suggested giving a qualitatively good description of complicated processes of vortex formation, decay and annihilation.

ლიტერატურა — ЛИТЕРАТУРА — REFERENCES

1. E. L. Andronikashvili, Yu. G. Mamaladze. Rev. Mod. Phys., 38, 1966, 557.
2. E. L. Andronikashvili, Yu. G. Mamaladze. Prog. in Low Temp. Phys., 5, 1967, 79.
3. Ю. Г. Мамаладзе. Сообщения АН ГССР, 22, № 6, 1959, 665.
4. J. G. Dash, R. D. Taylor. Low Temp. Phys. Chemistry (Proc. of LT—5). The University of Wisconsin Press, Madison, 1958, 161.
5. Р. А. Баблидзе. Сб. «Физика низких температур». Тбилиси, 1966, 61.
6. Р. А. Баблидзе. ЖЭТФ, 43, 1962, 2086.
7. Дж. С. Цакадзе. ЖЭТФ, 65, 1973, 617.



ФИЗИКА

Г. Т. АДАМАШВИЛИ, ЧАН ХАНЬ МАЙ

**ЭЛЕКТРОННО-ЯДЕРНАЯ КРОСС-РЕЛАКСАЦИЯ ПРИ
НАЛИЧИИ СПИНОВ ТРЕХ СОРТОВ**

(Представлено членом-корреспондентом Академии Г. Р. Хуцишвили 11.10.1974)

Вопросу электронно-ядерной кросс-релаксации посвящены работы [1—4]. При неоднородном уширении линии ЭПР в результате кросс-релаксации получена сильная поляризация ядерных спинов. При этом переменное поле рассматривалось как возмущение.

Картина кросс-релаксации меняется, когда переменное поле сильное. В частности, сильное переменное поле может индуцировать электронно-ядерную кросс-релаксацию и в том случае, когда она не имеет места в слабом переменном поле. Здесь ситуация аналогична той, которая имеет место при двойном резонансе, когда кросс-релаксация между двумя спин-системами осуществляется с помощью сильных переменных полей [5, 6].

Рассмотрим случай, когда имеем ядерный спин I и два сорта электронных спинов S_1 и S_2 с зеемановскими частотами, не удовлетворяющими электронно-ядерному кросс-релаксационному условию, т. е. $\omega_{1e} \neq \omega_{2e} + \omega_I + \Delta$, $|\Delta| \ll \omega_{10}, \omega_{20}, \omega_I$, где ω_{10} , ω_{20} и ω_I — зеемановские частоты электронных и ядерных спинов соответственно в постоянном магнитном поле.

Чтобы индуцировать кросс-релаксацию, необходимо с помощью сильного переменного поля во вращающейся системе координат (ВСК) удовлетворить следующему условию:

$$\omega_{1e} = \omega_{2e} + \omega_I + \Delta, \quad |\Delta| \ll \omega_{1e}, \omega_{2e}, \omega_I, \quad (1)$$

где ω_{1e} и ω_{2e} — зеемановские частоты электронных спинов во ВСК.

Будем считать, что частота переменного поля ω близка к ω_{10} , и рассмотрим в качестве подсистем H_n и H_d , а через β_n и β_d обозначим соответствующие обратные спиновые температуры

$$(n = 1, 2; I).$$

Гамильтониан системы во ВСК имеет вид

$$H = H_0 + H_d + H', \quad (2)$$

$$H_0 = \omega_{1e} \sum_k S_{1k}^z + \omega_{2e} \sum_i S_{2i}^z + \omega_I \sum_j I_j^z, \quad (3)$$

$$H_d = \frac{1}{2} \sum_{ki} v_{ki}^{zz} S_{1k}^z S_{2i}^z + \frac{1}{2} \sum_{kj} v_{kj}^{zz} S_{k1}^z I_j^z + \frac{1}{2} \sum_{ij} v_{ij}^{zz} S_{2i}^z I_j^z +$$

$$+ \sum_{kk'} v_{kk'}^{+-} S_{1k}^+ S_{1k'}^- + \sum_{ii'} v_{ii'}^{-+} S_{2i}^+ S_{2i'}^- + \sum_{jj'} v_{jj'}^{+-} I_j^+ I_{j'}^-, \quad (4)$$

$$\begin{aligned} H' = & \frac{1}{2} \sum_{ik} v_{ik}^{+-} (S_{1k}^+ S_{2i}^- + S_{1k}^- S_{2i}^+) + \frac{1}{2} \sum_{kj} v_{kj}^{+-} (S_{1k}^+ I_j^- + S_{1k}^- I_j^+) + \\ & + \frac{1}{2} \sum_{ij} (v_{ij}^{++} S_{2i}^+ I_j^+ + v_{ij}^{--} S_{2i}^- I_j^-) + \sum_{ki} (v_{ki}^{zz} S_{1k}^z S_{2i}^+ + v_{ik}^{zz} S_{1k}^z S_{2i}^-) + \\ & + \sum_{kj} (v_{kj}^{zz} S_{1k}^z I_j^+ + v_{kj}^{zz} S_{1k}^z I_j^-) + \sum_{ik} (v_{ik}^{zz} S_{2i}^z S_{1k}^+ + v_{ik}^{zz} S_{2i}^z S_{1k}^-) + \\ & + \sum_{ij} (v_{ij}^{zz} S_{2i}^z I_j^+ + v_{ij}^{zz} S_{2i}^z I_j^-) + \sum_{kj} (v_{kj}^{zz} I_j^z S_{1k}^+ + v_{kj}^{zz} I_j^z S_{1k}^-) + \\ & + \sum_{ij} (v_{ij}^{zz} I_j^z S_{2i}^+ + v_{ij}^{zz} I_j^z S_{2i}^-). \end{aligned} \quad (5)$$

Используя метод неравновесного статистического оператора НСО, предложенный Д. Н. Зубаревым [7], аналогично работе [1] можно получить систему дифференциальных уравнений для обратных температур:

$$\frac{d\beta_1}{dt} = -Wg, \quad (6a)$$

$$\frac{d\beta_2}{dt} = W \frac{c_1}{c_2} \frac{\omega_{2e}}{\omega_{1e}} g, \quad (6b)$$

$$\frac{d\beta_I}{dt} = W \frac{c_1}{c_I} \frac{\omega_I}{\omega_{1e}} g, \quad (6b)$$

$$\frac{d\beta_d}{dt} = W \frac{c_1}{c_d} \frac{\Delta}{\omega_{1e}} g, \quad (6r)$$

где

$$\begin{aligned} W = & \frac{\pi}{8} g_2 g_3 \sum_{jk} \left[\frac{1}{\omega_{1e}^2} |B_{jk}^{++}|^2 |B_{ij}^{zz} + B_{ik}^{zz}|^2 + \frac{1}{\omega_{2e}^2} |B_{ik}^{+-}|^2 \times \right. \\ & \times |B_{ij}^{zz} - B_{jk}^{zz}|^2 + \frac{1}{\omega_I^2} |B_{ij}^{+-}|^2 |B_{ik}^{zz} - B_{jk}^{zz}|^2 + \frac{2}{\omega_{2e} \omega_I} B_{ik}^{+-} B_{ij}^{+-} (B_{ij}^{zz} B_{ik}^{zz} + \\ & \left. + B_{jk}^{zz} B_{ik}^{zz} - B_{ij}^{zz} B_{jk}^{zz} - B_{jk}^{zz} B_{ik}^{zz}) [f^{\mp\pm\pm}(\Delta) + f^{\pm\pm\mp}(-\Delta)], \right. \end{aligned} \quad (7)$$

$g_n = \frac{N_n}{N}$ — концентрация каждого сорта спинов,

$$S_1 = \frac{1}{2}, \quad S_2 = \frac{1}{2}, \quad I = \frac{1}{2}.$$



Коэффициенты B имеют громоздкий вид, и мы их здесь приводить не будем.

$f^{\pm\pm\mp}(\Delta)$ — Фурье-образ $\tilde{f}^{\pm\pm\mp}(t)$:

$$\tilde{f}^{\pm\pm\mp}(t) = \frac{\langle S_{1k}^+ S_{2l}^+ I_j^- S_{1k}^-(t) S_{2l}^-(t) I_j^+(t) \rangle}{\langle S_{1k}^+ S_{2l}^+ I_j^- S_{1k}^-(t) S_{2l}^-(t) I_j^+(t) \rangle}. \quad (8)$$

g — „стимулятор“ кросс-релаксации:

$$g = \beta_1 - \frac{\omega_{2e}}{\omega_{1e}} \beta_2 - \frac{\omega_I}{\omega_{1e}} \beta_I - \frac{\Delta}{\omega_{1e}} \beta_d, \quad (9)$$

$$c_d = N\omega_d^2, \quad N = \sum_n N_n, \quad \omega_d^2 = \frac{\langle H_d^2 \rangle}{N \langle (S^z)^2 \rangle}. \quad (10)$$

Рассмотрим стационарное решение системы уравнений (6) в случае, когда $\Delta=0$, $\omega=\omega_{10}$ и N_1, N_2, N_I — величины одного порядка. Тогда из уравнения (6в) получим, что β_I пропорциональна величине

$$\frac{\omega_{02}}{\omega_I} \sqrt{\frac{(\omega_1 - \omega_I)^2 + \omega_1^2}{(\omega_{10} - \omega_{20})^2 + \omega_1^2}} \beta_e, \quad (11)$$

где β_e — температура решетки.

Если предположить, что переменное поле слабое, то (12) равно единице и получим такое значение поляризации ядерного спина, которое было получено в случае, когда переменное поле рассматривалось как возмущение. Таким образом, в зависимости от того, больше или меньше единицы величина

$$\sqrt{\frac{(\omega_1 - \omega_I)^2 + \omega_1^2}{(\omega_{10} - \omega_{20})^2 + \omega_1^2}}, \quad (12)$$

получим более или менее сильную поляризацию ядерных спинов, по сравнению с случаем, когда переменное поле было слабым.

Заметим, что получены также решения системы (6) при $\Delta \neq 0$, но они очень громоздки и их здесь не будем приводить.

Академия наук грузинской ССР
Институт физики

Тбилисский государственный
университет

(Поступило 17.10.1974)

ЧОЮДА

ბ. ადამაშვილი, ჩან ხან გაი

ელექტრონულ-გიროვალი კროს-რელაქსაცია სამი ტიპის
სპინის მიმთხვევაში

რეზიუმე

მიღებულია ელექტრონულ-გიროვალი კროს-რელაქსაციის დიფერენციალური განტოლებები მძრღვანი კომინინგთა სისტემაში, სამი ტიპის სპინის შემთხვევაში, ძლიერი ცვლადი ველის პირობებში.

ნაჩვენებია, რომ კროს-რელაქსაციის შედევრა მიღება ბირთვული სპინების პოლარიზაცია.

G. T. ADAMASHVILI, CHAN KHAN MAI

ELECTRON-NUCLEAR CROSS-RELAXATION IN THE PRESENCE OF SPINS OF THREE KINDS

Summary

Differential equations are obtained for electron-nuclear cross-relaxation in a rotating coordinate system, caused by a strong alternating field, in the presence of spins of three kinds. Cross-relaxation is shown to result in polarization of similar spins.

ლიტერატურა — REFERENCES

1. Л. Л. Буишивили, М. Д. Звиададзе, Г. Р. Хуцишивили. ЖЭТФ, 54, 1968, 876.
2. А. В. Кессених, А. А. Маненков. ФТТ, 5, 1963, 1143.
3. А. В. Кессених, А. А. Маненков, Г. И. Пятницкий. ФТТ, 6, 1964, 827.
4. K. Morimoto. J. Phys. Soc. Jap. 5, 1973, 1297.
5. S. R. Hartmann, E. L. Hahn, Phys. Rev., 128, 1962, 2045.
6. F. M. Lurie, C. P. Slichter, Phys. Rev., 133, A 1108, 1964.
7. Д. Н. Зубарев. Неравновесная статистическая термодинамика. М., 1972.

В. Г. ЦИЦИШВИЛИ, Э. И. ФЕДИН

МАГНИТНАЯ РЕЛАКСАЦИЯ ПРОТОНОВ ВОДЫ,
ОБУСЛОВЛЕННАЯ СПИН-ВРАЩАТЕЛЬНЫМ
ВЗАИМОДЕЙСТВИЕМ

(Представлено членом-корреспондентом Академии Т. И. Санадзе 14.6.1974)

Изучение ядерной магнитной релаксации воды, сорбированной на биополимерах, представляет большой интерес, так как позволяет получить информацию о структуре и кинетике «связанных» молекул воды. В качестве механизма релаксации обычно рассматривается диполь-дипольное (ДД) взаимодействие. Целью настоящей работы являлась оценка роли и возможностей проявления другого механизма релаксации — спин-вращательного (СВ) взаимодействия в молекуле.

СВ взаимодействие вызвано магнитными полями, возникающими вследствие движения молекулярного магнитного момента, и описывается гамильтонианом $H = J \cdot C \cdot S$. Здесь J —классический угловой момент, S —спиновый оператор, C —тензор СВ взаимодействия. Скорости ядерной релаксации, вызванной СВ взаимодействием, были рассчитаны для дебавского предела $\bar{\omega}\tau_J \ll 1$ [1] и для предела „разреженного газа“ $\bar{\omega}\tau_J \gg 1$ [2], τ_J —время корреляции реориентаций углового момента, $\bar{\omega} = \sqrt{\frac{kT}{I}}$ — среднеквадратичная частота вращения, k — постоянная Больцмана, T —температура по абсолютной шкале, I —момент инерции молекулы.

Теория корреляционных функций для реориентаций углового момента предложена в работе [3] на основе обобщенной модели диффузии углового момента [4]. Основным предположением модели ДУГ является допущение малости времени взаимодействия механических моментов по сравнению с временем полного поворота молекулы. В случае сферических молекул можно рассмотреть только продольную C_{\parallel} и попеченную C_{\perp} составляющие взаимодействия и ввести параметры $C_0 = \frac{1}{3}(C_{\parallel} + C_{\perp})$ и $\Delta C = \frac{1}{3}(C_{\parallel} - C_{\perp})$. Тогда для скоростей спиновой релаксации получится [3]

$$\frac{1}{T_{1CB}} = \frac{1}{T_{2CB}} = 2 I^2 h^{-2} \bar{\omega}^2 (C_0^2 \tau_J + 2 \Delta C^2 \tau), \quad (1)$$

$$\tau = \frac{2}{5} \tau_J + \frac{3}{5} \bar{\omega} \int_0^\infty \left(1 - 2 \bar{\omega}^2 t^2 + \frac{1}{3} \bar{\omega}^4 t^4 \right) \exp \left\{ -\frac{1}{2} \bar{\omega}^2 t^2 - \frac{t}{\tau_J} \right\} dt. \quad (2)$$

В дебаевском пределе $\tau = \frac{\tau_J}{1 + 6\omega^2\tau_J^2}$, в пределе „разреженного газа“ за $\tau = \frac{2}{5}\tau_J$. Существенно различие в связи времени корреляции реориентаций углового момента с временем корреляции реориентаций молекулы в дебаевском пределе $\tau_J\tau_c = \frac{I}{6kT}$ и в пределе „разреженного газа“ $\tau_J = 5\tau_c$. Очевидна связь между тензором СВ взаимодействия и химическим экранированием [5], так как обе эти характеристики связаны с расположением электронов в данной молекуле:

$$\sum_i C_{ii} I_i = \frac{6\Delta\sigma mc\gamma\hbar}{|e|}. \quad (3)$$

Здесь C_{ii} и I_i —компоненты тензора СВ взаимодействия и вектора углового момента, $\Delta\sigma$ —разность химических сдвигов ядер в данной молекуле и свободного атома, m и e —масса и заряд электрона, c —скорость света, γ —гиромагнитное отношение резонирующего ядра, \hbar —постоянная Планка.

В обычных условиях как в жидкой воде, так и во льду вклад СВ взаимодействия в релаксацию на фоне ДД взаимодействия будет крайне мал. Основной причиной этого является способность воды образовывать водородные связи, препятствующие вступлению в СВ взаимодействие. Для сорбированной воды при ее небольших относительных количествах возможна реализация условий, близких к пределу «разреженного газа», если допустить, что время жизни в состоянии с разорванной водородной связью намного больше времени полного поворота механического момента молекулы и сравнимо с временем корреляции реориентаций молекулы. При низкой частоте реориентаций это не противоречит известным представлениям о структуре воды [6].

Нами была исследована ядерная магнитная релаксация воды при малой степени увлажнения разветвленного полисахарида декстрана. На импульсном фурье-спектрометре «Bruker SXP 2—100» измерялись времена спин-спиновой, спин-решеточной релаксации в поле 21 кГц и спин-решеточной релаксации во вращающейся системе координат по методу «фазирования спинов» [7]. Для описания спиновой релаксации, обусловленной ДД взаимодействием, использовался необходимый, согласно термодинамическим представлениям [8], и соответствующий получаемым частотным зависимостям учет спектра времен корреляции реориентаций [9], аналогичный предложенному в работе [10]. Полученные выражения хорошо описывают экспериментальные данные по скоростям спин-спиновой и спин-решеточной релаксации протонов воды:

$$\frac{1}{T_{1DD}} = \frac{c\tau_0^\beta}{\gamma^{1-\beta}} \left[\frac{1}{1 + 4\pi^2(\gamma\tau_0)^{2\beta}} + \frac{2^\beta}{1 + 4\pi^2(2\gamma\tau_0)^{2\beta}} \right], \quad (4)$$

$$\frac{1}{T_{2DD}} = \left[\frac{3\pi^2}{2} c \left(\frac{\tau_0}{\pi} \right)^\beta \right]^{1/(2-\beta)}, \quad c = \frac{3\gamma^4 h^2}{10 r^6}. \quad (5)$$



Здесь r —межпротонное расстояние в воде, ν —резонансная частота или частота ВЧ поля, τ_0 —максимально вероятное время корреляции реориентаций, β —параметр, характеризующий ширину распределения типа Фуосса—Кирквуда [11]. Зависимости скоростей релаксации от относительного количества протонов воды хорошо описываются уравнениями (4) и (5) при

$$\tau_0 = 1,2 \cdot 10^{-8} e^{-4,4p}, \quad \beta = \frac{3+p}{4}. \quad (6)$$

Пренебрегая анизотропией СВ взаимодействия и момента инерции, легко оценить следующие параметры: $I = 1,1 \cdot 10^{-39}$ г·см², $\bar{\omega} = 6,1 \cdot 10^{12}$ рад/сек, $\sum_i C_{ii} = -68$ кГц. Используя в качестве времени корреляции максимально вероятное значение, можно оценить вклад СВ взаимодействия в релаксацию: $\frac{1}{T_{1CB}} = \frac{1}{T_{2CB}} = 10^9 \tau_0$. Таким образом, вклад СВ взаимодействия в спиновую релаксацию будет значителен в данном случае только при измерениях спин-решеточной релаксации в сильных полях.

Экспериментально полученная зависимость скорости спин-решеточной релаксации увлажненного декстрана в поле 21 кгс от относительной роли протонов воды описывается выражением

$$\frac{1}{T_{1\text{эксп}}} = \frac{1-p}{T_{1\text{декстр}}} + p \left(\frac{1}{b+ap} \frac{1}{T_{1CB}} + \frac{1}{T_{1DD}} \right). \quad (7)$$

Здесь b отражает вероятность вступления в СВ взаимодействие при $p \rightarrow 0$, т. е. вероятность разрыва водородных связей с гидроксильами декстрана, a — скорость изменения вероятности разрыва водородных связей при росте относительного количества молекул воды.

В заключение необходимо отметить, что вклад в спиновую релаксацию, обусловленный СВ взаимодействием, может для молекул воды быть весьма существенным в случае значительного удаления молекул воды друг от друга, при низких частотах реориентаций и большой вероятности состояния с разорванной водородной связью. Анализ данных по спин-решеточной релаксации при высоких резонансных частотах следует проводить с учетом этого вклада.

Продемонстрированная возможность изучения СВ вклада в релаксацию воды открывает пути к получению сведений не только о параметрах этого взаимодействия, но и о существенных для различных приложений структурных и кинетических параметрах воды.

Академия наук Грузинской ССР
Институт кибернетики

Академия наук СССР
Институт элементоорганических соединений

ვ. ციციშვილი, ე. ფედინი

სპინ-ბრუნვილი ურთიერთებებით გამოვლენლი
 წყლის პროტონების მაგნიტური რელაქსაცია

რეზიუმე

ეჭსპერიმენტულად დადგენილია დექსტრანზე ადსორბირებული წყლის პროტონების სპინ-ბრუნვილი ურთიერთებების წყლილი ძლიერ ვალებისათვის სპინ-მესერულ რელაქსაციაში.

PHYSICS

V. G. TSITSISHVILI, E. I. FEDIN

MAGNETIC RELAXATION OF WATER PROTONS DUE TO SPIN-ROTATIONAL INTERACTION

Summary

The inclusion of the spin-rotational interaction in a strong field spin-lattice relaxation of water protons adsorbed on dextran was experimentally found.

ლიტერატურა — ЛИТЕРАТУРА — REFERENCES

1. P. S. Hubbard. Phys. Rev., 131, 1963, 1155.
2. M. Bloom, F. Bridges, W. N. Hardy. Can. J. Phys., 45, 1967, 3533.
3. R. E. D. McClung. J. Chem. Phys., 51, 1969, 3842.
4. R. G. Gordon. J. Chem. Phys., 44, 1966, 1830.
5. A. A. Maryott, T. C. Farrag, M. S. Malmberg. J. Chem. Phys., 54, 1971, 64.
6. Б. И. Яшкичев. Ж. структ. химии, 10, 780, 1969.
- 7..J. Jeener, P. Brockaert. Phys. Rev., 157, 1967, 132.
8. I. M. Klotz. Science., 128, 1958, 815.
9. A. Miyake. J. Polymer Sci., 28, 1958, 476.
10. В. П. Григорьев, А. И. Маклаков. ВМС, Б13, 1971, 652.
11. R. M. Fuoss, J. G. Kirkwood. J. Am. Chem. Soc., 63, 1941, 385.

ФИЗИКА

Т. Г. ГАЧЕЧИЛАДЗЕ, Г. Ш. КИРГАДЗЕ

РАСПРЕДЕЛЕНИЕ ВИГНЕРА ДЛЯ СОБСТВЕННЫХ
ЗНАЧЕНИЙ КОМПОНЕНТ ОПЕРАТОРА СПИНА $\frac{1}{2} \mathbf{h}$

(Представлено академиком М. М. Мирианашвили 11.10.1974)

Совместное распределение собственных значений операторов $\widehat{s_x}$ и $\widehat{s_y}$ определяется с помощью характеристической функции

$$\langle \widehat{M}(\alpha, \beta) \rangle = S_p(\widehat{\rho} \widehat{M}(\alpha, \beta)),$$

где

$$M(\alpha, \beta) = \exp i(\alpha \widehat{s_x} + \beta \widehat{s_y}).$$

Если $\exp i(\alpha \widehat{s_x} + \beta \widehat{s_y})$ понимать как $\sum_{n=0}^{\infty} (i)^n \frac{(\alpha \widehat{s_x} + \beta \widehat{s_y})^n}{n!}$, то

$$\langle \widehat{M}(\alpha, \beta) \rangle = \cos \frac{1}{2} \sqrt{\alpha^2 + \beta^2} + 2i \frac{\sin \frac{1}{2} \sqrt{\alpha^2 + \beta^2}}{\sqrt{\alpha^2 + \beta^2}} Sp(\widehat{\rho}(\alpha \widehat{s_x} + \beta \widehat{s_y})). \quad (1)$$

Совместная функция распределения, функция Вигнера [1],

$$F(s_x, s_y) = \lim_{T \rightarrow \infty} \frac{1}{4T^2} \int_{-T}^{+T} \int_{-T}^{+T} \langle \widehat{M}(\alpha, \beta) \rangle \exp \{-i(\alpha s_x + \beta s_y)\} d\alpha d\beta. \quad (2)$$

Подставляя в эту формулу выражение (1), можно показать, что определенная таким образом функция совместного распределения вероятностей s_x и s_y не существует. Это, по-видимому, связано с тем, что (1) не является истинной характеристической функцией распределения, так как из-за коммутационных соотношений $\widehat{s_x} \widehat{s_y} + \widehat{s_y} \widehat{s_x} = 0$ не содержит информации об $\langle \widehat{s_x} \widehat{s_y} \rangle (\equiv \langle \widehat{s_{xy}} \rangle)$.

Определим характеристическую функцию в виде упорядоченного произведения

$$\begin{aligned} \langle \widehat{M}(\alpha, \beta) \rangle &= \langle \exp i(\alpha \widehat{s_x} + \beta \widehat{s_y}) \rangle = \cos \frac{\alpha}{2} \cos \frac{\beta}{2} - \\ &- 2i \left\{ \langle \widehat{s_x} \rangle \sin \frac{\alpha}{2} \cos \frac{\beta}{2} + \langle \widehat{s_y} \rangle \cos \frac{\alpha}{2} \sin \frac{\beta}{2} \right\} - 4 \langle \widehat{s_{xy}} \rangle \sin \frac{\alpha}{2} \sin \frac{\beta}{2}. \end{aligned} \quad (3)$$



Распределение вероятностей, соответствующее этой характеристической функции, согласно формуле (2), имеет вид

$$\begin{aligned}
 F(s_x, s_y) = & \frac{1}{4} \left\{ \left[\delta\left(s_x, \frac{1}{2}\right) + \delta\left(s_x, -\frac{1}{2}\right) \right] \left[\delta\left(s_y, \frac{1}{2}\right) + \delta\left(s_y, -\frac{1}{2}\right) \right] + \right. \\
 & + 2\langle \widehat{s_x} \rangle \left[\delta\left(s_x, \frac{1}{2}\right) - \delta\left(s_x, -\frac{1}{2}\right) \right] \left[\delta\left(s_y, \frac{1}{2}\right) + \delta\left(s_y, -\frac{1}{2}\right) \right] + \\
 & + 2\langle \widehat{s_y} \rangle \left[\delta\left(s_x, \frac{1}{2}\right) + \delta\left(s_x, -\frac{1}{2}\right) \right] \left[\delta\left(s_y, \frac{1}{2}\right) - \delta\left(s_y, -\frac{1}{2}\right) \right] + \quad (4) \\
 & \left. + 4\langle \widehat{s_x s_y} \rangle \left[\delta\left(s_x, \frac{1}{2}\right) - \delta\left(s_x, -\frac{1}{2}\right) \right] \left[\delta\left(s_y, \frac{1}{2}\right) - \delta\left(s_y, -\frac{1}{2}\right) \right] \right\}.
 \end{aligned}$$

Заметим, что, взяв другой порядок сомножителей в (3), получим ту же функцию распределения (4).

Распределение (4) экстремально в том смысле, что оно соответствует максимуму информационной энтропии [2] при определенных условиях. В действительности упорядоченное выражение $\exp\{i(\alpha \widehat{s_x} + \beta \widehat{s_y})\}$ определяется через $\widehat{s_x}$, $\widehat{s_y}$ и $\widehat{s_x s_y}$. Поэтому совокупность соответствующих наблюдений составляет достаточную статистику [3]. Совместное распределение вероятностей, соответствующее максимуму информационной энтропии в этом случае определяется формулой

$$F_{m.s.}(s_x, s_y) = \exp\{-\lambda_0 - \lambda_1 s_x - \lambda_2 s_y - \lambda_3 s_x s_y\}.$$

Обобщенная статистическая сумма

$$\begin{aligned}
 Z(\lambda_1, \lambda_2, \lambda_3) = & \sum_{\{s_x\}} \sum_{\{s_y\}} \exp\{-\lambda_1 s_x - \lambda_2 s_y - \lambda_3 s_x s_y\} = \\
 = & 2 \left\{ \exp\left(-\frac{\lambda_3}{4}\right) \operatorname{ch}\left(\frac{\lambda_1 + \lambda_2}{2}\right) + \exp\left(\frac{\lambda_3}{4}\right) \operatorname{ch}\left(\frac{\lambda_1 - \lambda_2}{2}\right) \right\}.
 \end{aligned}$$

Уравнения, определяющие λ_0 , λ_1 , λ_2 и λ_3 , таковы:

$$\lambda_0 = \ln Z(\lambda_1, \lambda_2, \lambda_3), \quad \langle \widehat{s_y} \rangle = -\frac{\partial}{\partial \lambda_2} \ln Z(\lambda_1, \lambda_2, \lambda_3),$$

$$\langle \widehat{s_x} \rangle = -\frac{\partial}{\partial \lambda_1} \ln Z(\lambda_1, \lambda_2, \lambda_3), \quad \langle \widehat{s_x s_y} \rangle = -\frac{\partial}{\partial \lambda_3} \ln Z(\lambda_1, \lambda_2, \lambda_3).$$

Решение этой системы имеет вид

$$\lambda_1 = \frac{1}{2} \ln \frac{(1-2\langle \widehat{s_x} \rangle - 2\langle \widehat{s_y} \rangle + 4\langle \widehat{s_x} \widehat{s_y} \rangle)(1-2\langle \widehat{s_x} \rangle + 2\langle \widehat{s_y} \rangle - 4\langle \widehat{s_x} \widehat{s_y} \rangle)}{(1+2\langle \widehat{s_x} \rangle + 2\langle \widehat{s_y} \rangle + 4\langle \widehat{s_x} \widehat{s_y} \rangle)(1+2\langle \widehat{s_x} \rangle - 2\langle \widehat{s_y} \rangle - 4\langle \widehat{s_x} \widehat{s_y} \rangle)},$$

$$\lambda_2 = \frac{1}{2} \ln \frac{(1-2\langle \widehat{s_x} \rangle - 2\langle \widehat{s_y} \rangle + 4\langle \widehat{s_x} \widehat{s_y} \rangle)(1+2\langle \widehat{s_x} \rangle - 2\langle \widehat{s_y} \rangle - 4\langle \widehat{s_x} \widehat{s_y} \rangle)}{(1+2\langle \widehat{s_x} \rangle + 2\langle \widehat{s_y} \rangle + 4\langle \widehat{s_x} \widehat{s_y} \rangle)(1-2\langle \widehat{s_x} \rangle + 2\langle \widehat{s_y} \rangle - 4\langle \widehat{s_x} \widehat{s_y} \rangle)},$$

$$\lambda_3 = \frac{1}{2} \ln \frac{(1-2\langle \widehat{s_x} \rangle + 2\langle \widehat{s_y} \rangle - 4\langle \widehat{s_x} \widehat{s_y} \rangle)(1+2\langle \widehat{s_x} \rangle - 2\langle \widehat{s_y} \rangle - 4\langle \widehat{s_x} \widehat{s_y} \rangle)}{(1+2\langle \widehat{s_x} \rangle + 2\langle \widehat{s_y} \rangle + 4\langle \widehat{s_x} \widehat{s_y} \rangle)(1-2\langle \widehat{s_x} \rangle - 2\langle \widehat{s_y} \rangle + 4\langle \widehat{s_x} \widehat{s_y} \rangle)}.$$



Окончательное выражение для статистической суммы

$$Z = \{(1 + 2\langle \widehat{s}_x \rangle + 2\langle \widehat{s}_y \rangle + 4\langle \widehat{s}_x \widehat{s}_y \rangle)(1 - 2\langle \widehat{s}_x \rangle - 2\langle \widehat{s}_y \rangle + 4\langle \widehat{s}_x \widehat{s}_y \rangle) \times \\ \times (1 - 2\langle \widehat{s}_x \rangle + 2\langle \widehat{s}_y \rangle - 4\langle \widehat{s}_x \widehat{s}_y \rangle)(1 + 2\langle \widehat{s}_x \rangle - 2\langle \widehat{s}_y \rangle + 4\langle \widehat{s}_x \widehat{s}_y \rangle)\}.$$

Функция распределения

$$F_{\text{м.з.}}(s_x, s_y) = \frac{1}{2} \left\{ \frac{(1 + 2\langle \widehat{s}_x \rangle - 2\langle \widehat{s}_y \rangle - 4\langle \widehat{s}_x \widehat{s}_y \rangle)(1 + 2\langle \widehat{s}_x \rangle + 2\langle \widehat{s}_y \rangle + 4\langle \widehat{s}_x \widehat{s}_y \rangle)}{(1 - 2\langle \widehat{s}_x \rangle + 2\langle \widehat{s}_y \rangle - 4\langle \widehat{s}_x \widehat{s}_y \rangle)(1 - 2\langle \widehat{s}_x \rangle - 2\langle \widehat{s}_y \rangle + 4\langle \widehat{s}_x \widehat{s}_y \rangle)} \right\}^{\frac{s_x}{2}} \times \\ \times \left\{ \frac{(1 - 2\langle \widehat{s}_x \rangle + 2\langle \widehat{s}_y \rangle - 4\langle \widehat{s}_x \widehat{s}_y \rangle)(1 + 2\langle \widehat{s}_x \rangle + 2\langle \widehat{s}_y \rangle + 4\langle \widehat{s}_x \widehat{s}_y \rangle)}{(1 + 2\langle \widehat{s}_x \rangle - 2\langle \widehat{s}_y \rangle - 4\langle \widehat{s}_x \widehat{s}_y \rangle)(1 - 2\langle \widehat{s}_x \rangle - 2\langle \widehat{s}_y \rangle + 4\langle \widehat{s}_x \widehat{s}_y \rangle)} \right\}^{\frac{s_y}{2}} \times \\ \times \left\{ \frac{(1 - 2\langle \widehat{s}_x \rangle - 2\langle \widehat{s}_y \rangle + 4\langle \widehat{s}_x \widehat{s}_y \rangle)(1 + 2\langle \widehat{s}_x \rangle + 2\langle \widehat{s}_y \rangle + 4\langle \widehat{s}_x \widehat{s}_y \rangle)}{(1 - 2\langle \widehat{s}_x \rangle + 2\langle \widehat{s}_y \rangle - 4\langle \widehat{s}_x \widehat{s}_y \rangle)(1 + 2\langle \widehat{s}_x \rangle - 2\langle \widehat{s}_y \rangle - 4\langle \widehat{s}_x \widehat{s}_y \rangle)} \right\}^{s_x s_y}. \quad (5)$$

Экстремальное свойство $F(s_x, s_y)$ доказано, поскольку (5) эквивалентно (4).

Рассмотрим некоторые соотношения информационно-термодинамического формализма, соответствующие распределению (5).

Энтропия, соответствующая (5), такова:

$$H_{I_{\max}} = - \sum_{\{s_x\}} \sum_{\{s_y\}} F(s_x, s_y) \ln F(s_x, s_y) = \\ = \ln 4 - \frac{1}{4} \{(1 + 2\langle \widehat{s}_x \rangle + 2\langle \widehat{s}_y \rangle + 4\langle \widehat{s}_x \widehat{s}_y \rangle) \ln (1 + 2\langle \widehat{s}_x \rangle + 2\langle \widehat{s}_y \rangle + 4\langle \widehat{s}_x \widehat{s}_y \rangle) + \\ + (1 - 2\langle \widehat{s}_x \rangle - 2\langle \widehat{s}_y \rangle + 4\langle \widehat{s}_x \widehat{s}_y \rangle) \ln (1 - 2\langle \widehat{s}_x \rangle - 2\langle \widehat{s}_y \rangle + 4\langle \widehat{s}_x \widehat{s}_y \rangle) + \\ + (1 + 2\langle \widehat{s}_x \rangle - 2\langle \widehat{s}_y \rangle - 4\langle \widehat{s}_x \widehat{s}_y \rangle) \ln (1 + 2\langle \widehat{s}_x \rangle - 2\langle \widehat{s}_y \rangle - 4\langle \widehat{s}_x \widehat{s}_y \rangle) + \\ + (1 - 2\langle \widehat{s}_x \rangle + 2\langle \widehat{s}_y \rangle - 4\langle \widehat{s}_x \widehat{s}_y \rangle) \ln (1 - 2\langle \widehat{s}_x \rangle + 2\langle \widehat{s}_y \rangle - 4\langle \widehat{s}_x \widehat{s}_y \rangle)\}. \quad (6)$$

В рассматриваемом случае можно ввести три «спиновые температуры»:

$$T_x^{-1} = \frac{\partial H_I}{\partial \langle \widehat{s}_x \rangle} = \frac{1}{2} \ln \frac{(1 - 2\langle \widehat{s}_x \rangle + 2\langle \widehat{s}_y \rangle - 4\langle \widehat{s}_x \widehat{s}_y \rangle)(1 - 2\langle \widehat{s}_x \rangle - 2\langle \widehat{s}_y \rangle + 4\langle \widehat{s}_x \widehat{s}_y \rangle)}{(1 + 2\langle \widehat{s}_x \rangle + 2\langle \widehat{s}_y \rangle + 4\langle \widehat{s}_x \widehat{s}_y \rangle)(1 + 2\langle \widehat{s}_x \rangle - 2\langle \widehat{s}_y \rangle - 4\langle \widehat{s}_x \widehat{s}_y \rangle)}, \\ T_y^{-1} = \frac{\partial H_I}{\partial \langle \widehat{s}_y \rangle} = \frac{1}{2} \ln \frac{(1 + 2\langle \widehat{s}_x \rangle - 2\langle \widehat{s}_y \rangle - 4\langle \widehat{s}_x \widehat{s}_y \rangle)(1 - 2\langle \widehat{s}_x \rangle - 2\langle \widehat{s}_y \rangle + 4\langle \widehat{s}_x \widehat{s}_y \rangle)}{(1 + 2\langle \widehat{s}_x \rangle + 2\langle \widehat{s}_y \rangle + 4\langle \widehat{s}_x \widehat{s}_y \rangle)(1 - 2\langle \widehat{s}_x \rangle + 2\langle \widehat{s}_y \rangle - 4\langle \widehat{s}_x \widehat{s}_y \rangle)}, \\ T_{xy}^{-1} = \frac{\partial H_I}{\partial \langle \widehat{s}_x \widehat{s}_y \rangle} = \\ = \ln \frac{(1 + 2\langle \widehat{s}_x \rangle - 2\langle \widehat{s}_y \rangle - 4\langle \widehat{s}_x \widehat{s}_y \rangle)(1 - 2\langle \widehat{s}_x \rangle + 2\langle \widehat{s}_y \rangle - 4\langle \widehat{s}_x \widehat{s}_y \rangle)}{(1 + 2\langle \widehat{s}_x \rangle + 2\langle \widehat{s}_y \rangle + 4\langle \widehat{s}_x \widehat{s}_y \rangle)(1 - 2\langle \widehat{s}_x \rangle - 2\langle \widehat{s}_y \rangle + 4\langle \widehat{s}_x \widehat{s}_y \rangle)}. \quad (7)$$

Для матрицы $\left[-\frac{\partial^2}{\partial \lambda_j \partial \lambda_k} \ln Z(\lambda_1, \lambda_2, \lambda_3) \right]$ имеем

$$A = \begin{pmatrix} \frac{1}{4} - 16 \langle \widehat{s}_x \rangle^2 & 4 \langle \widehat{s}_x \widehat{s}_y \rangle - 16 \langle \widehat{s}_z \rangle \langle \widehat{s}_y \rangle & 4 \langle \widehat{s}_x \rangle - 32 \langle \widehat{s}_x \rangle \langle \widehat{s}_x \widehat{s}_y \rangle \\ 4 \langle \widehat{s}_x \widehat{s}_y \rangle - 16 \langle \widehat{s}_x \rangle \langle \widehat{s}_y \rangle & \frac{1}{4} - \langle \widehat{s}_y \rangle^2 & 2 \langle \widehat{s}_x \rangle - 32 \langle \widehat{s}_x \rangle \langle \widehat{s}_x \widehat{s}_y \rangle \\ 2 \langle \widehat{s}_y \rangle - 32 \langle \widehat{s}_x \rangle \langle \widehat{s}_y \rangle & 2 \langle \widehat{s}_x \rangle - 32 \langle \widehat{s}_y \rangle \langle \widehat{s}_x \widehat{s}_y \rangle & \frac{1}{16} - 16 \langle \widehat{s}_x \widehat{s}_y \rangle^2 \end{pmatrix}. \quad (8)$$

Соотношения взаимности в нашем случае представляются в следующем виде:

$$\left(\frac{T_x}{T_y} \right)^2 = \frac{\frac{\partial T_x}{\partial \langle \widehat{s}_x \rangle}}{\frac{\partial T_y}{\partial \langle \widehat{s}_x \rangle}}; \quad \left(\frac{T_x}{T_{xy}} \right)^2 = \frac{\frac{\partial T_{xy}}{\partial \langle \widehat{s}_x \rangle}}{\frac{\partial T_x}{\partial \langle \widehat{s}_x \widehat{s}_y \rangle}}; \quad \left(\frac{T_y}{T_{xy}} \right)^2 = \frac{\frac{\partial T_{xy}}{\partial \langle \widehat{s}_y \rangle}}{\frac{\partial T_y}{\partial \langle \widehat{s}_x \widehat{s}_y \rangle}}. \quad (9)$$

Полученные соотношения являются элементарными следствиями процедуры максимизации информационной энтропии при ограничениях, представляющих собой знание некоторых средних значений измеряемых величин.

Тбилисский государственный
университет

Грузинский политехнический институт
им. В. И. Ленина

(Поступило 11.10.1974)

ფიზიკა

თ. გამერილაძე, გ. კირთაძე

ვიზნერის განაწილება $\frac{1}{2}$ ჩ ცინის ოპერატორის კომპონენტთა

საკუთარი მნიშვნელობებისათვის და დამტკიცებულია მისი

ექსტრემალური თვისება.

ნაშრომში გამოყვანილია ვიგნერის განაწილება $\frac{1}{2}$ ჩ სპინის ოპერატორის კომპონენტთა საკუთარი მნიშვნელობებისათვის და დამტკიცებულია მისი ექსტრემალური თვისება.

PHYSICS

T. G. GATCHETCHILADZE, G. Sh. KIRTADZE

WIGNER DISTRIBUTION FOR EIGENVALUES OF $\frac{1}{2}$ h SPIN OPERATOR COMPONENTS

Summary

The derivation of the formula of joint distribution for eigenvalues of $\frac{1}{2}$ h spin operator components is given; the extremum property of this distribution is proved.

ლიტერატურა — ЛИТЕРАТУРА — REFERENCES

1. E. P. Wigner. Phys. Rev., 40, 1932, 749.
2. E. T. Jaynes. Phys. Rev., 106, 1957, 620, 108, 1957, 171.
3. С. Кульбак. Теория информации и статистика, М., 1967.



ГЕОФИЗИКА

Н. Г. ХАТИАШВИЛИ

К МЕХАНИЗМУ ЭКСТРЕМУМА ЭЛЕКТРИЧЕСКОГО ПОТЕНЦИАЛА ПРИ ДЕФОРМАЦИИ КРИСТАЛЛОВ LiF

(Представлено академиком Б. К. Балавадзе 12.6.1974)

Проблему прочности кристаллов, с точки зрения дислокационных представлений, можно сформулировать как проблему источников дислокаций и препятствий для их движения. В процессе пластической деформации кристаллов происходит зарождение, размножение и перемещение дислокаций в кристалле, что вызывает увеличение плотности дислокаций q [1] и электрического потенциала ϕ [2]. Установлено, что за изменение ϕ ответственны дислокации. Так, в начальной стадии пластической деформации чем больше q , тем больше ϕ . Однако после определенного давления, приложенного к кристаллу, ϕ начинает уменьшаться [3]. Полученный результат, т. е. экстремум ϕ , только изменением q объяснить нельзя, поэтому в [3] было предложено два механизма: либо «деформационное отражение», полученное в [4], либо то, что в процессе пластической деформации после определенного давления начинают работать плоскости скольжения, перпендикулярные к первоначальным.

Цель настоящей статьи заключается в установлении справедливости предположений [3], что позволит раскрыть механизм экстремума ϕ и лучше понять природу пластиичности, упрочнения и разрушения в ионных кристаллах.

Исследования проводились на кристаллах фтористого лития размерами $30 \times 10 \times 10$ мм³, выколотых по плоскости спайности (100) из монокристаллического слитка. После отжига при температуре 700° в течение 8 часов плотность дислокаций $q = 2 \times 10^5$ см⁻². Изучение микронапряжений в кристалле проводилось с помощью поляризационно-оптического метода, успешно примененного в [5]. Образцы просматривались на поляризационном микроскопе МИН-8 в скрещенных николях в направлении (100) при сжатии вдоль (001) на прессе РМП-500 с реверсивным устройством.

В средней части плоскостей (010) напылялись серебряные электроды квадратной формы с длиной сторон по 5 мм. Один из электродов заземлялся, а другой соединялся с электрометрическим усилителем VI-2. Диаграммы напряжение-деформация, напряжение-электрический потенциал и электрический потенциал-деформация регистрировались двухкоординатными потенциометрами типа ПДС-021М. Деформации в основном определялись по перемещению пуансонов, а в некоторых случаях, когда между пуансонами и кристаллом прокладывались резиновые прокладки, они регистрировались с помощью тензодатчиков с базой 5 мм, наклеенных в средней части кристаллов.

Проведенные исследования показали, что процесс пластической деформации характеризуется двумя участками упрочнения, причем первый участок ($\varepsilon = 6 \pm 8\%$) менее продолжительный, чем второй. В 23. „მომღვ“, ტ. 77, № 2, 1975

связи с тем, что интересующие нас процессы протекают в основном в первом участке, соответственно и основное внимание уделяется этому отрезку пластической деформации. Исследование первого участка пластической деформации показало, что ϕ , определенная по дислокационным ямкам травления, есть линейная функция от напряжения. Из диаграммы электрический потенциал-деформация (рис. 1) видно, что

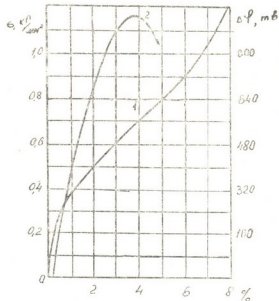


Рис. 1. Диаграммы напряжение-деформация (1) и электрический потенциал-деформация (2)

в начале этого участка $\phi(\varepsilon)$ монотонно возрастает, достигая своего максимума к концу его. Изучение образцов поляризационно-оптическим методом показало, что в кристаллах LiF, деформируемых сжатием, на

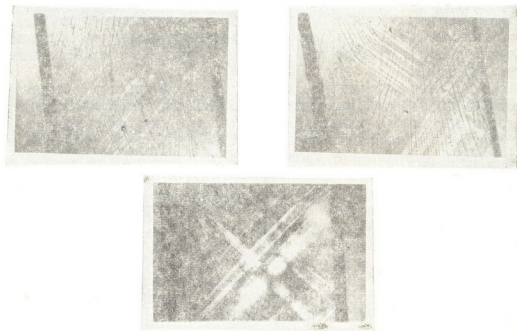


Рис. 2. Микрофотоснимки кристалла LiF: а—при $\varepsilon=2\%$, б— $\varepsilon=4\%$, в— $\varepsilon=8\%$

самых ранних стадиях пластической деформации ($\sim 1\%$) появляются деформационные полосы, которые с развитием деформаций становятся все более выраженными. На ранних стадиях деформации в кристаллах LiF между пачками первичных линий скольжений наблюдаются обла-



сти, в которых не видно следов скольжения. Обычно линии скольжения с увеличением деформаций, зародившись у грани (010), движутся в плоскости (101) к противоположной. После остановки полос скольжения (на грани или на каком-либо другом препятствии) начинается их уширение, что в конечном счете приводит к слиянию отдельных полос в одну широкую линию. На рис. 2 приведены снимки одного из исследуемых кристаллов на разных стадиях деформации.

В [5] было показано, что до $\varepsilon \sim 4\%$ «просветление» (что пропорционально плотности или площади полос скольжения) образцов есть линейная функция от ε . Подобная зависимость может быть получена с учетом движения, размножения и уширения полос скольжения. Как видно из рис. 2, все перечисленные механизмы работают. Так как появление полос скольжения связано с дислокациями, а, как известно, они заряжены, отсюда естественно увеличение φ . На этом участке наблюдается монотонное возрастание зависимостей φ (ε) и q (ε). Однако с увеличением ε (рис. 2, б) начинается движение ортогональных полос скольжения с противоположной грани, что уменьшает φ по механизму, аналогичному «деформационному отражению» [4].

В ряде случаев причиной появления полос скольжения в плоскости (101) являлось «деформационное отражение». Размножение полос скольжения в плоскости (101) упрочняет материал, однако не всегда движение полос скольжения в этой плоскости приводит к уменьшению φ . Например, распространение полос скольжения в направлении (011) приводит к увеличению φ .

Кривые напряжение-деформация и электрический потенциал-деформация и снимки в поляризационном микроскопе дают возможность проследить за процессами, протекающими в кристалле на разных стадиях нагружения. Первый участок в основном характеризуется размножением полос скольжения и экстремумом φ , второй — их уширением, а $\varphi(\varepsilon)$ — уже не монотонная зависимость, появляются резкие всплески, которые связаны с появлением трещин в кристалле. Следовательно, переход φ через экстремум является предвестником разрушения кристаллов, что подтверждает данные работы [6].

Анализ полученных данных дает основание утверждать, что высказанные в [3] предложения справедливы.

Академия наук Грузинской ССР

Институт геофизики

(Поступило 27.9.1974)

გვოვიზია

6. სახიაზვილი

ელექტრული პოტენციალის ექსტრემულის მიკანიზმი
LiF კრისტალების დიფორმაციის დროს

რეზიუმე

დადგნინია, რომ LiF კრისტალების დეფორმაციის პროცესში ელექტრული პოტენციალის ექსტრემულის გამომწვევი მიზეზი არის დისლოკაციების მოძრაობა ორთოგონალურ სიბრტყეებში.

N. G. KHATIASHVILI

ON THE MECHANISM OF THE EXTREMUM OF THE ELECTRICAL POTENTIAL AT THE DEFORMATION OF CRYSTALS OF *LiF*

Summary

In the process of deformation of *LiF* crystals the movement of dislocations in the orthogonal sliding surfaces has been found to be responsible for the extremum of the electrical potential.

ЛІТЕРАТУРА — REFERENCES

1. Б. И. Смирнов, Т. И. Ерофеев, Т. В. Самойлова. ФТТ, 12, 11, 1970.
2. А. А. Урусовская. УФН, 96, 1, 1968.
3. Н. Г. Хатиашвили. Труды Ин-та геофизики АН ГССР, 33, 1974.
4. М. В. Галусташвили. ФТТ, 12, 5, 1970.
5. И. М. Паперно, Н. Г. Политов. Сб. «Электронные и ионные процессы в твердых телах», вып. 5. Тбилиси, 1973.
6. Н. Г. Хатиашвили, Р. А. Чиковани. Сообщения АН ГССР, 71, № 2, 1973.

АНАЛИТИЧЕСКАЯ ХИМИЯ

Л. Л. КАШАКАШВИЛИ, А. Г. ДАНЕЛИЯ, Н. А. ҚУЦИАВА, В. Д. ЭРИСТАВИ

ИССЛЕДОВАНИЕ КИНЕТИКИ СОРБЦИИ СКАНДИЯ, ИТТРИЯ И ЛАНТАНА НА АНИОНИТАХ АВ-17 И АВ-16 ДИНАМИЧЕСКИМ МЕТОДОМ

(Представлено академиком Н. А. Ландиа 23.11.1974)

Кинетика сорбции скандия, иттрия и лантана на анионитах АВ-17 и АВ-16 в карбонатной форме изучалась динамическим методом при скоростях потока 60, 30, 120 и 150 мл/мин.

Измерялись выходные кривые слоя сорбента толщиной в одно зерно, по которым строились кинетические кривые $q = f(t)$ (q — концентрация сорбированного вещества, t — время). Исследования проводились на установке, описанной в [1].

Ранее [2] было установлено, что изотермы сорбции изучаемых элементов имеют вид, характерный для обратимой сорбции, поэтому обработка кинетических кривых проводилась по известному в литературе уравнению диффузионной кинетики обратимой сорбции из потока раствора постоянной концентрации [3]:

$$\ln \left(1 - \frac{q}{q_\infty} \right) = \gamma \frac{c_0}{q_\infty} t, \quad (1)$$

где q , q_∞ — концентрация сорбированного вещества к моменту времени t и при равновесии; γ — кинетический коэффициент.

Уравнение (1) может быть применено при описании скорости сорбции для нелинейной изотермы и ионного обмена в области $q/q_\infty < 1$.

Выражения для кинетических коэффициентов сорбции на сферических зернах представлены ниже:

1. Внешнедиффузационная область при ламинарном потоке [4]

$$\gamma = \gamma_1 = a_1 D^{2/3} u^{1/3} r_0^{-5/3}, \quad (2)$$

где $a_1 = \text{const}$; D — коэффициент диффузии, u — линейная скорость потока; r_0 — радиус зерна.

2. Внутридиффузационная область [5]

$$\gamma = \gamma_2 = a_2 D_{\text{вн}} r_0^{-2} k, \quad (3)$$

где $a_2 = \text{const}$; $D_{\text{вн}}$ — эффективный коэффициент внутренней диффузии, k — коэффициент сорбции (безразмерная величина).

3. Область кинетики из-за потока [3]

$$\gamma = \gamma_3 = a_3 \frac{\kappa}{1 - \kappa} u \cdot r_0^{-1}, \quad (4)$$

где $a_3 = \text{const}$; κ — пористость слоя сорбента.

4. Смешанная область [6]

$$\frac{1}{\gamma} = \frac{1}{\gamma_1} + \frac{1}{\gamma_2} + \frac{1}{\gamma_3}. \quad (5)$$

Из выражения (2) — (5) видно, что зависимость γ от скорости потока неодинакова в разных кинетических областях. Следовательно, находя из опыта зависимость $\gamma = f(u)$, можно определить кинетические области протекания сорбции.

Для нахождения значений кинетических коэффициентов при различных скоростях потока на основе опытных данных строился график зависимости $-\ln \left(1 - \frac{q}{q_\infty}\right) = f(t)$ (рис. 1). Было найдено, что эта за-

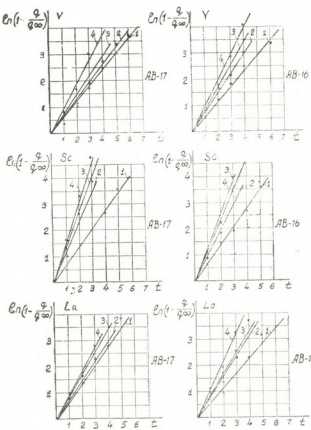


Рис. 1

это означает, что в изученном интервале скоростей потока скорость сорбции скандия, иттрия и лантана на анионитах определяется скоростью подвода вещества потоком.

Уравнение кинетики из-за потока может быть преобразовано следующим образом:

зависимость имеет линейный характер. Из графика находился тангенс угла наклона α прямых к оси времени, причем, как следует из [1],

$$\operatorname{tg} \alpha = \frac{\gamma}{k} = \frac{\gamma \cdot c_0}{q_\infty \cdot \rho} \cdot \left(\frac{\kappa}{1 - \kappa} \right), \quad (6)$$

где ρ — плотность набухшего сорбента.

Поскольку значение пористости тонкого слоя сорбента может быть учтено лишь приближенно, это затрудняет исследование зависимости $\gamma = f(u)$. Поэтому на основе экспериментальных данных строилась зависимость кинетического коэффициента γ от объемной скорости потока v (рис. 2). Как видно из рис. 2, зависимость $\gamma = f(v)$ имеет линейный характер.

В соответствии с теоретическими зависимостями (2) — (5)

$$-\ln \left(1 - \frac{q}{q_\infty} \right) = \frac{v}{m} \cdot \frac{c_0}{q_\infty} \cdot t, \quad (7)$$

где m — вес сорбента в набухшем состоянии, г.

При подстановке в уравнение (6) значения $\operatorname{tg} \alpha$ оно примет вид

$$\gamma = \frac{v}{m} \cdot \frac{c_0}{q_\infty} \cdot \frac{1 - \alpha}{\alpha} \cdot \frac{q_\infty \rho}{c_0} = \frac{v}{m} \cdot \frac{1 - \alpha}{\alpha} \cdot \rho. \quad (8)$$

Отсюда тангенс угла наклона прямой $\gamma = f(v)$ к оси v равен

$$\operatorname{tg} \beta = \frac{\rho}{m} \cdot \frac{1 - \alpha}{\alpha}. \quad (9)$$

Значения $\operatorname{tg} \beta$, рассчитанные по экспериментальным данным (рис. 2) и по формуле (9), для изученных элементов представлены в таблице.

Как видно из таблицы, совпадение теоретически рассчитанных значений $\operatorname{tg} \beta$, т. е. зависимостей $\gamma = f(v)$, с экспериментальными можно считать удовлетворительным, так как они одного порядка.

В соответствии с теоретической формулой (9) зависимость $\omega = \gamma \frac{1 - \alpha}{1 - \alpha + \frac{1}{\rho}} = \frac{q_\infty}{c_0} \operatorname{tg} \alpha$ от v имеет линейный характер с углом наклона $\phi = \operatorname{arc} \operatorname{tg} \frac{1}{m}$. Поскольку $m = 1_f$, $\phi = 45^\circ$. Как видно из таблицы, эта зависимость приближенно выполняется (т. е. $\operatorname{tg} \phi \approx 1$).

Из полученных результатов следует, что в изученном интервале скоростей потока можно не учитывать торможение процесса осадочной сорбции, обусловленное конечной скоростью внешней и внутренней диффузии.

Следовательно, закономерности динамики осадочной сорбции при малых скоростях потока определяются равновесными и гидродинамическими параметрами и не зависят от скорости внешней и внутренней диффузии.

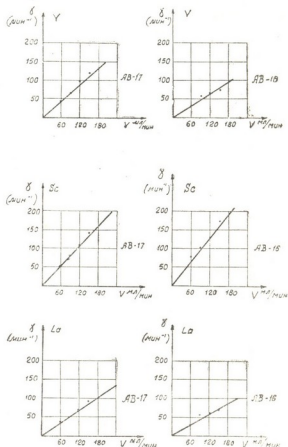


Рис. 2

Ионы металлов	$\operatorname{tg} \beta \left(\frac{1}{\text{см}^3} \right)$ по эксперименту		$\operatorname{tg} \beta \left(\frac{1}{\text{см}^3} \right)$ по формуле (9)		$\operatorname{tg} \rho \left(\frac{1}{\text{г}\cdot\text{ион}\cdot\text{мл}} \right)$	
	Аниониты					
	AB-17	AB-16	AB-17	AB-16	AB-17	AB-16
Y	0,81	0,76	1,90	1,66	0,9	÷ 0,85
Sc	0,93	1,1	1,98	1,77	0,9	÷ 0,83
La	0,75	0,65	1,68	1,52	0,95	÷ 0,9

Грузинский политехнический институт
им. В. И. Ленина

(Поступило 23.11.1974)

ანალიზური მიზანი

ლ. კაშაკაშვილი, ა. დანელია, ნ. კუციავა, ვ. ერისტავი

ღინებიური მითოდით სკანდიუმის, იტრიუმის და ლანთანის
დალექციითი სორბციის კინეტიკის უსრულებელობა
AB-17 და AB-16 ანიონერგებლების შესწავლი

რეზიუმე

AB-17 და AB-16 ანიონერგებლების დინამიური მეთოდით შესწავლითა
სკანდიუმის, იტრიუმისა და ლანთანის დალექციითი სორბციის კინეტიკა. დად-
გენილია, რომ დალექციითი სორბციის სიჩქარე დამკიდებულია ნაკადის მი-
ხედით ნივთიერების მიწოდებაზე.

ANALYTICAL CHEMISTRY

L. L. KASHAKASHVILI, A. G. DANELIA, N. A. KUTSIAVA, V. D. ERISTAVI

INVESTIGATION OF THE KINETICS OF SEDIMENTARY SORPTION OF SCANDIUM, YTTRIUM AND LANTHANUM ON ANION EXCHANGERS BY THE DYNAMIC METHOD

Summary

The kinetics of sedimentary sorption of scandium, yttrium, lanthanum on the AB-17 and AB-16 anion exchangers has been studied. The rate of the sedimentary sorption has been found to be limited by the delivery rate of the substance.

ლიტერატურა — ЛИТЕРАТУРА — REFERENCES

- 1. В. Д. Эристави, В. С. Голубев, К. М. Ольшанова, М. Г. Мгалоб-
лишвили, Г. А. Кекелия. Труды ГПИ им. В. И. Ленина, 5 (153), 1972, 69.
- 2. Л. Л. Кашакашвили, А. Г. ДANELIA, М. А. Вардзишивили, В. Д.
Эристави. Труды ГПИ им. В. И. Ленина, 6, 1975.
- 3. Д. П. Тимофеев. Кинетика сорбции. М., 1962.
- 4. В. С. Голубев, Г. М. Паниченков. ЖФХ, 36, 1962, 2271.
- 5. В. С. Голубев, М. Г. Паниченков. ЖФХ, 37, 1963, 310.
- 6. В. С. Голубев, Г. М. Паниченков. ЖФХ, 38, 1964, 228.

ОБЩАЯ И НЕОРГАНИЧЕСКАЯ ХИМИЯ

А. Е. ШВЕЛАШВИЛИ, А. И. КВИТАШВИЛИ, М. Н. КАНДЕЛАКИ,
Э. А. МИКЕЛАДЗЕ

КРИСТАЛЛИЧЕСКАЯ СТРУКТУРА ДИХЛОРИДИЭТИЛЕНДИА- МИНИРИДИЙ (III) ХЛОРИДА

(Представлено академиком Г. В. Цицишвили 23.5.1974)

В работе [1] приведены предварительные данные о строении кристаллов $[Jr(en_2Cl_2)]Cl$. В данном сообщении представлены результаты полного рентгеноструктурного определения дихлордиэтилендиаминиридий (III) хлорида.

Кристаллы принадлежат к моноклинной сингонии с параметрами $a=11,90$, $b=16,50$, $c=6,76 \text{ \AA}$, $\gamma=122,0^\circ$, $N=4$ пр. группа $P2_1/b$. Дифракционные данные получены в камере КФСР-4а (излучение $Mo-K\alpha$), использовано около 700 независимых ненулевых рефлексов ($\sin\Theta/\lambda$) так = = 0,65. Окончательный фактор расходности $R=11,0\%$.

Структура $[Jr(en_2Cl_2)]Cl$ относится к классу островных, ионных структур. Основными строительными элементами в кристалле являются однозарядные цис-октаэдрические комплексные катионы $[Jr(en_2Cl_2)]^+$ и анионы Cl^- . Таким образом, между строением катиона $[Jr(en_2Cl_2)]^+$ и строением галогенидов никеля $Ni(en_2)_{x}GG'$, где $GG'=Cl, Br; Br, Cl; Cl, Cl$ [2, 3], имеется и определенное сходство, и существенное различие. Сходство заключается в том, что во всех случаях в координационную сферу никеля входит лишь половина всех атомов галогена, одинаковым является и взаимное расположение этилендиаминовых циклов и ионов хлора в комплексе. Различие состоит в том, что в исследованном соединении комплексный катион остается мономерным, тогда как в остальных галогенидах он является димерным (структурная формула $[en_2NiG_2Nien_2]G_2$).

Координационный полиэдр иридия образован четырьмя атомами азота двух молекул этилендиамина и двумя атомами хлора. Два последних атома занимают цис-позиции в октаэдре.

Длины связей и валентные углы в комплексном катионе указаны в табл. 1.

Длина связи $Jr-N$ колеблется в пределах $2,01-2,06 \text{ \AA}$, отклонение от среднего значения ($2,035 \text{ \AA}$) для всех четырех связей $Jr-N$ не превышает вероятной погрешности ($\sigma=0,03 \text{ \AA}$). Длина связи $Jr-Cl$ 2,34 и $2,38 \text{ \AA}$ (среднее $2,36 \text{ \AA}$) совпадает с литературными данными [4].

Неравноценность связей $Jr-lig$ в присутствии двух циклических лигандов в комплексном катионе приводит, естественно, к искажению

координационного полиэдра металла, которое выражается в неравнозначности длин ребер октаэдра и отклонении соответствующих валентных углов от 90°.

Ребра, проведенные через атомы хлора (Cl_1, Cl_2) до атомов азота молекул этилендиамина, близки между собой и их значения лежат в пределах 3,04—3,28 Å. Средняя величина такого ребра составляет 3,16 Å. Соответствующие валентные углы колеблются от 87,8 до 97,5°.

Вторыми по длине являются ребра, связывающие атомы азота разных групп этилендиамина между собой. Длина их изменяется от 2,84 до 2,92 Å.

Самыми короткими в Jr-полиэдре являются ребра, стягивающие атомы азота одной и той же молекулы этилендиамина. В пределах ошибки они равны между собой (2,76 Å). Углы N_1JrN_2 и N_3JrN_4 составляют 85,5 и 85,9° соответственно.

Наибольшее отклонение валентного угла от идеального значения наблюдается в металлоциклах (85,7°ср.). Между связями Jr-lig, расположеными в транс-позициях друг к другу, углы уменьшены до 176°.

Параметры двух кристаллографически независимых M-этанедиаминовых циклов близки между собой. Средние величины связей N—C и C—C равны соответственно 1,44 и 1,53 Å.

Отклонение от среднего для четырех связей N—C и двух связей C—C не превышает вероятной погрешности (0,05 и 0,06 Å соответственно). Эти величины хорошо согласуются с литературными данными по другим этилендиаминовым соединениям переходных металлов. Углы при атомах азота и углерода в металлоциклах несколько отличаются от идеального тетраэдрического угла 109°, но остаются близкими к этому значению. Наибольшее отклонение наблюдается для углов $\text{IrN}_1\text{C}_1 = 103,1^\circ$, $\text{IrN}_4\text{C}_4 = 104,2^\circ$, $\text{C}_4\text{C}_3\text{N}_3 = 104,9^\circ$ и $\text{C}_2\text{C}_1\text{N} = 117,4^\circ$.

Оба металлоцикла имеют обычную несимметричную гош-конфигурацию. В цикле $\text{JrN}_1\text{C}_1\text{C}_2\text{N}_2$ атомы C_1 и C_2 выходят из плоскости IrN_1N_2 на $-0,47$ и $0,06$ Å соответственно. Углы между плоскостями IrN_1N_2 и IrC_1C_2 и плоскостями $\text{N}_1\text{C}_2\text{C}_1$ и $\text{N}_2\text{C}_1\text{C}_2$ составляют 21,5 и 45,3°.

В цикле $\text{IrN}_3\text{C}_3\text{C}_4\text{N}_4$ атом C_4 лежит выше плоскости IrN_3N_4 на 0,40 Å, атом C_3 — ниже этой же плоскости на 0,34 Å. Угол между плоскостями IrN_3N_4 и IrC_2C_4 равен 28,6°, между плоскостями $\text{N}_3\text{C}_3\text{C}_4$ и $\text{N}_4\text{C}_3\text{C}_4$ — 56,1°.

В вышеуказанном комплексе осуществляется δ -конфигурация. δ -конформацию имеет цикл $\text{IrN}_3\text{C}_3\text{C}_4\text{N}_4$, находящийся в цис-цис-положении к иону Cl_2 , λ -конформацию — цикл $\text{IrN}_1\text{C}_1\text{C}_2\text{N}_2$, расположенный в цис-цис-положении к иону Cl_1 (рис. 1).

Упаковку ионов в элементарной ячейке удобно описать, взяв за основу слои, параллельные плоскости (100).

Между слоями катионов размещаются внешнесферные анионы хлора (рис. 2), причем каждый атом Cl₃ окружен шестью комплексными катионами. Наиболее короткие расстояния указаны на рис. 2.

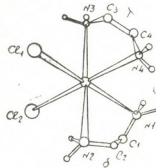


Рис. 1. Конфигурация катиона [Iren₂Cl₂]⁺ и конформация металлоциклов в нем

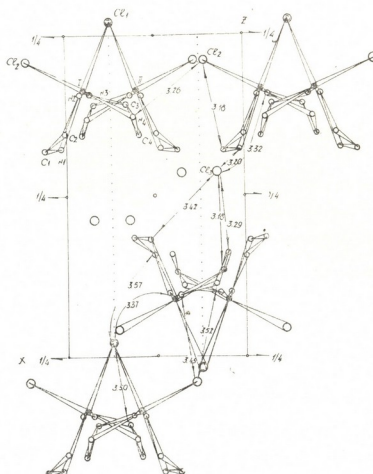


Рис. 2. Проекция структуры кристаллов [Iren₂Cl₂]Cl в плоскости (010)

Валентные углы и расстояния в комплексе

$$\text{Ir}-\text{Cl}_1 = 2,38(1) \text{ \AA} \quad \text{N}_1-\text{C}_1 = 1,41(5) \text{ \AA}$$

$$\text{Ir}-\text{Cl}_2 = 2,34(1) \text{ \AA} \quad \text{C}_1-\text{C}_2 = 1,51(6) \text{ \AA}$$

$$\text{Ir}-\text{N}_1 = 2,01(3) \text{ \AA} \quad \text{N}_2-\text{C}_2 = 1,42(5) \text{ \AA}$$

$$\text{Ir}-\text{N}_2 = 2,04(3) \text{ \AA} \quad \text{N}_3-\text{C}_3 = 1,43(5) \text{ \AA}$$

$$\text{Ir}-\text{N}_3 = 2,01(3) \text{ \AA} \quad \text{C}_3-\text{C}_4 = 1,54(6) \text{ \AA}$$

$$\text{Ir}-\text{N}_4 = 2,06(3) \text{ \AA} \quad \text{N}_4-\text{C}_4 = 1,49(5) \text{ \AA}$$

$$\text{N}_1\text{IrN}_2 = 85,5(1,1)^\circ \quad \text{N}_3\text{IrN}_4 = 85,9(1,1)^\circ$$

$$\text{IrN}_1\text{C}_1 = 103,2(1,9)^\circ \quad \text{IrN}_3\text{C}_3 = 109,6(1,9)^\circ$$

$$\text{C}_2\text{C}_1\text{N}_1 = 117,4(3,1)^\circ \quad \text{C}_4\text{C}_3\text{N}_3 = 104,9(3,1)^\circ$$

$$\begin{array}{ll} N_2C_2C_1 = 106,3(3,1)^\circ & N_4C_4C_3 = 110,0(3,1)^\circ \\ IrN_2C_2 = 110,5(1,9)^\circ & IrN_4C_4 = 104,2(1,9)^\circ \end{array}$$

Грузинский политехнический институт
им. В. И. Ленина

(Поступило 30.5.1974)

ზოგადი და არაორგანული კიბის

ა. შველაშვილი, ა. კვითაშვილი, მ. კაციაშვილი, მ. მიძილაძე

დიქლორდიოთილენდიამინირიდიუმის (III) ქლორიდის პრისტალური სტრუქტურა

რეზიუმე

ჩატარებულია $[Irene_2Cl_2]Cl$ კომპლექსური მარილის სრული რენტგენო-სტრუქტურული გამოკვლევა. პარამეტრებია: $a=11,90$; $b=16,50$; $c=6,76\text{\AA}$; $\gamma=122,0$; $N=4$. სივრცობრივი ჯგუფი $P2_1/b$.

დადგნილია, რომ შენაერთს აქვთ ცის-ოქტაედრული აგებულება. სტრუქტურა ეკუთვნის ონიურ ნერთვა ქლის. მეტალურგიულებში ხორციელდება ბანკფიციურაცია.

კავშირი $Ir-lig$ კარგ თანხვედრაშია ლიტერატურულ მონაცემებთან. კერძოდ, $(Ir-Cl)_{av}=2,36\text{\AA}$ და $(Ir-N)_{av}=2,02\text{\AA}$.

GENERAL AND INORGANIC CHEMISTRY

A. E. SHVELASHVILI, A. I. KVITASHVILI, M. N. KANDELAZI, E. A. MIKELADZE

CRYSTALLINE STRUCTURE OF DICHLORDIETHYLENEDIAMINEIRIDIUM (III) CHLORIDE

Summary

Full roentgenostructural study of the $[Irene_2Cl_2]Cl$ complex salt has been carried out. The parameters are: $a=11.90$; $b=16.50$; $c=6.76\text{\AA}$; $\gamma=122.0^\circ$; $N=4$. Space group is $P2_1/b$. The compound was found to have cis-octahedral structure. The structure refers to the class of ionic compounds. $\delta\lambda$ conformation occurs in the metal cycles. The length of the Ir-lig bond is in good agreement with the literature data. Thus, $(Ir-Cl)_{av}=2.36\text{\AA}$ and $(Ir-N)_{av}=2.02\text{\AA}$.

ლიტერატურა — ЛИТЕРАТУРА — REFERENCES

1. А. Е. Швелашивили, А. И. Квиташвили, Б. М. Щедрин, Л. П. Давиленко. Изв. АН Латв. ССР, сер. хим., 1970, 375—377.
2. А. С. Ацышкина, М. А. Порай-Кошиц. ДАН СССР, 143, 1962, 105.
3. А. Е. Швелашивили. Рентгеноструктурное исследование некоторых дニアцидоди-этилендиаминовых соединений никеля типа $Nien_2XY$. Автореферат, М., 1965.
4. Сб. «Кристаллохимия. Итоги наук. М., 1971.

ОБЩАЯ И НЕОРГАНИЧЕСКАЯ ХИМИЯ

Н. Д. КАЛАНДАДЗЕ, В. Н. ГАПРИНДАШВИЛИ

КИНЕТИКА ТЕРМИЧЕСКОГО РАЗЛОЖЕНИЯ СУЛЬФАТА МЕДИ

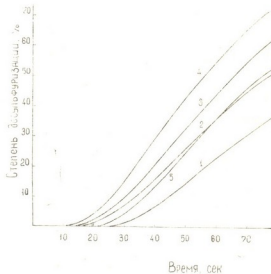
(Представлено академиком Р. И. Агладзе 1.7.1974)

Для решения ряда практических вопросов обжига сульфидных концентратов важное значение имеют сведения о кинетических закономерностях отдельных реакций, протекающих в системе $\text{Me}-\text{S}-\text{O}$. Одна из таких реакций — термическое разложение сульфата двухвалентной меди. Его кинетические закономерности изучены недостаточно. Имеющиеся данные [1—4] зачастую противоречивы, что, вероятно, связано с различной аэродинамической обстановкой протекания процесса.

В настоящей статье приводятся результаты исследования кинетики термохимического разложения сульфата меди в кипящем слое при различных аэродинамических и температурных условиях. Скорость разложения сульфата оценивалась по количеству выделившихся в газовой фазе окислов серы. Определение последних осуществлялось кондуктометрически непрерывнодействующим автоматическим устройством [5]. Высокая чувствительность анализа позволила работать с малыми навесками сульфата (0,100 г). В опытах использовался сульфат меди марки ч.д.а. В качестве газа-носителя применялся сухой воздух.

Данные о степени десульфуризации, полученные в результате термохимического разложения сульфата меди, в зависимости от температуры обжига, скорости воздушного потока и гранулометрического состава приведены в виде кинетических кривых на рис. 1 и 2. Анализ

Рис. 1. Кинетика десульфуризации сульфата меди в зависимости от скорости воздушного потока ($t = 740^\circ$, $\varnothing = 0,6+0,4$ мм): 1—8,33; 2—13,33; 3—14,33; 4—17,33 см/сек и величины частиц сульфата ($t = 740^\circ$, $v = 17,33$ см/сек): 4 — 0,6+0,4 мм; 5 — 0,8 +0,6 мм



указанных данных говорит о большой интенсивности процесса. Высокая турбулизация потока в кипящем слое позволяет предполагать, что



реакция протекает по всей поверхности частиц сульфата. По мере про-
движения реакционной поверхности в глубь частиц, а также в порах и трещинах парциальные давления газовых продуктов реакции могут приближаться к равновесным. Чем выше скорость воздушного пото-

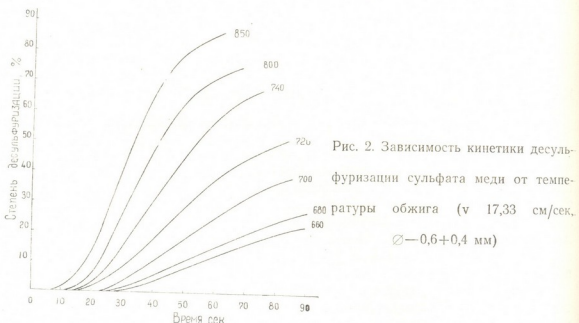


Рис. 2. Зависимость кинетики десуль-
фуризации сульфата меди от темпе-
ратуры обжига ($v = 17,33$ см/сек,
 $\varnothing = 0,6+0,4$ мм)

ка, тем сильнее система отклоняется от равновесного состояния и, следовательно, тем интенсивнее протекает процесс. С увеличением скорости потока воздуха от 8,33 до 17,33 см/сек на 100 мг сульфата (рис. 1, кривые 1—4) время, необходимое для достижения 50% десульфуризации сульфата меди, от 110 сек сокращается до 56 сек, т. е. почти вдвое увеличивается интенсивность процесса. Дальнейшее увеличение скорости воздушного потока отражается отрицательно на процессе, происходит частичный вынос обжигаемого материала из зоны скорости потока воздуха от 8,33 до 17,33 см/сек на 100 мг сульфата меди α и скоростью воздушного потока v может быть представлена в виде уравнения

$$\alpha = KV^m.$$

По результатам расчета для исследуемых условий ($t = 740^\circ$, $\varnothing = 0,6+0,4$ мм, $\tau = 60$ сек) при изменении скорости потока воздуха в интервале 8,33—17,33 см/сек величина m близка к единице и составляет 1,24, а значение K равно 1,61.

Из сопоставления кинетических кривых 4 и 5 (рис. 1) видно, что чем мельче величина частиц, тем интенсивнее протекает процесс разложения сульфата. Если для фракции $-0,8+0,6$ мм степень десульфуризации при температуре 740° и скорости воздушного потока 17,33 см/сек составляет 36% за мин; то для фракции $-0,6+0,4$ мм она достигает 55% при тех же условиях.

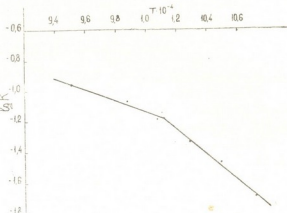
Кинетические кривые десульфуризации сульфата меди при низких и высоких температурах заметно отличаются друг от друга (рис. 2). При низких температурах кривые зависимости степени превращения от времени по своему характеру приближаются к линейной. При высоких температурах эта зависимость значительно усложняется и кривые имеют форму, характерную для топохимической реакции. На кривых могут быть выделены области, в которых факторами, лимитирующими

щими скорость процесса, являются: в начальный период времени — активация поверхности частиц сульфата и образование центров реакции, в последующем — химическая реакция и в конечный период времени — диффузия газовых продуктов через слой твердого продукта реакции.

Рентгеноструктурным анализом обнаружено, что в твердых продуктах обжига, получаемых при температурах 660—680° совместно с окисью меди присутствует и основной сульфат меди, а при высоких температурах (700° и выше) огарок состоит только из оксида меди.

Математический анализ кинетических кривых по обобщенным уравнениям для топохимических реакций позволил рассчитать константу скорости десульфуризации сульфата меди. На рис. 3 в коорди-

Рис. 3. Зависимость константы скорости десульфуризации сульфата меди от температуры



натах $\log K = 1/T$ приводится зависимость константы скорости реакции от температуры. Термическое разложение сульфата меди в исследуемом интервале температур (660—850°) протекает в различных областях. Излом на прямой соответствует 715°. Значение кажущейся энергии активации в интервале температур 660—715° составляет 38,14 ккал/моль и характеризует кинетическую область протекания реакции. Выше 715° кажущаяся энергия активации уменьшается и составляет 20,34 ккал/моль, что указывает на переходную область.

Академия наук Грузинской ССР
Институт неорганической химии
и электрохимии

(Поступило 25.7.1974)

ზოგადი და არაორგანული გიმენ

6. კალცდეპი, ვ. გაფრინდაშვილი

ცილენის სულფატის დაზღვის პინვითა

რეზიუმე

შესწავლითია სპილენის სულფატის თერმული დაშლის კინეტიკა მდუღარე შრის პირობებში. გამოკვლეულა ძირითადი ფაქტორების — ტემპერატურის, ჰაერის ნაკადის სიჩქარისა და ნაწილაკების სიდიდის გავლენა პროცესის კინეტიკაზე. ექსპერიმენტული მონაცემების მათემატიკური დამუშავებით გამოთვლითა სპილენის სულფატის თერმული დაშლის რეაქციის აქტივაციის ენერგია.

N. D. KALANDADZE, V. N. GAPPINDASHVILI

KINETICS OF THERMAL DECOMPOSITION OF COPPER SULPHATE

Summary

The kinetics of thermal decomposition of copper sulphate has been investigated in the boiling bed. The effect of basic factors on the intensity of the process has been studied. The activation energy of the decomposition of copper sulphate has been calculated by mathematical prosessing of the data obtained.

ЛІТЕРАТУРА — REFERENCES

1. Д. М. Чижиков, Г. С. Ференц, В. Я. Трацевицкая. Изв. АН СССР, ОТН, 4, 1953.
2. В. Маргулис, Ю. С. Ремизов. Сб. научных трудов «ВНИИЦветмет», 6, 1960.
3. А. Н. Кетов, В. В. Печковский, Б. Н. Варский и Н. П. Старков. ЖПХ, т. 34, вып. 3, 1961.
4. Б. В. Лебедь, М. Б. Фиалко, М. А. Зикно, Ю. Н. Тищенко. Труды Ин-та «Унипромедь», вып. 15, 1972.
5. В. Н. Гаприндашвили, Н. Д. Каландадзе, Л. А. Чхетиани. Сб. «Пепеработка марганцевых и полиметаллических руд». Тбилиси, 1970.

ФИЗИЧЕСКАЯ ХИМИЯ

Р. Н. АХОБАДЗЕ, Л. Ф. УТКИНА, Т. А. ТЕПЛИЦКАЯ

КВАЗИЛИНЕЙЧАТЫЕ СПЕКТРЫ ФЛЮОРЕСЦЕНЦИИ И
ПОГЛОЩЕНИЯ БЕНЗО-(В)-НАФТО-(2,3-d)-ТИОФЕНА,
7-МЕТИЛ-БЕНЗО-(В)-НАФТО-(2,3-d)-ТИОФЕНА И 9,10-
ДИГИДРО-7-МЕТИЛ-БЕНЗО-(В)-НАФТО-(2,3-d)-ТИОФЕНА

(Представлено академиком Л. Д. Меликадзе 31.10.1974)

1. В [1] нами описаны квазилинейчатые спектры флуоресценции, поглощения и фосфоресценции 7, 8, 9, 10-тетрагидро-бензо-(в)-нафто(2,3-d)-тиофена (I).

Показано, что присоединение к молекуле дифениленсульфида (V) циклогексанового кольца приводит к батохромному смещению спектров, но не оказывает влияния на колебательную структуру.

Целью настоящей работы являлось изучение электронно-колебательной структуры квазилинейчатых спектров бензо-(в)-нафто-(2,3-d)-тиофена (II), 7-метил-бензо-(в)-нафто-(2,3-d)-тиофена (III) и 9,10-дигидро-7-метил-бензо-(в)-нафто-(2,3-d)-тиофена (IV), структурные формулы которых даны в таблице.

Синтез соединений I—IV описан в работах [2—5]. Нами получены в растворах н-гептана и н-ионана при 77°К квазилинейчатые спектры флуоресценции и поглощения соединений II—IV. Методика получения спектров описана [1].

Степень чистоты веществ оценивалась по спектрам люминесценции и возбуждения. На спектрограммах исследованных соединений наблюдались, помимо четких полос, принадлежащих спектру люминесценции основного вещества, полосы примесной люминесценции. Последние исчезали в процессе очистки веществ с помощью тонкослойной хроматографии с последующей перекристаллизацией из этилового спирта.

2. Наиболее отчетливая структура спектров II—IV наблюдалась в н-ионане. В н-гептане квазилинии уширены до ~ 100 —150 см⁻¹, но сдвига спектров в шкале длин волн нет.

Спектр флуоресценции соединения II в н-ионане расположен в области 3730—4070 Å и насчитывает 13 полос. Головная линия спектра 3731 Å резонансно совпадает с соответствующей линией спектра поглощения и отнесена нами к 0—0-переходу. Спектр интерпретируется частотами 313, 495, 720, 1022, 1325 и 1605 см⁻¹. С наибольшей интенсивностью в спектре флуоресценции проявляются колебания 1022 и 1325 см⁻¹. Длинноволновая часть спектра поглощения интерпретируется теми же частотами, что и спектр флуоресценции. Спектры соединения II смешены в длинноволновую область относительно спектра V на 3600 см⁻¹. Присоединение к II метильной группы 24. „მომზადე“, ტ. 77, № 2, 1975

Сопоставление колебательных частот, активных в спектрах флуоресценции (1) и поглощения (2) (см^{-1})

													
n-Гексан, 77°К		Дибензил, 77°К		n-Гептан, 15°К		n-Гептан, 77°К		n-Нонан, 77°К		n-Нонан, 77°К		n-Нонан, 77°К	
1*	2*	1**	1***	2***	1****	1	2	1	2	1	2	1	2
33598	33500					30438 30355	26795		23709		28802		226
		261	214	213	212			185					
			405	402		313	321	303		413		412	
			420		420			408					
			499	485		495		504	486	488			
680	545								709	680	683	679	
	671		705	705	693	700	720						
		742						845	897				
	885									1000			925
961	945		1009	997		1023	1001	1014	1022	1036			
						1079	1087			1075	1084		
		1053											
			1140		1132								
		1177	1175			1310	1308	1308	1325	1320	1315	1318	1300
			1310			1479	1486						
1453			1593	1503	1548		1600	1605		1603	1620	1600	1445

Примечание: 1. Одной, двумя, тремя и четырьмя звездочками обозначены данные работ [11, 14].
 2. В начале каждого столбца приведены частоты 0—0-перехода.



в положении 7 приводит к незначительному (~ 90) батохромному сдвигу, но не влияет на их колебательную структуру. Частоты и интенсивность колебаний, проявляющихся в спектрах соединения III, в основном совпадают с частотами и интенсивностью колебаний спектров II.

Замена бензольного кольца в соединении III циклогексановым смешает спектры флуоресценции и поглощения в область более коротких длин волн на 2100 см^{-1} относительно спектров III.

Спектр флуоресценции IV расположен в области $3470\text{--}4060 \text{ \AA}$. По числу линий (их 8) и распределению интенсивностей он похож на спектр соединения I (см. [1]). С наибольшей интенсивностью в спектре флуоресценции IV проявляются колебания 1300 и 1600 см^{-1} . В спектре поглощения колебание с частотой 1600 см^{-1} не наблюдается. Следует отметить, что в спектре соединения IV нам удалось определить меньше колебательных частот, чем в спектрах соединений I--III.

3. В таблице приведены колебательные частоты основного и первого возбужденного электронного состояния молекул бензтиофена (VI), V и исследованных нами соединений. Здесь же даны частоты первого синглетного 0—0-перехода. Наиболее чувствительной к изменению структуры молекулы является система электронных уровней. Даже небольшие структурные изменения оказывают влияние на частоту 0—0-перехода. Сравнение частот 0—0-переходов молекул VI, V и II (см. таблицу) показывает, что увеличение линейных размеров молекулы приводит к батохромному сдвигу спектров. Так, спектр Vмещен на 3200 см^{-1} (величина сдвига приведена с некоторой погрешностью, так как спектры VI и V получены в разных растворителях), относительно спектра VI, а спектр соединения II — на 3600 см^{-1} относительно спектра V. Интересно отметить, что батохромный сдвиг спектра флуоресценции нафтилина ($\nu_{0-0_{\text{фл}}} = 31730 \text{ см}^{-1}$ [9]) относительно спектра бензола ($\nu_{0-0_{\text{фл}}} = 37714 \text{ см}^{-1}$ [10]) равен 6000 см^{-1} , а спектра антрацена ($\nu_{0-0_{\text{фл}}} = 26600 \text{ см}^{-1}$ [10]) относительно спектра нафтилина 5100 см^{-1} . Сопоставление величин сдвигов спектров в ряду ароматических и гетероциклических соединений свидетельствует о том, что присутствие тиофенового мостика ослабляет влияние присоединенных конденсированных колец на систему электронных уровней исходного соединения.

Замена бензольного кольца в соединении II циклогексановым резко смешает спектры в голубую область на $\sim 3300 \text{ см}^{-1}$ относительно спектра соединений II.

Из таблицы видно, что колебательная структура спектров V и изученных нами соединений отличается незначительно. Интерпретация основных частот дана нами в предыдущем сообщении [1].

Академия наук Грузинской ССР
Институт физической и органической химии
им. П. Г. Меликишвили

Московский государственный
университет
им. М. В. Ломоносова

(Поступило 1.11.1974)

რ. ახობაძე, ლ. უტკინა, თ. თელიცკაია

ბენზო-(B)-ნაფთო-(2,3-d)-თიოფენის, 7-მეთილ-ბენზო-(B)
 ნაფთო-(2,3-d)-თიოფენის და 9,10-დიჰიდრო-7-მეთილ-ბენზო-(B)-
 ნაფთო-(2,3-d)-თიოფენის ფლუორესცენციის და შთანთქმის
 კვაზილინეარულობაზე

რეზუმე

მიღებული და შესწავლილია ბენზო-(B)-ნაფთო-(2,3-d)-თიოფენის, 7-მეთილ-ბენზო-(B)-ნაფთო-(2,3-d)-თიოფენის და 9,10-დიჰიდრო-7-მეთილ-ბენზო-(B)-ნაფთო-(2,3-d)-თიოფენის ფლუორესცენციის და შთანთქმის კვაზილინეარულობის და შესწავლილი მოლეკულების სპექტრების რევითო სტრუქტურა უმნიშვნელოდ განსხვავდება ერთმანეთისაგან. მიღებული სისშირები კარგად ემთხვევან დიფენილენსულფადის რევით სისშირებს.

PHYSICAL CHEMISTRY

R. N. AKHOBADZE, L. PA. UTKINA, T. A. TEPLITSKAYA

QUASI-LINEAR SPECTRA OF FLUORESCENCE AND ABSORPTION
 OF BENZO-(B)-NAPHTHO-(2, 3-d)-THIOPHENE, 7-METHYL-BENZO-(B)-NAPHTHO-(2, 3-d)-THIOPHENE, AND 9, 10-DIHYDRO-7-METHYL-BENZO-(B)-NAPHTHO-(2, 3-d)-THIOPHENE

Summary

Fluorescence and absorption spectra of the title compounds have been obtained and studied in *n*-heptane and *n*-nonane at 77°K. Diphenilene sulphide and the studied molecules have been found to differ slightly in their spectral vibratory structures. The obtained vibration frequencies coincide well with those of diphenilene sulphide.

ლიტერატურა — ЛИТЕРАТУРА — REFERENCES

1. Р. Н. Ахобадзе, Л. Ф. Уткина, Т. А. Теплицкая. Сообщения АН ГССР, 77, № 1, 1975.
2. В. П. Литвинов, Д. Д. Гвердцители, Е. Д. Лубуж. Изв. АН СССР, сер. хим., 1972, 79.
3. Д. Д. Гвердцители, В. П. Литвинов. Сообщения АН ГССР, 56, № 1, 1969, 105.
4. Д. Д. Гвердцители, В. П. Литвинов. Сообщения АН ГССР, 58, № 2, 1970, 333.
5. Д. Д. Гвердцители, В. П. Литвинов. Изв. АН СССР, сер. хим., 1970, 1340.
6. Л. Ф. Уткина. Сб. «Вопросы радиофизики и спектроскопии», вып. 4. М., 1970, 62.
7. Н. А. Фенина. Журнал прикладной спектроскопии, т. 6, вып. 2, 1967, 216.
8. J. Petruska. J. Chem. Phys., 34, 1111, 1961, 1120.
9. L. Pesteil, R. Troisplis, P. Pesteil. J. Chim. Phys. et Phys.-Chim. Biol., 60, 1963, 1294.
10. A. Ciajs. J. Chim. Phys. et Phys.-Chim., Biol., 58, 1962, 190.
11. О. П. Харитонова. Сб. «Оптика и спектроскопия», т. 1. М., 1963, 77.
12. М. Т. Шиак, Н. И. Шеремет. Там же, 110.
13. A. Bree, R. Zwarich. Spectr. Acta, 27A, 1971, 621.
14. Р. Н. Нурмухаметов, Г. В. Гобов. Оптика и спектроскопия, 18, 1965, 227.

ФИЗИЧЕСКАЯ ХИМИЯ

М. В. МАМАЛАДЗЕ, Е. М. НАНОБАШВИЛИ

ИССЛЕДОВАНИЕ γ -РАДИОЛИЗА ВОДНЫХ РАСТВОРОВ
АРСЕНИТОВ

(Представлено академиком Р. И. Агладзе 26.9.1974)

Радиационно-химическое превращение соединений мышьяка представляет большой научный и практический интерес, но, тем не менее, этому вопросу посвящено незначительное количество работ [1, 2].

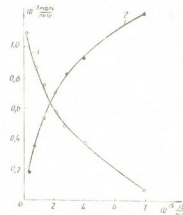
В настоящей работе исследовался радиолиз водных растворов арсенитов с использованием γ -излучения при мощности дозы 1,1— $1,5 \cdot 10^{16}$ эв/мл·сек. Дозиметрия проводилась методом Фрике [3].

Радиолиз водных растворов разнозамещенных солей мышьяковистой кислоты исследовался в широких пределах концентрации и pH среды с использованием различных физико-химических методов — спектроскопического, фотоколориметрического, амперметрического титрования и др. [4—6].

Согласно полученным данным, при облучении системы 10^{-3} М $\text{Na}_2\text{HAsO}_3\text{-H}_2\text{O}$ при pH 2,2 наблюдается окисление ионов арсенита в арсенат с радиационно-химическим выходом $G(\text{As}^{\text{V}}) = 3,0 \pm 0,12$ и образование перекиси водорода с выходом $G(\text{H}_2\text{O}_2) = 4,1$ (рис. 1 и 2).

Иначе ведет себя система $5 \cdot 10^{-2}$ М $\text{Na}_2\text{HAsO}_3\text{-H}_2\text{O}$ при pH ~10: помимо окисления ионов As (III) в As (V) с выходом $G(\text{As(V)}) = 5,7$, имеет место также образование металлического мышьяка с выходом $G(\text{As}^{\circ}) = 3,1 \pm 0,3$ (см. таблицу).

Рис. 1. Изменение концентрации ионов As (III) и As (V) в системе 10^{-3} М $\text{Na}_2\text{HAsO}_3\text{-H}_2\text{O}$ в зависимости от дозы. 1 — концентрация ионов As (III), 2 — концентрация ионов As (V)



Образование As° объясняется восстановлением ионов As(III) сольватированными электронами — e_{aq} . Это подтверждается данными по радиолизу вышеуказанной системы в атмосфере закиси азота либо

в присутствии ацетона, являющихся эффективными акцепторами сольватированных электронов. Данные по радиолизу систем $5 \cdot 10^{-2} M$ $\text{Na}_2\text{HAsO}_3 - \text{N}_2\text{O} - \text{H}_2\text{O}$ и $5 \cdot 10^{-2} M$ $\text{Na}_2\text{HAsO}_3 - 10^{-3} M$ $(\text{CH}_3)_2\text{CO} - \text{H}_2\text{O}$ показывают, что в этом случае не имеет места образование As° , так как гидратированные электроны захватываются закисью азота или

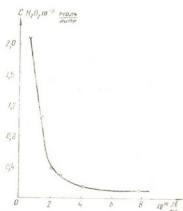


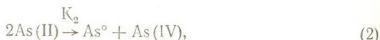
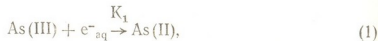
Рис. 2. Изменение концентрации перекиси водорода в системе $10^{-3} M$ $\text{Na}_2\text{HAsO}_3 - \text{H}_2\text{O}$ в зависимости от дозы

ацетоном. Следует также отметить, что присутствие этанола, изопропанола, гипофосфита натрия и др., являющихся акцепторами OH-радикалов, благоприятствует восстановлению ионов As (III) до металлического мышьяка.

Радиолиз системы $5 \cdot 10^{-2} M$ $\text{Na}_2\text{HAsO}_3 - \text{H}_2\text{O}$ ($M\Delta = 1,55 \cdot 10^{16}$ эв/мл·сек)

Поглощенная энергия, 10^{20} эв/мл	Опт.пл., D	$\Delta C \text{As} (Y)$, 10^3 моль/л	G (As (Y))	G (As°)
0,56	0,420	5,38	5,7	3,1
1,11	0,450	5,78	3,1	3,3
1,68	0,455	5,83	2,0	2,5
2,80	0,500	6,43	2,1	3,1

Механизм радиационно-химического превращения ионов As(III) до As° можно представить следующим образом:



Применяя метод стационарных концентраций, получаем следующие уравнения:

$$G_{e^{-}_{\text{aq}}} I = K_1 [\text{As}^{\text{III}}] [e^{-}_{\text{aq}}], \quad (I)$$

$$2K_2 [\text{As(II)}]^2 = K_1 [\text{As}^{\text{III}}] [e^{-}_{\text{aq}}] + K_3 [\text{As}^{\text{III}}] [\text{As}^{\text{IV}}], \quad (II)$$



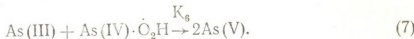
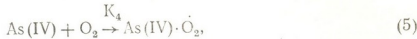
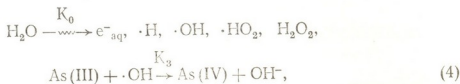
$$K_2 [As(II)]^2 = K_3 [As^{III}] [As^{IV}], \quad (III)$$

$$G(As^{\circ}) I = K_2 [As(II)]^2, \quad (IV)$$

$$G(As^V) I = K_3 [As(III)] [As^{IV}]. \quad (V)$$

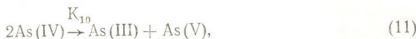
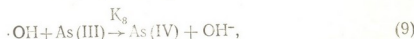
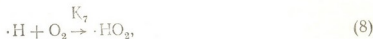
После преобразований уравнений (I—V) получаем $G(As^{\circ}) \approx G_{e^{-}_{aq}} \approx 2,9$, что находится в согласии с экспериментальными результатами.

Образование ионов As(V) из As(III) в системе $5 \cdot 10^{-2} M$ $Na_2HAsO_3 - H_2O$ может протекать с участием реакции



Из уравнений (4—7) видно, что превращение ионов As(III) проходит по вырожденному цепному механизму.

В системах $10^{-3} M$ $Na_2HAsO_3 - H_2O$ при pH 2,2, окисление ионов арсенита в As(V) протекает по реакции диспропорционирования промежуточных ионов As(IV):



Из уравнений (8—12) вытекает, что

$$G(H_2O_2) = G_H + G_{H_2O_2} \approx 4,2,$$

$$G(As^V) = 1/2 [G(H) + G(OH)] \approx 2,9.$$

Значения выходов арсената $G(As^V) \approx 2,9$ и перекиси водорода $G(H_2O_2) \approx 4,2$ хорошо согласуются с экспериментальными результатами.

Совокупность полученных данных позволяет считать, что путем направленного ведения радиолиза водных систем арсенатов легко

можно осуществить изменение окислительно-восстановительного состояния ионов мышьяка, что представляет определенный научный и практический интерес.

Академия наук грузинской ССР
Институт неорганической химии и электрохимии

(Поступило 26.9.1974)

შიდიაზები ძიმია

ა. მამალაძე, ე. ნანობაშვილი

პირველი შეკვეთის შემთხვევაში გამოქვლევა

რეზიუმე

შესწავლითა არსენიტების შეაღხსნარების რადიოლიზი სხვადასხვა პირობებში. დადგენილია, რომ 10^{-3} M $\text{Na}_2\text{HAsO}_3 - \text{H}_2\text{O}$ სისტემაში, pH 2,2, დაიკვირვება არსენიტ-იონების დაფარვა არსენატმდე — $G(\text{As}^{\circ}) = 3,0 \pm 0,12$. წარმოქმნილი შეაღბადის ზედანგის გამოსავალი $G(\text{H}_2\text{O}_2) = 4,1$.

$5 \cdot 10^{-2}$ M $\text{Na}_2\text{HAsO}_3 - \text{H}_2\text{O}$ სისტემაში, pH ~ 10, As (III) იონები აღდგებიან მეტალურ დარიშხანმდე — $G(\text{As}^{\circ}) = 3,1 \pm 0,3$.

სტაციონარული კონცენტრაციების მეთოდით გამოთვლილია ზემოაღნიშნული სისტემის რადიოლიზის პროცესების რადიაციულ-ქიმიური გამოსავლები, რომელთა სიდიდეები ეთანხმება ექსპერიმენტულ მონაცემებს.

PHYSICAL CHEMISTRY

M. V. MAMALADZE, E. M. NANOBASHVILI INVESTIGATION OF γ -RADIOLYSIS OF AQUEOUS SOLUTIONS OF ARSENITES

Summary

The radiolysis of aqueous solutions of arsenites in various conditions has been studied.

In the system 10^{-3} M $\text{Na}_2\text{HAsO}_3 - \text{H}_2\text{O}$, at pH = 2,2, the oxidation of arsenite ions to arsenate is observed. The yields of the formed arsenate and hydrogen peroxide are equal to $G(\text{As}^{\circ}) = 3,0 \pm 0,12$; $G(\text{H}_2\text{O}_2) = 4,1$.

In the system $5 \cdot 10^{-2}$ M $\text{Na}_2\text{HAsO}_3 - \text{H}_2\text{O}$, at pH ~ 10, reduction of As(III) ions to arsenic is also observed, yielding $G(\text{As}^{\circ}) = 3,1 \pm 0,3$.

The values of the yields of the above mentioned systems radiolysis products were calculated by the steady state method. These values are in good agreement with the experimental data.

ლიტერატურა — ЛИТЕРАТУРА — REFERENCES

1. M. Haissinsky and M. Lefort. J. Chem. Phys., 48, 1951, 429.
2. M. Daniels and Jeiss. J. Chem. Soc., № 7, 1958.
3. H. Fricke, S. Morse. Am. J. Roent. a. Radium Therapy, 18, 1927, 430.
4. N. Elenkova, G. Todorova. Anal. Chim. Acta, v. 29, № 4, 1963.
5. M. Daniels. Analyst, 82, 1957, 133.
6. G. Eisenberg. Ind. and Eng. Chem. v. 15, № 4, 1943.

ФИЗИЧЕСКАЯ ГЕОГРАФИЯ

Ч. П. ДЖАНЕЛИДЗЕ, И. С. МИКАДЗЕ

СВИДЕТЕЛЬСТВА СРЕДНЕВЮРМСКОЙ ТРАНСГРЕССИИ
В ВЕРХНЕПЛЕЙСТОЦЕНОВЫХ ОТЛОЖЕНИЯХ
КОЛХИДСКОЙ НИЗМЕННОСТИ

(Представлено академиком Ф. Ф. Давитая 15.11.1974)

Представления по стратиграфии плейстоценовых отложений Колхидской низменности сложились на основе проведенных в течение последних 2—3 десятилетий геологических изысканий и изучения материалов нескольких десятков буровых скважин. В результате была создана стратиграфическая схема плейстоцена этого района, по которой в западной части низменности отмечается залегание сверху вниз древнечерноморских, новоэвксинских, карапгатских, узуиларских, древнеэвксинских и чаудильских морских отложений [1, 2].

В свете современных палеогеографических представлений стратиграфическая схема плейстоцена Колхидской низменности подлежит уточнению. В этой схеме, например, не отражены следы средневюрмской трансгрессии моря, реальность которой (в мировом масштабе) теперь ни у кого не вызывает сомнения. Она была обусловлена устойчивым проявлением потепления в среднем вюрме — от 50—48 до 25—23 тыс. лет назад, и о ее возрасте и масштабах к настоящему моменту накопилась обширная научная информация [3]. Кривые эвстатики для этого отрезка времени надежно фиксируют высокое положение уровня океана, близкое к современному или несколько выше него. Поскольку гляциоэвстатические трансгрессии океана в плейстоцене синхронно и однозначно проявлялись в басс. Черного моря, то предположение о средневюрмской трансгрессии Черного моря не должно быть лишено основания и, естественно, ее следы должны фиксироваться соответствующими отложениями.

Следы средневюрмской трансгрессии в басс. Черного моря первыми отметили Г. И. Попов [4] и Г. И. Горецкий [5]. В западном Приманыче и Придонье названные исследователи описали трансгрессивную серию осадков с фауной среднеземноморского типа между гирканским горизонтом, перекрывающим морские карапгатские осадки, и горизонтом новоэвксинских отложений (сурожские слои по Попову, аланские по Горецкому). Г. И. Горецкий определил возраст аланской трансгрессии как валдайский, принимая во внимание стратиграфическое и геоморфологическое положение аланского горизонта по отношению к карапгатским и новоэвксинским отложениям.

Обращаясь к новому фактическому материалу (материалы бурения 1970—1973 гг., скв. 18, 19, 20, 23, установленные вдоль русла р. Рioni в 0,5, 0,9, 5 и 13 км от моря), можно уверенно констатировать, что сурожская трансгрессия отчетливо проявилась в басс. Черного моря. Гцентальный анализ керна с привлечением литостратиграфического, палинологического и особенно радиоуглеродного методов позволил впер-

вые выделить в толще верхнеплейстоценовых отложений Колхидской низменности трансгрессивную серию осадков между горизонтами новоэвксинских и собственно карангатских отложений.

В разрезе вышеотмеченных скважин голоценовые отложения представлены прибрежно-морской фацией из пылеватых суглинков и сильноглинистых разнозернистых песков. Мощность этих отложений 35—37 м. На глубине 6 и 19 м отмечаются прослои торфа, абсолютный возраст которых соответственно равен 3150 ± 90 и 6660 ± 60 годом.

Под горизонтом голоценовых отложений в непосредственной близости от моря на глубине 37—48 м отмечаются фаунистически охарактеризованные лагунно-дельтовые осадки новоэвксинского горизонта (суглинки, заторфованные илы, разнозернистый пылеватый песок).

К востоку от моря (скв. 20, 23) лагунно-дельтовые осадки быстро выклиниваются, замещаясь отчетливо выраженным горизонтом размытия (валуны, галечник, галька). Базальный горизонт аллювия развит хорошо, что свидетельствует о преобладании вреза над боковыми смещениями русла Рioni в пору отложения новоэвксинских осадков. Ниже, в интервале 52—80 м развита трансгрессивная серия осадков из пылеватых суглинков и глин с фауной средиземноморского типа [3], мощность этих осадков 25—30 м. На отметках 64 и 75 м в них фиксируются прослои торфа. Абсолютный возраст торфа с глубины 64 м равен 31300 ± 320 годом. Под отложениями трансгрессивной серии в интервале 80—95 м представлен горизонт размыва с базальным аллювием. С глубины 95—105 м во всех вышеотмеченных скважинах фиксируются фаунистически охарактеризованные карангатские отложения [1, 2].

В настоящее время при помощи изотопных методов определения абсолютного возраста довольно точно известно время развития новоэвксинской регрессии в басс. Черного моря. Как выяснено новейшими исследованиями, отложение новоэвксинских осадков началось 25—23 тыс. лет назад и завершилось около 9000 лет назад.

Между тем, карангатские отложения, как известно, имеют, условно, рисс-юрский возраст (более 80—100 тыс. лет). Отмеченная трансгрессивная серия осадков между горизонтами новоэвксинских и собственно-карангатских отложений, по предшествующим работам [1—2], была отнесена к карангатскому веку. В свете новых данных принадлежность этих осадков к карангату не подтверждается. Правильнее будет допущение, что отложение трансгрессивных осадков, развитых непосредственно под горизонтом новоэвксинских отложений, происходило на фоне средневюрской трансгрессии, между двумя максимумами верхнеплейстоценового оледенения (вюргм 1, вюргм 3, или нижневалдайская и верхневалдайская ледниковые фазы). Достоверность этого предположения подкрепляется в первую очередь абсолютным возрастом торфа с глубины 64 м (31300 лет).

Изложенные выше данные позволяют сказать следующее:

Отчетливо выраженный горизонт размыва в новоэвксинских отложениях в приморской полосе Колхидской низменности противоречит укоренившемуся в научной литературе предположению о наличии новоэвксинского залива, вдавшегося в глубь Колхидской низменности на 12—15 км [1, 2]. Здесь же следует отметить тот факт, что верхняя часть новоэвксинских отложений сложена заторфованными болотными илами, что указывает на заболоченность приморской полосы низменности в новоэвксинское время.

Стратиграфическую схему плейстоцена Колхидской низменности следует уточнить, добавив к ней горизонт средневюрских (сурож-



ских) трансгрессивных осадков под горизонтом новоэвксинских отложений. Сурожские слои не образуют постепенный переход к карангатским отложениям, а отделены от них отчетливо выраженным горизонтом размыва предсурожской регрессии, совпавшей со временем нижневюрмского оледенения (вюрм I, калининское оледенение). Следы предсурожской регрессии изучены А. Б. Островским [6] на материале многочисленных буровых данных.

Академия наук Грузинской ССР
Институт географии

(Поступило 15.11.1974)

ფიზიკური გეოგრაფია

მ. ჯანელიძე, ი. მიქაელიძე

შუა ვიურმული ტრანსგრესიის საგუთავი კოლხეთის დაბლობის ჰელაპლეიისტოციენის ნალექები

რეზიუმე

1970—1973 წლებში კოლხეთში მოპოვებული მასალის ანალიზის შედეგად შესწავლილ იქნა შუავიურმული (შუროვული) ტრანსგრესიის ნალექები, რომლებიც სტრატიგრაფიულად ახალევქსანურ და კრანგატულ ჰირიზონებს შორის არის მოქცეული. შუავიურმულ ნალექებში ზედაპირიდან 64 მ სიღრმეზე მდებარე ტორფის ასაკი 31300 ± 320 წელს შეადგენს.

PHYSICAL GEOGRAPHY

Ch. P. JANELIDZE, I. S. MIKADZE

ON THE EVIDENCE OF THE MIDDLE WÜRMIAN TRANSGRESSION IN THE UPPER PLEISTOCENE DEPOSITS OF THE KOLKHETI LOWLAND

Summary

The sedimentary development of the Middle Würmian transgression of the Black Sea in the Kolkheti lowland area is proved on the basis of lithostratigraphical, palynological and radiocarbon analyses. The absolute age of turf samples from the depth of 64 m in the Middle Würmian transgression deposits is 31300 ± 320 years.

ლიტერატურა — REFERENCES

1. А. Г. Лалиев. Труды Геол. ин-та АН ГССР, геол. сер., т. X (XV). 1957.
2. Д. В. Церетели. Плейстоценовые отложения Грузии. Тбилиси, 1966.
3. Н. В. Киндл. Сб. «Верхний плейстоцен. Стратиграфия и абсолютная геохронология». М., 1966.
4. Г. И. Попов. Бюлл. МОИПа, отд. геол., 30, вып. 2, 1955.
5. Г. И. Горецкий. Аллювиальная летопись великого Пра-Днепра. М., 1970.
6. А. Б. Островский. Изв. АН СССР, сер. геогр., № 1, 1967.



ГИДРОЛОГИЯ

Г. С. МЕТРЕВЕЛИ

ИССЛЕДОВАНИЕ ТЕЧЕНИЙ В ПРИБРЕЖНОЙ ЗОНЕ ГРУЗИИ

(Представлено академиком Ф. Ф. Давитая 25.9.1974)

Защита морских берегов и пляжей имеет большое народнохозяйственное значение. Решение этой задачи требует глубокого знания динамики прибрежных водных масс, так как значительную роль в перемещении водных масс и наносов по подводному береговому склону, наряду с другими факторами, играют и течения.

При исследовании течения в прибрежной зоне Грузии использованы данные рейдовых наблюдений в районах Батуми, Поти, Сухуми и Туапсе, а также материалы морских экспедиций, проводимых между Туапсе и устьем Чорохи в 1930—1972 гг.

На первой рейдовой вертикали района Батуми, расположенной северо-западнее устья Чорохи, глубиной 32 м, основное направление поверхностного течения северо-восточное со средней скоростью 30 см/сек и максимальной наблюденной 74 см/сек. Здесь преобладающее придонное течение западное со средней скоростью 15 см/сек и максимальной 38 см/сек.

На рейдовой вертикали № 2 этого же района ($h=23$ м) наибольшие скорости поверхностного течения наблюдаются летом (58 см/сек, преобладающее направление северное). В большинстве случаев здесь придонное течение направлено на запад и юго-запад с максимальной скоростью, измеренной после сильных штормов, 72—133 см/сек. Эта вертикаль находится вне зоны распространения речного стока и, следовательно, наблюдаемое после штормов перемещение водных масс вдоль дна на запад должно быть компенсационным.

На остальных вертикалях, расположенных соответственно над северным склоном каньона Бурунтабье ($h=13$ м), в береговой зоне у приморского бульвара и к северу от нефтяного причала, основное направление поверхностного течения северное и северо-восточное, а глубинного течения западное или юго-западное. Максимальные скорости перемещения поверхностных слоев 37—60 см/сек, а придонных—10—20 см/сек.

В прибрежной зоне между Батуми и Поти поверхностное течение преимущественно северного направления, глубинное юго-западного направления, усиливаемое стоковыми течениями наиболее крупных притоков.

В районе Поти на рейдовой вертикали, расположенной восточнее портового мола (16,0 м), преобладающее направление поверхностных и придонных течений северное и северо-западное со средней скоростью на поверхности 14 см/сек, максимальной 50 см/сек, а у дна соответственно 10 и 25 см/сек.

На второй вертикали, расположенной северо-западнее первой (21,5 м), преобладающее направление поверхностных и придонных течений совпадает с направлением течения на первой вертикали, но их



скорость несколько больше. На поверхности $V_{cp}=35$ см/сек, $V_{max}=100$ см/сек, у дна $V_{cp}=15$ см/сек, $V_{max}=40$ см/сек.

В этом районе на участках распространения каньонов нагнанные штормовым ветром массы воды, теряя гидростатическое равновесие, способны погружаться вглубь и, двигаясь по каньону, увеличивать скорости придонного стокового течения и объем транспортируемого им речного материала.

На устьевом взморье Ингури наблюдается сильное стоковое течение, скорость которого настолько велика, что может переносить во взвешенном состоянии мелкий гравий и песок даже на глубине 15—17 м. Компенсационное течение, зарождающееся здесь при больших нагонах, способно значительно увеличивать придонные скорости стокового течения и вызывать оползневые явления и обвалы в самом Ингурском каньоне, способствуя его разгружению от скопления наносов [1].

Поверхностное течение на этом участке преимущественно северного и северо-западного направления, так как оно дрейфовое и перемещается по направлению ветровых касательных напряжений.

В районе Очамчирской бухты основная струя поверхностного течения направляется к северо-западу. При больших нагонах здесь возможно возникновение компенсационного течения, распространяющегося во всей толще воды вдоль берега по направлению луча нагонной волны.

Своеобразная система течений образуется в устьевой области Кодора. Наличие обширного взморья и бара, ограничивающегося с юго-востока мысом Искурия, создает благоприятные условия для глубокого распространения речной воды в море. Нередко стоковое течение, усиливаемое компенсационным, охватывает всю мелководную часть устьевого взморья, транспортируя значительную часть речного материала к отвершкам расположенного здесь каньона.

В Сухумской бухте и на рейде поверхностные течения слабые, со средней скоростью 7—10 см/сек и только при сильных штормах пре-восходят 50 см/сек [2]. Штормы западного и южного румбов способны возбуждать здесь компенсационное течение, распространяющееся вдоль берега и в глубь моря.

Такое предположение подтверждается оползанием пляжевого материала на глубине 20 м, где он образует вал обращенный крутым склоном к морю, и обвалами илистых и мелкозернистых масс, прорезавших в Сухумском каньоне ложбины и борозды [1].

По данным экспедиционных исследований в Гудаутской банке максимальная скорость течения на поверхности 54 см/сек, а на глубине 50—60 см/сек, скорость поверхностных течений 20—54 см/сек, а придонных 18—86 см/сек [3].

В прибрежной зоне Гудаута—Туапсе дрейфовое течение в преобладающих случаях северо-западного и западного направления [3]. На этом участке, между Пицундским мысом и устьем Бзыби, поверхностное течение направлено к северо-западу, а глубинное, возбуждаемое стоком Бзыби, чаще всего распространяется в сторону Пицундского мыса, транспортируя туда речной материал. Однако в последние годы искусственная ориентация устья Бзыби к северо-западу отклонила стоковое течение в обратную сторону. Об этом свидетельствует приустьевая коса, протянувшаяся от восточного берега реки к юго-западу. Во время половодья река прорывает приустьевую косу, частично нарывая ее, и распространяется в южном направлении.

У Пицундского мыса, играющего роль экрана при юго-восточных и южных штормах, возможно зарождение мощной нагонной волны, следовательно, и компенсационного течения, охватывающего промежуточные и придонные слои и распространяющегося в глубь моря в южном или юго-западном направлении.

В этом районе средняя скорость поверхности течения около 15 см/сек, максимальная 50 см/сек, в придонных же слоях соответственно 11 и 37 см/сек.

Исходя из вышеизложенного, можно сделать следующие основные выводы.

В береговой зоне Грузии поверхностные массы воды перемещаются вдоль берега преимущественно к северу и северо-западу в зависимости от очертания берега, образуя в глубоковдающих бухтах циркуляционное движение.

По натурным данным, максимальная скорость течения на поверхности достигает 70 см/сек (Поти), у дна 133 см/сек (Батуми). Учитывая то обстоятельство, что измерения проводились в тихую погоду, скорость течения при штормах может быть намного больше указанной.

При экранирующем расположении мысов и береговых выступов в заливах и особенно в устьях рек со значительными глубинами вдоль каньонов при мощных нагонах образуется компенсационное течение, распространяющееся в глубь моря и увеличивающее транспорт речного материала через отвершки и желоб каньона.

Тбилисский государственный университет

(Поступило 17.10.1974)

კოდროლობის

გ. მთხოველი

საქართველოს სანაციონ ზონის მინისტრა გამოქვეყნა

რეზუმე

საქართველოს სანაციონ ზონაში ღინებები უპირატესად ჩრდილოეთითა და ჩრდილო-დასავლეთით არის მიმდროული. ამასთან ფსკერისპირა ღინება, მდინარისმიერი და კომპენსაციური ღინებების მოქმედების არეში, ნაპირიდან ზღვისკენაა გადახრილი.

ღრმა ყურეებსა და მდინარეთა შესართავებში, ძლიერი შტორმების დროს წარმოიქმნება მოკლეპერიდინია, მძლავრი კომპენსაციური ღინებები, რომლებიც აჩქარებენ ქანონების განვითარებას და სანაციონო დეპორტაციას. ასეთი ღინებების სიქმარე უშუალო გაზომვების მიხედვით 133 სე/წ აღემატება.

HYDROLOGY

G. S. METREVELI

A STUDY OF GEORGIA'S COASTAL ZONE CURRENTS

Summary

In the coastal zone of Georgia, sea currents move to the north and northwest.

In the areas of the influence of the run-off and compensational currents, the deep sea currents somewhat deviate from the shore to the sea.

During strong storms in deep bays and river mouths short-lived, but strong compensational currents occur, which accelerate the processes of canyon development and coastline deformation. Direct measurement of the speed of such currents shows that it exceeds 133 cm per second.

ЛІТЕРАТУРА — REFERENCES

1. В. Л. Леонтьев, С. А. Сафьянов. Каньоны в море. М., 1973.
2. Материалы экспедиционных исследований скорости и направлений течений в прибрежной зоне Грузии. Фонды Севастопольского отд. ГОИНа 1930—1972 гг.
3. Руководство по расчету элементов гидрологического режима в прибрежной зоне морей и в устьях рек при инженерных изысканиях. М., 1973.

ПЕТРОЛОГИЯ

Т. Ш. ГОГИШВИЛИ, И. Б. КИПИАНИ

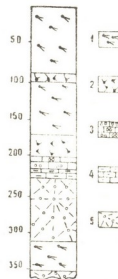
ФАЦИЯ КРАСНЫХ КРИНОИДНЫХ ИЗВЕСТНИКОВ И
ПРОДУКТЫ КИСЛОГО ВУЛКАНИЗМА В ЛЕЙАСЕ ЛОКСКОГО
МАССИВА (ЮГО-ВОСТОЧНАЯ ГРУЗИЯ)

(Представлено членом-корреспондентом Академии Г. А. Твалчрелидзе 7.6.1974)

Геология Юго-Восточной Грузии и, в частности, Локской зоны изучена довольно детально. И. Р. Каҳадзе [1] высказал предположение о наличии здесь всех ярусов лейаса, которые в дальнейшем были подтверждены фаунистически [2] и детально охарактеризованы литологически [3]. Лейанская толща мощностью 400—720 м, несогласно налагающаяся на размытую поверхность фундамента, снизу вверх представлена базальными конгломератами и кварцевыми песчаниками гетанга, слюдистыми песчаниками, сланцами и линзами темно-серых известняков, мергелей и конгломератов синемюра-низов аалена [4]. В описанных разрезах не указывается на присутствие продуктов кислого вулканизма и фации криноидных известняков, хорошо известной на Грузинской глыбе [5].

Рис. 1. Разрез по буровой скважине

№ 498: 1 — диабаз-порфириты,
2 — туфопесчаники, 3 — зоогенные
красные известняки, 4 — известко-
вистые туффиты, 5 — туфоловы и
витрокластические туфы кварцевых
порфиров



За последние годы в Локской зоне пробурен ряд скважин, изучение керна которых дополняет имевшиеся сведения о литологии лейасских образований Юго-Восточной Грузии. В частности, в скважине № 498 (рис. 1), пробуренной на правом берегу р. Ахкерпи-чай, восточнее балки Баритис-хеви, в интервале 200—216 м были вскрыты неизвестные ранее в районе сильно брекчированные красные зоогенные пелитоморфные известняки, в которых по нашей просьбе В. И. Зесашвили определена фауна митиллоидов *Mytiloides cf. quenstedti* Pčel., *Mytiloides cf. amygdaloïdes* Saw. тоара-нижнего аалена. Микрофауна фо-



раминифер *Spirillena* sp., определенная В. А. Тодрия, устанавливает посттриасовый возраст указанных образований.

Породы, подстилающие известняки до глубины 227 м, представлены пачкой чередующихся красных известняков со среднезернистыми светло-серыми с фиолетовым оттенком туфоизвестняками и известковистыми туфитами. В указанной пачке с глубиной увеличивается количество ювенильной витрической кластики, раскристаллизованной в кварц-полевошпатовый криптокристаллический агрегат. Глубже, до забоя скважины (360 м), следует мощная пачка вишнево-красных туфолов кварцевых порфиров с прослойями псаммитовых витрокластических туфов, сцементированных в верхних частях карбонатизированной пепловой массой. В кровле туфолов под витрокластическими туфами, которые слагаются рогульчатыми и серповидными обломками стекла и сплющенными обрывками пемз, залегают полосчатые разности фельзитов. Вкрапленники, количество которых в туфоловах не превышает 10—15%, представлены оплавленными, передко резорбированными кристаллами кварца, зонального плагиоклаза и перититового калишпата. При этом основная масса псевдофлюидальной текстуры состоит из спекшейся витрокластики и сплющенных пемз, вытянутых по направлению течения и обтекающих фенокристаллы. По трещинкам последних и в основной массе развиваются агрегаты вторичных минералов: альбита, адуляра, ломонитта, гидрослюды и гидроокислов железа. Последние придают породе краснокаменный облик, характерный для аэральных и субаэральных условий извержения.

Над зоогенными красными известняками в псаммо-алевритовых туфопесчаниках, имеющих мощность 25 м, продукты кислой ювенильной кластики представлены оскольчатыми обломками кварца, относительно свежих калишпата и плагиоклаза, осадочный материал — хорошо окатанными обломками эфузивного и гранитного кварца, серпентинизированного плагиоклаза и оглинившегося калишпата. В породе неравномерно распределены чешуи гидрослюды, вытянутые по направлению сланцеватости. Базальный цемент глинисто-гидрослюдистого состава, обогащен органикой, обладающей высокой отражательной способностью, и содержит пятнистые выделения и прожилки кальцита.

Судя по характеру перерождения компонентов туфопесчаников, можно предположить, что после формирования лейасских известняков происходил размыт не только магматических пород, подстилающих лейасские отложения, но и синхронных известнякам кислых вулканитов. Вскрыты скважиной диабаз-порфиры, условия залегания которых не известны, возможно, являются более поздними образованиями. Однако аналогичные породы и их пирокластолиты известны в отложениях верхнего лейаса Шамшадинского и Шамхорского антиклиниориев [6, 7], что не исключает лейасского возраста и указанных диабаз-порфириров.

В связи с выявлением кислых вулканитов в отложениях лейаса Локского массива возникает вопрос о возможности наличия их и в синхронных осадках Храмского массива. В этом отношении интересным представляется разрез восточнее урочища Мошети, в балке Карджны, где под фаунистически охарактеризованными тоар-нижнеааленскими отложениями развиты кислые вулканиты. Их стратиграфическое положение позволяет предположить, что они, вероятнее всего, являются лейасскими, а не верхнепалеозойскими.

Учитывая приведенные в статье данные, а также известные проявления продуктов кислого вулканизма и в лейасских отложениях



Большого Кавказа и Грузинской глыбы [8, 9], можно заключить, что на Кавказе в лейасское время, в блоках с тенденцией воздымания, вулканализм характеризуется единой направленностью развития от кислого к основному, как это имеет место на Локском поднятии. Здесь кислый вулканализм тоара-нижнего аалена предшествовал мощному байосскому андезито-базальтовому, образуя единый антидромный ряд пород. Тенденция воздымания Локского блока, устанавливаемая в юре и в мелу, возможно, была унаследована с позднего палеозоя. Каждый последующий цикл вулканализма в пределах указанного поднятия начинался активностью кислой магмы корового происхождения.

Кавказский институт
минерального сырья

(Поступило 13.6.1974)

30 000 000

თ. გოგიშვილი, ი. კიპანი

შიდა გრძელების ფაციები და მათვე ვულკანიზმის
პროცესთან დაკავშირდების მასივის ლიასურ ნალექები

რ ე ზ ი უ მ ე

ართვინ-ბოლნისის ბეტტზე, ლოქის მასივის სამხრეთ-აღმოსავლეთ ნაწილში დაგენირ მეოვე ვულკანიზმურ და ვულკანიზმურ-დანალექ ქანებთან ერთად აღინიშნება ტრაქ — ქვედაალენური ასაკის კირქვების არსებობა. ძირულისა და ლოქის მასივების აზევების ტენდენციაზე მიგვითითებენ ფაციესების ერთგვაროვნება და ვულკანიზმის ხსიათი, რაც შეიძლება, მიჩნეული იქნეს ზედაპირულობური აზევების გამოკლინებად. მეოვე ვულკანიზმის პროდუქტების არსებობა დიდ კავკასიონზე უთუოდ მიგვითითებს იმაზე, რომ სხვადასხვა გეოტექტონიკურ ერთეულში ლიასური ვულკანიზმი ერთხაირად ვითარდებოდა.

PETROLOGY

T. Sh. GOGISHVILI, I. B. KIPIANI

THE FACIES OF RED LIMESTONES AND PRODUCTS OF OXIDIZED VOLCANISM IN LIASSIC SEDIMENTS OF THE LOK MASSIF

Summary

Oxidized igneous and igneous-sedimentary rocks and associated, faunally characterized red limestones of the Toarcian-lower Aalenian stage have been discovered for the first time in the Lok massif of the Artvin-Bolnisi block.

The similarity of facies and the character of volcanism of the Dzirula and Lok massifs testify to their trend towards uplifting in the Liassic time, inherited from the Upper Palaeozoic.

The availability of products of oxidized volcanism in the Greater Caucasus evidently attests to a similar trend of volcanic processes in different geotectonic units.

ღმისრამული — ЛИТЕРАТУРА — REFERENCES

1. И. Р. Каҳадзе. Труды Геол. ин-та АН ГССР, сер. геол., т. III (VIII), 1947.
2. В. И. Зесашвили. Труды Геол. ин-та АН ГССР, т. IX (XIV), вып. 1, 1955.
3. Г. А. Чихрадзе. Труды Геол. ин-та АН ГССР, нов. сер. вып. 3, 1965.
4. В. И. Зесашвили, Г. А. Чихрадзе. Труды Геол. ин-та АН ГССР, нов. сер., вып. 1, 1965.
5. А. И. Джанелидзе. Сообщения АН ГССР, т. VIII, № 4, 1946.
6. Н. Р. Азарян, В. Т. Акопян, Г. А. Чубарян. Геология СССР, т. XVIII. М., 1970.
7. Т. А. Гасанов, Т. Аб. Гасанов. Геология СССР, т. XIVII. М., 1972.
8. А. Л. Канчавели. Сообщения АН ГССР, 55, № 3, 1969.
9. М. А. Беридзе. Труды Геол. ин-та АН ГССР, нов. сер., вып. 38, 1973.

СТРОИТЕЛЬНАЯ МЕХАНИКА

Н. П. БУЛИЯ

НОВЫЙ МЕТОД РАСЧЕТА ПОЛОГИХ ОБОЛОЧЕК С
ОТВЕРСТИЕМ

(Представлено академиком К. С. Завриевым 3.12.1974)

Рассмотрим прямоугольную в плане пологую оболочку двойкой кривизны, на которую действует нагрузка p . Образуем в пологой оболочке круговое (эллиптическое или произвольного очертания) отверстие. Для этого рассмотрим данную пологую оболочку без нагрузки p , которую назовем основной оболочкой. Построим на основной оболочке круговой (эллиптический или произвольного очертания) контур так, чтобы точка приложения нагрузки p не попала внутрь контура или на него. Приложим к контуру неизвестные силы $\bar{p}_1, \bar{p}_2, \dots, \bar{p}_k$ и неизвестные моменты $\bar{M}_1, \bar{M}_2, \dots, \bar{M}_k$. Для создания отверстия в области, ограниченной контуром, должны удовлетворяться следующие граничные условия:

$$\frac{\partial H_I}{\partial s} + Q_j = 0,$$

$$M_I = -D \left(\frac{\partial^2 w_I}{\partial n^2} + \nu \frac{\partial^2 w_I}{\partial s^2} \right) = 0, \quad j=1, 2, 3, \dots, (k-1), k, \quad (1)$$

где H_1, H_2, \dots, H_k — крутящие моменты; Q_1, Q_2, \dots, Q_k — поперечные силы; w_1, w_2, \dots, w_k — прогибы; n, s — нормаль и дуга; ν — коэффициент Пуассона;

$D = \frac{Eh^3}{12(1-\nu^2)}$ — жесткость.

Рассчитаем оболочку с отверстием путем наложения прогибов.

Обозначим через w_p прогиб, вызванный нагрузкой p ; прогибы, вызванные силами $\bar{p}_1, \bar{p}_2, \dots, \bar{p}_k$, обозначим соответственно через $w_{\bar{p}_1}, w_{\bar{p}_2}, \dots, w_{\bar{p}_k}$; прогибы, вызванные моментами $\bar{M}_1, \bar{M}_2, \dots, \bar{M}_k$, — через $w_{\bar{M}_1}, w_{\bar{M}_2}, \dots, w_{\bar{M}_k}$.

В точках 1, 2, 3, ... к будем иметь прогибы

$$w_j = w_p + w_{\bar{p}_j} + w_{\bar{M}_j}, \quad j=1, 2, 3, \dots, k. \quad (2)$$

Как известно [1], расчет пологих оболочек сводится к интегрированию следующих дифференциальных уравнений:

$$\frac{1}{Eh} \nabla^2 \nabla^2 \varphi - \nabla_k^2 w = 0, \quad (3)$$

$$\nabla_k^2 \varphi + D \nabla^2 \nabla^2 w - z = 0.$$

Здесь ∇^2 и ∇_k^2 — дифференциальные операторы второго порядка:

$$\nabla^2 = \frac{\partial^2}{\partial x^2} + \frac{\partial^2}{\partial y^2}, \quad \nabla_k^2 = k_2 \frac{\partial^2}{\partial x^2} + k_1 \frac{\partial^2}{\partial y^2},$$

где $\varphi = \varphi(x, y)$ — функция напряжений; $w = w(x, y)$ — функция перемещений; $z = z(x, y)$ — интенсивность поверхностной нагрузки.

Система двух дифференциальных уравнений (3) может быть приведена к одному дифференциальному уравнению [1]:

$$\Delta^4 w + \frac{12(1 - v^2)}{h^2} \Delta_k^2 w - \frac{1}{D} \Delta^2 q(x, y) = 0. \quad (4)$$

Согласно методу Бубнова—Галеркина решение уравнения (4) представим в виде

$$\int_0^a \int_0^b \left[\Delta^4 w + \frac{12(1 - v^2)}{h^2} \Delta_k^2 w - \frac{1}{D} \Delta^2 q(x, y) \right] f(x) \Phi(y) dx dy = 0, \quad (5)$$

где $f(x)$ и $\Phi(y)$ — любые непрерывные функции.

Расчет прогибов, вызванных сосредоточенными силами, значительно облегчается использование дельта-функций Дирака [2]. Дельта-функция Дирака δ является сингулярной функцией. Если координаты точек приложения сил $p, \bar{p}_1, \bar{p}_2, \dots, \bar{p}_k$ обозначим соответственно $(c, d); (c_1, d_1); (c_2, d_2); \dots, (c_k, d_k)$, тогда в общем виде сосредоточенную силу p можно представить следующим образом:

$$q = p \delta(x - c) \delta(y - d), \quad (6)$$

где q — интенсивность поверхностной нагрузки.

Наиболее важное свойство δ -функции выражается в том, что, если под определенным интегралом стоит произведение любой непрерывной функции $f(x)$ на $\delta(x - c)$, результат сводится к простой замене аргумента функции c :

$$\int_a^b f(x) \delta(x - c) dx = f(c).$$

На основе этого важного свойства функции Дирака для нашего случая можем записать

$$\int_0^a \int_0^b p \delta(x - c) \delta(y - d) f(x) \Phi(y) dx dy = p f(c) \Phi(d). \quad (7)$$

Аналогично сосредоточенным силам получаем действия сосредоточенных моментов. Допустим, что на точку (c, d) действует сосредоточенный момент M . Разложим его на моменты M_x и M_y , действующие в сечениях, перпендикулярных к осям ox и oy . Согласно (6),

$$\begin{aligned} q_x &= -M_x \frac{d\delta(x-c)}{dx} \delta(y-d), \\ q_y &= -M_y \delta(x-c) \frac{d\delta(y-d)}{dy}, \end{aligned} \quad (8)$$

В этом случае можем записать

$$\begin{aligned} \int_0^a \int_0^b -M_x \frac{d[\delta(x-c)]}{dx} \delta(y-d) f(x) \psi(y) dx dy &= -M_x f'(x) \psi(y); \\ \int_0^a \int_0^b -M_y \delta(x-c) \frac{d[\delta(y-d)]}{dy} f(x) \psi(y) dx dy &= -M_y f(x) \psi'(y). \end{aligned} \quad (9)$$

Согласно равенствам (7) и (9), третье слагаемое уравнения (5) после интегрирования получает простой вид. Кругящие моменты и поперечные силы определяются формулами

$$\begin{aligned} H_I &= -D(1-\nu) \frac{\partial^2 w_I}{\partial s \partial n}, \quad j=1, 2, 3, \dots, k, \\ Q_j &= -\frac{\partial}{\partial n} \nabla^2 w_I, \end{aligned} \quad (10)$$

Согласно (10), (1), граничные условия получат вид

$$\begin{aligned} \frac{\partial^3 w_I}{\partial n^3} + (2-\nu) \frac{\partial^3 w_I}{\partial n \partial s^2} &= 0, \\ \frac{\partial^2 w_I}{\partial n^2} + \nu \frac{\partial^2 w_I}{\partial s^2} &= 0, \end{aligned} \quad (11)$$

где

$$\begin{aligned} \frac{\partial}{\partial n} &= l \frac{\partial}{\partial x} + m \frac{\partial}{\partial y}; \quad \frac{\partial}{\partial s} = l \frac{\partial}{\partial y} + m \frac{\partial}{\partial x}; \quad \nabla^2 = \frac{\partial^2}{\partial s^2} + \frac{\partial^2}{\partial n^2}; \\ l &= \cos(n, x); \quad m = \cos(m, y). \end{aligned}$$

Прогибы, вызванные сосредоточенными силами и сосредоточенными моментами, представим в виде

$$w_{\bar{p}_I} = \bar{p}_I \cdot \bar{w}_{\bar{p}_I}, \quad w_{\bar{M}_I} = \bar{M}_I \cdot \bar{w}_{\bar{M}_I}, \quad j=1, 2, 3, \dots, k.$$

Согласно последним обозначениям формула (2) примет вид

$$w_j = w_p + \bar{p}_j \bar{w}_{\bar{p}_j} + \bar{M}_j \bar{w}_{\bar{M}_j}. \quad (12)$$

Входящие в (12) неизвестные величины \bar{p}_j и \bar{M}_j определяются граничными условиями (11).

Если допустим, что $k_1 = k_2 = 0$, тогда из вышерассмотренной теории получим плиту с отверстием.

Грузинский политехнический институт
им. В. И. Ленина

(Поступило 4.12.1974)

ნ. გულაძე

ხველების დამრეცი გარსის ანგარიშის ახალი ვეთოფი

რეზიუმე

სტატიაში მოცემულია ხველის დამრეცი გარსის ანგარიშის ახალი მეთოდი. განხილულია ღუნვის ამოცანა. დირაკის ფუნქციების გამოყენება ამარტივებს ბუბნოვ — გალიორკინის განტოლებას.

STRUCTURAL MECHANICS

N. P. BULIA

A NEW METHOD OF CALCULATION OF A GENTLY INCLINED
PERFORATED CASING

Summary

A new method of calculation of a gently inclined perforated casing is presented. The problem of sagging is considered. The use of Dirac's functions simplifies the Bubnov-Galerkin equation.

ლიტერატურა — ЛИТЕРАТУРА — REFERENCES

1. В. З. Власов. Общая теория оболочек. Л.—М., 1949.
2. Дирак. Основы квантовой механики. Л.—М., 1937.

МЕТАЛЛУРГИЯ

Г. Н. ЗВИАДАДЗЕ, Н. В. ЧХИКВАДЗЕ, Ю. И. ПУЛАРИАНИ

ДОСТИЖЕНИЕ МАКСИМАЛЬНОЙ СТЕПЕНИ ВОССТАНОВЛЕНИЯ ХЛОРИДОВ ЛАНТАНА И ЦЕРИЯ ПРИ ВАКУУМТЕРМИЧЕСКОМ ПРОЦЕССЕ ПОЛУЧЕНИЯ ЛИГАТУР АЛЮМИНИЙ-ЛАНТАН И АЛЮМИНИЙ-ЦЕРИЙ

(Представлено академиком Ф. Н. Тавадзе 3.11.1974)

Металлургический процесс характеризуется тремя основными чертами: а) случайным характером большинства параметров; б) значительным разнообразием отдельных параметров; в) большим количеством параметров, оказывающих влияние на данный процесс.

В связи с этим для анализа закономерности массовых явлений в металлургии плодотворны методы математической статистики, в частности статистические методы планирования и оптимизации экстремальных экспериментов. К настоящему времени указанные методы еще с недостаточной широтой применяются в экспериментах по изучению реакций восстановления металлов из химических соединений.

В проведенной работе решена задача определения максимальной степени металлотермического восстановления хлоридов методом кругового восхождения [1].

Для решения поставленной задачи использованы данные по кинетике алюмотермического восстановления хлоридов [2, 3], применены статистические методы планирования и оптимизации экстремальных экспериментов. На основе результатов предыдущих экспериментов по изучению кинетики процесса алюмотермического восстановления хлоридов лантана и церия составлен ортогональный план первого порядка типа $N=2^k$. Кодирование натуральных величин факторов, влия-

ющих на процесс, проведено по формуле $x_i = \frac{\xi_i - \xi_0}{\lambda_i}$, где x_i — кодовое обозначение фактора, принимающее только два значения +1 и -1; ξ_i — натуральное значение фактора; ξ_0 — основной уровень; λ_i — интервал варьирования.

Условия планирования и результаты опытов для процесса алюмотермического восстановления хлоридов лантана и церия приведены в табл. 1, где ξ_1 , ξ_2 и ξ_3 — натуральные значения температурного фактора молярного отношения, продолжительности и соответственно y и y_p — экспериментальные и расчетные значения степеней восстановления в %.

Из результатов таблицы вычислены коэффициенты регрессии с помощью формулы

$$b_0 = \frac{\sum_{t=1}^N x_{0t} y_t}{N}, \quad b_t = \frac{\sum_{t=1}^N x_{tj} y_t}{N},$$

где N — число экспериментов. Полученное уравнение регрессии имеет вид

$$y_{La} = 20,7 + 7,3x_1 + 4,3x_2 + 8,7x_3.$$

Из уравнения видно, что степень восстановления возрастает с увеличением всех трех факторов (положительные знаки коэффициентов). Наиболее значительными в исследованной области являются температурный фактор и фактор продолжительности. Уравнение проверено на адекватность с помощью критерия Фишера. Для этого вычислена дисперсия адекватности по формуле

$$\sigma_{ad}^2 = \frac{\sum_{j=1}^N (y_j - y_{j0})^2}{N - k - 1} = \frac{72,10}{4} = 18,02.$$

Критерий Фишера $F = \frac{\sigma_{ad}^2}{\sigma^2} = \frac{18,02}{2,48}$, табличное значение F_T для степеней свободы $f = N - k - 1 = 4$, $f_a = N_0 - 1 = 2$, $F_T = 19,2$. Уравнение

Таблица 1

Условия планирования и результаты опытов

Обозначение натуральных величин факторов	ξ 1°C	ξ 2	ξ 3 мин	Y %	Y_p %
Основной уровень	825	7,5	10		
Интервал варьирования	25	2,5	5		
Верхний уровень	8,0	10	15		
Нижний уровень	800	5	5		
Кодовые обозначения факторов	$X_0 X_1$	X_2	X_3	Y	Y_p
1	++	+	+	43,4	
2	+—	+	+	22,8	
3	++	—	+	28,4	
4	+—	—	+	15,1	
5	++	+	—	24,4	
6	+—	+	—	9,6	
7	++	—	—	16,0	
8	+—	—	—	6,1	
b_t	20,7+7,3	+4,3	+8,7	—	
$b_t + \lambda_t$	—+18	2,5+10,7	+43,5	—	
$\Delta = \frac{\lambda^*}{b_t \times \lambda_t}$	—+0,1	37—	—	—	
$\lambda = b_t \times \lambda_t \times \Delta$	— 25	+1,46	+569		
Новый основной уровень	— 825	7,5	10		
Движение по градиенту					
1	— 850	8,96	15,96	—	40,86
2	— 875	10,42	21,92	—	61,02
3	— 900	11,88	27,88	—	81,18
4	— 925	13,34	33,84	—	101,34

адекватно, так как $F = 7,2 < F_T = 19,2$. Следовательно, для достижения максимума рассчитано направление крутого восхождения (направление градиента).

Базовым является температурный фактор, для которого произведение $(b_i \times \lambda_i)$ больше остальных. Остальные факторы менялись пропорционально базовому. Результаты движения по направлению градиента приведены в табл. 1. Расчетные значения выхода вычислялись с помощью уравнения

$$y_p = b_0 + \left(b_1 \frac{\lambda^*}{\lambda_1} + b_0 \frac{\lambda^*_2}{\lambda_2} + b_3 \frac{\lambda^*_3}{\lambda_3} \right),$$

где λ^* — новый интервал варьирования.

$$y_p = 20,7 + \left(7,3 \frac{25}{25} + 4,3 \frac{1,46}{2,5} + 8,7 \frac{5,96}{5} \right) j; \quad y_p = 20,7 + 20,16 j,$$

$j = 1, 2, \dots, n$; $y_p = 20,7 + 20,16 = 40,86$; $y_p = 20,7 + 40,32 = 61,02$ и т. д. На четвертом шаге движения достигается степень восстановления 101,34%. Условия, соответствующие этой точке факторного пространства, следующие: температура процесса 925°C, молярное соотношение Al : LaCl₃ = 13,34 и продолжительность процесса 33 и 85 минут. Проведенный в этих условиях эксперимент дал степень восстановления хлорида лантана 98%.

Условия планирования и результаты опытов

Таблица 2

Обозначение натуральных величин факторов		ξ 1°C	ξ 2	ξ 3	Y %	Y _p %
Основной уровень		825	7,5	10		
Интервал варьирования		25	2,5	5		
Верхний уровень		850	10	15		
Нижний уровень		800	5	5		
Кодовые обозначения факторов	X ₀	X ₁	X ₂	X ₃	Y	Y _p
№ эксперимента						
1	+	+	+	+	57,4	
2	+	—	+	+	36,5	
3	+	+	—	+	42,0	
4	+	—	—	+	25,0	
5	+	+	+	—	34,75	
6	+	—	+	—	19,0	
7	+	+	—	—	22,9	
8	+	—	—	—	11,4	
b _t	+31,12	+ 8,14	+ 5,75	+ 8,73	+43,65	
b _t + λ _t	—	+203,5	+14,37	+43,65		
λ _t = b _t × λ _i × ΔΔ = $\frac{\lambda_t}{b_t \times \lambda_t}$		+0,123				
λ _t = b _t × λ _i × Δ		25	1,76	5,37		
Новый основной уровень	—	825	7,5	10		
Движение по градиенту						
1	—	850	9,26	15,37	52,68	
2	—	875	11,02	20,74	74,24	
3	—	900	12,78	26,11	94,80	

Такими же методами проведена оптимизация процесса восстановления хлоридов церия. Составлен и реализован ортогональный план первого порядка типа $N=2^3$. Условия планирования и результаты опытов приведены в табл. 2. На основе этих результатов составлено уравнение первого порядка вида $y=31,12+8,1x_1+5,75x_3$. Оно адекватно описывает процесс, так как вычислительное значение критерия Фишера

составляет $F=\frac{6,7}{1,16}=5,7$, $F=5,7 < F_T=19,2$. На третьем шаге движения по направлению градиента полученного уравнения достигнут выход 94,80%. Эксперимент, проведенный в соответствующих условиях (температура 900°C , $\text{Al:CeCl}_3=12,78$, продолжительность 26 минут), дал выход 96%.

Академия наук Грузинской ССР
Институт metallurgии

(Поступило 5.11.1974)

მეტალურგია

3. ზვიადაძე, 6. ხიდევაძე, ი. ფულარიანი

ლითოგრაფია და ცერიუმის რეორიდიგის აღღინის მაჩვირალური
ხარისხის მიღწევა ალუმინ-დანცანისა და ალუმინ-ცერიუმის
მიღწევის გაკუზომორენლი პროცესის დროს

რეზიუმე

დაგევმარების სტატიკური მეთოდითა და ექსპერიმენტების ექსტრემალური ოპტიმიზაციით განსაზღვრული ვაკუუმში ლანთანისა და ცერიუმის ქლორიდების ალუმინით აღღების მაქსიმალური ხარისხები.

შესწავლილი პროცესების კინეტიკური ძონაცემების საფუძველზე დადგენილია, რომ აღღების ხარისხი იზრდება ნარევის კომპონენტების მოლარული შეფარდების გაზრდასა, ტემპერატურის მომატებასა და პროცესის გახანგრძლივებასთან ერთად.

METALLURGY

G. N. ZVIADADZE, N. V. CHIKVADZE, I. I. PULARIANI

ATTAINMENT OF THE MAXIMAL DEGREE OF REDUCTION OF
LANTHANUM- AND CERIUM CHLOFIDES BY THE
VACUUMTHERMAL PROCESS OF OBTAINING THE LIGATURE
OF ALUMINIUM-LANTHANUM AND ALUMINIUM-CERIUM

Summary

Using statistical methods of planning and optimization of extremal experiments, the maximal degree of reduction of chlorides of lanthanum and cerium by aluminium in vacuum have been determined on the basis of the experimental kinetic results of the processes studied.

It is concluded that the degree of reduction increases with an increase of the molar ratio between the components of the mixture and of the temperature and duration of the process.

ლითორატურა — ЛИТЕРАТУРА — REFERENCES

1. В. В. Налимов, Н. А. Чернова. Статистические методы планирования экспериментов. М., 1965.
2. Г. Н. Звиададзе, Е. С. Табадзе, Н. В. Чхиквадзе. О. В. Шенгелия. Авторское свидетельство № 313884 от 17 III, 1970.
3. Г. Н. Звиададзе, Н. В. Чхиквадзе. Сб. «Вакуумные процессы в цветной металлургии», 1971 г., Алма-Ата.

МАШИНОВЕДЕНИЕ

Д. С. ТАВХЕЛИДЗЕ (член-корреспондент АН ГССР),
 Н. В. ДЕМУРИШВILI, Н. С. ДАВИТАШВILI

К ВОПРОСУ КИНЕМАТИЧЕСКОГО ИССЛЕДОВАНИЯ
 СФЕРИЧЕСКОГО КРИВОШИПНО-ПОЛЗУННОГО МЕХАНИЗМА

Рассмотрим задачу кинематического исследования сферического кривошипно-ползунного механизма $ABCA$ (рис. 1).

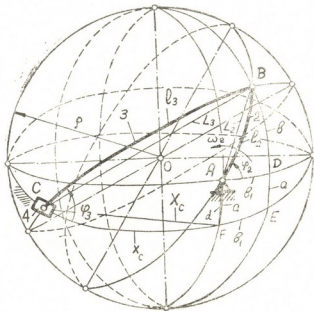


Рис. 1

Размеры звеньев механизма l_2 и l_3 , дезаксиал a и расстояние x_c заданы сферическим расстоянием. Заданы также углы поворота φ_2 кривошипа 2 и радиус сферы r .

Требуется определить положение звеньев 3 и 4, угловые скорости и ускорения этих же звеньев, а также линейные скорости и ускорения отдельных точек механизма.

Рассмотрев сферические треугольники ABD и BCE , напишем

$$\sin \varphi_3 = \frac{\sin l_2 \cos a \sin \varphi_2 + \sin a (1 - \sin^2 l_2 \sin^2 \varphi_2)^{1/2}}{\sin l_3}, \quad (1)$$

$$\operatorname{tg} x_c = \frac{\operatorname{tg} l_3 \cos \varphi_3 - \operatorname{tg} l_2 \cos \varphi_2}{1 + \operatorname{tg} l_2 \operatorname{tg} l_3 \cos \varphi_2 \cos \varphi_3}. \quad (2)$$

С помощью выражений (1) и (2) определяются соответственно угол φ_3 и сферическое расстояние x_c .

Угловая скорость звеньев 3 и 4

$$\omega_3 = i_{32} \omega_2, \quad \omega_4 = i_{(42)} \varphi_2 \omega_2, \quad (3)$$



где ω_2 — заданная угловая скорость ведущего звена 2; i_{32} и $i_{(42)\varphi_2}$ — аналоги угловых скоростей и

$$i_{32} = \frac{\sin l_2 \cos a \cos \varphi_2 - \frac{1}{2} \sin a \sin^2 l_2 \sin^2 \varphi_2 (1 - \sin^2 l_2 \sin^2 \varphi_2)^{-1/2}}{\sin l_3 \cos \varphi_3}, \quad (4)$$

$$i_{(42)\varphi_2} = \frac{\operatorname{tg} l_2 \sin \varphi_2}{1 + \operatorname{tg}^2 l_2 \cos^2 \varphi_2} - \frac{i_{32} \operatorname{tg} l_3 \sin \varphi_3}{1 + \operatorname{tg}^2 l_3 \cos^2 \varphi_3}. \quad (5)$$

Истинная скорость точки C звена 4

$$V_c = \omega_2 \rho \left(\frac{\operatorname{tg} l_2 \sin \varphi_2}{1 + \operatorname{tg}^2 l_2 \cos^2 \varphi_2} - \frac{i_{32} \operatorname{tg} l_3 \sin \varphi_3}{1 + \operatorname{tg}^2 l_3 \cos^2 \varphi_3} \right). \quad (6)$$

Угловые ускорения звеньев 3 и 4

$$\varepsilon_3 = \omega_2^2 i'_{32} + \varepsilon_2 i_{32}, \quad \varepsilon_4 = \omega_2^2 i'_{(42)\varphi_2} + \varepsilon_2 i_{(42)\varphi_2}, \quad (7)$$

где ε_2 — заданное угловое ускорение ведущего звена 2; i'_{32} и $i'_{(42)\varphi_2}$ — аналоги угловых ускорений и

$$i'_{32} = \frac{m_1 - m_2 + m_3}{m_4}, \quad (8)$$

$$i'_{(42)\varphi_2} = m_5 - m_6 - m_7; \quad (9)$$

в свою очередь,

$$m_1 = i_{32}^2 \sin l_3 \sin \varphi_3 - \sin l_2 \cos a \sin \varphi_2;$$

$$m_2 = \sin a \sin^2 l_2 \cos 2 \varphi_2 (1 - \sin^2 l_2 \sin^2 \varphi_2)^{-1/2};$$

$$m_3 = \frac{1}{4} \sin a \sin^4 l_2 \sin^2 2 \varphi_2 (1 - \sin^2 l_2 \sin^2 \varphi_2)^{-3/2};$$

$$m_4 = \sin l_3 \cos \varphi_3;$$

$$m_5 = \frac{\operatorname{tg} l_2 \cos \varphi_2}{1 + \operatorname{tg}^2 l_2 \cos^2 \varphi_2} \left(1 + \frac{2 \operatorname{tg}^2 l_2 \sin^2 \varphi_2}{1 + \operatorname{tg}^2 l_2 \cos^2 \varphi_2} \right);$$

$$m_6 = \frac{i_{32} \operatorname{tg} l_3 \cos \varphi_3}{1 + \operatorname{tg}^2 l_3 \cos^2 \varphi_3} \left(i_{32} + \frac{2 \operatorname{tg}^2 l_3 \sin^2 \varphi_3}{1 + \operatorname{tg}^2 l_3 \cos^2 \varphi_3} \right);$$

$$m_7 = \frac{i'_{32} \operatorname{tg} l_3 \sin \varphi_3}{1 + \operatorname{tg}^2 l_3 \cos^2 \varphi_3}.$$

Нормальное и тангенциальное ускорение точки C

$$a_c^n = \omega_2^2 \rho \left(\frac{\operatorname{tg} l_2 \sin \varphi_2}{1 + \operatorname{tg}^2 l_2 \cos^2 \varphi_2} - \frac{i_{32} \operatorname{tg} l_3 \sin \varphi_3}{1 + \operatorname{tg}^2 l_3 \cos^2 \varphi_3} \right), \quad (10)$$

$$a_c^t = \rho i'_{(42)\varphi_2}.$$

Истинное ускорение точки C

$$a_c = \omega_2^2 \sqrt{(a_c^n)^2 + (a_c^t)^2} + \varepsilon_2 \rho \left(\frac{\operatorname{tg} l_2 \sin \varphi_2}{1 + \operatorname{tg}^2 l_2 \cos^2 \varphi_2} - \frac{i_{32} \operatorname{tg} l_3 \sin \varphi_3}{1 + \operatorname{tg}^2 l_3 \cos^2 \varphi_3} \right). \quad (11)$$

Если сферические расстояния l_i выразить радиусом сферы ρ и соответствующими хордами L_i , тогда при $\rho \rightarrow \infty$, как частный случай, получим известные выражения [1] для кинематического исследования плоского кривошипно-ползунного механизма (рис. 2).

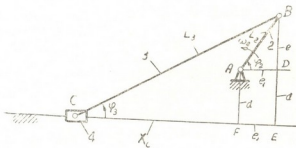


Рис. 2

В этом частном случае полученные выше выражения примут вид

$$\sin \varphi_3 = \frac{L_2 \sin \varphi_2 + d}{L_3}, \quad (1')$$

$$X_c = L_3 \cos \varphi_3 - L_2 \cos \varphi_2, \quad (2')$$

$$\omega_3 = i_{32} \omega_2, \quad \omega_4 = 0, \quad (3')$$

$$i_{32} = \frac{L_2 \cos \varphi_2}{L_3 \cos \varphi_3}, \quad (4')$$

$$i_{(42)\varphi_2} = 0, \quad (5')$$

$$V_c = \omega_2 L_2 \frac{\sin(\varphi_2 - \varphi_3)}{\cos \varphi_3}, \quad (6')$$

$$\varepsilon_3 = \omega_2^2 i_{32}' + \varepsilon_2 i_{32}, \quad \varepsilon_4 = 0, \quad (7')$$

$$i_{32}' = \frac{i_{32}^2 L_3 \sin \varphi_3 - L_2 \sin \varphi_2}{L_3 \cos \varphi_3}, \quad (8')$$

$$i_{(42)\varphi_2}' = 0, \quad (9')$$

$$a_c^n = 0, \quad (10')$$

$$a_c^t = a_{c\varphi_2} = \frac{L_2 [L_3 \cos^2 \varphi_3 \cos(\varphi_2 - \varphi_3) - L_2 \cos^2 \varphi_2]}{L_3 \cos^3 \varphi_3},$$

$$a_c = \omega_2^2 a_{c\varphi_2} + \varepsilon_2 L_2 \frac{\sin(\varphi_2 - \varphi_3)}{\cos \varphi_3}. \quad (11')$$

Таким образом, решена задача кинематического исследования сферического кривошипно-ползунного механизма.

Полученные выражения носят общий характер и могут быть использованы для решения задач кинематического исследования как для сферического, так и для плоского кривошипно-ползунных механизмов.

დ. თავხელიძე (საქართველოს სსრ მეცნ. ეკოლების წევრ-კორესპონდენტი),
ნ. დემურიშვილი, ნ. დავითაშვილი

სცენრული მრუდმხარა-მცოციანი გექანიზმის
ტინერატიკური კვლევის საკითხებისათვის

რეზიუმე

შრომაში განხილულია სფერული მრუდმხარა-მცოციანი მექანიზმის კინე-
მატიკური კვლევის ამოცანის გადაწყვეტა, რომლისაოვებაც მიღებული გამო-
სახულებები ზოგადი ხასიათისაა და შეიძლება გამოყენებულ იქნეს როგორც
სფერული, ისე ბრტყელი მრუდმხარა-მცოციანი მექანიზმების კინემატიკური
კვლევისათვის.

MACHINE BUILDING SCIENCE

D. S. TAVKHELIDZE, N. V. DEMURISHVILI, N. S. DAVITASHVILI

TOWARD A KINEMATIC STUDY OF CRANK AND SLIDER
SPHERICAL MECHANISMS

Summary

The problem of kinematic investigation of crank and slider plane mechanisms is considered. The results obtained enable an overall kinematic investigation of the above mechanism, for the findings are of general character and can be used in solving the problems of kinematic investigation of both spherical and crank and slider plane mechanisms.

ლიტერატურა — ЛИТЕРАТУРА — REFERENCES

1. И. И. Артоболевский. Теория механизмов. М., 1965.

ГИДРОТЕХНИКА

К. А. БИЛАШВИЛИ

НЕКОТОРЫЕ ВОПРОСЫ ФОРМИРОВАНИЯ И РАЗВИТИЯ ПОДВОДНЫХ НАНОСНЫХ ЛАВИН

(Представлено членом-корреспондентом Академии Ш. Г. Напетваридзе 12.7.1974)

Динамику прибрежной зоны бесприливных морей, как известно, обуславливает волновой режим взморья и характер деформации волн на прибрежной отмели, зависящий от угла подхода волн к берегу, топографии подводного склона и природы строения берегового рельефа, а также количество транспортируемых вдольбереговым потоком пляжеформирующих наносов.

Эти факторы в различных сочетаниях способствуют образованию современных прибрежных аккумулятивных и абразивных форм, в основном за счет перераспределения терригенных масс, поступающих с суши. Наиболее интенсивно действие волнений, местных течений и прибойных потоков проявляется в неритовой и батиальной областях морских периферий.

Особый интерес представляет исследование процессов переформирования подводных склонов побережий в районах приусьевых взморий бесприливных морей, так как эта область характеризуется наибольшим количеством терригенного материала. Кроме того, определенное влияние на волнение оказывает и речное течение. Изучение литодинамики районов приусьевых взморий связано также с большим народнохозяйственным значением устьевых областей рек (судоходство и портостроение, сброс отработанных вод, питьевое и промышленное водоснабжение, рыболовство и мелиорация).

При паводках, в периоды интенсивного выноса терригенного материала в область устьевого взморья речной струей, течением и волновой деятельностью моря речные отложения под воздействием волновых колебаний и реже других динамических факторов могут обрушиваться на свал глубин в виде разжиженной массы или наносной лавины.

Применяемые в нефтедобывающей промышленности погруженные и полупогруженные платформы, сваи нефтепромысловых и бурильных установок, подводные кабели для коммуникации, выходы сточных и фекальных вод, расположенные вблизи лавиноопасных зон, каковыми являются подводные русла врезанных в материковые склоны приусьевых каньонов, а также каньоны, расположенные в зоне интенсивных миграций вдольбереговых потоков наносов, подвержены разрушительному воздействию подводных наносных оползневых лавин и индуцируемых ими мутьевых плотностных потоков.

В связи с вышеуказанным представляет практический интерес количественная оценка степени устойчивости толщи наносных отложений на краю свала глубин устьевого взморья, а также возможных силовых воздействий наносной лавины, скользящей по подводному склону на препятствия.

Впервые эти вопросы были рассмотрены Т. Г. Войнич-Сяномженцким в работе [1], где приведены и решения, полученные при участии автора.

Для определения параметров движения наносной лавины по подводному склону после нарушения условий устойчивости толщи наносных отложений на свale глубин и динамических нагрузок на подводные сооружения уравнение движения конфигурации паносных отложений, имеющих форму, близкую к треугольной, как квазимонолитного тела, записываем в виде

$$m \frac{dv_x}{dt} = G_x - R_1 - fG_z, \quad (1)$$

где m — сумма масс наносных отложений m_0 и присоединенной массы жидкости λ_0 ; v_x — продольная составляющая скорости движения лавины.

Проекции массы толщи G на осах x и z будут равны соответственно

$$G_x = W_\delta (\gamma_s - \gamma) \sin \phi, \quad G_z = W_\delta (\gamma_s - \gamma) \cos \phi. \quad (2)$$

Здесь $W_\delta = \frac{bh_\delta}{2}$ — полный объем тела; γ_s и γ — соответственно объемная масса наносов и воды; ϕ — угол наклона подстилающей поверхности; b , l и h_δ — ширина, протяженность и мощность толщи отложений; f — коэффициент кулонова трения.

Силу гидродинамического сопротивления среды R_1 принимаем равной

$$R_1 = \frac{1}{2} c \rho s v_x^2, \quad (3)$$

где c — коэффициент лобового сопротивления среды; ρ — ее плотность; s — площадь миделя и v_x^2 — квадрат скорости движения тела наносных отложений.

Используя полученные выше значения (2) и (3), после некоторых преобразований приводим уравнение (1) к виду

$$\left(\rho_s + \frac{4}{3} \pi \rho k_{\parallel} \right) \frac{dv_x}{dt} = \frac{c \rho}{l} \left[-v_x^2 + \frac{l(\gamma_s - \gamma) \cos \phi (\operatorname{tg} \phi - f)}{c \rho} \right], \quad (4)$$

где k_{\parallel} — коэффициент присоединенной массы жидкости, рассчитываемый по таблицам Гуревича и Римана [2]. Ориентировочное значение для тела паносного отложения, стилизованного в виде эллиптического тела, равно 0,3 (предполагается, что при движении тело переходит в эллипс).

Для упрощения последующих преобразований вводим обозначения

$$a' = \left(\rho_s + \frac{4}{3} \pi \rho k_{\parallel} \right), \quad b' = \frac{l(\gamma_s - \gamma) \cos \phi (\operatorname{tg} \phi - f)}{c \rho}, \quad k' = \frac{c \rho}{l}. \quad (5)$$

Умножая уравнение (4) на dx и интегрируя его с учетом начальных условий $x=0$, $v_x=0$, получаем

$$v_x^2 = b' \left(1 - \exp \left\{ -\frac{k'}{a'} x \right\} \right),$$

откуда с учетом (5) находим

$$v_x = \sqrt{\frac{l(\gamma_s - \gamma) \cos \psi (\operatorname{tg} \psi - f)}{c\rho}} \left(1 - \exp \left\{ -\frac{c\rho}{l \left(\rho_s + \frac{4}{3} \pi \rho k_{\parallel} \right)} x \right\} \right). \quad (6)$$

В соотношении (6) при возрастании x второй множитель подкоренного выражения стремится к единице. При этом $v_x \rightarrow \text{const}$, т. е. движение приобретает характер равномерного.

Предельную скорость движения наносной лавины устанавливаем из (6):

$$v_x = \sqrt{\frac{l(\gamma_s - \gamma) \cos \psi (\operatorname{tg} \psi - f)}{c\rho}}. \quad (7)$$

Величина предельной скорости получается действительной и конечной при положительном значении b' , что вытекает из формулы (4), где соблюдено условие $\operatorname{tg} \psi > f$.

Скорость движения наносной массы ближе к подножью склона, где рельеф выполаживается, находим из решения (4), при условии $x = 0$, $v_x = v_{x_0}$:

$$x''_x = \sqrt{(v_{x_0}^2 + |b'|) \exp \left\{ -\frac{k'}{a'} x \right\} - |b'|}, \quad (8)$$

откуда определяем дальность выноса подводной лавины ($x=L$):

$$L = 2, 3 \frac{l \left(\rho_s + \frac{4}{3} \pi \rho k_{\parallel} \right)}{c\rho} \lg \left[1 + \left| \frac{c\rho}{l(\gamma_s - \gamma) \cos \psi (f - \operatorname{tg} \psi)} \right| v_{x_0}^2 \right]. \quad (9)$$

Полученные выше соотношения для скоростей перемещения наносных масс по подводному склону позволяют дать количественную оценку нагрузкам при ударе наносов о подводные коммуникации.

Используя соотношения Герца для контактной силы (3), возникающей при ударе, получаем

$$P_{\max} = k^{2/5} \left[\frac{5 m_2 l (\gamma_s - \gamma) \cos \psi (\operatorname{tg} \psi - f)}{4 c\rho} \times \right. \\ \left. \times \left(1 - \exp \left\{ -\frac{c\rho}{l \left(\rho_s + \frac{4}{3} \pi \rho k_{\parallel} \right)} x \right\} \right) \right]^{3/5}, \quad (10)$$

где m_2 — масса подводного препятствия; k — коэффициент, зависящий от радиусов кривизны соприкасающихся тел и определяемый по формуле

$$k = \frac{2}{3(1-\mu^2)} E \sqrt{R_2}, \quad (11)$$



где μ —коэффициент Пуассона; E —модуль упругости материала наносных отложений; R_2 —характерный размер подводного препятствия по направлению движения лавинны⁽¹⁾.

Выражение в квадратных скобках в (10) представляет собой первоначальную скорость движения наносной толщи отложений после нарушения условий равновесия начала перемещения по склону.

Соответственно для участка склона с установившейся предельной скоростью движения уравнение (10) запишется в виде

$$P'_{\max} = k^{2/5} \left[\frac{5}{4} \frac{m_2 l (\gamma_s - \gamma) \cos \psi (\tan \psi - f)}{c \rho} \right]^{3/5}. \quad (12)$$

И наконец, для участка склона, где уклоны становятся меньше и скорость постепенно уменьшается, уравнение (10) примет вид

$$P''_{\max} = k^{2/5} \left\{ \left(\frac{5}{4} m_2 \right) \left[b' + (v_{x_0}^a - b') \exp \left\{ - \frac{c\rho}{l \left(\rho_s + \frac{4}{3} \pi \rho k_{\parallel} \right)} x \right\} \right]^{3/5} \right\} \quad (13)$$

Хотя приведенные формулы являются приближенными, тем не менее они могут быть использованы при ориентировочных оценках скоростей движения и ударных нагрузок при перемещениях грунтовых масс по подводному склону в районах устьевых взморий.

Тбилисский государственный университет

(Поступило 12.7.1974)

ପ୍ରକାଶକ ନାମ

ପ୍ରକାଶକ ନାମ

Հ Յ Ց Օ Կ Ա Ե

შესწავლილია მდინარის მიერ შესართავში გამოტანილი ტერიგენული მასალის დაცროვებისა და კონტინენტურ ფერდობზე მისი შემდგომი ძოძრაობის საკითხი.

HYDRAULIC ENGINEERING

K. A. BILASHVILI

SOME QUESTIONS OF THE FORMATION AND DEVELOPMENT OF AVALANCHES ON SUBMARINE SLOPES

Summary

The paper deals with the problem of the material at the river fallout and of its further accumulation of terrigenous movement down the continental slope.

ლიტერატურა — ЛИТЕРАТУРА — REFERENCES

1. Т. Г. Войнич-Сианженский. Гидродинамика устьевых участков рек бесприливных морей. Л., 1972.
 2. А. Н. Патрашев, Л. А. Кивако, С. И. Гожий. Прикладная гидромеханика, М., 1970.
 3. В. Л. Бидерман. Прикладная теория механических колебаний. М., 1972.

⁽¹⁾ Допускается, что протяженность лавины значительно больше R_2 .

АВТОМАТИЧЕСКОЕ УПРАВЛЕНИЕ И ВЫЧИСЛИТ. ТЕХНИКА

М. Н. НАЛБАНДЯН

КЛАСС КОДОВ, ИСПРАВЛЯЮЩИЙ МНОГОКРАТНЫЕ АСИММЕТРИЧЕСКИЕ ОШИБКИ

(Представлено членом-корреспондентом Академии Н. В. Габашвили 13.9.1974)

В настоящее время актуальной в связи с широким приложением является проблема синтеза систем кодирования с асимметрическим характером канальных искажений в сигнале [1—6]. Математическая структура таких систем кодирования имеет свою особую специфику, отличающуюся от большинства других хорошо изученных в литературе систем. Поэтому для ее практического исследования требуется введение новых математических идей.

В заметке предлагается общий алгоритм декодирования для класса двоичных эффективных (относительно скорости передачи) кодов, исправляющий многократные асимметрические ошибки.

Под r -кратным асимметрическим искажением сигнала $x = (x_1, \dots, x_n)$ будем понимать сложение его по модулю 2 с помехой $y = (y_1, \dots, y_n)$, удовлетворяющей условиям

$$|y|=r, \text{ где } |y|=\sum_{i=1}^n y_i, \text{ и } |x+y|=|x|+|y|.$$

Обозначим через $H_m(f, x, \alpha)$ [7] наименьший неотрицательный вычет по модулю m выражения $-\alpha + \sum_{i=1}^n f(i)x_i$, где $x = (x_1, \dots, x_n)$ — произвольный вектор длины n , каждый компонент которого принимает значения 0, 1; $f(z)$ — некоторая целочисленная функция, определенная на заданном множестве натуральных чисел $\overline{1, n}$; α — любое целое.

Как известно [7], совокупность всевозможных решений системы

$$H_{p-1}(z, x, \alpha)=0, \quad H_p(g^{iz}-1, x, \alpha_i)=0, \quad i=1, \dots, r-1,$$

является кодом, исправляющим r и меньшее число асимметрических ошибок (здесь g — первообразный корень по модулю простого p , $p > n+1$, $n > 4$, $r \leq n$).

Переходим теперь к описанию алгоритма декодирования для предложенного класса кодов.

Пусть на выходе получится сигнал $x+y$, где y — помеха.



Шаг 1. Вычислим величины

$$\theta = H_{p-1}(z, x+y, \alpha), \quad \theta_i = H_p(g^{iz}-1, x+y, \alpha_i), \quad i = \overline{1, r-1}.$$

Числа $\theta, \theta_i, i = \overline{1, r-1}$ имеют вид

$$\theta \equiv \sum_{j=1}^k a_j \pmod{p-1}, \quad (2)$$

$$\theta_i \equiv \sum_{j=1}^k (g^{ia_j} - 1) \pmod{p}, \quad i = \overline{1, r-1},$$

где $a_j (j = \overline{1, k})$ — ненулевые позиции вектора ошибки y .
Обозначим

$$S(k) = \sum_{j=1}^k (g^{a_j} - 1)^i,$$

$$\sigma_l = g^{a_1}, \dots, g^{a_l} + \dots + g^{a_{r-l+1}}, \dots, g^{a_r},$$

$$\beta_l = (g^{a_1} - 1), \dots, (g^{a_l} - 1) + \dots + (g^{a_{r-l+1}} - 1), \dots, (g^{a_r} - 1), \quad l = \overline{1, r}.$$

Число k находим из следующих соображений. Очевидно, что $\beta_{k+1} = \dots = \beta_r = 0 \pmod{p}$, если число произошедших ошибок не больше, чем k . Если же произошло в точности k ошибок, то $\beta_k \neq 0 \pmod{p}$.

Далее, будем опираться на два утверждения, доказательство которых проводятся с легкостью:

1. $S(k) \equiv \theta_l - \dots + (-1)^{i-s} C_i^{l-s} \theta_s + \dots + (-1)^l C_i^{l-1} \theta_1 \pmod{p}, \quad i = \overline{1, r-1}.$
2. $\beta_l \equiv \sigma_l - \dots + (-1)^s C_{r-(l-s)}^s \sigma_{l-s} + \dots + (-1)^l C_r^l \pmod{p}, \quad l = \overline{1, r}.$

Шаг 2. Вычислим величины $S(k), i = \overline{1, r-1}$.

Шаг 3. Пользуясь тождествами Ньютона

$$S(k) - S(k-1) \beta_1 + \dots + (-1)^{i-1} S(k) \beta_{i-1} + (-1)^i \beta_i \equiv 0 \pmod{p}, \quad i = \overline{1, r-1},$$

находим числа $\beta_1, \beta_2, \dots, \beta_{r-1}$.

Шаг 4. Так как матрица системы сравнений

$$\beta_l \equiv \sigma_l - \dots + (-1)^s C_{r-(l-s)}^s \sigma_{l-s} + \dots + (-1)^l C_r^l \pmod{p}, \quad l = \overline{1, r-1}$$

нижняя треугольная неособенная, то она имеет единственное решение. Этим определяются $\sigma_1, \sigma_2, \dots, \sigma_{r-1}$.

Шаг 5. Пользуясь сравнением

$$\beta_r \equiv \sigma_r - \sigma_{r-1} + \dots + (-1)^s \sigma_{r-s} + \dots + (-1)^r \pmod{p}$$

и (2), находим β_r и тем самым k .

Шаг 6. Используя процедуру Чена, найдем числа b_1, b_2, \dots, b_k из класса вычетов по модулю p , удовлетворяющие сравнению

$$x^k - \beta_1 x^{k-1} + \dots + (-1)^k \beta_k \equiv 0 \pmod{p}.$$



Шаг 7. Наконец, решения сравнений

$$g^{x_j} - 1 \equiv b_j \pmod{p}, \quad j = \overline{1, k},$$

дают нам номера искаженных позиций.

Нетрудно показать, что количество операций, необходимых для декодирования искаженного сигнала, имеет порядок cn^2 , где c — константа, не зависящая от n .

Существенно опираясь на предыдущие результаты, можно доказать, что приводимый нами код исправляет также симметрические ошибки.

Теорема. Вышеописанные коды исправляют k_0 ошибок вида $0 \rightarrow 1$ и k_1 ошибок вида $1 \rightarrow 0$, где $k_0, k_1 \leqslant \left\lceil \frac{r}{2} \right\rceil$.

Академия наук Армянской ССР
Вычислительный центр

Ереванский государственный университет

(Поступило 19.9.1974)

ავტომატური გარეთა და გამოთვლითი ტექნიკა

a. នៅល្អកុដារុបាំរុប

მრავალჯერადი ასიმტოლი გაცდომების
განვაჭორებელი კოდების კლასი

၄၅

მოცემულია დეკოდირების კონსტრუქციული ალგორითმი კოდების კლასისათვის მოცემული ორობითი ანარჩევის ერთობლიობით (x_1, x_2, \dots, x_n), რომელიც წარმოადგენს შედარებათა სისტემის ამონასხვენს.

$$\sum_{i=1}^n ix_i \equiv \alpha, \pmod{p-1}$$

$$\sum_{i=1}^n (g^{si} - 1)x_i \equiv \alpha_{s+1} \pmod{p}, \quad s=1, r-1, r \leq n,$$

სადაც g არის პირვენდელი ფესვი მარტივი p მოღულით, α_s — ნებისმიერი მთელი რიცხვები, $\mu < n < p-1$ მტკიცდება, რომ მითითებული კოდი ასწორების სიმეტრიულ შეცდომებს.

AUTOMATIC CONTROL AND COMPUTER ENGINEERING

M. N. NAI-BANDIAN

CLASS OF CODES CORRECTING MULTIPLE ASYMMETRIC ERRORS

Summary

An algorithm of decoding for a class of binary codes correcting multiple asymmetric errors is considered.

ՊՈՒԺՈՒԹՅՈՒՆ — ЛИТЕРАТУРА — REFERENCES

1. W. H. Kim, G. V. Freiman. Trans. Inform. Theory, IT—S, № 2, 62, 1959.
2. W. H. Kim, G. V. Freiman. Intern. Symposium Circuit and Information Theory, June, 1959.
3. Р. Р. Варшамов, Г. М. Тененгольц. Автоматика и телемеханика, 26, № 2, 1965, 288.
4. В. И. Левенштейн. ДАН СССР, 163, № 4, 1965, 845.
5. Р. Р. Варшамов. ДАН СССР, 164, № 4, 1965, 757.
6. В. И. Левенштейн. Проблемы передачи информации, I, вып. I, 1965.
7. Р. Р. Варшамов. ДАН СССР, 194, № 2, 1970, 284.



АВТОМАТИЧЕСКОЕ УПРАВЛЕНИЕ И ВЫЧИСЛИТ. ТЕХНИКА

О. К. ХОМЕРИКИ, Г. Я. ШТЕИНБЕРГ

ОБ ОДНОМ МЕТОДЕ КОМПЕНСАЦИИ ПОГРЕШНОСТИ, ВЫЗВАННОЙ МАГНИТОРЕЗИСТИВНЫМ ЭФФЕКТОМ В ДАТЧИКАХ ХОЛЛА

(Представлено членом-корреспондентом Академии Н. В. Габашвили 10.9.1974)

В различных устройствах автоматики — поворотных трансформаторах (синус-косинусных преобразователях), анализаторах гармоник и др. [1, 2] используются два датчика Холла, помещенные под углом 90° друг к другу, в синусоидально изменяющееся магнитное поле.

В этих устройствах целесообразно применение датчиков Холла из легированного *InSb* [3]. Такие датчики обладают малыми паразитными напряжениями, малыми температурными коэффициентами э. д. с. Холла и сопротивления. Основным недостатком этих датчиков является сильное проявление магниторезистивного эффекта. Например, в поле $B=0,5$ Т входное сопротивление датчиков из *InSb* типа ДХ-602 меняется на 11–13%. Последнее обстоятельство вызывает изменение тока через датчик и обуславливает соответствующую погрешность. Для уменьшения этой погрешности между датчиками Холла и источником питания приходится включать добавочное (балластное) сопротивление $R_d \gg R_1$, что влечет за собой значительное повышение мощности источника питания датчиков. Для того чтобы наиболее простым образом уменьшить погрешность, вызванную магниторезистивным эффектом, предлагается управляющие цепи ортогонально расположенных датчиков Холла соединять последовательно. Ниже анализируется эффективность этого метода.

Характеристику $R_1 = f(B)$ в пределах значений индукции от $B_0 = 0$ до $B_m = 0,5$ Т с высокой степенью точности можно аппроксимировать тригонометрическим полиномом:

$$R_1 = R_{10} \left[1 + \delta \left(1 - \cos \frac{B}{B_m} \cdot \frac{\pi}{2} \right) \right], \quad (1)$$

где R_{10} — сопротивление датчика при $B=0$,

$$\delta = \frac{R_1|_{B=B_m} - R_{10}}{R_{10}}$$

— относительное изменение сопротивления R_1 — в магнитном поле.

В вышеупомянутых устройствах на один датчик воздействует индукция $B = B_m \sin \varphi$, на второй — $B = B_m \cos \varphi$, где φ — угол поворота датчиков в поле (или, что то же самое, угол между плоскостью первого датчика и вектором \vec{B}).

Сопротивления датчиков соответственно

$$R_1^{(1)} = R_{10}^{(1)} [1 + \delta^{(1)} (1 - \cos \alpha)], \quad (2)$$

$$R_1^{(2)} = R_{10}^{(2)} [1 + \delta^{(2)} (1 - \cos \beta)], \quad (3)$$

где

$$\alpha = \frac{\pi}{2} \sin \varphi, \quad \beta = \frac{\pi}{2} \cos \varphi.$$

Входное сопротивление двух последовательно соединенных датчиков при условии $R_{10}^{(1)} = R_{10}^{(2)} = R_{10}$ и $\delta^{(1)} = \delta^{(2)} = \delta$

$$R_\Sigma = R_{10} [2 + \delta [2 - (\cos \alpha + \cos \beta)]]. \quad (4)$$

Проделав соответствующие операции для нахождения экстремальных значений R_Σ , получим, что R_Σ минимально при $\varphi = 0$ и $\varphi = \pi/2$ и максимальна при $\varphi = \pi/4$, при этом

$$R_{\Sigma_{\min}} = R_{10} (2 + \delta), \quad R_{\Sigma_{\max}} = R_{10} (2 + 1,111 \delta), \quad (5)$$

$$\Delta R_\Sigma = R_{\Sigma_{\max}} - R_{\Sigma_{\min}} = R_{10} \cdot 0,111 \delta. \quad (6)$$

Относительное изменение R_Σ

$$\eta = \frac{\Delta R_\Sigma}{R_{\Sigma_{\min}}} = \frac{0,111 \delta}{2 + \delta}. \quad (7)$$

Соотношение между δ и η

$$\frac{\delta}{\eta} = 18,05 + \frac{\delta}{0,111}. \quad (8)$$

Как видно из (8), относительное изменение входного сопротивления двух последовательно соединенных датчиков в 18 и более раз меньше относительного изменения входного сопротивления каждого датчика.

В случае применения k пар датчиков суммарное сопротивление будет определяться выражением

$$R_\Sigma = R_{10} \left(2k + \delta \left\{ 2k - \sum_{m=1}^k \left[\cos \left(\frac{\pi}{2} \sin m\varphi \right) + \right. \right. \right. \\ \left. \left. \left. + \cos \left(\frac{\pi}{2} \cos m\varphi \right) \right] \right\} \right). \quad (9)$$

На рис. 1 представлены кривые функции

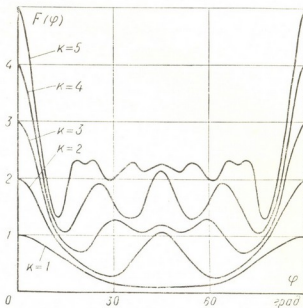
$$F(\varphi) = \sum_{m=1}^k \left[\cos \left(\frac{\pi}{2} \sin m\varphi \right) + \cos \left(\frac{\pi}{2} \cos m\varphi \right) \right]$$

для различных значений k . На основании этих кривых построены зависимости отношения δ к максимальному значению η (рис. 2). Из рисунка видно, что с ростом числа пар датчиков, соединенных последовательно, относительное изменение суммарного сопротивления все



более уменьшается по сравнению с изменением сопротивления каждого датчика.

Рис. 1. Графики функции $F(\varphi)$ для различных значений k



Выше был рассмотрен случай, когда датчики имеют одинаковые значения R_{10} и δ . Эти два параметра связаны через значение абсолютного изменения сопротивления соотношением

$$\Delta R_1 = R_{10} \cdot \delta. \quad (10)$$

Так как подбирать датчики по двум параметрам более затруднительно, чем по одному, то из (10) следует, что в случае различных датчиков можно подбирать датчики, имеющие одинаковые значения ΔR_1 .

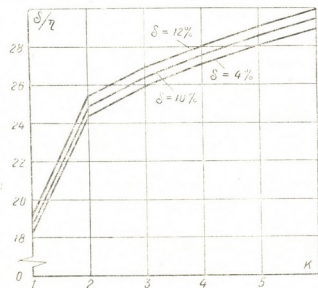


Рис. 2. Зависимость отношения δ/η от k для различных значений δ

Таким образом, показано, что для снижения погрешностей, вызванных магниторезистивным эффектом, в устройствах, использующих ор-



тогонально расположенные датчики Холла, на которые воздействует синусоидальное магнитное поле, целесообразно соединять управляющие цепи этих датчиков последовательно, причем необходимо подбирать датчики с одинаковым значением приращения сопротивления при максимальной индукции.

Академия наук Грузинской ССР
Институт систем управления

(Поступило 13.9.1974)

ავტომატური მართვა და გამოთვლითი ტექნიკა

ო. ხომერიკი, გ. შტეინბერგი

პოლის გადამზოდების მაგნიტორეზისტული ეფექტით მოწყობილობებში, რომლებშიც განიტური ვალი ზემოქმედებს ორთოგონალურად განლაგებულ ჰალის გადამზოდებზე

რეზიუმე

აღწერილია გადამზოდების ცდომილების კომპენსაციის მეთოდი, გამოიკვეული მაგნიტორეზისტული ეფექტით მოწყობილობებში, რომლებშიც განიტური ვალი ზემოქმედებს ორთოგონალურად განლაგებულ ჰალის გადამზოდებზე.

მეთოდის არსე მდგომარეობს გადამზოდების მართვის ელექტროდების მიმღევრობით შეერთებაში. ნაჩვენებია, რომ ცდომილება ერთი წყვილი გადამზოდისათვის შეიძლება 18-ჯერ და მეტად. გადამზოდების წყვილთა რაცენის გაზრდით ცდომილება კიდევ უფრო კლებულობს.

AUTOMATIC CONTROL AND COMPUTER ENGINEERING

O. K. KHOMERIKI, G. Ya. SHTEINBERG

ON ONE METHOD OF COMPENSATING ERRORS CAUSED BY THE MAGNETORESISTIVE EFFECT IN HALL GENERATORS

Summary

A method of compensating the error multiplication caused by the magnetoresistive effect in devices where the sinusoidal magnetic field affects orthogonally arranged Hall generators. The essence of the method lies in the series connection of control circuits of Hall generators. It is shown that when a couple of Hall generators are in operation the error decreases more than 18 times. With an increase of the number of Hall generators the error drops further.

ლიტერატურა — REFERENCES

1. О. К. Хомерики, Г. Я. Штейнберг. Сб. трудов ИСУ АН ГССР «Устройства автоматики», т. XI—XII, вып. 2. Тбилиси, 1973.
2. О. К. Хомерики, Г. Я. Штейнберг. Сообщения АН ГССР, т. 72, № 2, 1973.
3. В. И. Погодин, Г. А. Юрьева. Приборы и системы управления, № 7, 1972.



ПОЧВОВЕДЕНИЕ

Д. В. ЛОМИДЗЕ, М. Г. БЕРДЗЕНИШВИЛИ

СОСТАВ ГУМУСА ПОЧВ ДУБОВО-ГРАБОВЫХ ЛЕСОВ ВОСТОЧНОЙ ГРУЗИИ

(Представлено академиком В. З. Гулиашвили 5.11.1974)

Почвы дубово-грабовых лесов Грузии изучались многими исследователями [1—4]. При этом рассматривались вопросы генезиса, географии и классификация этих почв.

В настоящей статье излагаются результаты изучения органического вещества почв. Групповой и фракционный состав изучался по В. В. Пономаревой [5].

Органическая часть почвы играет важную роль в почвообразовательном процессе.

По И. В. Тюрину [6], географические закономерности гумусообразования выявляются не только в содержании гумуса, но и в содержании групп гумусовых веществ—фульвокислот и гуминовых кислот; между количеством в почвах гумуса и содержанием гуминовых кислот существует прямая связь.

С. В. Зони [7] указывает, что первостепенной причиной своеобразия состава и распределения гумусовых веществ являются качества и условия разложения растительного опада и взаимодействие продуктов разложения с минеральной частью почвы.

В качестве объекта исследования были использованы бурые лесные почвы, под дубовыми (разр. 5) и грабовыми (разр. 2 и 3) лесами Восточной Грузии (Триалетский хребет, высота над уровнем моря до 1000 м, экспозиция юго-восточная, уклон 5—7°).

Содержание гумуса в верхнем горизонте этих почв достигает 6%, с глубиной количество его резко снижается и на глубине 70—80 см падает до 0,6—0,8%.

Количество общего азота колеблется в пределах 0,29—0,41% в верхних горизонтах и резко снижается с глубиной; на глубине 55—90 см оно падает до 0,04—0,05%. Отношение углерода к азоту равно 9,0—10,88. С глубиной наблюдается слабое увеличение этого отношения.

Содержание гуминовых кислот в почве грабовых лесов колеблется в пределах 18,34—26,03% от общего содержания углерода. При этом оно увеличивается в средней части профиля (разр. 3) или распределяется по профилю почвы более или менее равномерно (разр. 5 и 2). В почве дубовых лесов наблюдается низкое содержание гуминовых кислот, по сравнению с почвами грабовых лесов, и с глубиной оно еще более уменьшается.

В составе гуминовых кислот во всех случаях доминирует фракция 2, связанная с двухвалентными катионами (с кальцием и магнием). При этом наблюдается увеличение ее содержания с глубиной, но в почвах под грабом выявляется большое ее количество. Эта закономерность отмечается и в работах Е. В. Рубилина [8], Т. Ф. Урушадзе [9].

Состав гумуса исследованных почв в процентах к общему органическому С

№ разреза	Глубина, см	% к почве			Гуминовые кислоты			Фульвокислоты								Сумма всех фракций	Нерастворимый остаток	C _т : C _ф				
		С	N	C : N	Фракции			Сумма	Фракции					Сумма								
					1	2	3		1 а	1	2	3	4									
2	1—7	3,85	0,41	9,40	4,70	17,16	3,68	25,54	1,85	12,47	13,74	12,28	13,36	13,71	79,25	20,75	0,47					
	7—32	1,30	0,14	9,28	4,57	12,26	1,51	18,34	1,41	0,64	22,70	10,13	8,73	43,62	61,96	38,04	0,42					
	32—60	0,64	0,03	10,66	3,26	17,61	1,30	22,17	1,96	3,62	30,65	10,44	6,65	52,96	75,13	24,87	0,42					
	60—90	0,51	0,05	10,20	1,01	16,08	2,81	19,90	3,25	4,62	30,13	8,13	7,96	54,09	73,99	25,01	0,36					
3	1—8	3,78	0,40	9,45	4,03	11,97	4,71	20,71	5,38	8,39	9,69	7,80	10,57	41,83	62,54	37,46	0,49					
	8—27	1,36	0,14	9,71	5,25	14,59	6,19	26,03	4,04	1,78	20,96	5,23	6,64	33,65	64,68	35,32	0,67					
	27—58	0,62	0,06	10,33	6,38	13,80	4,52	24,70	3,38	1,76	24,41	5,44	17,55	52,14	76,84	23,16	0,47					
	58—72	0,36	0,04	9,00	4,87	16,16	1,98	23,01	5,96	2,51	26,01	6,71	14,37	55,56	78,57	21,43	0,41					
5	1—9	2,84	0,29	9,79	5,62	8,43	6,57	20,62	3,05	0,35	16,79	11,45	14,40	46,04	66,63	33,34	0,45					
	9—28	0,98	0,09	10,88	6,21	10,41	0,85	17,48	2,57	4,61	18,69	20,14	9,00	55,01	72,49	27,51	0,32					
	28—55	0,54	0,05	10,80	5,88	10,11	1,67	17,66	9,24	7,73	18,47	12,08	6,74	54,26	71,92	28,08	0,32					
	55—78	0,41	0,04	10,25	3,48	11,35	3,23	18,06	5,25	6,22	25,33	15,00	5,67	57,47	75,53	24,47	0,31					

В почвах под грабом содержание вновь образованной рыхлосвязанной гуминовой кислоты (фракция 1) более низко и не превышает 6,38% от исходного содержания углерода. Как известно, эта фракция во многом определяет физико-химические свойства и структуру почвы.

Меньше всего (0,86—6,19%) в исследуемых почвах фракции 3 гуминовых кислот, которая прочно связана с минеральной частью почвы.

В составе гумуса фульвокислоты преобладают над гуминовыми кислотами. При этом в почве под дубом фульвокислот больше, нежели в почвах под грабом. В силу того что фульвокислоты, по сравнению с гуминовыми, более агрессивны [10], можно сказать, что органический опад грабовых лесов по качеству лучше, нежели дубовых. Содержание фульвокислот колеблется в пределах 38,65—57,47% от общего углерода. При этом если гуминовые кислоты накапливались в верхнем A₁ горизонте (раз. 2 и 5) или в горизонте B₁ (разрез 3), то содержание фульвокислот во всех случаях увеличивается с глубиной.

Среди фульвокислот самым низким содержанием характеризуются фракции 1а и 1. Доминирует фракция 2 (9,69—30,36%), связанная с гуминовыми кислотами 2. Фракция 3 фульвокислот, связанная с гуминовыми кислотами 3, занимает подчиненное положение по отношению к фракции 2, но преобладает над фракциями 1а и 1. Фракция 4, связанная с глиной и устойчивыми R₂O₃, представлена в достаточном количестве (5,67—17,55).

Нерастворимый остаток значителен (20,75—38,04% от общего углерода почвы). Как известно, в зависимости от биоклиматических условий гумусообразования он состоит из продуктов неполной гумификации растительных остатков или из гуминовых кислот, очень прочно связанных с минералами почвы [11].

Отношение C_r:C_φ во всех почвах меньше 1 и колеблется в пределах 0,31—0,67.

Таким образом, бурые лесные почвы дубово-грабовых лесов Восточной Грузии характеризуются фульватным типом гумуса, преобладанием фракции 2, связанной с Ca и Mg, и наличием почвенных гуминов в значительном количестве.

Тбилисский институт леса

(Поступило 14.11.1974)

სიახლოედრობა

კ. ლომიძე, გ. ბარძიშვილი

აღმოსავლეთ საქართველოს მუნიკ-რცხილნარების
ნიაზიგის პუშის ზედგენილობა

რეზოუმე

შესწავლითი ტყის ყომრალი ნიადაგები რცხილნარებისა და მუნიკ-რების ქვეშ. აზოტის შემცველობა მერყეობს 0,04—0,4% ფარგლებში. C/N შეფარ-ება შეადგენს 9—10,88.

ჰუმინის მეცვები შეადგენს 17,48—26,03%-ს ნახშირბადის საერთო შემცველობაში. სილრეზე შეიმჩნევა მისი თანდათანობით შემცირება.

ფულვომეტავბის შემცველობა მერყეობს 38,65—57,47%. უხსნალი ნაშ-თი შეადგენს 20,75—38,04%. C_r:C_φ შეფარდება ყოველთვის ნაკლებია 1-ზე.

D. V. LOMIDZE, M. G. BERDZENISHVILI

HUMUS COMPOSITION OF OAK AND HORNBEAM FOREST SOILS IN EASTERN GEORGIA

Summary

The content of nitrogen in the soil profiles varies between 0.04-0.4%. The C/N ratio is about 9—10.88. Humic acids are about 17.48-26.03% of the content of the total carbohydrate, decreasing with depth. Fulvic acids are about 38.65-57.47% of the total carbohydrate content. Non-hydrolyzed residue is about 20.75-38.04%. The humus composition is characterized by a clear predominance of fulvic acids over humic ones.

ლიტერატურა — REFERENCES

1. В. З. Гулисашвили. Общее лесоводство. М., 1956.
2. М. Н. Сабашвили. Почвы Грузии. Тбилиси, 1948.
3. Г. М. Тарасашвили. Почвоведение. Тбилиси, 1965.
4. Т. Ф. Урушадзе. Почвы Грузии. Тбилиси, 1972.
5. В. В. Пономарева. Почвоведение, № 8, 1957.
6. И. В. Тюрина. Труды Юбилейной сессии, посвященной 100-летию со дня рождения В. В. Докучаева. М., 1949.
7. С. В. Зони. Лесные почвы Болгарии. М., 1957.
8. Е. В. Рубилин. Почвы предгорной и предгорных равнин Северной Осетии. М., 1956.
9. Т. Ф. Урушадзе. Сообщения АН ГССР, XLVII, № 1, 1967.
10. А. Е. Возбудская. Химия почвы. М., 1968.
11. Д. В. Хан. Почвоведение, № II, 1950.

ПОЧВОВЕДЕНИЕ

М. Г. МИНДЕЛИ

МАТЕРИАЛЫ К ИЗУЧЕНИЮ БУРЫХ ЛЕСНЫХ ПОЧВ
КАХЕТИНСКОГО КАВКАСИОНИ

(Представлено членом-корреспондентом Академии М. К. Дараселия 3.10.1974)

Данные о высокогорных лесных почвах (1400—1800 м н. у. м.) Кавкасиони немногочисленны [1—4].

В 1970 г. маршрутно-экскурсионным путем нами были обследованы бурые лесные почвы в сложном орографическом регионе Кахетинского Кавкасиони.

Сделаны полные почвенные разрезы в буковом (5), буково-кленовом (14), олуговенно-березовом (11) и сосновом (12) лесах в одинаковых условиях рельефа (выровненного) и экспозиции.

Разрез 5. Материнская порода — сланец черного цвета (шиферный сланец). Алевритовые обломки состоят из кварца и пелитизированного плагиоклаза, содержат мусковит, хлорит, мелкие чешуйки серицита, в малом количестве циркон.

Разрез 11. Порода — песчаник. Минералогический состав тот же, что в вышеописанном разрезе, за исключением серцита.

Разрез 12. Порода, в отличие от разреза 11, содержит турмалин и пирит.

Разрез 14. Порода — песчаник. Минералогический состав такой же, что в разрезе 11.

Верхний слой разреза 11 задернован корнями травянистой растительности. Почвы кленовых и буковых лесов покрыты тонким слоем малоразложившегося опада. Дифференциация профиля с образованием иллювиального горизонта (коричневатые потеки) наблюдается в разрезе 12, переходный слой которого имеет белесоватый оттенок. Профиль верхних трех четвертей почвы букового леса бурого цвета. Почвы березового леса, по сравнению с другими, более темные.

Таблица 1

Данные химического анализа растений в % (с пересчетом на прокаленную навеску)

№ разрезов	Опад	N	Ca	K	Mg	P	Al
5	Мертвый покров	1,96	0,48	1,95	0,12	0,47	0,19
	Буковые ветки	2, 8	0,91	0,85	0,22	0,47	0,09
14	Мертвый покров	2, 8	1,39	1,89	0,12	0, 8	0,28
	Кленовые ветки	1,96	1,25	2, 8	0,18	0,47	0, 2
11	Мертвый покров	1,96	0,72	2,18	0,28	0,47	0,13
	Березовые ветки	2, 8	0,85	1,95	0,22	0, 3	0,09
12	Трава	1,96	1,06	1,13	0,19	0,38	0, 1
	Мертвый локров	1,96	0,82	0,31	0,04	0, 3	0,18
	Сосновые ветки	1,96	0,42	0,56	0,06	0,47	0,13

Огличия, замеченные при морфологическом описании профиля почв, подтверждаются данными анализов.



Если судить по данным химических анализов мертвого покрова и веток, можно заключить, что опад и живые ветки буковых и кленовых лесов более богаты двух- и трехвалентными основаниями, чем

Таблица 2

Данные валового химического анализа в %
(переведенные на прокаленную навеску)

№ разрезов	Глубина, см	SiO ₂ %	R ₂ O ₃ %	Al ₂ O ₃ %	Fe ₂ O ₃ %	CaO	MgO	SiO ₂ R ₂ O ₃	SiO ₂ A ₂ O ₃	SiO ₂ Fe ₂ O ₃
5 Буковый лес	2—10	63,75	28,86	22,57	6,29	3,04	1,82	4,08	4,83	27,04
	15—20	57,03	31,96	27,62	4,37	5,14	1,22	3,22	3,57	35,69
	43—55	59,82	38,00	25,93	5,12	4,16	1,38	5,37	3,77	31,15
	94—104	60,76	32,19	25,72	5,47	3,29	1,65	3,42	3,87	23,76
14 Буково-кленовый лес	0—10	60,29	23,63	17,47	6,16	2,01	1,18	4,79	5,86	26,11
	20—30	66,82	26,33	20,34	5,99	1,81	1,89	4,71	5,58	29,78
	45—55	64,88	25,47	20,49	4,98	1,59	3,86	4,51	5,17	34,45
11 Березовый лес	2—10	52,54	33,42	27,45	5,97	5,64	2,85	2,96	3,25	23,48
	15—25	54,89	33,52	17,30	6,22	4,95	2,24	2,99	5,34	23,52
	25—35	61,20	30,23	24,31	5,92	3,73	2,29	3,71	4,28	27,57
	4—55	60,32	28,59	14,40	11,14	2,64	2,43	4,18	5,88	14,52
	80—90	62,21	31,22	19,87	11,35	2,73	1,61	3,91	5,34	14,61
12 Сосновый лес	5—10	46,49	27,73	21,49	6,24	3,03	2,94	2,83	3,36	18,13
	20—30	48,27	26,45	19,91	7,44	2,74	2,14	4,01	4,97	20,66
	38—48	48,28	28,11	20,14	5,87	1,99	2,58	5,79	7,06	24,72
	53—63	60,68	22,93	17,58	5,30	1,41	1,84	4,92	5,86	30,97
	80—90	49,56	24,78	18,35	6,43	1,69	2,51	4,51	4,46	24,75

Таблица 3

Данные определения гумуса, азота, фосфора, pH



сосновых лесов. Это, разумеется, влияет на процесс почвообразования, на состав и особенности этих почв.

Данными валового анализа подтверждается хорошо выраженный процесс сиалитизации. Особенно богаты Al_2O_3 бурые лесные почвы буковых лесов (15—104 см), горизонт которых содержит более 26% Al_2O_3 , (табл. 2).

Лесные почвы Кавказа богаты гумусом, но все же существует определенная разница между ними. В этом отношении бурые лесные почвы буковых и кленовых лесов более близки, чем почвы сосновых и особенно березовых лесов. В последних высокое содержание гумуса вызвано олуговением, а большое количество азота — участием бобовых (клевер) в травянистом покрове.

Соотношение С:N указывает на достаточную интенсивность минерализации, что подтверждается также увеличением количества гидролизуемого азота.

Содержание общего фосфора в верхних слоях довольно высокое (0,2—0,23%).

Реакция кислая — pH колеблется в пределах 5—4. Анализ вытяжки KCl показывает более кислую реакцию почвы соснового леса, что, вероятно, связано с процессом оподзоливания.

Таблица 4

Данные качественного анализа гумуса (методом Панкова), механического состава и поглощенных оснований

№ разре- зов	Глубина, см	Обработанный $\text{Na}_4\text{P}_2\text{O}_7$		Сr Сf	Водно-растворимый гумус, %	Ca + Mg		H, мг/экв на 100 г почвы	H, % от емкости
		0,001 мм	0,01 мм			мг/экв на 100 г почвы			
5	2—10	21,52	46,34	0,6	0,05	15,0	5,4	25,4	
	12—25	20,40	50,50	0,6	0,01	11,2	5,4	32,5	
	45—55	20,20	49,49	—	—	9,5	2,0	17,2	
	94—104	19,69	40,25	—	—	—	—	—	
11	2—10	19,65	48,14	1,2	0,08	29,6	1,6	5,0	
	15—25	25,51	53,80	1,1	0,02	18,5	3,4	15,5	
	25—35	23,17	67,72	—	—	18,3	3,1	14,4	
	45—55	14,39	37,87	—	—	5,2	1,2	18,8	
	94—104	10,10	28,82	—	—	—	—	—	
12	5—10	11,11	35,34	0,7	0,1	9,2	5,1	36,0	
	20—30	16,03	50,98	0,6	0,02	7,2	5,1	41,0	
	38—48	14,83	41,19	—	—	5,5	5,0	47,6	
	53—53	23,41	48,57	—	—	3,4	5,0	59,5	
	80—90	19,99	40,37	—	—	—	—	—	
14	0—10	15,60	49,19	0,9	0,04	29,4	4,4	13,0	
	20—30	23,17	59,86	0,8	0,02	16,4	4,8	23,1	
	45—55	25,50	58,65	—	—	9,2	3,6	28,00	
	90—100	12,32	40,20	—	—	—	—	—	

Количество и распределение в профиле микронной фракции указывают на заметное внутрипочвенное выветривание (фракция 0,001 мм в наибольшем количестве содержится в переходном горизонте).

Данные качественного анализа гумуса показывают, что соотношение Сг:Сф меньше единицы. В этом отношении исключение составляет почва березников, где этот показатель больше единицы.

Бурым лесным почвам Кахетинского Кавкасиони характерен грубый гумус. На это указывает также довольно высокое количество воднорастворимого гумуса, которого особенно много в почвах сосновок.

Сумма поглощенных оснований небольшая — 9—29 мг/экв на 100 г почвы.

Почвы всех фитоценозов Кахетинского Кавкасиони характеризуются ненасыщенностью основаниями, хотя надо отметить и то, что наибольшее количество поглощенного Н-иона содержится в почвах сосновок.

Грузинский сельскохозяйственный институт

(Поступило 4.10.1974)

ნიადაგთმცოდნეობა

ა. მინდელი

მასალები კახეთის კავკასიონის ტყის უმომალი
ნიადაგების შესავლისათვის

რეზოუზე

საფელე და ლაბორატორიული გამოკვლევებით დადასტურდა, რომ ქახეთის კავკასიონის ტყის უმომალ ნიადაგებს ახასიათებს გათინიანების მაღალი პროცესი, მევე რეაქცია, ერთნახევარი უანგების დიდი რაოდენობა, $\text{SiO}_2 : \text{R}_2\text{O}_3$ შეფარდების შემცირებული მაჩვენებელი და 4—5 სმ სისქის ტყის მკვდარი საფარი.

SOIL SCIENCE

M. G. MINDELI

MATERIALS FOR STUDYING THE BROWN FOREST SOILS OF THE KAKHETIAN PORTION OF THE GREATER CAUCASUS RANGE

Summary

Field and laboratory investigations have demonstrated that the dark brown forest soils of the Kakhetian portion of the Greater Caucasus Range are characterized by a high process of clayization, acid reaction, a high content of sesquioxides, a lower index of $\text{SiO}_2 : \text{R}_2\text{O}_3$ ratio and a 4—5 cm layer of dead soil cover.

ლიტერატურა — ЛИТЕРАТУРА — REFERENCES

1. მ. საბაშვილი. სეჭაროველოს სსრ ნიადაგები. თბილისი, 1965.
2. გ. მ. თარაშვილი. Горнолесные и горнолуговые почвы Восточной Грузии. Тбилиси, 1956.
3. გ. ტალახაძე. სეჭაროველოს ძირითადი ნიადაგური ტიპები. თბილისი, 1964.
4. თ. უ. უ. უ. სეჭაროველოს ტყის ნიადაგები. თბილისი, 1972.

ЛЕСОВОДСТВО

Р. И. ЧХУБИЛИШВИЛИ

МОРФОЛОГО-АНАТОМИЧЕСКАЯ ХАРАКТЕРИСТИКА
ФОТОСИНТЕЗИРУЮЩИХ СИСТЕМ БУКА ВОСТОЧНОГО,
СФОРМИРОВАВШИХСЯ В РАЗНЫХ ЯРУСАХ ДРЕВОСТОЯ

(Представлено академиком В. З. Гулиашвили 19.9.1974)

Листовая поверхность—крайне важный показатель, характеризующий структуру лесного биогеоценоза. Ее распределение по всей вертикальной структуре этого элементарного подразделения биосферы зависит как от биологических особенностей растительных пород, слагающих древостой, так и от факторов внешней среды. Из факторов внешней среды особо следует выделить солнечную энергию. Неравномерное ее распределение под пологом леса накладывает свой отпечаток на физиологическую деятельность и формообразовательный процесс у растений, произрастающих в различных световых условиях.

Для изучения формирования фотосинтезирующих систем (крона) бука восточного, сформировавшихся в разных ярусах древостоя, т. е. при различных световых условиях, были проведены исследования по определению характера распределения как общей листовой поверхности по вертикальной структуре древостоя, так и дифференцировано на площасти световых, промежуточных и теневых по морфологическому строению листьев. Изучалась также анатомическая структура морфологически разнотипных листьев бука.

С этой целью на высокополнотных и максимальнополнотных участках разновозрастных и сложных по форме буковых древостоев, достигших возраста спелости (высота 26 м), были срублены модельные деревья верхнего, среднего и нижнего ярусов, кроны которых подверглась детальному анализу. Подсчитывалось количество листьев крон модельных деревьев, определялись площасти их листовых поверхностей.

Для дифференциированного учета листьев бука модельных деревьев, сформировавшихся на максимальнополнотном и изреженном ранее выборочными рубками участках, в зависимости от их расположения (верхний, средний и нижний ярус) они условно делились на световую, полутеневую и теневую части. Подсчитывалось общее количество веток в каждой части. Далее с помощью средних веток, взятых из каждой части (по три ветки), производился количественный подсчет листьев, а с помощью весового метода определялись интегральная площасть листьев отдельных модельных деревьев и дифференциальная площасть по отдельным типам.

Анатомические исследования морфологически разнотипных листьев бука восточного производились количественно-анатомическим методом. Измерялись такие важные показатели структуры листа, как его толщина, толщина губчатой и столбчатой паренхимы и покровной ткани (эпидермис, кутикула). Подсчитывалось также количество устьиц и измерялись их площасти.

Анализ полученных данных показал, что морфологическая структура крон деревьев буков восточного, произрастающих в верхнем, среднем и нижнем ярусах высокополнотного участка, отличается от структуры крон соответствующих деревьев максимальнополнотного участка, что связано в основном с различными световыми условиями, которые складываются по всей вертикальной структуре этих древостоев. В результате изучения радиационного режима установлено, что под пологом высокополнотного букового древостоя поступает 10—15%, тогда как под пологом максимальнополнотного (контроль) древостоя — 3—7% солнечной радиации, падающей на верхний полог древостоя.

Показатели	Древостой, пройденный рубкой			Контрольный участок		
	Верхний ярус	Средний ярус	Нижний ярус	Верхний ярус	Средний ярус	Нижний ярус
Количество световых листьев, шт. (числитель) и площадь, м ² (знаменатель)	8200 23,5	3700 10,6	—	6150 17,6	—	—
Количество полутеневых листьев (шт.) и площадь (м ²)	15250 70,7	10240 47,5	2600 11,0	8540 38,6	7200 33,4	—
Количество теневых листьев (шт.) и площадь (м ²)	4200 34,2	7450 60,4	5620 45,6	7620 61,8	9240 75,0	7500 60,8
Общее количество (шт.) и площадь листьев (м ²)	27650 124,4	21290 118,5	8220 56,6	22310 118,0	16440 108,0	7500 60,8

Из данных таблицы видно, что деревья верхнего яруса, произрастающие в высокополнотных участках, содержат наибольшее количество листьев, общая площадь которых равна 124 м². Соответствующие деревья максимальнополнотного участка содержат несколько меньшее количество листьев с общей площадью 118,0 м². По количеству и площади наиболее активных в физиологическом отношении световых и полутеневых листьев деревья верхнего яруса высокополнотного участка превосходят деревья этого же класса роста максимальнополнотного древостоя, а по площади и количеству менее активных теневых листьев уступают им. Этот факт говорит о более качественном морфологическом сложении крон деревьев верхнего яруса высокополнотного участка, нежели деревьев, произрастающих в максимальнополнотных древостоях. Несмотря на то что на верхний полог исследуемых древостоев поступает одно и то же количество солнечной радиации, это улучшение происходит за счет лучшего проникновения ее во внутренние части деревьев верхнего яруса на участке, пройденном рубками.

Деревья буков среднего яруса, произрастающие в высокополнотных древостоях, имеют лучшую структуру кроны, чем деревья максимальнополнотных древостоев. Среднеярусные деревья максимальнополнотных древостоев вовсе не содержат листьев световой структуры, тогда как на высокополнотном участке площадь, занимаемая ими, составляет 10,6 м². Листьев полутеневой структуры в кронах деревьев как по количеству, так и по площади больше на участке, пройденном добровольно выборочными рубками, по сравнению с максимальнополнотным участком.

Что касается деревьев нижнего яруса, то, как показывают данные таблицы, общая площадь листьев у них несколько больше в максимальнополнотном древостое, но все они относятся к теневому типу, тогда как на участке, пройденном рубками, они содержат и листья полуутеневой морфологической структуры, что существенным образом активизирует физиологическую деятельность фотосинтезирующей системы деревьев этого яруса в высокополнотном участке.

Анатомические исследования морфологически разнотипных листьев бука восточного, сформировавшихся в разных ярусах древостоя, т. е. при различных световых условиях, показали закономерные поярусные изменения их внутренней структуры.

С ослаблением интенсивности солнечного света сверху вниз по вертикальной структуре древостоя происходит утончение почти всех анатомических элементов листьев бука. Уменьшается как общая толщина листа, так и губчатой и столбчатой паренхимы. Например, толщина верхушечных листьев деревьев верхнего яруса, находящихся в самых лучших световых условиях формирования, составляет 232 мк при наличии двухслойной палисадной паренхимы с отношением столбчатой паренхимы к губчатой 1,4, тогда как теневые листья деревьев бука нижнего яруса имеют общую толщину 120 мк, где весь мезофил полностью представлен губчатой паренхимой. С ослаблением интенсивности света утончается и покровная ткань листа. Устьица у всех типов листьев бука восточного, как правило, расположены на нижней стороне листовой пластинки. Количество и размеры устьиц изменяются с изменением интенсивности освещения по вертикальной структуре древостоя. Так, общее количество устьиц верхушечных листьев бука верхнего яруса составляет 360 шт. на 1 мм², тогда как у теневых листьев деревьев нижнего яруса оно не превышает 160 шт.

Если с ослаблением интенсивности солнечного света сверху вниз по вертикальной структуре древостоя количество устьиц уменьшается, то площадь их увеличивается в этом направлении и достигает максимальных размеров в условиях минимального освещения — 833 мк².

Следовательно, с улучшением световых условий древостоя увеличивается ксероморфизм листьев бука восточного и изменение анатомических элементов подчиняется правилу Заленского [1].

Таким образом, добровольно выборочные рубки, проводимые в буковых лесах, изменяя световой режим древостоев, способствуют формированию более активной фотосинтезирующей системы, что способствует повышению прироста древостоев в целом.

Тбилисский институт леса

(Поступило 19.9.1974)

მეცნიერებების
მისამართი

6. ჩეზარიაშვილი

ქორომის სხვადასხვა იარუსებზე ფორმირებული
აღმოსავლეთის ტიფლის ფოტოსინთეზური სისტემის
აორგოლოგიურ-ანათომიური დანასიათება

რეზუმე

კვლევის შედეგად დადგინდა, რომ რაღიაციული რეჟიმის გაუმჯობესებასთან წიფლნარ კორომებში ჩებით-ამორჩევითი ჭრის ჩატარებისას უმჯობესდება ზედა, შუა და ქვედა იარუსებში წიფლის ხეების ვარჯის მორფოლოგიური სტრუქტურა.

სხვადასხვა მორფოლოგიური ძლნაგობის წიფლის ფოთლების ანატომიურმა სტრუქტურამ გვიჩვენა, რომ სინათლის რეკიმის გაუმჯობესებასთან ერთად წიფლნარ კორომებში იზრდება მათი ქსერომორფიზმი.

FORESTRY

R. I. CHKHUBIANISHVILI

MORPHO-ANATOMICAL CHARACTERISTIC OF THE PHOTOSYNTHESIZING SYSTEMS OF EUROPEAN BEECH FORMED IN VARIOUS LAYERS OF A STCCK

Summary

The author's studies have shown that change of light conditions in beech stocks cut out by free fellings results in an improvement of the morphological structure of beech tree crowns of the upper, middle and lower layers. The improvement is seen in the change of ratio (number and area) of shade, semi-shade and sun leaves in favour of the latter, as compared with corresponding beech trees growing in maximally dense stands.

Anatomical investigations of morphologically distinct leaf types of oriental beech have shown that improvement of the light conditions of a beech stand results in an increased xeromorphism.

ლიტერატურა — ЛИТЕРАТУРА — REFERENCES

1. В. Р. Заленский. Изв. Киевского политехн. ин-та, 1904.

БОТАНИКА

Г. В. КАНДЕЛАКИ, Н. С. МЕЛИЯ

ПРОЦЕСС ДВОИНОГО ОПЛОДОТВОРЕНИЯ В СКРЕЩИВАНИЯХ
ПШЕНИЦЫ С РОЖЬЮ ПРИ РАЗЛИЧНЫХ СПОСОБАХ
ОПЫЛЕНИЯ

(Представлено академиком В. Л. Менабле 16.9.1974)

Изучался процесс оплодотворения при скрещивании двух филогенетически близких видов пшеницы — дикорастущего *Triticum araraticum* Yakubz. и культурного — *T. timopheevi* Zhuk. с горной рожью *Secale montanum* Guss. при опылении смесью пыльцы горной ржи и пшеницы (*T. timopheevi* в первом случае, *T. araraticum* во втором), а также при доопылении пшеницей или рожью через 20 минут после первого опыления. Во всех вариантах выдерживалась одновременность сроков кастрации, затем опыления, а также фиксации материала.

Завязи фиксировались через 2 часа 30 минут после одинарного опыления и через 2 часа 50 минут в вариантах с доопылением (фиксатор Навашина 10—4—1 с предварительным погружением в фиксатор Карниа 3—1). Препараты окрашивались по Фельгену с подкраской плазмы светлым зеленым.

При межродовых скрещиваниях пшеницы с рожью, даже в пределах одной комбинации, отмечались различия между зародышевыми мешками по темпам прохождения процесса оплодотворения. Это выражалось в неосуществлении оплодотворения яйцеклетки или полярных ядер, в незначительном количестве яйцеклеток или полярных ядер с разрыхленными, а тем более деспирализованными спермиями, в выделении или отсутствии добавочных ядрышек в полярных ядрах.

Судя по картинам двойного оплодотворения, успешность скрещиваний при доопылении пыльцой пшеницы была выше, чем в контроле, и достигала в обеих комбинациях 100%. Положительные результаты были получены ранее и по данным генетических опытов [1, 2], в которых не только скрываемость, но и вес как межвидовых, так и межродовых зерновок F_0 был выше при доопылении пыльцой пшеницы, по сравнению с остальными вариантами опыления и контрольными скрещиваниями.

В выбранные нами сроки фиксации спермии, подошедшие к яйцеклетке, в большинстве случаев были плотными, скрученными (рис. 1—9), но опять-таки наибольшее число (45,4%) яйцеклеток с разрыхленными спермиями на их ядрах наблюдалось при скрещивании *T. araraticum* с рожью, с доопылением через 20 минут пыльцой *T. timopheevi* (рис. 6), что также свидетельствует о стимулирующем влиянии на процесс оплодотворения доопыления пыльцой пшеницы, на что мы указывали ранее [3].

Более ранняя деспирализация спермиев, осуществляющих тройное слияние, была отмечена при контрольных межвидовых скрещиваниях (рис. 1), но незначительно отставали в своем развитии и спермии при контрольных межродовых скрещиваниях (рис. 2, 3), а также в вариантах опыления (рис. 6, 7, 8, 9).

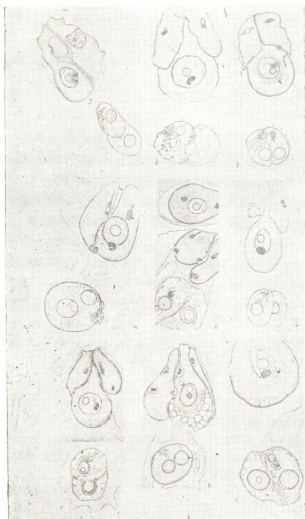


Рис. 1. 1 *T. araraticum* × *T. timopheevi*; 2 *T. araraticum* × *Secale montanum*; 3. *T. timopheevi* × *Secale montanum*; 4 *T. araraticum* × *T. timopheevi* + *Secale montanum*; 5. *T. timopheevi* × *T. araraticum* + *Secale montanum*; 6. *T. araraticum* × *Secale montanum*, через 20 минут *T. timopheevi*; 7. *T. timopheevi* × *Secale montanum*, через 20 минут *T. araraticum*; 8. *T. araraticum* × *T. timopheevi* через 20 минут *Secale montanum*; 9. *T. timopheevi* × *T. araraticum*, через 20 минут *Secale montanum*

Замедление в разрыхлении и деспирализации спермиев наблюдалось лишь при опылении смесью пыльцы (рис. 4, 5).

Кроме того, при опылении смесью пыльцы имело место наибольшее число случаев проникновения (от одной до трех пар) добавочных спермиев в зародышевые мешки пшеницы — 35,7 и 41,6% (рис. 4, 5). При контрольных одинарных скрещиваниях добавочные спермии в зародышевых мешках пшеницы были обнаружены, но если при межвидовых скрещиваниях пшеницы, как правило, они были единичными и не превышали 10% (от числа фиксированных и исследованных завязей), то при межродовых скрещиваниях с горной рожью встречаемость их была выше (12,5—16,6%), а при доопылении пыльцой пшеницы достигала 18,7 и 29,5%. При доопылении же пыльцой ржи скрещивания *T. araraticum* × *T. timopheevi* процент зародышевых мешков с добавочными спермиями поднялся до 38,4 (рис. 8), но при скрещивании *T. timopheevi* × *T. araraticum* и доопылении рожью таковые вообще не наблюдались (рис. 9).

У некоторых растений, в частности у представителей семейства сложноцветных — у *Crepis*, *Taraxacum*, *Helianthus*, *Calendula* и др. [4], было отмечено проникновение нескольких пар спермиев в зародышевый мешок. Однако для злаков, в частности для пшеницы, наблюдалась лишь единичные случаи проникновения добавочных спермиев в зародышевые мешки [5, 6].

Я. С. Модилевский же с сотрудниками [7] отмечал, что в зародышевый мешок пшеницы обычно входит только одна трубка.

По Стеффену [8], оплодотворение яйцеклетки или полярных ядер несколькими спермиями может быть с уверенностью подтверждено лишь подсчетом хромосом в зиготе и первичном ядре эндосперма. Однако предварительно следует убедиться в том, что отцовское или материнское растение не характеризуется наличием нередуцированных гамет, так как в этом случае увеличенное число хромосом в зиготе и первичном ядре эндосперма не может служить доказательством факта диспермии. Несмотря на просмотр 145 оплодотворенных зародышевых мешков и значительного количества таковых с добавочными спермиями, факты диспермии не наблюдались.

По данным Кихара и Хори [9], у пшеницы, как и у риса, ядро вегетативной клетки всегда остается в пыльцевом зерне, из чего следует, что у пшеницы при подсчете числа х-телец мы должны учитывать лишь дегенерировавшие ядра синергид и наличие более двух х-телец уже свидетельствует в пользу проникновения добавочных спермиев. Есть основание полагать, что это имеет место и у других представителей злаков, тем более из одной с пшеницей трибы *Hordeae*, к которой относится и рожь.

Наличие добавочных спермиев в зародышевом мешке пшеницы, мы полагаем, обусловлено прежде всего массовым прорастанием пыльцевых трубок ржи в столбиках пшеницы [10]. Биологически врастание в ткани завязи значительного количества пыльцевых трубок генетически и физиологически отдаленного вида не должно быть целесообразным для растения. Это явствует и из описываемых нами картин. Вместе с тем, подобные факты объясняют легкость возникновения в природе некоторых спонтанных отдаленных гибридов, в частности пшенично-ржаных.

Различные торможения в процессе оплодотворения, отмечавшиеся нами, являются проявлениями несовместимости гамет представителей разных родов.

Анализ процесса оплодотворения при различных вариантах опыления подтвердил ранее полученные данные генетического и эмбриологического анализа [1—3] о стимулирующем влиянии при отдаленных скрещиваниях доопыления пыльцой пшеницы на процесс оплодотворения и развития зерновок. Подобный вариант опыления, несомненно, должен шире применяться в работах по отдаленной гибридизации с целью получения более жизнеспособных зерновок отдаленных гибридов.

Академия наук Грузинской ССР
Институт ботаники

(Поступило 27.9.1974)

8. კაცელაკი, 6. მილია

ორმაგი განაყოფილობის პროცესი მთის ჭვავისა და ხორბლის ჰიბრიდულისა დამტვრდების სხვადასხვა ხერხის გამოყენების დროს

რეზოუზე

ხორბლის მტკრით დამტებითი დამტკრვერვის მასტიმულირებელი გავლენა გვარჩაშორისი F_2 ჰიბრიდული მარცვლების განვითარებული, რაც ძრე აღნიშნებ ჩვენ [1-3], დადასტურდა ებრიოლოგიური მონაცემებითაც.

ხორბლის დამტკრვერვისას დამტკრვერავ კომბონენტებში ჭვავის მტკრის მონაცილება ზრდის ჩანასახის პარკმ დამტებითი სპერმების შეღწევის უნარიანობას. დამატებითი სპერმების შეღწევა უფრო ხშირ შემთხვევებში (41%) აღინიშნებოდა ნარევი მტკრით (ხორბლისა და ჭვავის) დამტკრვერვისა.

ერთი კომბინაციის ფარგლებში, ჩანასახის პარკებს შორის შეინიშნებოდა განსხვავება განაყოფიერების პროცესის მიმღინარეობის ტემპების მიერცვით.

BOTANY

G. V. KANDELAKI, N. S. MELIA

DOUBLE FERTILIZATION IN CROSSING WHEAT AND MOUNTAIN RYE, USING DIFFERENT POLLINATION METHODS

Summary

The embryological study carried out by the authors has confirmed the previous data according to which additional pollination by wheat stimulates the formation of F_2 hybrid seeds.

Penetration of additional sperms into the embryo sac of wheat was found to take place especially when a pollen mixture of wheat and rye was used (in 41.6% cases). No cases of polyspermy were noted.

The rate of fertilization was varied by using different methods of pollination.

ლიტერატურა — ЛИТЕРАТУРА — REFERENCES

- Г. В. Канделаки, Н. С. Мелия. Сообщения АН ГССР, 66, № 2, 1972.
- Г. В. Канделаки, Н. С. Мелия. Сообщения АН ГССР, 70, № 1, 1973.
- Г. В. Канделаки. Труды Ин-та ботаники АН ГССР, т. XXVI, сер. «Культурная флора», вып. 3, 1969.
- Н. С. Беляева. Материалы V Всесоюзного совещания по эмбриологии растений. Киншинев, 1971.
- Г. Б. Батыгина. Бот. ж., т. 51, № 10, 1966.
- Г. В. Канделаки. Отдаленная гибридизация и ее закономерности, Тб. 1969.
- Я. С. Модилевский, П. Ф. Оксюк, М. И. Худяк, Л. К. Дзюбенко, Р. А. Бейлис-Вырова я. Цитоэмбриология основных хлебных злаков. Киев, 1958.
- K. Steffen. Recent Advances in the Embryology of Angiosperms. 5. Fertilization. 1966.
- H. Kihara, T. Hori. The behaviour of nucleon in germinating pollen grains of wheat, rice and maize. Zuchten, 36, 1966.
- გ. ლ. მ. მტკრი. მტკრის ზრდა და ორმაგი განაყოფიერების პროცესი სხვადასხვა ხეზით დამტკრვერვისას. ახალგაზრდა მეცნ. VIII სამეცნ. კონფ. თეზისები. თბილისი, 1974.

8. კაცვლაკი, 6. ვილა

ორმაგი განაყოფილობის პროცესი მთის ჰვავისა და ხორბლის პირიდიზაციისას დაგთვერვის სხვადასხვა ხერხის გამოყინვის დროს

რეზიუმე

ხორბლის მტკრით დამტებითი დამტკერვების მასტიმულირებელი გავლენა გვართაშორისი *Fo* ჰაბრიდული მარცვლების განვითარებაზე, რაც ადრე აღვნიშნეთ ჩვენ [1-3], დადასტურდა ემბრიოლოგიური მონაცემებითაც.

ხორბლის დამტკერვისას დამტკერვა კომპონენტებში ჭვავის მტკრის მონაცილეობა ზრდის ჩანასახის პარკში დამტებითი სპერმების შელწევის უნარიანობას. დამტებითი სპერმების შელწევა უფრო ხშირ შემთხვევებში (41%) აღინიშნებოდა ნარევის მტკრით (ხორბლისა და ჭვავის) დამტკერვისას.

ერთი კომბინაციის ფარგლებში, ჩანასახის პარკებს შორის შეინიშნებოდა განსხვავება განაყოფიერების პროცესის მიმღინარეობის ტემპების მიხედვით.

BOTANY

G. V. KANDELAKI, N. S. MELIA

DOUBLE FERTILIZATION IN CROSSING WHEAT AND MOUNTAIN RYE, USING DIFFERENT POLLINATION METHODS

Summary

The embryological study carried out by the authors has confirmed the previous data according to which additional pollination by wheat stimulates the formation of *Fo* hybrid seeds.

Penetration of additional sperms into the embryo sac of wheat was found to take place especially when a pollen mixture of wheat and rye was used (in 41.6% cases). No cases of polyspermy were noted.

The rate of fertilization was varied by using different methods of pollination.

ლიტერატურა — REFERENCES

1. Г. В. Канделаки, Н. С. Мелия. Сообщения АН ГССР, 66, № 2, 1972.
2. Г. В. Канделаки, Н. С. Мелия. Сообщения АН ГССР, 70, № 1, 1973.
3. Г. В. Канделаки. Труды Ин-та ботаники АН ГССР, т. XXVI, сер. «Культурная флора», вып. 3, 1969.
4. Н. С. Беляева. Материалы V Всесоюзного совещания по эмбриологии растений. Кишинев, 1971.
5. Г. Б. Батыгина. Бот. ж., т. 51, № 10, 1966.
6. Г. В. Канделаки. Отдаленная гибридизация и ее закономерности, Тб. 1969.
7. Я. С. Модилевский, П. Ф. Оксюк, М. И. Худяк, Л. К. Дзюбенко, Р. А. Бейлис-Вырова я. Цитоэмбриология основных хлебных злаков. Киев, 1958.
8. K. Steffen. Recent Advances in the Embryology of Angiosperms. 5. Fertilization. 1966.
9. H. Kihara, T. Hori. The behaviour of nuclein in germinating pollen grains of wheat, rice and maize. Zuchten, 36, 1966.
10. გ. ვ. ი. მტკრის მიღების ზრდა და ორმავი განაყოფიერების პროცესი სხვადასხვა ხერხით დამტკერვისას. პალგაზრდა მეცნ. VIII სამეცნ. ქონფ. თეზისები. თბილისი, 1974.



УДК 581.522.4

БОТАНИКА

З. Г. ГАМЦЕМЛИДЗЕ

О НЕКОТОРЫХ БИОЭКОЛОГИЧЕСКИХ ОСОБЕННОСТЯХ
РАСТЕНИЙ СУБНИВАЛЬНОГО ПОЯСА

(Представлено академиком И. Н. Кецховели 21.5.1974)

Высокогорная биома является одним из замечательных объектов для изучения адаптации растений к крайним условиям жизни.

Для выявления путей приспособления растений к «жестким» условиям необходимы подробные сведения о жизненных формах, ритмике развития растений и температурных условиях той или иной изучаемой экосистемы.

Исследования проводились нами в субнивальном поясе вершин Казбеги и Куро. Климат субнивального пояса влажный, с прохладным коротким летом и продолжительной сухой зимой. Среднегодовая температура воздуха здесь $+6.1^{\circ}\text{C}$, среднемесячная температура января -15°C , а температура самых теплых месяцев (июль-август) ниже $+10^{\circ}\text{C}$. Продолжительность массовой вегетации 2,5—3 месяца.

В субнивальном поясе растениям приходится приспосабливаться к неблагоприятствующим их росту и развитию климатическим условиям, где довольно резко выражены суточные колебания температур воздуха и почвы. Например, в субнивальном поясе Казбеги (3250 м н. у. м.) в течение одной недели максимальная температура поверхности почвы доходила до $+46^{\circ}\text{C}$, а минимальная опускалась до -6°C . Именно по этой причине в этом поясе встречаются такие специализированные жизненные формы растений, как ложно-подушковидные — *Saxifraga exarata*, *Draba bryoides*, *Delphinium caucasicum*, шпалерные — *Cerastium polymorphum*, *Veronica minuta* и сильно распространенные по земле — *Scrophularia minima*, *Iurinella subacaulis*.

После изучения ритмики развития субнивальных растений предоставилась возможность выделить основные фенологические типы растений — феноритмотипы.

Вслед за И. В. Борисовой [1] под феноритмотипом мы подразумеваем растения со сходными длительностью и сроками начала и конца вегетации, а также с одинаковым направлением смен основных фенологических состояний — вегетации и покоя.

Для каждого феноритмотипа по времени цветения мы выделили также разные группы. Ниже приводится схема классификации феноритмотипов растений изучаемого пояса.

I. ДЛИТЕЛЬНОВЕГЕТИРУЮЩИЕ (3—12 месяцев)

Летне-зимнезеленые

1. Перманентно летне-зимнезеленые — растения, находящиеся в зеленом состоянии как вне снежного покрова, так и под снегом.

Раннелетнего цветения — *Saxifraga Ruprechtiana*.



2. Факультативно летне-зимнезеленые (3—5 месяцев) — растения, находящиеся в зеленом состоянии под снегом в условиях субальпийского пояса.

- Раннелетнего цветения — *Saxifraga exarata*, *Veronica minuta*.
- Среднелетнего цветения — *Senecio Karjaqinii*, *Tripleurospermum subnivale*.

Летнезеленые с зимним покоем (3—4 месяца)

- Раннелетнего цветения — *Draba siliquosa*, *Scrophularia minima*.
- Среднелетнего цветения — *Erigeron uniflorus*, *Lamium tomentosum*.
- Позднелетнего цветения — *Delphinium caucasicum*, *Cerastium polymorphum*.

II. КОРОТКСВЕГЕТИРУЮЩИЕ (1,5—2 месяца)

Раннелетне-среднелетнезеленые с зимним покоем

Раннелетнего цветения — *Androsace barbulata*, *Corydalis alpestris*.

Из отмеченных групп наибольшим распространением характеризуются длительновегетирующие растения с зимним покоем (71,1%) и факультативно летне-зимнезеленые (16,1%), а наименьшим — позднелетние (3,1%) и коротковегетирующие (9,7%).

Отмеченная закономерность дает нам право считать не совсем приемлемым мнение большинства ботаников об очень короткой вегетации субнivalьных растений.

Значительный интерес представляет вопрос о сумме температур воздуха, требуемой для развития растений в экстремальных условиях.

Нами подсчитана сумма температур воздуха, требуемая для начала цветения растений. Активной температурой бралась температура выше 0°C.

После суммирования активных температур, требуемых для цветения, все представленные виды были разделены на три группы:

- 1) растения, требующие для начала цветения сумму активных температур 80—140°C;
- 2) растения, требующие для начала цветения 224—300°C;
- 3) растения, требующие для начала цветения 380—450°C.

К первой группе относятся растения раннелетнего цветения — *Corydalis alpestris*, *Draba bryoides*, *Draba siliquosa*, *Saxifraga mollis*, *Phryne Nuetii*, *Saxifraga exarata*, *Scrophularia minima*.

К второй — растения среднелетнего цветения — *Alopecurus glacialis*, *Erigeron uniflorus*, *Iurinella subacaulis*, *Lamium tomentosum*, *Senecio Karjaginii*, *Senecio Sosnovskyi*, *Tripleurospermum subnivale*.

И к последней группе — растения позднелетнего цветения — *Colpodium versicolor*, *Delphinium caucasicum*, *Gnaphalium supinum*.

Интересную картину получаем после сравнения сумм активных температур, нужных для начала цветения растений тундры [2], субальпийского [3] и субнivalьного поясов.

Как видно из таблицы, потребность тепла для начала цветения у растений субнivalьного пояса и тундры намного меньше, чем у растений субальпийского пояса.

Наши данные еще раз подтверждают выводы Г. Ш. Нахуцера [4] о том, что по ритмике развития растения субнivalьного пояса Кавказа более сходны с арктическими, чем с растениями субальпийского пояса.

Место наблюдения	Феноритмопти	Сумма активных температур
Казбеги, субнivalьный пояс 3200 м н. у. м.	Раннелетнего цветения (VII ₃ —VII ₁) Среднелетнего цветения (VII ₂₋₃) Позднелетнего цветения (VIII ₁₋₂)	80—140° 224—300° 380—450°
Лагодехи, субальпийский пояс 2000 м н. у. м.	Раннелетнего цветения (VI ₃ —VII ₁) Среднелетнего цветения (VII ₂₋₃) Позднелетнего цветения (VIII ₁₋₂)	600° 600—1235° 1400—1680°
Норильск, тундра 250 м н. у. м.	Ранневесеннего цветения (VI) Весеннего цветения (VI ₃ —VII ₁) Летнего цветения (VII ₂) Позднелетнего цветения (VII ₃ —VIII ₁)	10—100° 100—200° 250—300° 350—600°

* Римскими цифрами показаны месяцы, арабскими—декады месяца.

Сумма температур воздуха в субнivalьном поясе низкая, однако, как отмечают некоторые ученые [5], такая «низкая температура воздуха в горах компенсируется значительным перегревом растительной ткани, благодаря более интенсивной радиации».

Академия наук Грузинской ССР
Институт ботаники

(Поступило 4.10.1974)

გოთახისა

ზ. გამცემლიძე

სუბნივალური სარტყლის მცენარეთა ზოგიერთი
გიოგიკოლოგიური თავისებურების შესახებ

რეზიუმე

მწვერვალ ყაზბეგისა და ყურას სუბნივალურ სარტყელში მცენარეთა განვითარების რიტმიკის შესწავლისას გაძოვებით ფენოლოგიური ტიპები (ფენორიტმორტიპები). დავადგენერ მცენარეთა ყვავილობის დაწყებისათვის საქირო ტემპერატურათა ჭამი.

BOTANY

Z. G. GAMTSEMLIDZE

ON SOME BIOECOLOGICAL PECULIARITIES OF PLANTS OF
THE SUBNIVAL BELT

Summary

The studies were carried out in the subnival zone of the summits of the Kazbegi and Quro mountains. Different types of phenorhythmycity were

identified as a result of studying the rhythm of development of subnival plants. Of these long-vegetative plants of winter rest are characterized most widely distributed, whereas permanently summer- winter green and short-vegetative plants occur least frequently. The sum of air temperatures needed for the onset of blossoming of subnival plants was also studied. A comparison of the active temperature sums required for the blossoming of plants of the tundra, subalpine and subnival zones shows that plants of the subnival zone need the least temperature for blossoming.

ლიტერატურა — REFERENCES

1. И. В. Борисова. Труды Бот. ин-та АН СССР, сер. III (геоботаника), вып. 17, 1965.
2. И. Г. Москаленко. Бюлл. МОИП, отд. биол., вып. 6, 1966.
3. Г. Ш. Нахуцишвили. Сб. работ аспирантов Ин-та ботаники АН ГССР, II, 1964.
4. Г. Ш. Нахуцишвили. Экология высокогорных травянистых растений и фитоценозов Центрального Кавказа. Автoreферат, Тбилиси, 1972.
5. Ф. Ф. Давитая, Ю. С. Мельник. Метеорология и гидрология, № 1, 1962.

ФИЗИОЛОГИЯ РАСТЕНИЙ

Г. В. ЖГЕНТИ

ДИНАМИКА ПРИРОДНЫХ РЕГУЛЯТОРОВ РОСТА НЕКОТОРЫХ
ЗИМНЕВЕГЕТИРУЮЩИХ РАСТЕНИЙ

(Представлено академиком Н. Н. Кецховели 2.10.1974)

Изучение особенностей биологически активных веществ у растений позволяет более глубоко понять сущность ростовых процессов и изменить их направленность.

С целью изучения особенностей ритма роста и развития зимневегетирующих растений мы попытались выявить изменения в динамике эндогенных регуляторов роста некоторых злаков по фазам роста и развития. Опытными объектами служили следующие многолетние кормовые травы, произрастающие в окрестностях Тбилиси: *Festuca pratensis* Huds., *Festuca sulcata* Hack., *Arrhenatherum elatius* (L.) M et K., *Lolium perenne* L.

Ауксины и ингибиторы в листьях исследуемых растений определялись методом В. И. Кефели и Р. Х. Турецкой [1]. Гистограмма веществ, обладающих ауксиновым и ингибиторным эффектом, показывает колебания активности природных регуляторов роста в фазе вегетации. Из полученных данных вытекает, что наибольшей стимуляторной активностью характеризуются вещества, выделенные из листьев *Lolium perenne* L. (рис. 1).

В тканях этого злака, как показали химические тесты, содержится большое количество веществ, обладающих сильным физиологическим эффектом. Эти вещества относятся к полифенольным и индолальным соединениям.

Стимулирующей активностью обладают соединения как с низким, так и с высоким Rf в смеси растворителей н-бутанол-уксусная кислота-вода (40:12:28). Цветные реакции на выяснение природы соединения с Rf (0,25) показали, что это вещество в УФ-свете флуоресцирует фиолетовой флуоресценцией и дает бледно-розовую окраску с реагентом Паули. Исходя из вышеприведенного стимулятор Rf (0,25) отнесим к фенолкарбонатовым кислотам. После стимулятора роста на гистограмме обнаруживается зона, обладающая ингибиторным эффектом. Идентификация этого вещества показывает, что это соединение принадлежит к классу флавонол-гликозидов. Помимо этих соединений, в фазе вегетации в листьях *Lolium perenne* был идентифицирован ряд веществ, обладающих как ауксиновым, так и ингибиторным эффектом. Комплекс цветных реакций показал, что все эти соединения независимо от физиологической активности принадлежат к классу фенолкарбоновых кислот и флавонол-гликозидов.

В фазе вегетации среди исследуемых растений наиболее низкой активностью регуляторов роста характеризуется *Festuca sulcata* Hack.



В фазе генеративного развития (начала цветения) во всех исследуемых объектах наблюдается значительное повышение активности веществ, обладающих ауксиновым эффектом (рис. 2).

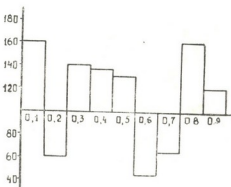


Рис. 1. Гистограмма веществ, обладающих ауксиновым и ингибиторным эффектом в фазе вегетации у *Lolium perenne* L.

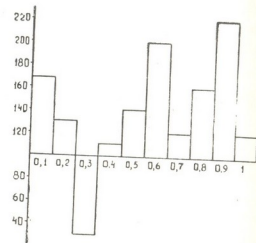


Рис. 2. Гистограмма веществ, обладающих ауксиновым и ингибиторным эффектом в фазе цветения у *Lolium perenne* L.

Анализом гистограммы выявлено, что в качестве стимуляторов роста могут выступать соединения как индолиновой, так и полифенольной природы. Высокая активность ауксинов в фазе начала цветения указывает на их активное участие в росте генеративных органов и процессах органогенеза.

В фазе плодоношения наблюдается значительное снижение активности ауксинов, тогда как активность ингибиторов резко повышается. Это явление следует объяснить завершением годичного цикла роста и развития исследуемых растений, и максимальное накопление ингибиторов в этот период обусловливает их переход в фазу глубокого покоя [2].

Полученные результаты свидетельствуют о том, что существует полная корреляция как между ритмом роста и развития и активностью фитогормонов и ингибиторов, так и в самой системе регуляторов роста.

Академия наук Грузинской ССР
Институт ботаники

(Поступило 4.10.1974)

МЕДИАБАРАТЫА 30%00Л0080

8. შემთხვევის

ზოგის ენდოგენური რეგულატორების ღინამიკა ზამთრის ვეგეტაციის მონე ზოგიერთ გალაზოვან მცენარეზე რეზის მეზობელის განვითარების და მცენარის ზრდა-განვითარების ფაზებთან დაკავშირებით.

შესწავლილ იქნა ფიტოჰორმონებისა და ინიბიტორების დინამიკა ზამთრის ვეგეტაციის მქონე ზოგიერთ ბალაზოვანი მცენარის ზრდა-განვითარების ფაზებთან დაკავშირებით.

დადგინდა, რომ ასებობს სრული კორელაციური დამოკიდებულება როგორც ზრდა-განვითარების რიტმსა და ფიტოჰორმონების აქტივობას შორის, ისე თვით ზრდის ენდოგენური რეგულატორების სისტემაშიც.

PLANT PHYSIOLOGY

G. V. ZHGENTI

THE DYNAMICS OF NATURAL GROWTH REGULATORS OF SOME WINTER-VEGETATIVE PLANTS

Summary

The dynamics of natural growth regulators was studied over the vegetative period in the leaves of some winter-vegetative cereal plants (meadow fescue (*Festuca pratensis*, Huds), sheep's fescue (*Festuca sulcata*, Hack), tall oat grass (*Arrhenatherum elatius* (L)), and perennial ryegrass (*Lolium perenne* L.) growing in the vicinity of Tbilisi. The observations were carried out during the phases of vegetative growth and generative development (onset of blossoming and fruiting). A complete correlation has been found to exist between the growth rhythm, development and activity of phytohormones as well as within the system of growth regulators.

ლიტერატურა — ЛИТЕРАТУРА — REFERENCES

1. В. И. Кефели, Р. Х. Турецкая. Методы определения регуляторов роста и гормонов. М., 1966, 20.
2. В. И. Кефели. Физиология растений, 18, 1971, 614.

პ. ნაცილაშვილი

საქართველოს მაგარი ხორბლის ჯიშში
(*T. DURUM V. CAERULESCES*) ჰიბრიდული
მონდარობის გენეზი

(წარმოადგინა ყადემიის წევრ-კორესპონდენტმა ლ. დეკაპტელევიჩმა. 3.9.1974)

ჰიბრიდული ქონდარობის მოვლენა პირველად აღწერა მაკ-მილანმა [1], ხოლო დეტალურად შეისწავლა ჰერმანმა [2].

ჰიბრიდული ქონდარობის ანუ „ჰიბრიდული უქმარისობის“ გამაპირობებელი გენეტიურ ფაქტორთა რაოდენობის შესახებ აზრთა სხვადასხვაობაა. მიჩნეულია, რომ ამ მოვლენას განსაზღვრავს სამი კომპლექსული გენის ან ორი დომინანტური ან რეცესიული გენის ურთიერთობები [3].

დაღვნილია, რომ ჰიბრიდული ქონდარობის მოვლენას იწყებს განსაკუთრებული გენეტიური სისტემა D_1d_1 , D_2d_2 და D_3d_3 . ამ გენებს არავითარი კავშირი არა აქვს მოკლედერობინობის გამომწვევა DW_1 , DW_2 და DW_3 გენებთან.

ჰიბრიდული ქონდარობის არა მდგომარეობს იმაში, რომ პირველ და მეორე თაობაში მიიღება შეცნარეები, რომელიც სიმაღლეში ზრდას წავეტინ, ძლიერ ბარტყობენ და ემსავასებიან ე. წ. „ბალაზოვან კონებს“. ასეთი ტიპის მცენარეები ან არ თავთვდება, ანდა მიღებული თავთავეები უნაყოფოა. აღნიშნულია აგრეთვე ისეთი შემთხვევა, როდესაც ამ ტიპის მცენარეები თავთავდება ძალიან გვიან და მიღებული ყველა თავთავი ნორმალურადა განვითარებული.

ჰიბრიდული ქონდარობის მოვლენის გამომწვევა გვინერიულ ფაქტორთა შესწავლის ძალიან დიდი თეორიული და პრაქტიკული მნიშვნელობა აქვთ. ამ მნიშვნელოვან გარეულებული ხორბლები შეუსწავლელია. ამ მიზნით მიღებული იქნა 157 ჰიბრიდული კომბინაცია. ამ ჰიბრიდების პირველი და მეორე თაობის შესწავლაში ნათლად გვჩინება, რომ ჰიბრიდული ქონდარობის მოვლენა ნათლად გამოვლინდა საქართველოს მაგარი ხორბლის ხაზოვან ჯიშის ცერტესცენს 19/28 და რბილი ხორბლის ჯიშების (ხულუკო, თბილისური-5 და ბეჭისტია-1) შეჯვარებით მიღებულ ჰიბრიდულ კომბინაციებში. ამ შეჯვარებებში გამომეუღნდა ჰერმენეუსის მიერ დაღვნილი მესამე ტიპის ჰიბრიდული ქონდარობა. პირველი თაობის მცენარეებს ძალიან სუსტად ემჩნეოდა ან თითქმის შეუმჩნეველი იყო ქონდარობის ნიშნები. შესწავლილი ყველა მცენარე უცნოტიბურად ნორმალური განვითარებისაა. ამ მცენარეთა მეორე თაობაში გამოიითაშნენ ჰიბრიდული ქონდარა ე. წ. „ბალაზოვანი მცენარეები“.

საქართველოს ჩბილი ხორბლის ავტოსტრონური ჯიშის ხულუკოსა და მავარი ხორბლის ჯიშის ცერტესცენს 19/28 შეჯვარებით მიღებულ ჰიბრიდულ კომბინაციის მეორე თაობაში აღზრდილ 494 მცენარიდან ცენოტიპურად ხორმალური განვითარების იყო 404 მცენარე, ხოლო ჰიბრიდული ქონდარა (ბალაზოვან კონები) — 90 მცენარე. ჰიბრიდული ქონდარა მცენარეთა საერთო რაოდენობიდან 40 მცენარემ განვითარა თავთავი (ცრთული), ხოლო 50 მცენარე არ დათვთავადა. ასეთივე შედეგი მიღებული იქნა რბილი ხორბლის რთული ჰიბრიდული ჯიშების თბილისური-5 და ბეჭისტია-1 მნონაწილეობით მიღებულ



კომბინაციებში. მიღებულმა შედეგებმა ნათლად გვიჩვენეს, რომ მეორე თაობაში ნი ნორმალური განვითარების მცენარეების და გამოთიშული „ბალახვინი მცენარეების“ შეფარდება გამოისახება 13 : 3 (ნორმულური განვითარების მცენარეები : ბალახვინი მცენარეები). მეორე თაობაში ფაქტიურად მიღებული დათიშვა შეესაბამება თეორიულად მოსალოდნელ დათიშვას.

ამრიგად, ჩვენს მიურ მიღებული შედეგებით დადგინდა, რომ მაგარი ხორბლის ხაზოვანი გიმი ცერულესცენს 19/28 ატარებს ჰიბრიდული ქონდარობის D_2D_3 გენებს (ასეთივე დასკვნამდე მიღის გ. ბაბაგანიანი და ნ. სარქისიანი [4]), ხოლო რბილი ხორბლის ჯიშები ხულუკო, თბილისური-5 და ბეზოსტაია-1 — D_1 გვენს. ასანიმნავი ის ფაქტიც, რომ აღნიშნული შეჯვარებების მეორე თაობაში „ბალახვინი მცენარეებთან“ ერთად გამოითიშვენ სრულიად ნორმალური განვითარების პრაქტიკულად მეტად საინტერესო მოქლე-დერივანი მცენარეები.

საქართველოს სასოფლო-სამეცნიერო ინსტიტუტი

(შემოვიდა 5.9.1974)

ГЕНЕТИКА И СЕЛЕКЦИЯ

П. П. НАСКИДАШВИЛИ

ГЕНЫ ГИБРИДНОЙ КАРЛИКОВОСТИ В СОРТЕ ГРУЗИНСКОЙ ТВЕРДОЙ ПШЕНИЦЫ (*T. DURUM V. CAERULESCENS*)

Резюме

Изучение гибридов от скрещивания твердой пшеницы (Церулесценс 19/28) с сортами мягкой пшеницы (Хулуго, Тбилисур 5, Безостая 1) показало, что во всех этих скрещиваниях в F_2 высажились карликовые растения, которые образовали «травяные пучки», усиленно кустились, не образуя колосьев, или образовали поздно плохо развитые колосья. Соотношение между нормально развитыми растениями и иенормально кустящимися во втором поколении было близким к теоретически ожидаемому — 13 (нормальных):3 («травяных пучка»).

Это соотношение между нормально развитыми растениями и испытывающими депрессию позволяет предполагать, что сорт Церулесценс 19/28 является носителем генов гибридной карликовости D_2D_3 , а сорта мягкой пшеницы Хулуго, Тбилисур 5 и Безостая 1 — носителями D_1 .

GENETICS AND SELECTION

P. P. NASKIDASHVILI

GENES OF HYBRID DWARFNESS IN THE GEORGIAN DURUM WHEAT VARIETY (*T. DURUM V. CAERULESCENS*)

Summary

Study of hybrids received from crossing durum wheat (*caerulescens* 19/28) with soft wheats (*Khulugo*, *Tbilisuri* 5, *Bezostaja* 1) has shown that dwarfish plants forming "grass bundles" deviate in F_2 . Correlation between

normally developed plants and "grass bundles" in F_2 was close to the theoretically expected ratio of 13:3. This correlation warrants the assumption that the *Caerulescens* 19/28 variety is the carrier of genes of dwarfness D_2D_3 , whereas the soft wheat varieties *Khulugo*, *Tbilisuri* 5, *Bezostaja* I are carriers of D_1 .

ლიტერატურა — REFERENCES

1. Mac Millan. Counc. for, Sc. and Ind. Res., Bull., 1937.
2. J. C. Hermse. Euphytica, v. 16, № 2, 1967.
3. K. Nishikawa. Jap. J. Genet., v. 37, 1962.
4. Н. С. Саркисян, Г. А. Бабаджанян. Труды АрмНИИЗ, «Пшеница», 1, 1973.

ФИЗИОЛОГИЯ ЧЕЛОВЕКА И ЖИВОТНЫХ

А. С. ТИМЧЕНКО, Г. Г. БЕРАДЗЕ

ЭЛЕКТРОФИЗИОЛОГИЧЕСКОЕ ИЗУЧЕНИЕ АФФЕРЕНТНЫХ СВЯЗЕЙ ВЕНТРАЛЬНОГО ЯДРА НАРУЖНОГО КОЛЕНЧАТОГО ТЕЛА КРОЛИКА

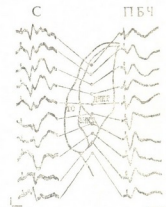
(Представлено членом-корреспондентом Академии С. П. Нарикашвили 19.9.1974)

Несмотря на достаточно подробное морфологическое изучение вентрального ядра наружного коленчатого тела (ВНКТ) у кошек [1—3], крыс [4] и других млекопитающих [2, 3], электрофизиологически оно почти не исследовано, за исключением выяснения его роли в опто-вестибулярной интеграции [5].

Принимая во внимание его связи у высших млекопитающих с волокнами оптического тракта [1—3], а также с передними буграми четверохолмия [6] и зрительной корой [7], следует допустить, что данное ядро, как и дорзальное ядро наружного коленчатого тела (ДНКТ), непосредственно связано у этих животных со зрительной функцией. В настоящей статье представлены результаты электрофизиологических исследований, проведенных с целью установления афферентных связей ВНКТ.

Опыты были проведены на взрослых (весом 3,5—4,5 кг) кролях, наркотизированных внутривенным введением нембутала (15 мг/кг). Потенциалы с поверхности больших полушарий и подкорковых структур (при вертикальном прохождении электрода) регистрировались монополярно (индифферентный электрод находился в кости лобной пазухи). Глубинные электроды были ориентированы по координатам стереотаксического атласа [8]. После окончания опыта маркировка подкорковых структур производилась электролитически пропусканием постоянного тока (4 мА в течение 40—50 сек), а локализация их определялась на серийных фронтальных срезах мозга.

Рис. 1. Ответы дорзального (ДНКТ) и вентрального (ВНКТ) ядер наружного коленчатого тела кролика на световое раздражение (С) и электрическую стимуляцию (5 в, 0,1 мсек) передних бугров четверохолмия (ПБЧ). ТО — оптический тракт. Калибровка амплитуды 100 мкв, времени 20 мсек.



Как видно на рис. 1, С, в ДНКТ на световую вспышку (1 мсек) возникает ответ, состоящий из положительно-отрицательного потенциа-

ла (и последующих слабых колебаний). По мере погружения электрода вентральном направлении с известного момента уменьшается амплитуда ответа. На границе с ВНКТ начальное положительное колебание пропадает и постепенно развивается длительный положительный потенциал с большим латентным периодом, который достигает наибольшей амплитуды в центральной части ВНКТ. На этом же препарате производилось раздражение передних бугров четверохолмия (ПБЧ), что вызывало возникновение ответов как в ДНКТ, так и в ВНКТ (рис. 1, ПБЧ). Наибольшую амплитуду эти ответы имеют в ВНКТ, именно в той его области, в которой регистрировался длиннолатентный положительный потенциал на световую вспышку. Кроме того, в ответе ДНКТ превалирует отрицательный компонент, тогда как в ответе ВНКТ лучше выражен положительный потенциал.

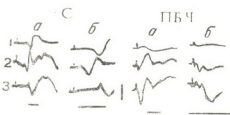
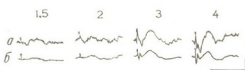


Рис. 2. Ответы зрительной коры (1), дорзального (2) и вентрального (3) ядер НКТ, возникающих на световую вспышку (1 мсек) и электрическую стимуляцию ПБЧ (5 в, 0,1 мсек) при малой (а) и большой (б) развертках. Калибровка 100 мкв и 20 мсек (в случае ПБЧ 10 мсек)

При одновременной регистрации ответов зрительной коры, ДНКТ и ВНКТ, возникающих на световую вспышку (рис. 1, С, а, б), наглядно проявляется разница в латентных периодах ответов этих структур. Если ответ ДНКТ на световое раздражение возникает с латентным периодом (ЛП) 6—6,5 мсек, т. е. намного раньше первичного коркового ответа, то ответ ВНКТ возникает с ЛП 18—20 мсек и превосходит ЛП первичного ответа коры. Это особенно хорошо видно при большой развертке (рис. 1, С, б). Ответы на раздражение ПБЧ регистрируются в ДНКТ и ВНКТ примерно с одинаковым ЛП, но отличаются по амплитуде и конфигурации (рис. 2, ПБЧ, а). Амплитуда ответа ВНКТ бывает намного больше чем ДНКТ, и он состоит из положительно-отрицательного потенциала, в то время как в ответе ДНКТ виден в основном отрицательный низкоамплитудный потенциал. Наряду с этим, преимущественная связь ПБЧ с ВНКТ обнаруживается при определении порогов возникновения ответов на раздражение ПБЧ. На рис. 3 хорошо видно, что при малых интенсивностях раздражения

Рис. 3. Одновременно регистрируемые ответы ВНКТ (а) и ДНКТ (б) на электрическое раздражение ПБЧ (0,1 мсек). Цифрами обозначено напряжение в вольтах. Калибровка 100 мкв и 20 мсек.



(1,5—2 в) ответ возникает только в ВНКТ. Для получения заметного ответа ДНКТ обычно требовалось удвоение интенсивности (3—4 в).

Разница в ответах ВНКТ и ДНКТ проявляется также при разной частоте световой стимуляции. Если ДНКТ воспроизводит ответы до 10—15/сек, то ВНКТ еще достигает частоты 6—10/сек.

Таким образом, полученные данные свидетельствуют о том, что ВНКТ кролика может активироваться импульсацией, идущей как от сетчатки, так и от ПБЧ. Сравнительно большой ЛП и низкая частота

усвоения ритма световой стимуляции могут быть обусловлены малой скоростью проведения возбуждения по системе тонких волокон, идущих из оптического тракта в ВНКТ, или за счет переключения этих путей в ПБЧ.

Академия наук Грузинской ССР

Институт физиологии

(Поступило 19.9.1974)

აღაშენისა და ცენტრული ფიზიოლოგია

ა. ტიმჩენკო, გ. ბერაძე

გოცვერის გარეთა დაგუბულული პერიოდის ვენტრალური გირითვის აცერენტრული კავშირების ელექტროფიზიოლოგიური შესწავლა

რეზიუმე

ნემბუტალით დანარკოზებულ ბოცვერებზე შევისწავლეთ გარეთა დამუხ-
ლული სხეულის ვენტრალური და ლორჩალური ბირთვების პასუხები სინათ-
ლისა და ოთხგორუების წინა ბორცვების ელექტრულ გაღინძიანებაზე. ლორჩა-
ლური ბირთვისაგან განსხვავებით, ვენტრალური ბირთვის პასუხები სინათლე-
ზე ხასიათდებოდა დიდი ლატენტური პერიოდით და გაღინძიანების უფრო
ნაკლები სიხშირის ათვისებით. განსხვავდება აგრეთვე პასუხების კონფიგუ-
რაცია.

ვენტრალური ბირთვის აფერენტულ გზებს წარმოადგენენ ან პირდაპირ
მიმავალი ოპტიკური ტრაქტის წვრილი ბოჭკოები, ანდა ეს გზა ოთხგორუების
წინა ბორცვებში გადაირთვება.

HUMAN AND ANIMAL PHYSIOLOGY

A. S. TIMCHENKO, G. G. BERADZE

ELECTROPHYSIOLOGICAL STUDY OF THE AFFERENT CONNECTIONS OF THE VENTRAL NUCLEUS OF THE LATERAL GENICULATE BODY IN RABBITS

Summary

The responses evoked by a light flash and electrical stimulation in ventral (VGL) and dorsal (DGL) nuclei of the lateral geniculate body were studied in adult rabbits anesthetized with nembutal. The responses to the light flash in the VGL were distinguished from those of DGL by a longer latency and reproduced a lesser frequency of repetition. Their configuration was different too. In VGL responses were elicited also to electrical stimulation of the superior colliculus, arising at lower thresholds than in DGL. All this indicates that the visual input to VGL is realized either directly by very thin fibres of the optic tract, or else is relayed in the superior colliculus.

ლიტერატურა — REFERENCES

1. W. R. Hayhow. J. Comp. Neurol., 110, 1958, 1—63.
2. S. Polyak. The Vertebrate Visual System. Chicago, Univ. Chicago Press, 1957.
3. K. Niimi, T. Kanaseki, S. Takimoto. J. Comp. Neurol., 121, 1963, 313—324.
4. W. R. Hayhow, A. Sefton, C. Webb. J. Comp. Neurol., 118, 1962, 29—322.
5. P. T. S. Putkonen, M. Magnin, M. Jeannerod. Brain Research, 61, 1973, 407—411.
6. M. C. Singleton, T. L. Peele. J. Comp. Neurol., 125, 1965, 303—329.
7. K. Niimi, S. Kawamura, S. Ishimaru. J. Comp. Neurol., 143, 1971, 279—313.
8. C. H. Sawyer, I. W. Everett, J. D. Green. J. Comp. Neurol., 101, 1954, 801—824.

ФИЗИОЛОГИЯ ЧЕЛОВЕКА И ЖИВОТНЫХ

Н. Р. КИКНАДЗЕ

ДИНАМИКА ЭЛЕКТРИЧЕСКОЙ АКТИВНОСТИ МОЗГА В
РАЗЛИЧНЫХ ФАЗАХ СНА ПОСЛЕ ОБЛУЧЕНИЯ
РЕНТГЕНОВСКИМИ ЛУЧАМИ

(Представлено членом-корреспондентом Академии Т. Н. Ониани 13.9.1974)

Существует ряд работ, посвященных изучению влияния облучения на поведение животных [1—4] и электрическую активность новой коры [5, 6] и подкорковых структур [7, 8].

Исходя из уже известных данных, мы предположили, что определенный интерес может представить изучение влияния радиации на динамику электрической активности мозга во время цикла бодрствования — сон.

На половозрелых кошках с хронически вживленными электродами изучалась динамика отдельных ритмов во время различных фаз сна до и после облучения.

Опыты начинались через 5—10 дней после операции. В течение нескольких дней регистрировался нормальный цикл бодрствование — сон. Опыты проводились с 10 до 17 часов, остальное время животные находились в специальной камере, позволяющей депривацию сна. Да-

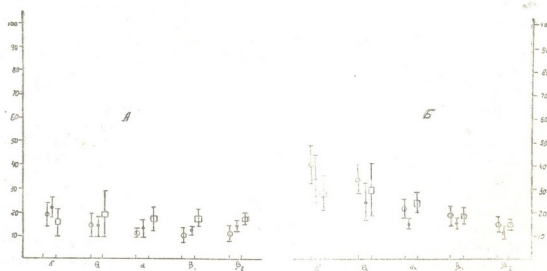


Рис. 1. Изменения динамики фоновой электрической активности (белые круги) сенсомоторной коры (А) и дорсального гиппокампа (Б) на 11-й (черные круги) и 14-й (четырехугольники) дни после облучения при бодрствующем состоянии

лее животные облучались totally с помощью двух спаренных рентгеновских установок типа РУТ-II при условиях 200 кв, 20 ма, без фильтра. Суммарная доза равнялась 400 р. Контроль дозы проводился электронным и химическим дозиметрическими методами.

В момент облучения изменения динамики электрической активности мозга не наблюдались. Присыпались спектральный анализ и интегрирование отдельных ритмов. Интегрированные величины ритмов, составляющих электроэнцефалограмму и электропиокампограмму, обрабатывались количественно, и статистическая достоверность наблюдаемых изменений определялась Т-критерием Стьюдента.

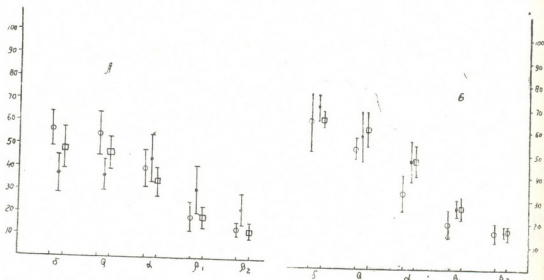


Рис. 2. Изменения динамики фоновой электрической активности сенсомоторной коры и дорсальной гиппокампа при глубоком медленном сне.

Обозначения те же, что и на рис. 1

Известно, что при натуральном сне, в медленноволновой фазе преобладают низкочастотные волны с высокой амплитудой в диапазоне дельта- и тета-ритмов, а для парадоксальной фазы сна характерна гиперсинхронизация гиппокампальной тета-активности; новая кора при этом проявляет общую десинхронизацию, подобную бодрствующему состоянию [9]. На 8-й день после облучения уже проявляется тенденция нарушения нормальной структуры парадоксальной фазы сна. На 11-й день это нарушение явно выражено (рис. 3, б). В парадоксальном сне происходит угнетение гиперсинхронизации гиппокампальной тета-активности, а позднее—также значительное уменьшение дельта-ритма. Эти изменения продолжаются в последующие дни, и нормальная картина не восстанавливается до самой смерти. Можно полагать, что после подвержения облучению происходит понижение эмоционального напряжения в парадоксальном сне, что объясняется снижением функционального состояния эмоциогенных, в частности гипоталамических, структур, ответственных в определении гиппокампального тета-ритма. Тот факт, что в электрической активности гиппокампа при бодрствующем состоянии (рис. 1, б) и медленном сне (рис. 2, б) после облучения изменений нет, наводит на мысль, что рентгеновские лучи особенно сильно действуют на многочисленные тонкие нейрофизиологические и биохимические механизмы мозга, которые играют важную роль в организации парадоксальной фазы сна.

Что же касается новой коры, она оказалась более устойчивой перед облучением. На 10–11-й день после облучения наблюдается угнетение корковой электрической активности (рис. 2, а), что выражается в уменьшении дельта- и тета-ритмов, особенно в медленном сне. Но эти изменения скоропреходящи; через 2–3 дня в коре восстанавливается

фоновая картина. На основе этих фактов можно заключить, что функциональное состояние палеокортикальных структур под влиянием ионизирующей радиации меняется быстрее и эти изменения более стабильны, чем изменения неокортикальных структур.

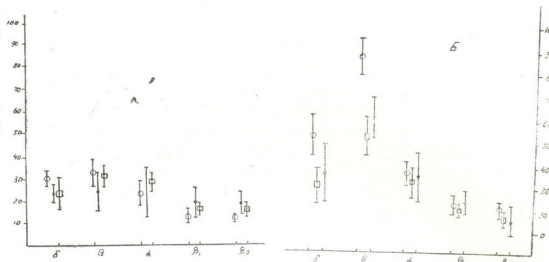


Рис. 3. Изменения динамики фоновой электрической активности сенсомоторной коры и дорсального гиппокампа при парадоксальной фазе сна.

Обозначения те же, что на рис. Г.

Таким образом, радиационное облучение путем воздействия на архипалеокортикальные структуры влияет на динамику электрической активности мозга во время разных фаз сна и вызывает определенные нарушения их структуры.

Академия наук Грузинской ССР
Институт физиологии

(Поступило 13.9.1974)

ადამიანისა და ცხოველთა ფიზიოლოგია

Б. პირამიდა

თავის ტვინის ელექტრული პარტიონის დინამიკა ძილის
სხვადასხვა ფაზაში რენტგენის სხივების
ზემოქმედების ზომიერება

რეზიუმე

ქარებზე, ქრონიკულად ჩანერგილი მეტალის ელექტროდების საშუალებით შევისწავლეთ რენტგენის სხივების (სუმარული ღიაზა 400R) ზემოქმედების გავლენა თვის ტვინის ელექტრული აქტივობის ღინამიერება და ძილის სხვადასხვა ფაზაში. დაფინდა, რომ რენტგენის სხივები განსაკუთრებული ძლიერად მოქმედებენ ძილის პარადოქსული ფაზის ორგანიზაციაში მონაწილე ნეიროფიზიოლოგიურ და ნეიროკომორულ მექანიზმებზე.

ახალი ქერქის ელექტრული აქტივობა დასხივების შემდეგ დროებით ცვლილებებს განიცდის და ორ-სამ დღეში ადგილი აქვს ფონური სურათის ოდგენებს. ე. ი. პალეოკორტიკალური სტრუქტურები უფრო მგრძნობიარება დასხივებისადმი, ვიდრე ახალი ქერქი.

N. R. KIKNADZE

EFFECTS OF X-IRRADIATION ON THE DYNAMICS OF THE BRAIN ELECTRICAL ACTIVITY DURING DIFFERENT PHASES OF SLEEP

Summary

The dynamics of the electrical activity in different structures of the brain during the wakefulness-sleep cycle was studied by means of X-irradiation (400 r) in cats with chronically implanted electrodes.

After X-irradiation, suppression of the hippocampal theta rhythm is observed in paradoxical sleep, whereas during wakefulness and deep slow-wave sleep it remains unchanged. The neocortical electrical activity develops only temporary changes, returning to background activity within 2–3 days.

It is suggested that on the one hand, X-irradiation exerts a specific effect selectively on the neurophysiological and neurohumoral mechanisms of the paradoxical phase of sleep and on the other, the paleocortical structures are more sensitive to X-irradiation in comparison with the neocortex.

ЛІТЕРАТУРА — REFERENCES

1. J. Garcia, N. A. Buchwald, B. H. Feder, R. A. Koelling. *Nature*, 1962, 196, 4858.
2. E. L. Hunt, D. J. Kimeldorf. *Science*, 1962, 137, 857.
3. J. C. Smith. *Progress in Physiol. Psychol.*, 4, 1971.
4. D. J. Kimeldorf, J. Garcia, D. O. Rubadeau. *Rad. Research*, 1960, 12, 6.
5. J. Garcia, N. A. Buchwald, J. Bach-Y-Rita, B. H. Feder, R. A. Koeling. *Science*, 1963, 140, 3–64.
6. M. Berry, B. G. Clendinnen, J. T. Eayrs. *Electroencephalogr. and Clin. Neurophysiol.*, 1963, 15, 1.
7. H. Gangloff, T. J. Haley. *Rad. Research*, 1960, 12, 6.
8. R. L. Schoenbrun, E. Campeau, W. R. Adey. *2nd Int. Symp.* Boston, 1964.
9. M. Jouvet. *Rev. Medicine*, 1972, 16–17.

УДК 612.821.75

ФИЗИОЛОГИЯ ЧЕЛОВЕКА И ЖИВОТНЫХ

В. И. МАЛОЛЕТНЕВ, З. А. ТЕЛИЯ

ВЛИЯНИЕ ФИЗИЧЕСКИХ НАГРУЗОК НА НОЧНОЙ СОН ЧЕЛОВЕКА

(Представлено членом-корреспондентом Академии С. П. Нарикашвили 25.9.1974)

Рядом авторов было показано, что после интенсивных физических нагрузок у животных [1, 2] и у людей [3-4] наблюдается увеличение длительности так называемого медленноволнового сна (МС), что позволило предположить связь этой фазы сна с функциональным состоянием организма. Однако предпринятые позже [5, 6] исследования не обнаружили корреляции между утомлением и МС. Важность вопроса и значительные противоречия в результатах разных авторов побудили нас еще раз подробно изучить влияние физических нагрузок на структуру ночного сна человека.

Исследования проводились на 10 добровольцах-спортсменах (мастера спорта по фехтованию — 2, баскетболу — 1, футболу — 2, гимнастике — 2, борьбе — 2, плаванию — 1) в возрасте 18—22 лет. Каждый испытуемый изучался в течение 5 последовательных ночей, из которых 1-я являлась адаптивной, 2-4-я — фоновыми (контрольными), 5-я — тестовой (после интенсивной физической нагрузки).

В течение дней, предшествовавших фоновым ночам, испытуемые строго придерживались обычного режима, не тренировались и не спали днем. В день, предшествовавший тестовой ночи, каждый испытуемый между 13—17 часами проводил интенсивную тренировку по специальности, нагрузка во время которой в 2—3 раза превышала обычную (увеличивались как длительность, так и количество выполняемых элементов). В постель каждый испытуемый ложился в привычное для него время (между 22—23.30). Регистрация ЭЭГ, ЭОГ, ЭМГ, ЭКГ и КГР проводилась непрерывно на протяжении всей ночи до момента спонтанного пробуждения испытуемого утром. Электрограммы зарегистрированных параметров анализировались по 35-секундным эпохам (скорость протяжки бумаги 15 мм/сек). Локализация регистрирующих электродов и классификация стадий сна производились по принятому стандарту [7]. Статистическая достоверность полученных различий оценивалась на основании т-критерия Стьюдента [8].

Результаты опытов представлены в таблице. Как оказалось, одним из наиболее выраженных и стабильных последствий интенсивной физической нагрузки было значительное увеличение длительности стадии 4 МС ($P < 0,02$). При этом почти у всех испытуемых (за исключением испытуемого 4) наблюдалась тенденция к некоторому снижению длительности стадии 3 (хотя среднестатистическая разница процента стадии 3 до и после нагрузки не достигала уровня достоверности, $p < 0,1$). За счет увеличения длительности стадии 4 суммарный процент МС (стадии 3+4) в ночь после нагрузки возрастал (рис. 1, Б).

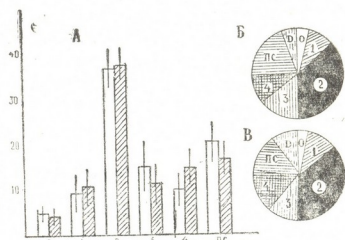
Соотношение стадий ночного сна до и после физической нагрузки (усредненные данные 58 ночей)

Стадия сна	0		I		II		III		IV		ПС		Двигательная активность		Тотальное время сна	
	Испытуемый	1	2	1	2	1	2	1	2	1	2	1	2	1	2	1
1	5,2	4,8	5,6	6,3	31,1	34,7	27,4	22,3	8,3	12,8	17,2	12,1	6,1	7,2	533	551
2	4,2	5,0	6,9	7,1	41,3	38,4	13,8	10,1	9,5	15,5	17,9	14,8	6,1	9,1	545	578
3	2,5	2,1	13,8	14,1	37,7	35,1	15,6	13,4	9,5	16,1	17,6	12,5	3,8	5,1	551	560
4	6,7	6,0	3,2	11,5	38,8	31,8	9,6	9,7	11,5	18,9	25,3	17,2	4,7	4,8	448	487
5	5,2	3,8	10,7	11,2	28,4	32,1	11,1	9,4	16,8	18,5	24,6	20,4	3,2	4,7	581	603
6	5,8	5,0	11,5	19,5	41,3	34,6	11,5	9,1	5,9	5,5	19,7	19,9	4,3	6,2	440	439
7	4,6	4,0	6,2	6,7	36,2	38,8	16,6	9,5	11,8	16,4	18,2	15,8	6,4	6,9	498	531
8	2,5	1,3	16,8	9,5	36,3	39,1	16,6	11,8	4,2	13,4	16,5	19,2	7,1	5,6	416	440
9	6,6	7,1	7,2	9,7	34,9	40,5	10,1	7,3	9,5	10,7	25,8	20,1	4,9	4,6	458	492
10	5,2	4,1	9,4	10,5	37,7	42,1	13,4	8,3	9,4	15,5	17,1	12,4	7,8	7,2	521	554
Среднее значение	4,8±1,5	4,3±1,9	9,1±4,3	10,6±4,2	36,4±4,4	36,7±3,7	14,6±5,6	11,1±4,6	9,6±3,5	14,1±4,1	20,1±4,1	16,4±3,6	5,5±1,5	6,1±1,5	500±58	524±59

В графе 1 приводится среднее значение (%) каждой стадии по отношению к тотальному времени сна, выведенное по данным трех контрольных ночей, в графе 2—% данной стадии, полученный во время тестовой ночи.

Сравнение процентных соотношений быстрого (парадоксального) сна (БС) показало, что после физической нагрузки наблюдается уменьшение процента этой фазы сна по сравнению с фоном ($20,1 \pm 4,1$ до и $16,4 \pm 3,6$ после нагрузки, $p < 0,05$), хотя в двух случаях (испытуемые 6 и 8) ее длительность несколько увеличивалась (см. таблицу).

Рис. 1. Изменение соотношения стадий сна после физической нагрузки (по усредненным данным): А — % стадий сна до (белые колонки) и после физической нагрузки (заштрихованные колонки), на ординате — % по отношению к общему времени сна, на абсциссе — стадии сна, Б и В — изменение продолжительности разных стадий относительно друг друга и относительно тотального времени сна (стадии сна обозначены цифрами в соответствующем секторе)



В ночь после дневной нагрузки наблюдалось увеличение тотального времени сна, обусловленное увеличением абсолютной длительности главным образом стадии 4.

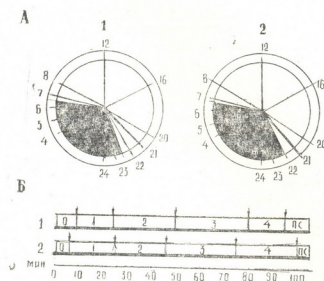


Рис. 2. А — Изменение соотношения бодрствования и сна (зачернено) до (1) и после (2) нагрузки. Цифрами отмечены часы суток. Б — латентные периоды стадий сна первого цикла до (1) и после нагрузки (2). Стрелками обозначен конец каждой стадии.

Анализ изменений структуры сна после физической нагрузки показал, что каких-либо выраженных сдвигов ее не происходит: если в условиях фона сон испытуемого состоял из трех полных циклов, то такое же количество законченных периодов регистрировалось у этого же испытуемого и после нагрузки. Наблюдались, однако, некоторое уменьшение латентного периода погружения в сон (время до наступления первой стадии первого цикла), уменьшение латентного периода погружения в сон (время до наступления второй стадии первого цикла) и увеличение латентного периода БС первого цикла (рис. 1, Б). Кроме того, все испытуемые после нагрузки высказывали

желание несколько раньше лечь в постель (рис. 1, А). Наконец, после физической нагрузки отмечалось также увеличение количества КГР.

Статистически достоверных изменений других стадий сна после нагрузки обнаружено не было.

Полученные результаты позволяют заключить, что основным различием в ночном сне до и после интенсивных физических нагрузок является увеличение абсолютной и относительной (ко времени ночного сна в целом) длительности МС, что подтверждает преимущественную связь этой фазы сна с функциональным состоянием организма.

Академия наук Грузинской ССР
Институт физиологии

Грузинский институт
физкультуры

(Поступило 18.10.1974)

აღმართისა და ცემოლთა ფიზიოლოგია

3. გალოვანის, ზ. თმილა

ფიზიკური დატვირთვის გავლენა აღამართის დამის ძილზე

რეზიუმე

სხვადასხვა სპეციალიზაციის 10 სპორტსმენზე ედგ-ის განუწყვეტილი რეგისტრაციით შევისწავლეთ ინტენსიური ფიზიკური დატვირთვის გავლენა ღამის ძილის სტრუქტურაზე. აღმოჩნდა, რომ დღის მეორე ნახევარში მიღებული ინტენსიური დატვირთვის გავლენათ იზრდება ნელტალოვანი ძილის 4 სტადიის ხანგრძლვობა, პარალიქსული ძილი კი მოკლდება (ძილის საერთო დროსთან შეფარდებით). მონაცემები სტატისტიკურად სარწმუნოა ($P < 0,01$).

HUMAN AND ANIMAL PHYSIOLOGY

V. I. MALOLETNEV, Z. A. TELIA

THE INFLUENCE OF EXERCISE ON THE NIGHT SLEEP IN MAN

Summary

The influence of exercise on the night sleep of ten athletes was studied by all-night EEG-recording. Following intense afternoon exercise most consistent changes were in evidence: an increase in stage 4 of slow wave sleep and decrease in the paradoxical phase of sleep (in reference to the total time of sleep). The data are statistically significant ($p < 0.01$).

ЛІТЕРАТУРА — REFERENCES

1. J. Matsumoto, T. Nishisho, T. Suto, T. Sadahiro, M. Miyoshi. Nature, 218, 1968, 177.
2. J. A. Hobson. Science, 162, 1968, 1503—1505.
3. F. Baekeland, R. Lasky. Percept. Motor Skills 23, 1966, 1203.
4. R. B. Zloty, J. A. Burdick, J. D. Adamson. Activita nervosa Superior, 15, 1973, 217.
5. J. L. Altman, W. E. Whitehead, A. Rechtshaffen. Psychon. Sci., 26, 1972, 182.
6. R. Hauri. Psychophysiology, 4, 1968, 267.
7. A. Rechtshaffen, A. Kales Eds. A Manual of Standardized Terminology, Techniques and Scoring System for Sleep Stages of Human Subjects. US Department of Health, 1968.
8. Н. Бейли. Статистические методы в биологии. М., 1962.

ФИЗИОЛОГИЯ ЧЕЛОВЕКА И ЖИВОТНЫХ

С. М. БУТХУЗИ, В. Г. БЕРИШВИЛИ, А. Г. ЧХАРТИШВИЛИ

**ИЗМЕНЕНИЕ ПОВЕДЕНЧЕСКИХ И ЭЛЕКТРИЧЕСКИХ
ПРОЯВЛЕНИЙ БОЛИ ВО ВРЕМЯ БОДРСТВОВАНИЯ И
В РАЗНЫХ ФАЗАХ СНА**

(Представлено членом-корреспондентом Академии С. П. Наикиашвили 31.10.1974)

За последнее время в ряде электрофизиологических исследований было подтверждено наличие специализации болевых проводящих путей и центральных структур, переключающих и воспринимающих болевую афферентацию [1—5]. Было показано, что селективное раздражение А_δ афферентов зубной пульпы у кошек вызывает рефлекс открытия челюсти [6]. Вместе с тем, раздражение зубной пульпы у человека вызывает только ощущение боли [7]. Таким образом, можно предположить, что этот рефлекс у животных является одним из объективных показателей болевой реакции.

В настоящей статье приведены данные об изменении электроэнцефалограммы (ЭЭГ) и вызванных потенциалах (ВП) «дентальной» проекционной области коры, а также рефлекса открытия челюсти в ответ на раздражение зубной пульпы у кошек при естественном изменении функционального состояния ЦНС. Для раздражения зубной пульпы в верхние клыки вживлялись проволочные электроды, которые закреплялись серебряной амальгамой, а затем покрывались тонким слоем стеракрила в виде искусственной коронки зуба.

При пороговых силах раздражения зубной пульпы (которые определялись электромиографически и прощупыванием слабого вздрагивания подчелюстной мышцы) в поведении животных не обнаруживаются признаки беспокойства или дискомфорта. В ЭЭГ также трудно уловить какие-либо изменения. При усилении раздражения в 2—3 раза наблюдается открывание челюсти по ритму раздражения. При участии раздражения выше 10—15 сек животное открывает рот и поднимает голову (рис. 1,А). Одновременно с этим отмечается десинхронизация ЭЭГ, продолжительность которой зависит от интенсивности раздражения пульпы. При надпороговом частом (100/сек в течение 1—2 сек) раздражении пульпы во время дремоты десинхронизация ЭЭГ (в виде последействия по прекращении раздражения) продолжается не более 2—3 сек (рис. 1,Б). Такое же раздражение во время парадоксальной фазы сна не приводит к заметным изменениям ни ЭЭГ, ни поведения: животное продолжает спать — парадоксальная фаза сохраняется (рис. 1,В). При двукратном увеличении раздражения наступает пробуждение и открывание рта (рис. 1,Г). Так же как и в условиях наркоза [3, 4], у хронических кошек ВП в виде начального медленного негативного отклонения были зарегистрированы в ростральной части коронарной извилины при раздражении контролатерального клыка надпороговой силой. После начального колебания обычно возникали добавочные, более поздние позитивно-негативные компоненты ответа (рис. 2). Эти ответы подвержены значительным из-



менениям при переходе от состояния бодрствования к дремоте или к медленноволновой (МС) и парадоксальной (ПС) фазе сна. Особенно

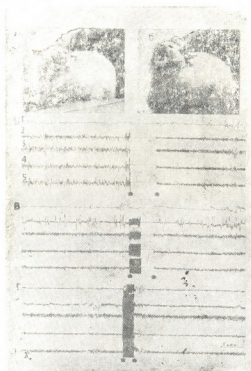


Рис. 1. Реакция открывания челюсти (А) и изменения ЭЭГ (Б—Г) при раздражении левого верхнего клыка. А: а—надпороговое, б—максимальное раздражение, Б—МС, В, Г—ПС. Отведения: 1—электромиограмма двухбрюшинной мышцы, 2—электрокулограмма, 3—правая корональная извилина, 4—таламическое центральное заднемедиальное ядро, 5—средняя часть левой супрасильвийской извилины. Стрелки указывают моменты раздражения зуба (начало и конец). Интенсивность раздражения: Б, В—1, 5 в, Г—4 в. Частота раздражения во всех случаях 100/сек. Калибровка амплитуды 0,1 мв

значительно изменяются поздние компоненты ответов. На рис. 2, а видно, что при спокойном бодрствовании ответ имеет форму негативно-позитивно-негативного комплекса. Величина начальной негативности составляет 100—150 мкв. При активном бодрствовании, например настороживании ВП, особенно поздняя негативность угнетается (рис. 2, б). Обычно из серии ответов при повторных раздражениях первые

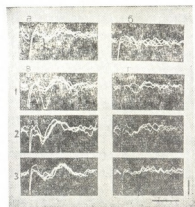


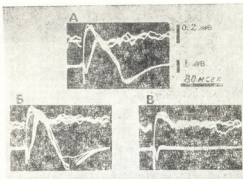
Рис. 2. Изменение «болевых» ВП в левой коронаральной извилине при различных фазах сна. Раздражается пульпа верхнего левого клыка. а—Спокойное, б—активное бодрствование, в—МС, г—ПС, 1—начальная, 2, 3—поздняя стадии МС и ПС. Калибровка: амплитуды 0,4 мв, время 80 мсек

имеют большую амплитуду, чем последующие, но временами ответы могут опять увеличиваться. Во время дремотного состояния или в начальных стадиях МС амплитуда ВП, особенно поздних компонентов, значительно увеличивается (рис. 2, В—1). В поздних стадиях МС (при развитии дельта-волны) ответы несколько уменьшаются (рис. 2, В—3). Параллельно с этим изменяется величина рефлекторного сокращения подчелюстной мышцы. На рис. 3 показано изменение электромиограммы мышцы при переходе от бодрствования к МС и ПС. Как видно на

рисунке, во время ПС отмечается только слабое вздрагивание подчелюстной мышцы, которое обычно не приводит к открыванию рта.

Боль является субъективным феноменом, и поэтому в эксперименте на животных основная трудность заключается в подборе адекватного объективного ее показателя. По аналогии предполагают, что раздражения, которые вызывают боль у человека, должны вызывать ее и у животных. В наших опытах с раздражением пульпы мы остановились на рефлексе открывания челюсти как на объективном показателе боли. Еще Шеррингтон [8] показал на десцеребрированных кош-

Рис. 3. «Болевые» ВП и электромиограмма (нижняя запись) двухбрюшинной мышцы во время бодрствования (А), МС (Б) и ПС (В). Интенсивность раздражения 3 в, частота 1/сек



ках, что рефлекс открывания челюсти при механическом или электрическом раздражении зубов является аналогом сгибательного рефлекса конечностей при ноцицептивных раздражениях и служит защитной реакцией организма, направленной на устранение повреждающего действия раздражителя. Общий уровень функционального состояния ЦНС имеет решающее значение в проявлении всех внешних признаков боли. Как видно из приведенных данных, при переходе от бодрствующего состояния к МС, а затем ПС в ответ на одно и то же болевое раздражение все проявления ноцицептивной реакции постепенно ослабевают. Повышение порога ноцицептивной реакции особенно заметно проявляется во время ПС, причиной которого может быть кортикофагальное торможение ноцицептивной афферентации на уровне тригеминального ядра [9] или активация серотонинергических структур среднего мозга [10].

Таким образом, в условиях хронических опытов селективное раздражение Аб волокон зубной пульпы вызывает ноцицептивный рефлекс открывания челюсти и десинхронизацию ЭЭГ. Порог ноцицептивной реакции открывания челюсти повышается при переходе от состояния бодрствования к медленноволновой и парадоксальной фазам сна. Наибольшую амплитуду «болевые» ВП при раздражении зубной пульпы достигают в контрлатеральной корональной извилине во время бодрствования и в начальных стадиях медленноволновой фазы сна. Во время активного бодрствования и парадоксальной фазы сна амплитуда «болевых» ВП значительно угнетается.

Академия наук Грузинской ССР
Институт физиологии

(Поступило 31.10.1974)



ს. ბუთხუზი, ვ. ბერიშვილი, ა. სართიშვილი

ტკივილის ძალისთვის და ელექტრული გამოვლინების ცვლილების
დამიღებისა და ძიღის სხვადასხვა ფაზის დროს

რეზიუმე

ქრონიკულ ცდებში კატეპზე შევისწავლეთ კბილის პულპის მტკივნეული გაღიზნების გამოწვეული პირის გაღიბის რეალექსის, ელექტრონულეფალო-გრამის და ქერქის გამოწვეული პოტენციალების ცვლილები ღვიძილისა და ილის სხვადასხვა ფაზის დროს. კბილის პულპის იშვიათი გაღიზნებისას (1/სეკ) მტკივნეული გაღიზნებით გამოწვეული პოტენციალები აღიძირებებოდა დათი ტვინის ქერქის კორტონარულ ხევულში კონტრალატერალურ შეარეზე. აღნიშნული ქერქული პასუხები მაქსიმალურ ამპლიტუდისა იყვნენ ნელი ძილის დროს, ხოლო ღვიძილისა და პარადოქსული ძილის დროს მნიშვნელოვან მცირდებოდნენ.

HUMAN AND ANIMAL PHYSIOLOGY

S. M. BUTKHUZI, V. G. BERISHVILI, A. G. CHKHARTISHVILI

ON THE CHANGES OF BEHAVIORAL AND ELECTRICAL MANIFESTATIONS OF PAIN DURING WAKEFULNESS AND DIFFERENT PHASES OF SLEEP

Summary

In chronic experiments on cats, changes of the nociceptive jaw opening reflex, EEG and cortical evoked potentials produced by tooth pulp stimulation were studied during wakefulness, slow wave (SWS) and paradoxical phases (PS) of sleep;

The threshold of the nociceptive jaw opening reflex increases during the transition from the waking state to the SWS and PS. "Pain potentials" evoked by low frequency stimulation (1/sec) of the tooth pulp were recorded in the contralateral coronal gyrus. These potentials had the maximal amplitude during quiet wakefulness and in the initial stages of SWS. During active wakefulness and the PS the amplitude of "pain potentials" appeared considerably depressed.

ლიტერატურა — REFERENCES

1. H. M. Brookhart, W. K. Livingston, F. P. Haugen. J. Neurophysiol., 16, 19.3, 634.
2. H. J. Van Hassel, M. A. Biedenbach, A. C. Brown. Arch. Oral Biol., 17, 1972, 109.
3. L. Vyklicky, O. Keller, G. Brozek, S. M. Butkhuzi. Brain Res., 41, 1972, 511.
4. O. Keller, S. M. Butkhuzi, L. Vyklicky, G. Brozek. Physiol. Bohemoslovaca, 13, 1974, 45.
5. S. A. Andersen, O. Keller, L. Vyklicky. Brain Res. 50, 1973, 473-475.
6. A. J. Texton. J. Physiol. (Lond), 197, 1968, 34.
7. B. I. Orban. Oral Histology, Embryology, 4th ed. C. V. Mosby St. Louis, 1956.
8. D. Jr. Scott, G. G. Stewart. Oral Surg. Med. Oral Path. 20, 1965, 784.
9. O. Keller, S. M. Butkhuzi, L. Vyklicky. Brain Res., 66, 1974, 325.
10. I. L. Oliveras, I. M. Besson, G. Guilband, I. C. Liebeskind. Exp. Brain Res. 20, 1974 32.

БИОФИЗИКА

Д. А. ОНИАНИ, Б. А. ЛОМСАДЗЕ, А. Н. КУДРИН, Л. Н. ВОРОБЬЕВ

ВЛИЯНИЕ БИОГЕННЫХ АМИНОВ НА ПОДВИЖНОСТЬ ПРОТОПЛАЗМЫ В КЛЕТКАХ ХАРОВЫХ ВОДОРОСЛЕЙ *NITELLA SYNCARPA*

(Представлено членом-корреспондентом Академии Т. Н. Онiani 13.9.1974)

Исследования последнего времени со все большей определенностью выявляют физиологическую роль и значение веществ эндогенного происхождения, обладающих биологической активностью и отличающихся нейротропным действием. В частности, к таким биологически активным веществам относятся вещества типа серотонина и ацетилхолина.

Имеется большое количество литературных данных о влиянии адренергических веществ и биогенных аминов на клетки животных организмов. В доступной нам литературе почти нигде не упоминается о роли этих веществ в растительных организмах, хотя недавно из растений были выделены такие общеизвестные меднаторы нервной системы, как ацетилхолин и серотонин [1, 2].

Поэтому мы заинтересовались изучением влияния биогенных аминов на движение protoplazmy в растительных клетках. В этой связи наше внимание привлек такой классический объект биологических исследований, как *Nitella Syncarpa*. Методика по изучению влияния разных фармакологических веществ на движение protoplazmy изложена в наших ранних работах [3].

Оказалось, что ацетилхолин в концентрации 10^{-4} г/л вызывает замедление движения protoplazmy на 6—7 мк/сек (рис. 1). Эффект достигает максимума через 10—12 мин. После этого замедление движения protoplazmy поддерживается в течение 12—15 мин, а затем движение ускоряется и через 20—25 мин возвращается к исходному уровню.

При концентрации ацетилхолина 10^{-3} г/л наблюдается первоначальное замедление скорости движения protoplazmy на 3—4 мк/сек, которое достигает максимума через 3—5 мин, затем движение ускоряется и через 12—15 мин возвращается к исходному уровню (рис. 1). После этого скорость движения protoplazmy постепенно увеличивается и за 25—30 мин превышает исходный уровень примерно на 3—5 мк/сек.

Серотонин в концентрации 10^{-4} г/л (рис. 2) вызывает первоначальное ускорение движения protoplazmy до 6—7 мк/сек, которая достигает максимума через 6—10 мин. После этого скорость движения protoplazmy замедляется на 3—4 мк/сек от исходного уровня и максимум замедления наблюдается через 10—12 сек. Затем скорость движения protoplazmy увеличивается, и за 10—15 мин это изменение достигает максимума (6—7 мк/сек). Возвращение к исходному состоянию наблюдается через 12—15 мин. При концентрации серотонина 10^{-3} г/л (рис. 2) наблюдается первоначальное ускорение движения protoplazmy на 4—6 мк/сек (максимум на 6—9-й минуте), вторая

фаза, на 25—30-й минуте — замедление на 3—4 мк/сек по сравнению с исходным уровнем, а затем на 40—50-й минуте скорость движения протоплазмы возвращается к исходному уровню.

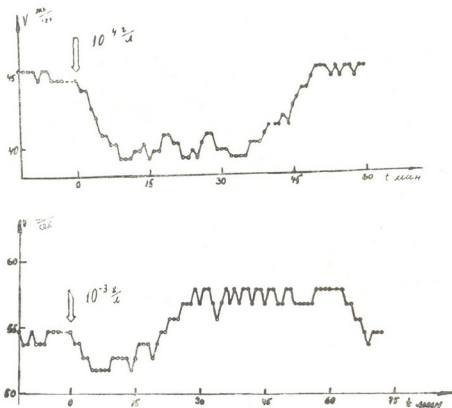


Рис. 1. Влияние ацетилхолина на движение протоплазмы клеток. По вертикали — скорость движения протоплазмы, мк/сек; по горизонтали — время, мин. Концентрация 10^{-3} , 10^{-4} г/л

Действие ацетилхолина на движение протоплазмы клеток *Nitella Syncarpa* в концентрациях 10^{-4} и 10^{-3} г/л оказалось таким же, как и действие адреналина [4], хотя меньшая концентрация ацетилхолина оказывала больший эффект, чем большая.

Из литературы хорошо известно, что адреналин и ацетилхолин действуют антагонистически на целый ряд процессов животных организмов (сокращение сердца, расширение кровеносных сосудов и др.). Что же касается действия этих веществ на движение протоплазмы растительных клеток, то, как описано выше, они обладают сходным эффектом. Мы видим, что медиаторы, оказывающие противоположное действие на животные объекты, в отношении их влияния на скорость движения протоплазмы растительных объектов не очень различаются.

Как показали наши опыты, действие серотонина на движение протоплазмы отличается от действия ацетилхолина. Серотонин сначала ускоряет движение протоплазмы, затем замедляет его, а потом скорость движения протоплазмы через ряд колебаний возвращается к исходному уровню. Ацетилхолин же, наоборот, сначала замедляет, а затем ускоряет движение протоплазмы. Действие серотонина совпадает

с действием норадреналина в малой концентрации [4] и противоположно действию адреналина.

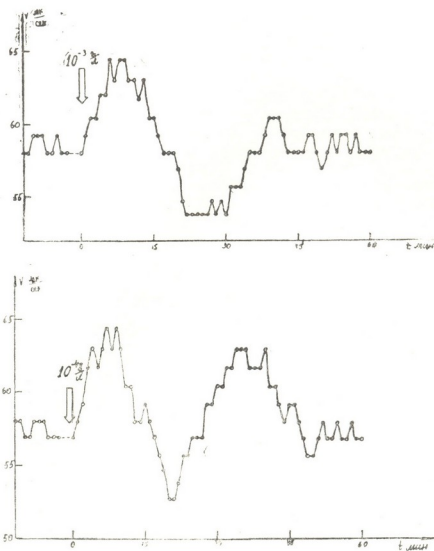


Рис. 2. Влияние серотонина на движение протоплазмы клеток. Концентрация 10^{-3} , 10^{-4} г/л

Повышение концентрации серотонина в 100 раз замедляет движение протоплазмы, в то время как ацетилхолин в этих же концентрациях приводит к летальному исходу. Отсюда можно предположить, что в наших опытах серотонин и ацетилхолин оказывают как окислительное, так и антиокислительное действие на движение протоплазмы, если считать, что изменение движения протоплазмы сопоставимо с окислительными или антиокислительными процессами клетки. Видимо, это происходит либо за счет изменения внутриклеточных энергетических процессов, либо за счет изменения мембранныго потенциала клеток.

Тбилисский государственный университет

I Московский медицинский институт

Московский государственный
университет

(Поступило 13.9.1974)

ჯ. ონიანი, ბ. ლომსაძე, ა. კუდრინი, ლ. ვორობეივი

გიორგი ამინაგის გავლენა ხარავებულ

NITELLA SYNCARPA-ს პროტოპლაზმის მოძრაობაზე

რეზიუმე

შევისწავლეთ აცეტილქოლინისა და სეროტონინის გავლენა ხარავებულ წყალმცენარეთა *Nitella Syncarpa* უჯრედების პროტოპლაზმის მოძრაობაზე, აღმოჩნდა, რომ აცეტილქოლინი 10^{-3} და 10^{-4} გ/ლ იწვევს პროტოპლაზმის მოძრაობის შენერლებას, რომელიც შემდეგ თანდათან უბრუნდება თავის პირვენდელ დონეს. სეროტონინი 10^{-3} და 10^{-4} გ/ლ პირველად აჩქარებს პროტოპლაზმის მოძრაობას, შემდეგ კი ანელებს.

ამჩინად, ამ ორი ბიოგენური ამინის მოქმედება პროტოპლაზმის მოძრაობაზე ურთიერთსაშინალმდევროა.

BIOPHYSICS

J. A. ONIANI, B. A. LOMSADZE, A. N. KUDRIN, L. N. VOROBYOV

EFFECTS OF BIOGENIC AMINES ON THE PROTOPLASM MOTILITY IN THE *NITELLA SYNCARPA* CELLS

Summary

Effects of acetylcholine and serotonin on the protoplasm motility were studied in the *Nitella Syncarpa* cells.

Acetylcholine (10^{-3} g/l and 10^{-4} g/l) is shown to decelerate the protoplasm motility which gradually restores to the control level, while serotonin (10^{-3} g/l and 10^{-4} g/l) results first in its acceleration, and then in deceleration.

Thus, these two types of biogenic amines have opposite effects on the protoplasm motility in the *Nitella Syncarpa* cells.

ლიტერატურა — ЛИТЕРАТУРА — REFERENCES

1. Ph. B. Applewhite. Physiol. Behav., 9, 1972, 869.
2. M. J. Saffe. Structural and Functional Aspects of Phytochemistry. Academic Press. Inc. New York, 1972, 81.
3. Л. Н. Воробьев, А. Н. Кудрин, Д. А. Ониани. Доклады на Международном биофизическом конгрессе в Москве. М., 1972.
4. Д. А. Ониани, Л. Н. Воробьев, А. Н. Кудрин. Сообщения АН ГССР, 73, № 2, 1974.

БИОФИЗИКА

В. В. ТЕВДОРАДЗЕ

ЭЛЕКТРИЧЕСКАЯ СПЕКТРОСКОПИЯ КОЖИ ЛЯГУШКИ

(Представлено членом-корреспондентом Академии Т. Н. Ониани 16.9.1974)

В настоящее время общепринято, что изучение электрических свойств полицеллюлярных биологических мембран может во многом способствовать выяснению механизмов важной общебиологической проблемы—сущности активного транспорта ионов и питательных веществ в мембранных клеток [1—3]. Для изучения данного вопроса используются различные биофизические и биохимические методы, в том числе ионоселективные автоматизированные системы [4—6]. Однако выяснение механизмов активного транспорта (АТ) вряд ли возможно какой-либо одной экспериментальной методикой, какой бы совершенной она ни была. Сложность данной проблемы показывает, что лишь при комплексном изучении разных сторон процессов транспорта веществ через мембранные и его связи со структурой мембранны можно надеяться на успех. В этом смысле заслуживает внимания метод электрической спектроскопии. Этот метод, или измерение импеданса мембранных биологических объектов в переменном электрическом поле в диапазоне частот от единиц Гц до тысячи мГц позволяет определить фундаментальные характеристики мембранных, такие как емкость (C) и проводимость (G) [7]. В настоящее время этим методом изучены мембранные многих объектов—эритроцитов [8, 9], бактерий [10], биомолекулярных фосфолипидных мембран (БФМ) [11] и т. д. Параметры C и G характеризуют структуру изучаемой системы и, естественно, чувствительны к ее изменениям. Следует отметить, что методом электрической спектроскопии информация может быть получена без разрушения системы в процессе измерения. Это позволяет успешно применить этот метод для изучения изменений, возникших в системе после воздействия разных физико-химических агентов.

Однако вначале следует изучить эти величины в норме, что и было проделано в настоящей работе на коже лягушки *Rana Ridibunda*.

Блок-схема использованной установки приведена на рис. 1. Измерительная схема состоит из моста полных проводимостей МПП-300 генератора ЗГ-33, осциллографического селективного индикатора нуля Ф-510 и измерительной ячейки с платиновыми платинированными электродами. Изолированная кожа лягушки (брюшной участок) фиксировалась в диафрагме между электродами и погружалась в раствор Рингера. Вся система термостатировалась. Опыты проводились при температуре 20°C. Среднеквадратичная относительная погрешность по C и G составляла 2—3%.

Результаты измерений приведены на рис. 2. Как легко видеть, наша система, представляющая собой так называемую бинарную систему [12], состоит из двух компонентов с определенной емкостью и проводимостью. Одним из компонентов является раствор Рингера, другим — кожа. В этом случае, согласно теории Ханай [12], частотные



зависимости С и G представляют собой дебаевскую кривую с одним временем релаксации. В нашем же случае кривая С(f) не полностью соответствует теоретическому виду. Однако основной принцип, т. е. то, что на низких частотах свойства бинарной системы определяются ем-

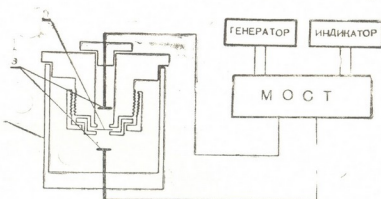


Рис. 1. Блок-схема установки для исследования электрических свойств кожи лягушки: 1 — измерительная ячейка; 2 — Кожа лягушки; 3 — электроды. Объяснения в тексте

костью и проводимостью мембраны (как участка цепи с наибольшим импедансом), остается в силе. С повышением частоты сопротивление мембранны шунтируется емкостью, что и вызывает дисперсию С(f). Согласно сказанному, по низкочастотным асимптотам зависимостей

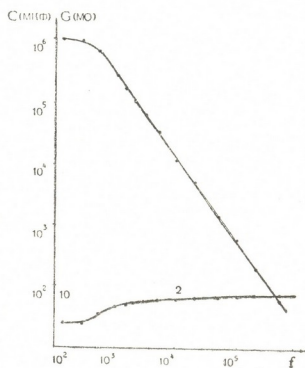


Рис. 2. Зависимость емкости (1) и проводимости (2) кожи лягушки от частоты

С(f) и G(f) можно определить значения этих параметров для единицы площади мембраны C_0 и G_0 , а зная толщину мембраны, — также и удельную проводимость γ и диэлектрическую проницаемость мембраны. Нами были получены следующие значения:

$$C_0 = 1,27 \frac{\text{мкФ}}{\text{см}^2}; \quad G_0 = 3,3 \cdot 10^{-2} \frac{\text{МО}}{\text{см}^2}; \quad \gamma = 0,67 \cdot 10^{-3} \frac{\text{МО}}{\text{см}}; \quad \epsilon = 288 \cdot 10^3.$$



Как показали расчеты, для кожи лягушки значения C , G_0 и γ близки к значению этих же параметров для других биологических объектов. Согласно [7], емкость и проводимость клеточных и субклеточных мембран составляет соответственно $0,5-1,5 \text{ мкФ/см}^2$ и $1-10^{-3} \text{ мо/см}^2$. Полученное нами большое значение относительной диэлектрической проницаемости потребует в будущем детального анализа. Можно предположить, что это связано с пористой структурой кожи. Известно, что пористые диэлектрики, в порах которых содержатся проводники, а также системы типа суспензии воды в масле обладают большой диэлектрической проницаемостью [13]. Столь большая поляризация подобных систем объясняется тем, что проводимым включениям в изоляторе можно приписать бесконечно большую диэлектрическую проницаемость.

В последующих исследованиях мы попытаемся выяснить изменения в электрических свойствах мембраны под действием разных физико-химических агентов.

Академия наук Грузинской ССР
Институт физиологии

(Поступило 27.9.1974)

გიორგი გამაძე

ვ. თევდორაძე

გაუკუს კანის ელექტრული ჰერცოგობი

რეზიუმე

ელექტრული სპექტროსკოპის მეთოდით $100-10^6 \text{ ჰერც}$ დიაპაზონში შესწავლილია ბაყაყის კანის ელექტრული მახასიათებლების დისპერსია. მიღებული შედეგები გვიჩვენებენ, რომ ამ მემბრანის ტევადობა და გამტარებლობა ახლოსა ამავე სიდიდეების მნიშვნელობებთან სხვა ბიოლოგიური მებრანებისათვის და შესაბამისად ტოლი ორიან $1,27 \text{ } \mu\text{F/cm}^2$ და $3,3 \cdot 10^{-2} \text{ mho/cm}^2$.

BIOPHYSICS

V. V. TEVDORADZE

ELECTRICAL SPECTROSCOPY OF THE FROG'S SKIN

Summary

Frequency dispersion of the electrical properties of the frog's skin (*Rana Ridibunda*) from 100 to 10^6 Hz have been studied by the method of electrical spectroscopy. The results show that the values of the capacity and conductivity of this multicellular membrane are close to those for other biological membranes, being equal to $1.27 \text{ } \mu\text{F/cm}^2$ and $3.3 \cdot 10^{-2} \text{ mho/cm}^2$ respectively.

ლიტერატურა — REFERENCES

1. H. Using, K. Zerahn. *Acta Physiol. Scand.*, 23, 1951, 110.
2. H. Using, K. Zerahn. *Acta Physiol. Scand.*, 61, 1964, 484.
3. H. Using. *Ann. N. Y. Acad. Sci.*, 1965, 543.
4. К. Ш. Надарейшвили и др. Сообщения АН ГССР, 68, № 2, 1972.
5. К. Ш. Надарейшвили и др. Сб. «Вопросы биологической и медицинской техники», 1. Тбилиси, 1973, 215.
6. К. Ш. Надарейшвили, В. В. Тевдорадзе. Сб. «Вопросы биологической и медицинской техники», 2. Тбилиси, 1974, 183.
7. H. Shwan. *Physical Techniques in Biological Research*, ed. by W. L. Nastuk, part B. Acad. Press, 1953, 323.
8. H. Fricke. *Nature*, 172, 1953, 731.
9. Т. Челидзе и др. *Биофизика*, 18, 1973, 932.
10. H. Shwan. *Advances in Medical Physics*, 5. N. Y., 1957, 119.
11. P. Muller *et al.* Formation and properties of bimolecular lipid membranes, in: "Recent Progress in Surface Sciences", v. 1, Acad. Press. N. Y., 1964.
12. Т. Ханай. Сб. «Эмульсии». М., 1972, 313.
13. T. Hanai. *Kolloid*, 7, 177, 1961, 57.

გიორგიაშვილი

გ. გორგაშვილი, დ. კირილაშვილი

გლუტამატის ზანგვის ტრანსამინაზული და დეპილობინაზული
გზების ენერგეტიკული ეფექტურობა ვაჭის ფოთლებში

(წარმოადგინა ყადემიერს ს. დურმაშვილ 10.9.1974)

ჩვენი აღრე ჩატარებული ცდებით დადასტურდა, რომ გლუტამატისა და
გლუკონის აერობული კატაბოლიზმი მშენდლობა ერთმნეთთან დაკავშირებული;
კერძოდ, მთელ რიგ შემთხვევაში გლუკონის საშუალებით მიღებულია
გლუტამატის უანგვის საგრძნობი (C¹⁴O₂-ის გამოსავალი
5-C¹⁴-გლუტამატიდან). შეორე მხრივ, გლუტამატის გავლენით ითრგუნდა
გლუკონის გლუკოლიტური გარდაქვნა და პარალელურად იზრდება გლუკონო-
6-ფროსტატლეპილოგნეზის (ფ. კ. 1. 1. 49) ხევდრითი აქტივობები [1, 2].
ამასთან დაკავშირებით გამოვთქვით მოსაზრება, რომ „ქონქურენცია“ გლუ-
ტამატისა და გლუკონისა შორის ხორციელდება ქრებსის ციკლის დონეზე. რო-
გორც ჩანს, გლუტამატი პასტერის ეფექტის მექანიზმით ანელუბს გლუკონის
და გლუკონის გადართვა ხდება უანგვის ალტერნატულ გზაზე — ჰენტრო-
ფოსფატურ ციკლში. ამ ორი ნივთიერების უანგვით გარდაქმნათა შესაძლო
ურთიერთგავლენის არსებობა, უპირველეს ყოვლისა, უჯრედის ენერგეტიკუ-
ლი მოთხოვნილებით უნდა იყოს განვითარებული.

იღნიშნულიან გამომდებარებულ უდავოლ სანტერერსოს წარმოადგენდა იმის
გატენევა, თუ გლუტამატის უანგვით გარდაქმნათა გზების რომელ უბანზე
ხორციელდება „გლუკონური კონტროლი“. როგორც ცნობილია, გლუტამატი
უჯრედში ტრანსამინაზული და დეპილობენაზული გზებით გარდაქმნება,
ამიტომ ჩვენი სამუშაოს მიზანს შეაღენდე უანგვის ამ გზების ენერგეტიკუ-
ლი ეფექტურობისა და მათ ფუნქციონირებაზე გლუკონის გავლენის შესწავლა.

გლუტამატის უანგვის ინტენსივობის შეფასებისათვის კრატერიუმად კვლავ
C¹⁴O₂-ის გამოსავალი მივიღეთ, ხოლო პროცესის ენერგეტიკული ეფექტუ-
რობის შესაფასებლად გამოვიყენეთ ადენილატური სისტემის ცალკეულ კომ-
პონენტთა შენიშვნელობები და ენერგეტიკული პოტენციალი (ც. წ. „ენერგიის
მუხრი“ ა. ტ. კინ ს თხის [3] მიხედვით).

გამოყოფილი C¹⁴O₂-ის რადიოაქტივობას ესაზღვრავდით SL-30 ტიპის
სცინტილაციურ მოვლენები. ადენოზინფოსფატების რაოდენობის გან-
საზღვრისათვის გამოვიყენეთ მათი ქალალზე ქრომატოგრაფირება [4].

1 ცხრილში მოყვანილია ცდების ერთ-ერთი ტიპიური სერიის შედე-
გები, საიდანაც ჩანს, რომ მეუნდმარქავასა და პირობოქსალ-5'-ფოსფატის
დამატებით pH 8,4-ზე 5-C¹⁴-გლუტამატიდან ~ 20% -ით იზრდება C¹⁴O₂-ის გა-
მოსავალი. აღნიშნული გზით გლუტამატის გარდაქმნა მაქსიმალურია (~ 45 %
სტიმულაცია) საჩარეაციო არეზე პ-აზ-3-თანამყოფობისას. რაც შეეხება პ-აზ-3-,
მისი ეფექტი პროცესის უმნიშვნელ შეზღუდვაში (~ 4%) მდგრადარებს.
ადგვ. მასტიმულირებელი მოქმედება უჯრედის ენერგომომარაგებასთან ტრან-
სამინაზული გზის უშეალო კავშირზე მიუთიხებს.

გლუტამატის გარდაქმნის ტრანსამინაზულ გზაზე გლუკონის მნიშვნელო-
ვან მოქმედებას არ ავლენს. მისი გავლენით C¹⁴O₂-ის რადიოაქტივობა მნი-
ლოდ 6,7%-ით ქვეითდება. ეს შედეგი სრულ შესაბამისობაში იმყოფება ჩვენ
მიერ ვაზის ფოთლის მიტოქონდრიტებზე აღრე ჩატარებული ცდების შედეგი-
30. „მომზე“, გ. 77, № 2, 1975



თან [5]. აღმოჩნდა, რომ ამინისტრაციანსფერაზეს აპტიმალური ფუნქციონირებას P/O კონფიდენტი გლუკოზის გავლენით მხოლოდ ~ 2%-ით მცირდება.

ინტენსიურად ხორციელდება ვაზის ფოთლებში გლუტამატის გარდაქმნა დეპიდროგენაზული გზით. განსაკუთრებით ეჯექტური ნად-სპეციფიკული აქტივობა. სარეაქციო არეში ა ადჰ-ს თანამყოფობით გლუტამატის აღნიშვნულ გზით დაუანგვის დონე თითქმის ორკეცდება. აღსანიშვნავია, რომ ა ადჰ-ს გავლენით ნად და ნად-ს-სპეციფიკული აქტივობები თანაბრძებიან, ე. ი. შემიჩნევა ნად-ს-სპეციფიკული აქტივობის შედარებით ძლიერი აქტივაცია. ა ადჰ-ს მოქმედება ამ შემთხვევაშიც პროცესის უმნიშვნელო დათვალისწილებული გამოიხატება. მიღებული მონაცემები საშუალებას გვაძლევენ ვივარაულო, რომ გლუტამატის გარდაქმნის დეპიდროგენაზული გზა უკრედის ენერგომომარაგებასთან უფრო მჭიდროდ უნდა იყოს დაკავშირებული, ვიღებ ტრანსამინაზული გზა.

ცხრილი 1

შესაბამისი კონფერენციის, გლუკოზის, ა ადჰ-ს და ა ატ-ს გავლენა გლუტამატის უანგვის ტრანსამინაზული და დეპიდროგენაზული გზების ფუნქციონირებაზე ვაზის ფოთლებში

№	ცდის ვარიანტები	რადიოაქტივული 10 ³ მც/წთ
1	5-C ¹⁴ -გლუტამატი	10,24
2	" + მეტანმარმევა პირიდოქსალფოსფატი	12,25
3	" + ა ადჰ	18,00
4	" + ა ატ	11,80
5	" + ა ადჰ + გლუკოზია	16,80
6	" + ნად	12,36
7	" + ნად + ა ადჰ	20,45
8	" + ნად + ა ატ	14,96
9	" + ნად + ა ადჰ + გლუკოზია	15,82
10	" + ნად-ც	12,80
11	" + ნად-ც + ა ადჰ	20,45
12	" + ნად-ც + ა ატ	12,25
13	" + ნად-ც + ა ატ + გლუკოზია	16,40
14	" + მეტანმარმევა + პირიდოქსალფოსფატი + გლუკოზია + ნად + ნად-ც + ა ადჰ	19,50

ნად(ც) და ა ადჰ-სტრიმულირებული გლუტამატის უანგვა გლუკოზის გავლენით ქვეითლება; კერძოდ, ნად-ის თანამყოფობისას ~ 23%-ით, ხოლო ნად-ც-ის თანამყოფობისას — 20%-ით. შექმნილ პირობებში გლუკოზია, როგორც დასაქანგი სუბსტრატი, შესაძლოა ენერგოდამოკიდებულ პროცესებში მონაწილე გლუტამატის ~ 1/5 ცვლიდეს. გარდა ამისა, საყურადღებოა ისიც, რომ გლუკოზის გავლენით ძლიერდება მხოლოდ კოფერმენტებით (ა ადჰ-გარეშე) გამოშვეული გლუტამატის უანგვის სტრიმულაცია. მშასაბამე, ნად(ც)-სპეციფიკული ფერმენტის აქტივობა ან მისი სისხეზე გლუკოზის (ან მისი ცვლის პროდუქტების) მხრიდან კონტროლს უნდა ეკვემდებარებოდეს.

ინტენსიურად მიღდინარეობს გლუტამატის უანგვა ტრანსამინირებისა და დეპიდროგენირებისათვის საჭირო კოფერმენტების ერთდროული თანამყოფობისას. ამ შემთხვევაში გლუკოზია უმნიშვნელოდ ზღუდვის (~ 5%) მათი გავლენით გამოშვეულ გლუტამატის უანგვის სტრიმულაციას.

2 ცხრილში მოყვანილია სტატისტიკურად სარწმუნო მონაცემები ცდის სხვადასხვა ვარიანტებში ადგენლატური სისტემის ცალკეული კომპონენტების რაოდენობრივი შემცველობის შესახებ. ნიშვნადობის ლონე (P) მიღილდეთ 0,8-ის ტოლად, ჩავთვალეთ რა, რომ ეს სიღილე საკმარისად შეესაბამება ბიოქიმიური გაზიონების სიზუსტეს.

ცხრილი 2

ადგენლატური სისტემის კომპონენტებისა და ენერგეტიკული პოტენციალის პრიშველობები ვაზის ფოთლებში გლუტამიტის ტრანსამინირებისა და დეპილროგენირების ოპტიმალური პირობებისას ($P=0,80$; $t_a=0,271$; $n=4$)

№	ცდის ვარიანტები	ამფ	ადფ	ატჟ	$\frac{\text{ენერგეტიკული}{\text{პოტენციალი}} \left(\frac{\text{ატჟ} + 1/2 \text{ ადფ}}{\text{ატჟ} + \text{ადფ} + \text{ამფ}} \right)$
		$M \pm m$	$M \pm m$	$M \pm m$	
1	ფოთლები (ინკუბაციამდე)	23±2,87	24±1,87	27±1,87	0,53
2	ფოთლები ბუფერში სამსათიანი ცნ-კუბაციის შემდეგ	30±2,87	19±3,37	18±1,89	0,38
3	ფოთლები + გლუკოზი	17±1,34	22±2,09	33±2,81	0,61
4	ფოთლები + გლუტამიტი	21±2,87	21±3,53	30±2,18	0,55
5	გლუტამიტი + მეაცენმარმევა + პიროვნებისალფოსფატი + გლუკოზი	11±2,31	28±2,31	36±1,87	0,67
6		10±2,31	28±1,87	39±2,80	0,66
7	ფოთლები + ნად	8±1,87	28±1,87	45±2,81	0,73
8	ფოთლები + ნად + გლუკოზი	3±2,63	20±1,72	40±2,87	0,83
9	ფოთლები + ნადც	4±2,17	32±2,81	54±3,35	0,78
10	ფოთლები + მეაცენმარმევა + პიროვნებისალფოსფატი + გლუკოზი + ნად + ნადც	კალი	29±1,81	53±2,63	0,84

ცხრილიდან ჩანს, რომ ატჟ-ს შემცველობის ზრდა (ვარიანტის გასაჭანი $R=18-63$ მეგ) ყოველთვის ამფ-ს მკვეთრი რაოდენობრივი შემცირების ხარჯზე ხდება ($R=35-3$ მეგ). ადფ-ს რაოდენობა ამ დროს მნიშვნელოვან ცვლილებებს არ განიცდის ($R=19-29$ მეგ), რომ გამო ცდის ვარიანტთა უძრავლესობაში ადგენლატური სისტემის ბალანსური სიღილეები თთვემის უცვლელესობაში ადგენლატური იმაზე მიუთითებს, რომ ვაზის ფოთლებში გლუტამიტის ჟანგვისას ადფ-ს წარმოქმნისა და მისი ფოსფორილების სიჩქარეები დაახლოებით თანაბარია.

უკრედში ცალკე გლუტამატი შედარებით დაბალ (~11,4%-ით) ენერგეტიკულ პოტენციალს ქრისტიან ვილტ გლუკოზი. მხოლოდ გადამინირების ოპტიმალური პირობების შექმნისას იგი ენერგეტიკულად ისეთივე ეფექტური ხდება, როგორც გლუკოზი საყურადღებოა, რომ ანიშნულ პირობებში გლუტამატით ერთად გლუკოზის დამატებით ენერგეტიკული პოტენციალი არ იცვლება და საწყის დონეს ინარჩუნებს.

მაღალი ენერგეტიკული პოტენციალია უკრედში გლუტამატის ჟანგვისას დეპილროგენზული გზით. ამ შემთხვევაში შედარებით გამოირჩევა ნადც-ს ცენტრიული ეტივობა. უკრედის მექანიზმური ენერგიულული მდგომარეობა იქმნება სარეაქციო არეში გლუკოზის დამტებით. სავარაუდოა, რომ ნადც-



სპეციფური აქტიუობა მაკროერგების უფრო ეფექტური პროცეციენტი იყოს, ვიღეთ ნად-სპეციფიური აქტივობა.

ყოველივე ზემოთქმულიდან გმომდინარე შეიძლება მივიღოთ, რომ გლუ-
ტამატის ჟანგვით დეზამინირების პროცესი არის ერთ-ერთი ის შემაერთე-
ბელი რეალი, რომელსაც შეუძლია ერთმანეთთან დააკავშიროს პენტოზო-
ფოსფატური და ლიმონუმავის ციკლები. გარდა ამისა, ალიზნული კავშირის
განხორციელებისათვის საჭიროა, რომ პენტოზოფოსფატურ ციკლში და გლუ-
ტამატის დეზამინირებისას წარმოქმნილი ალგენილი ნაფთ- H_2 მუდმივ
ტრანსფერიდონენირებას განიცდიდეს.

საქართველოს სსრ მეცნიერებათა აკადემია
მცნობელობის მინისტრი

(შემოვიდა 12.9.1974)

БИОХИМИЯ

М. Ш. ГОРДЕЗИАНИ, Д. Ф. КИНЦУРАШВИЛИ

ЭНЕРГЕТИЧЕСКАЯ ЭФФЕКТИВНОСТЬ ТРАНСАМИНАЗНОГО И ДЕГИДРОГЕНАЗНОГО ПУТЕЙ ОКИСЛЕНИЯ ГЛЮТАМАТА В ЛИСТЬЯХ ВИНОГРАДНОЙ ЛОЗЫ

Резюме

Дегидрогеназный путь окисления глютамата более тесно связан с энергетическим обеспечением клетки, чем трансаминальный путь, поскольку при окислительном дезаминировании глютамата создается более высокий энергетический потенциал. Показано, что «глюкозный контроль» осуществляется именно на этом пути.

BIOCHEMISTRY

M. Sh. GORDEZIANI, D. F. KINTSURASHVILI

ENERGETIC EFFECTIVENESS OF THE TRANSAMINASE AND THE DEHYDROGENASE WAYS OF GLUTAMATE OXIDATION IN VINE LEAVES

Summary

The dehydrogenase way of glutamate oxidation is more closely connected with the energetic security of cells than is the transaminase way, for oxidizing desamination of glutamate leads to the formation of a higher energetic potential. It is shown that dehydrogenase activity is controlled by glucose (or by products of its metabolism).

ЛІТОГРАФІЯ — ЛІТЕРАТУРА — REFERENCES

1. მ. გორგეზიანი. საქართველოს სსრ მეცნიერებათა აკადემიის მომბე, XLI, № 2, 1968, 363.
2. მ. გორგეზიანი, ნ. კალიჩივა, მ. მაჭავაძე იანი. საქართველოს სსრ მეცნიერებათა აკადემიის მომბე, 61, № 2, 1971, 441.
3. D. E. Atkinson. Metabolic Roles of Citrate. Acad. Press. London and New York., 23, 1968.
4. Специальный практикум по биохимии и физиологии растений. Томск, 1966.
5. მ. გორგეზიანი, გ. ფრიძე, დ. კინცურაშვილი. საქართველოს სსრ მეცნიერებათა აკადემიის მომბე, 67, № 2, 1972, 465.

БИОХИМИЯ

Ж. А. ИНАНЕШВИЛИ, Д. В. ГОГИСВАНИДЗЕ,
М. А. БОКУЧАВА (член-корреспондент АН ГССР)

ОБ ОБРАЗОВАНИИ СТАБИЛЬНОГО КОМПЛЕКСА
СВЕКОЛЬНО-ЧАЙНОГО КРАСИТЕЛЯ И ПРОДОЛЖИТЕЛЬ-
НОСТИ ПРОЦЕССА СТАБИЛИЗАЦИИ

Стабилизирующее действие танино-кateхинового комплекса (ТКК) на красные пигменты свеклы — бетацианины связано с образованием комплексных соединений [1, 2].

Основные процессы производства свекольно-чайного красителя: получение свекольного сока и экстракта чая, смешивание, выдержку, фильтрацию и сушку распылением или лиофилизацией — в принципе можно механизировать, автоматизировать и осуществить в потоке. Однако процесс стабилизации красителя после смешивания свекольного сока и экстракта чая предусматривает выдержку смеси в течение 12—16 часов при комнатной температуре, что удлиняет цикл производства красителя [3].

Цель настоящего исследования — ближе изучить процесс стабилизации и уточнить продолжительность этого процесса при взаимодействии свекольного сока и танино-кateхинового комплекса. Объектом исследования служил лиофилизованный свекольный сок и меченные (C^{14}) кateхины чайного листа.

Для получения красителя брали 160 мг лиофилизированного порошка свекольного сока и 40 мг танино-кateхинового комплекса (ТКК), полученного из чайного листа, тщательно перемешивали в 200 мл воды. Из полученного раствора брали 1 мл, сушили и в нем определяли радиоактивность⁽¹⁾. Радиоактивные измерения проводили по счетчику Т-25-БФЛ с радиометром ПП-8 [4]. Полученные данные явились исходными. Затем каждый час брали 10 мл красителя и обрабатывали 5 мл эфира для извлечения свободного ТКК. Эфирные фракции и ТКК объединяли, сушили и определяли радиоактивность. Точно так же остаток красителя сушили и определяли радиоактивность. О стабилизации судили по уменьшению свободных кateхинов, переходящих в эфир. Об образовании стабильного комплекса судили по увеличению содержания связанных с бетацианинами кateхинов (рис. 1, 2).

Как видно из рисунков, особенно интенсивно процесс стабилизации идет в первые часы смешивания и выдержки концентратата красных пигментов свеклы и ТКК чая. Так, при соотношении свекольного сока и чайного экстракта 80:20 процесс стабилизации протекает равномерно и, судя по уменьшению свободных кateхинов, в основном заканчивается после 9-часовой выдержки. При дальнейшей выдержке количество свободного ТКК существенно не меняется. По мере продолжения процесса выдержки опытной смеси количество связанныго ТКК

⁽¹⁾ Удельную радиоактивность выражали в имп/мин/мг.

увеличивается. Так, за 9 часов выдержки связывается примерно 75% от внесенных свободных катехинов. В течение последующих 3 часов связывается лишь 5%. Значит, за 9 часов в основном заканчивается

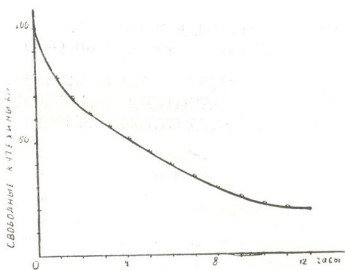


Рис. 1. Уменьшение свободных катехинов в процессе стабилизации свекольно-чайного красителя

процесс стабилизации. Таким образом, продолжительность процесса стабилизации с 12—16 часов можно сократить до 9 часов при условии соотношения красных пигментов и ТКК 80:-20.

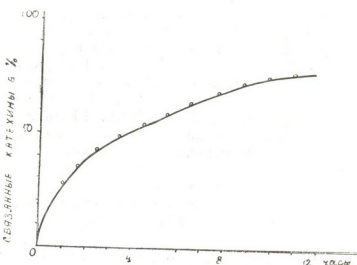


Рис. 2. Увеличение количества связанных с бетацинами катехинов

Более интенсивно процесс стабилизации идет при соотношении красных пигментов и ТКК 40:-60. В этом случае на единицу бетацининов приходится значительно больше стабилизирующего агента — ТКК, поэтому интенсивность стабилизации значительно больше, чем при соотношении 80:-20, и процесс в основном завершается за 7 часов. Таким образом, полученные данные говорят об образовании ста-



бильного комплекса при взаимодействии свекольного сока и чайных катехинов.

В заключение следует сказать, что процесс стабилизации в производстве свекольно-чайного красителя можно значительно сократить. Этот факт необходимо принять во внимание и при технохимическом контроле процесса производства свекольно-чайного красителя.

Академия наук СССР
Институт биохимии
им. А. И. Баха

Грузинский институт
субтропического хозяйства

(Поступило 19.7.1974)

ბიოქიმია

შ. ინანეიშვილი, ჯ. გოგისვანიძე, მ. ბოკუჩავა (საქართველოს სსრ
მეცნიერებათა აკადემიის წევრ-კორესპონდენტი)

შარხალ-ჩაის საღიგავის მდგრადი პომპლიზაციის
ზარმოქმნისა და სტაბილიზაციის პროცესის
ხანგრძლივობის შესახებ

რეზიუმე

შესწავლით ბეტა-ცინინებისა და კატექინების ურთიერთქმედებით
სტაბილიზაციის პროცესში მდგრადი კომპლექსური ნაერთის წარმოქმნა.
ნაჩვენებია, რომ სტაბილიზაციის პროცესის ხანგრძლივობა შეიძლება
დაყვანილი იქნას 7—9 საათიდენტო.

BIOCHEMISTRY

Zh. A. INANEISHVILI, J. V. GOGISVANIDZE, M. A. BOKUCHAVA

ON THE FORMATION OF A STABLE COMPLEX OF BEET-TEA DYE-STUFF AND THE DURATION OF THE STABILIZATION PROCESS

Summary

The formation of a stable complex was studied in the presence of the interaction of betacyanins and catechins during the stabilization process.

It was found that the length of the stabilization can be brought down to 7—9 hours.

ლიტერატურა — ЛИТЕРАТУРА — REFERENCES

1. М. А. Бокучава, Г. Н. Прудзене. Изв. АН СССР, сер. биол., I, 1970, 124.
2. М. А. Бокучава, В. И. Солнышкин, Г. З. Григорашвили. ДАН СССР, 201, 5, 1971.
3. М. А. Бокучава, В. С. Грюнер, Б. В. Кафка, Г. Н. Прудзене, О. В. Гогисванидзе, Г. З. Григорашвили. Получение и применение богатых витамином Р растительных красителей в кондитерской промышленности. М., 1971.
4. Ж. А. ИナンЕИШВИЛИ. VII Республикаанская научно-методическая конференция физиков Высших учебных заведений Грузинской ССР, посвященная 50-летию образования СССР. Тез. докл. Батуми, 1972.



МИКРОБИОЛОГИЯ И ВИРУСОЛОГИЯ

Д. В. ТАРКАШВИЛИ, Т. А. ДАТАШВИЛИ

ФИТОАУКСИНЫ В БОБОВО-РИЗОБИАЛЬНОМ СИМБИОЗЕ

(Представлено академиком Н. Н. Кецховели 11.7.1974)

Исследования, проведенные за последние годы, показали, что сорта бобовых растений проявляют различную степень восприимчивости к инокуляции [1—3].

Распространение многочисленных сортов бобовых в нашей стране, имеющих большое народнохозяйственное значение, весьма остро ставит вопрос изучения сортовых особенностей данных растений.

По работам многочисленных авторов, физиологическое состояние растений должно играть решающую роль в инфицировании бобовых клубеньковыми бактериями [2, 4].

Вопрос участия ауксинов в процессе инокуляции неоднократно обсуждался в литературе [5—7]. По данным Голстена [8], интенсивность образования клубеньков зависит от уровня корневых фитогормонов.

Значительное внимание былоделено также изучению влияния корневых выделений бобовых растений на активность и вирулентность клубеньковых бактерий [9].

Целью настоящей работы было исследование биологической активности веществ ауксиновой природы в корнях резко различающихся по степени восприимчивости к инокуляции сортов фасоли.

Степень восприимчивости к инокуляции различных сортов фасоли в условиях полевого опыта

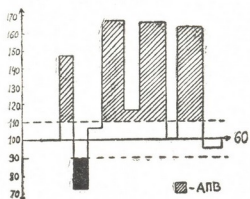
Сорта фасоли	Высота растений, см	Вес надземной массы, г	Количество клубеньков	Вес клубеньков, г
Сильноинокулированные растения				
Гурули любио	61	298,0	431	3,960
Шедрая	35	190,7	402	3,190
Шавшетура	45	206,5	354	2,150
Слабоинокулированные растения				
Цанава-3	24	190,0	101	1,030
Качкача	18	165,3	75	0,350
Борджомула-16	20	127,0	53	0,100
Ненинокулированные растения				
Самаршвле-7	27	130,1	0	0
Квилтлесла	24	160,8	0	0
Абхазура	24	120,0	0	0

Опыты ставились в Диомской экспериментальной базе Института ботаники АН Грузинской ССР. Ауксины и подобные им вещества определялись методом, разработанным в лаборатории роста и развития

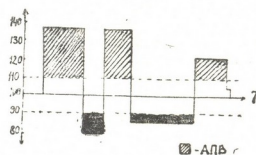
Института физиологии растений им. К. А. Тимирязева АН СССР В. Н. Кефели и Р. Х. Турецкой [10, 11]. Эндогенные ауксины идентифицировались с помощью УФ, FeCl_3 , ДСК, AlCl_3 , AgNO_3 , реактивом Сальковского и раствором ванилина. Для определения биологической активности веществ, обнаруженных на хроматограммах, применялся метод, разработанный А. Н. Бояркиным [12]. Биотестом служили колеоптилы пшеницы сорта Альбидим-43.

В таблице приводятся данные, относящиеся к интенсивности естественной зараженности различных сортов фасоли, выращенных в одинаковых почвенно-климатических условиях. Исследования показали, что изученные сорта фасоли в одинаковых условиях опыта резко различались по интенсивности инокуляции.

Представляло интерес изучение биологической активности эндогенных фитоауксинов корневых экстрактов этих растений. Вещества, обладающие ауксиновой активностью, дали свечение на УФ-свете, специфически окрашивались реактивом Сальковского и ДСК, не давали реакции с реактивом ванилина. Цветные реакции, а также биологическая активность на тестобъектах дали возможность обнаружить некоторые природные ауксины: НУК, индолил-ацетонитрил, индолильную кислоту и др.



Гистограмма 1. Биологическая активность корневых экстрактов высоконокулированного сорта фасоли Гурули лобио (реакция биотеста нарост к контролю в %)



Гистограмма 2. Биологическая активность корневых экстрактов слабонокулированного сорта фасоли Цанава-3 (прирост колеоптилей пшеницы к контролю в %)

Гистограмма 1 показывает, что элюаты отдельных зон хроматограмм, полученные из корневых экстрактов инокулированного сорта Гурули лобио, проявили высокий ростовой потенциал в биологических пробах. Высокой ауксиновой активностью обладали зоны хроматограмм на участках с Rf 0,11—0,18; 0,34—0,46; 0,55—0,69 и 0,75—0,89. Из данных гистограммы 1 видно, что биологическая активность зоны 5, совпадающей со свечением и $Rf\beta$ -НУК, по сравнению с контролем (2% раствор сахара — 100%), дала прирост колеоптилей пшеницы, равный 167,3%, а в слабонокулированном сорте Цанава-3, — 135,3% (гистограмма 2, зона 3). Биологическая активность зоны 9 (Rf 0,75—0,83), совпадающей со свечением и Rf индолилацетонитрила, составляла 161%, а в сорте Цанава-3 (зона 5) она не превышала 121,3%.

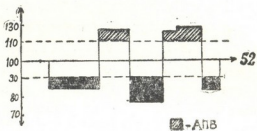
В корневых экстрактах нениокулированных сортов фасоли было обнаружено вещество ауксинового характера с сравнительно низким рост-стимулирующим потенциалом. Например, в сорте Самарцевле-7 на участке хроматограммы с Rf 0,34—0,50 было идентифицировано ве-



щество, удлинившее колеоптилы пшеницы лишь на 116,2%, а в зоне 5 — на 117,8%.

В наших исследованиях привлекает также внимание и то обстоятельство, что зоны из хроматограмм корневых экстрактов неинокулированных растений фасоли (Rf 0—0,22) ауксиноподобную активность не проявляют, тогда как в корневых экстрактах сильноинокулированного сорта Гурули лобио их величина достигала 147,0%, а в сорте Цанава-3 — 135,5%.

Гистограмма 3. Биологическая активность корневых экстрактов неинокулированного сорта фасоли Самарцвле-7 (реакция биотеста на рост к контролю в %)



Сопоставление данных вегетационных опытов с данными биопроб позволяет сделать вывод, что сорта фасоли, проявившие высокую восприимчивость к инокуляции, характеризуются большим набором веществ с повышенной ауксиновой активностью, чем корневые экстракты слабоинокулированных или же неинокулированных растений.

Наблюдается корреляция между клубенькообразованием и активностью отдельных компонентов рост-стимулирующих веществ, полученных в эфирных фракциях.

Подводя итог, можно заключить, что фитолуксины, локализованные в корневой системе бобовых растений, возможно, обусловливают степень восприимчивости к инокуляции в различных сортах фасоли.

Академия наук Грузинской ССР
Институт ботаники

(Поступило 19.7.1974)

აიდოგიოლოგია და ვირსოლოგია

დ. თარეზებიძე, თ. დათავიძე

ფიზიოლოგიური კარბოსან-რიზოგიალურ ცემიოზე

რეზიუმე

შესწავლითი ინკულიაციისადმი განსხვავებული მიღრეკილების მქონე ლობითი ჯიშების ფესვის ექსტრაქტების ბიოლოგიური ქტივობა. ეთერის ფრაქციების ცალკეული კომპონენტების ბიოქიმიური შემოწმებით დადგენილ იქნა კორელაცია კოქტების წარმოქმნასა და აუქსინის ბუნების. ნივთიერებების ქტივობას შორის. ფესვის სისტემაში ლოკალიზებული ფიზიოლოგიური ქტივობა და რაოდენობა შესაძლებელია წარმოადგენდეს ერთ-ერთ იმ ფაქტორთაგანს, რომელიც განაპირობებს ლობითს სხვადასხვა ჯიშის განსხვავებულ მიღრეკილებას ინკულიაციისადმი.

D. V. TARKASHVILI, T. A. DATASHVILI

PHYTOAUXINS IN LEGUMINOUS-RHIZOBIUM SYMBIOSIS

Summary

The biological activity of root extracts of different bean varieties has been studied. By biochemical examination of separate parts of ethereal fractions a correlation dependence has been found between the emergence of tubercles and the activity of auxin-like substances. The activity of phytoauxins located in the root system and its number may represent one of the factors determining the degree of susceptibility to inoculation of different bean varieties.

ЛІТЕРАТУРА — REFERENCES

1. Ю. С. Бородулина. Труды Всесоюзного Ин-та с/х микробиологии, т. 12, 1951.
2. Б. В. Квасников, С. Т. Долгих. Микробиология, т. 27, 1955.
3. А. П. Петросян. Экологические особенности клубеньковых бактерий в Арм. ССР. Ереван, 1959.
4. В. Л. Кретович. Основы биохимии растений. М., 1964.
5. Р. S. Nutman. Proc. Roy. Soc., ser. B, 156, № 962, 1962.
6. М. Х. Чайлахян и др. Доклады АН Арм. ССР, т. 36, № 3, 1963.
7. В. И. Сабельникова и др. Известия АН Молд. ССР, сер. биол. и хим. наук, 3, 1971.
8. R. D. Holsten *et al.* Nature, 232, № 5307, 1971.
9. М. З. Мачавариани. Труды Ин-та земледелия АН ГССР, т. 6, 1951.
10. В. И. Кефели, Р. Х. Турецкая. Методы определения регуляторов роста и гербицидов. М., 1966.
11. В. И. Кефели и др. Сб. «Методы определения фитогормонов ингибиторов роста, дефолиантов и гербицидов». М., 1973.
12. А. Н. Бояркин. Докл. АН СССР, 59, № 9, 1948.



ЭКСПЕРИМЕНТАЛЬНАЯ МОРФОЛОГИЯ

Р. Д. ЧХЕИДЗЕ

ОБМЕН НУКЛЕИНОВЫХ КИСЛОТ В КЛЕТКАХ ВНУТРЕННИХ ОРГАНОВ У ЖИВОТНЫХ С ВЫСОКОЙ ФИСТУЛОЙ КИШЕЧНИКА

(Представлено членом-корреспондентом Академии Н. А. Джавахишвили 10.10.1974)

Ряд экспериментальных и клинических наблюдений свидетельствует о том, что развитие кишечных фистул сопровождается значительными нарушениями всасывания в русло крови питательных веществ при их введении в полость кишечника [1—4]. Очевидно, такое нарушение процессов диффузии через клетки слизистой кишечника может быть обусловлено во многом нарушениями функции их энергетических и биосинтетических систем и, в частности, синтеза нуклеиновых кислот и белков. В связи с этим в настоящей работе проверялось предположение о возможном нарушении процессов биосинтеза белков, которые в клетках регулируются системой нуклеиновых кислот. В задачу исследования входила также оценка влияния различных методов терапевтического воздействия на процесс обмена нуклеиновых кислот в клетках различных отделов кишечника после воспроизведения у животных высокой экспериментальной фистулы.

Эксперименты проводились на 48 кроликах породы фландр и шиншилла весом 3200—3400 г. Под комбинированным наркозом кроликам накладывалась фистула в области верхней трети кишечника. Были поставлены четыре серии экспериментов со следующими группами животных: I группа (12 животных) — контрольная; II группа (12 животных) — лечение введением в свищ через обтулятор-канюлю анаболического стероида с обычной белково-минеральной диетой (500 калорий сутки); III группа (12 животных) — лечение введением в свищ через обтулятор-канюлю анаболического стероида и комплекса витаминов в сочетании со специальной высокоэнергетической диетой по Мак-Кину (1970), дающей 2830 калорий сутки; IV группа (12 животных) — лечение такое же, как и в III серии с той разницей, что животные дополнительно получали через свищ в качестве питательных продуктов препараты парэнтального питания — полиглюкин и казеин (850 калорий сутки).

Анаболический стероид — ретаболил вводился по следующей схеме: в день операции — 4 мг ретаболила на 1 кг веса животного, на 4-й день после операции — 3 мг, 8-й день — 2 мг, 13-й — 2 мг, 25-й — 2 мг. За весь период лечения животные получали всего 40 мг анаболического стероида. Витамины группы в (B_1 , B_2 , B_6) вводились по 1/2 ампулы в сутки, витамин Е — по 1/3 ампулы в сутки.

Экспериментальным животным всех серий опытов ежедневно дополнительно производилось внутривенное вливание 150 мл физиологического раствора и парентерально вводились антибиотики — бициллин и стрептомицин по обычной схеме.

Нуклеиновые кислоты фракционировались по Schmidt—Thanhawer (1945), а концентрация определялась по А. С. Спирину (1958).

Раствор $\text{NaHP}^{32}\text{O}_4$ вводился за 12 часов до забоя из расчета 100 $\mu\text{c}/100 \text{ г}$ веса, после чего производилось фракционирование по описанному выше способу. С этой целью аликвоты в количестве 0,5 мл наносились на фольговые мишени, высушивались и помещались в торцовий счетчик СИ-2Б установки ДП-100. Фон составлял 0,3—0,4 имп./сек. Результаты выражались в имп. мин/мг нуклеиновой кислоты.

Цифровой материал экспериментов обработан методом вариационной статистики.

Результаты опытов по изучению включения P^{32} в различные фракции нуклеиновых кислот клеток внутренних органов представлены в табл. 1 и 2.

Таблица 1

Объект исследования	Число проб	Сутки, тыс. имп·мин/мг РНК и ДНК					
		РНК, М \pm м			ДНК, М \pm м		
		2	5	8	2	5	8
Печень	6	8,5 \pm 120	7,02 \pm 82,5	3,1 \pm 98,3	0,55 \pm 19	0,41 \pm 21,0	0,40 \pm 15
Почка	5	7,31 \pm 101	1,01 \pm 85	0,02 \pm 110	0,50 \pm 18	0,55 \pm 13	0,32 \pm 14
Кишечник							
а) Отводящий отдел	5	4,05 \pm 59,0	4,0 \pm 108	3,12 \pm 95	0,30 \pm 12	0,41 \pm 14	0,35 \pm 8
б) Приводящий отдел	5	6,9 \pm 73	7,3 \pm 120	4,17 \pm 83	0,60 \pm 15	0,71 \pm 13	0,40 \pm 11

Примечание: включение P^{32} во фракцию РНК в среднем из восьми опытов в норме; печень—15500 \pm 210 имп·мин/мг РНК; почка—11000 \pm 105; кишечник—12200 \pm 240; включение P^{32} во фракцию ДНК: печень—720 \pm 28 имп·мин/мг ДНК; почка—650 \pm 20; кишечник—700 \pm 19.

Как видно из табл. 1, в первой серии опытов наблюдалось заметное подавление включения метки во фракцию РНК и ДНК клеток внутренних органов и кишечника, особенно резко выраженное к 8-м суткам. К этому сроку уровень включения P^{32} во фракцию РНК печени снизился на 80% ($p < 0,01$), почки — на 50%, кишечника — на 70—65% ($p < 0,05$). Были выявлены также изменения при изучении характера включения P^{32} во фракцию ДНК. К 8-м суткам отмечалось угасание активности функции генетического аппарата клеток почти вдвое.

Введение животным ретаболила несколько повышало уровень включения P^{32} во фракции нуклеиновых кислот клеток внутренних органов, хотя к исходу 18-х суток процессы синтеза нуклеиновых кислот заметно снижались, о чем свидетельствует уменьшение инкорпорации P^{32} во фракции РНК и ДНК.

Более высокий уровень биосинтеза нуклеиновых кислот сохранялся у той группы животных, у которой на фоне введения анаболического стероида использовалась высокоэнергетическая диета Мак-Кина, обогащенная витаминами. Из табл. 1 и 2 видно, что на протяжении всего периода наблюдений сохранялся довольно высокий уровень включения P^{32} во фракции РНК и ДНК.

В IV серии опытов результаты изучения биосинтеза РНК и ДНК во внутренних органах показали, что введение животным парентерального питания и казеина позволяет сохранить указанные биосинтетические процессы во внутренних органах на уровне, приближающемся к данным III серии. На 2—5-е сутки уровень биосинтеза РНК в печени

и почке снизился на 30—25%, а в отводящем отделе кишки — на 40%, без существенных изменений включение в приводящем отделе. В последующие сроки наблюдалось повышение уровня включения P^{32} во фракции РНК и ДНК внутренних органов, что свидетельствовало о некоторой нормализации биосинтеза нуклеиновых кислот в клетках внутренних органов различных групп животных.

Таблица 2

Включение P^{32} во фракции РНК и ДНК внутренних органов животных
III серии опытов

Объект исследования	Число проб	Сутки, тыс. имп мин/мг РНК и ДНК									
		РНК, М±м					ДНК, М±м				
		2	5	8	18	30	2	5	8	18	30
Печень	6	7,5± 11,	10,3± 83	11,0± 102	10,8± 98	12,1± 131	0,6± 31	0,65± 18	0,75± 10	0,7± 11	0,6± 12
Почка	5	8,1± 102	9,37± 92	7,01± 120	8,98± 101	9,5± 96	0,48± 15	0,0± 13	0,70± 21	0,65± 18	0,58± 15
Кишечник											
а) Отводя- щий отдел	4	8,05± 91	9,15± 57	8,98± 89	7,9± 118	9,3± 105	0,55± 21	0,41± 12	0,53± 18	0,57± 18	0,60± 16
б) Приводя- щий отдел	5	11,0± 89	9,1± 113	10,3± 93	11,0± 120	10,5± 101	0,61± 20	0,75± 11	0,70± 13	0,60± 21	0,65± 28

По вышеприведенным данным, в зависимости от применяемого лечения изменялись темп и характер включения P^{32} , особенно во фракцию суммарных РНК клеток, в то время как уровень радиоактивности в ДНК изменялся в меньшей мере. Это может указывать на то, что ядерный материал клеток вплоть до гибели животных более устойчив и его функция и структура в определенной мере сохраняются даже при такой тяжелой патологии.

Следует также подчеркнуть, что хромосомный аппарат внутренних органов животных, получавших комплекс анаболических стероидов и богатую калориями диету, инкорпорировал P^{32} на 8—30-е сутки на 25% больше ($p < 0,05$), чем у остальных групп животных, не получавших анаболические стероиды (I, II, IV).

Проникновение в клетку анаболических стероидов и большого количества аминокислот и витаминов ведет к нормализации не только синтеза суммарных белков, но и внутриядерного биосинтеза.

Вместе с тем, данные по биосинтезу нуклеиновых кислот в приводящем и особенно в отводящем отделе кишечника свидетельствуют о нарушении в них основных биосинтетических процессов, которое может сопровождаться значительными нарушениями проницаемости мембран клеток слизистой и процесса всасывания активных биологических соединений и других минеральных веществ в русло крови. Считаем необходимым в дальнейшем определить способность клеток слизистой кишечника поглощать P^{32} в зависимости от срока, прошедшего с момента наложения искусственной фистулы.

მასალის მიზანი მოსალის

6. ჩხეიძე

ცეკლეინის მავავათა ცვლა ცხოველთა ზინაგანი ორგანოების
უჯრედებით ნაწლავის გალავი ფისტულის დროს

რეზიუმე

ექსპერიმენტი (54 კურდელზე, 4 სერიად) ნაწლავის მაღალი ფისტულის ღროს მიზნებ დავისახედ დაგვედრება ცილების სინთეზის მდგრამარეობა, რაც უჯრედში რეგულირდება ნუკლეიის მევათა სისტემით. ნაწლავთა ფისტულის ღროს მასში შეყვანილი საკვების შეწყვეტის უნარი დაქვეითებულია. დარღვეულია ბიოსინთეზური პროცესი, რასაც შესაძლოა თან აზლდეს ლორწოიანის უჯრედთა მემბრანის განვლადობის დარღვევა. მის ნიადაგზე შოშლილია ნაწლავის კედელში მხერალური, ცილოვანი და სხვა ენტრეპრიზული რესურსების შეწყვეტის პროცესი.

შემდგომში სპეირო განისაზღვროს ნაწლავის ლორწოიანის უჯრედთა შესაძლებლობა ნიშანდებული იზოტოპის შთანთქმაზე ხელოვნური ფისტულის დადებილი სხვადასხვა ვადებში.

EXPERIMENTAL MORPHOLOGY

R. D. CHXEIDZE

METABOLISM OF NUCLEIC ACIDS IN CELLS OF INTERNAL ORGANS
OF ANIMALS WITH INTESTINAL HIGH FISTULAE

Summary

An experimental study (in 4 series, with 54 rabbits) was carried out to investigate protein synthesis in terms of nucleic acid change. It is stressed that development of intestinal fistulae is attended by considerable disturbances of absorption into the blood stream of nutrients from the intestine.

The data obtained on the biosynthesis of nucleic acids in the intestine point to the disturbance of the basic biosynthetic processes, which may be attended by material disturbances of the mucous membrane cells as well as of the absorption process of mineral, protein and other substances into the blood stream.

ლიტერატურა — ЛИТЕРАТУРА — REFERENCES

1. Б. А. Вицын. Наружные кишечные свищи. Новосибирск, 1965.
2. И. З. Козлов, Т. Б. Лора и. Хирургия, № 1, 1973, 60—65.
3. М. И. Коломийченко, П. Е. Бейлин, Ю. Е. Луценко. Вестник хирургии им. Грекова, 106, вып. 3, 1971, 48.
4. G. Loyque. Am. Chir., 1970, 24, 1225—1245.

ЭКСПЕРИМЕНТАЛЬНАЯ МОРФОЛОГИЯ

Т. А. ЧУРАДЗЕ

СТРУКТУРНЫЕ ИЗМЕНЕНИЯ НЕЙРОНОВ В ЯДРАХ ПЕРЕДНЕГО ОТДЕЛА ГИПОТАЛАМУСА ПРИ ЭКСПЕРИМЕНТАЛЬНОЙ ПНЕВМОНИИ

(Представлено академиком А. Д. Зурабашвили 10.11.1974)

В проведенных нами ранее исследованиях [1, 2] было показано, что золотистый стафилококк вызывает у животных определенные структурные сдвиги в нейронах центральной нервной системы. Наиболее интенсивные изменения были отмечены в медиальной области зрительного бугра, слабее — в 4 и 17 полях, в переднем отделе гипоталамической области. Целью настоящего исследования является изучение ядер нейронов, расположенных в переднем отделе гипоталамуса, для установления различий (топики) в интенсивности поражения ядер.

Экспериментальная пневмония на кроликах вызывалась путем интравагинального введения стафилококков по методу [3]. 24-часовая бактериальная культура, изготовленная на бульоне, разбавлялась в физиологическом растворе из расчета, что 2 мл раствора содержат 1,5 млрд. бактериальных клеток. Животным раствор вводился шприцем, непосредственно в трахею, в количестве 4 мл (3 млрд. бактериальных клеток). На 3-й день инфицирования животные забивались путем введения в полость сердца 2 мл наркозного эфира. Во всех случаях (8 случаев) имело место развитие воспаления легких, которое патологоанатомически дает картину бронхопневмонии.

Вскрывалась черепная коробка, и вырезывалась передняя часть гипоталамуса. Ядра переднего отдела гипоталамической области исследовались по классификации, предложенной в [4]. Материал фиксировался в 96° спирте и заливался в парафин. На санном микротоме приготавливались серийные, фронтальные срезы переднего отдела гипоталамуса, которые далее окрашивались по методу Нисселя и гематоксилин-эозином.

Изучение ядер нейронов переднего отдела гипоталамической области показывает, что со стороны супрапитческого ядра, расположенного в каудальной области хиазмы, нервные клетки в основном носят набухший характер, формы их резко изменены. Отмечается большое количество «клеток-теней». В набухших нейронах цитоплазма сильно вакуолизирована (вакуоли крупные), иногда заполняет все тело клетки. Тигроид крупнозернистый, собран в комочки, окраска довольно интенсивная. В основном отмечается скопление тигроида по краю цитоплазмы. В цитоплазме отмечаются места, в которых тигроид не выявляется — «пустые» места. Край цитоплазмы местами не контурируется. Отмечается перинуклеарный ореол. Ядра набухшие, дислоцированы, хроматин крупноглыбчатый, довольно равномерно распределен по всему ядру. Между скоплениями хроматина — «пустые», неокрашенные места. Край ядра контурируется плохо. Ядрышки яркие, мелкие. Дендриты набухшие, резко извиты, просматриваются на небольшом расстоянии, № 77, № 2, 1975



стоянии, местами отмечаются нейроны с очень большими (гигантскими) вакуолями, в них ядра сморщены, тироид расположен лишь по краю цитоплазмы в виде узкой, прерывающейся полоски. Количество сморщенных клеток небольшое.

Изучение части супраоптического ядра, расположенного в ростральном отделе гипоталамической области по латеральной поверхности оптической хиазмы, показывает, что нейроны в основном набухшие, форма их изменена, тироид крупноглыбчатый, образует скопления, которые расположены в основном по краю цитоплазмы. Вакуоли крупные. Между вакуолями — перемычки тироида. Местами тела клеток не контурируются. Перинуклеарный ореол. Ядра в нейронах дислокированы. Хроматин образует скопления, по характеру он крупноглыбчатый. Скопления хроматина довольно равномерно распределены по краю цитоплазмы. Отмечаются «пустые», неокрашенные места. Большое количество «клеток-теней». Имеет место интенсивная глиальная реакция в обеих частях супраоптического ядра. Количество сморщенных клеток небольшое.

Изучение ядра нейронов постоптического ядра показывает, что имеет место сильная вакуолизация тел нервных клеток. Вакуоли крупные, однако количество их меньше, чем в супраоптическом ядре, особенно расположенному в каудальной области хиазмы. Тироид крупноглыбчатый, перераспределен, собран в комочки различной формы и величины. Окраска тироида интенсивная. Отмечаются «пустые», неокрашенные места в цитоплазме нервных клеток. Ядра нейронов дислокированы, набухшие. Местами края ядер слабо контурированы. Между скоплениями крупноглыбчатого хроматина — «пустые», неокрашенные места. Количество подобных мест небольшое. Ядрышки яркие, мелкие. Дендриты извиты и прослеживаются на небольшом расстоянии. Наблюдаются единичные «клетки-тени», а также единичные сморщенные гомогенно закрашенные клетки.

В нейронах, расположенных в супрахиазматическом ядре, обнаружено много «клеток-теней». Одновременно отмечаются нейроны с сильно набухшей вакуолизированной плазмой (вакуоли мелкие). Между вакуолями — мостики тироида, собранного в глыбки и интенсивно скрашенного. Края цитоплазмы в набухших клетках местами слабо контурированы. Перинуклеарный ореол. Ядра набухшие, хроматин перераспределен, крупноглыбчатый. Ядрышки яркие, мелкие. Дендриты извиты и прослеживаются на небольшом расстоянии. Единичные сморщенные клетки.

Изучение нейронов перивентрикулярного ядра показало, что тела нейронов набухшие, вакуоли мелкие, количество их сравнительно небольшое. Тироид крупноглыбчатый, собран в комочки, перераспределен, отмечаются «пустые», неокрашенные места в цитоплазме. Количество их сравнительно небольшое. Ядра слабо дислокированы, набухшие, хроматин крупноглыбчатый, довольно равномерно заполняет ядро. Ядрышки яркие, мелкие. Дендриты извиты. Единичные закрашенные клетки. Во всех ядрах отмечается сильная глиальная реакция.

Наиболее интенсивные сдвиги, вызванные введением золотистого стафилококка в передний отдел гипоталамической области, наблюдаются в нейронах, расположенных в супраоптическом ядре, особенно в его каудальной, затем в ростральных частях, а также в супрахиазматическом ядре. Со стороны нейронов, расположенных в постоптическом

и паравентрикулярном ядрах, изменения представлены несколько слабее. Полученные результаты указывают на неоднородную заинтересованность ядер нейронов переднего отдела гипоталамической области.

НИИ психиатрии

НИИ педиатрии

И. А. Асатиани МЗ ГССР

МЗ ГССР

(Поступило 14.11.1974)

მასამრიგმთხული მოძღვანელობა

თ. ჭურაძე

ჰიპოთალაზოს ფინანსის განვითარებისა და კულტურის
სტრუქტურული ცვლილებები მასამრიგმთხული პნეუმონიის დროს
რეზიუმე

ოქროსფერი სტაფილოკყის კულტურის შეყვანის შედეგად ინტენსიური ცვლილებები ვითარდება ჰიპოთალაზოს წინა ნაწილის სუპრაპტიკური ბირთვის ენირონებში, განსაკუთრებით ინტენსიური ცვლილებები გვხვდება ალბიშული ბირთვის კაუდალურ, შემდეგ მის როსტრალურ ნაწილებში და სუპრაპტიკური ბირთვში.

პნეუმონიუმის და პარავენტრიკულური ბირთვების ნეირონებში ცვლილებები შედარებით სუსტად აოის წარმოდგენილი. მიღებული შედეგები მიუთითებენ ჰიპოთალაზოს წინა ნაწილის ბირთვების არათანაბარ დაინტერესებაზე უქსერიმენტული პნეუმონიის დროს.

EXPERIMENTAL MORPHOLOGY

T. A. CHURADZE

STRUCTURAL CHANGES OF NEURONS IN THE NUCLEI OF THE ANTERIOR PORTION OF THE HYPOTHALAMUS IN EXPERIMENTALLY INDUCED PNEUMONIA

Summary

The most intensive changes caused by introduction of a culture of golden staphylococcus into the anterior portion of the hypothalamus are observable in neurons located in the supraoptical nucleus, especially in its caudal portion, than in its rostral portions or in the suprachiasmatic nucleus.

As for neurons located in the postoptical and paraventricular nuclei, these changes are relatively less intensive.

The results obtained indicate a differing interest of the nuclei of neurons in the anterior portion of the hypothalamus in experimental pneumonia.

ლიტერატურა — ЛИТЕРАТУРА — REFERENCES

1. Б. Р. Нанешвили, Т. А. Чурадзе. Вопросы психиатрии. Тбилиси, 1965.
2. Т. А. Чурадзе. Материалы по изучению некоторых особенностей клиники и патоморфологии центральной нервной системы при токсических формах пневмонии в раннем детском возрасте. Автореферат, Тбилиси, 1965.
3. С. А. Саркисов и П. И. Ремезов. Воспроизведение болезней человека в эксперименте. М., 1960.
4. А. Л. Поленов. Гипоталамическая нейросекреция. Л., 1968.



УДК 31.001—083.5.

ЭКСПЕРИМЕНТАЛЬНАЯ МЕДИЦИНА

М. Г. ЛОРДКИПАНИДЗЕ, Л. А. ТЕВДОРАДЗЕ, В. А. АХОБАДЗЕ

ЭЛЕКТРОЭНЦЕФАЛОГРАФИЧЕСКИЙ КОНТРОЛЬ ЭФФЕКТИВНОСТИ ЛЕЧЕНИЯ ОСТРЫХ, ТЯЖЕЛЫХ ЧЕРЕПНО- МОЗГОВЫХ ТРАВМ РАЗЛИЧНЫМИ ВИДАМИ ОБЕЗБОЛИВАНИЯ

(Представлено академиком И. К. Пилия 11.11.1974)

Наш экспериментально-клинический опыт [1, 2] показал, что из различных видов обезболивания (местная анестезия, общая гипотермия с барбитуратами, монокомпонентный и многокомпонентный эндотрахеальный наркоз) и принимаемых анестезирующих веществ (эфир, закись азота, новокани и нейролептаналгетики) самым рациональным и эффективным оказался многокомпонентный эндотрахеальный нейролептнаркоз.

Свое обоснование применения этого вида обезболивания в нейрохирургической практике Кремонези [3] (1965) строит на данных о том, что этот метод анестезии не ведет к повышению внутричерепного давления и не способствует развитию отека мозга.

Опыты проводились на собаках. Всего было произведено 56 опытов, из них шесть контрольных. Острая, тяжелая черепно-мозговая травма наносилась путем однократного удара металлическим молотком по специальному металлическому стержню, который имел ограничитель глубины повреждения мозгового вещества и прикладывался на заранее обнаженный свод черепа с демаркацией участка перелома размером 2×2 см. Травма наносилась в лобно-теменной области слева.

В первой группе опытов лечение осуществлялось под местным обезболиванием. Исследование биопотенциалов головного мозга было проведено у 10 животных.



Рис. 1

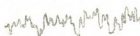


Рис. 2



Рис. 3

Фоновая активность выражалась в наличии α -волны или приближенных к ним частот 12—14, 10—12, 9 гц с амплитудой 20—30, 10—20 мкв. В результате воспроизведений травм частота волн снижалась, появлялись высокоамплитудные волны 7—9, 6—8, 9—15, 4—5 гц. В одном опыте после травмы частота волн достигала 22 гц. В результате лечения амплитуда волн доходила до 7—9, 9—15, 6—8, 4—5 гц.

Во второй группе лечение проводилось под монокомпонентным эндотрахеальным (эфир + O_2) наркозом. Исследование биопотенциалов мозга в этой группе было осуществлено у 10 животных.

Фоновая активность выражалась в наличии α -волны или приближенных к ним частот 10—12, 11, 8—12, 8 гц с амплитудой 20—30, 15—25,



5—15, 10—20 мкв. В результате травмы частота снижалась, появлялись высокоамплитудные волны 6, 3—4, 4—5 гц, 50—60, 30—60, 25—40 мкв.



Рис. 4



Рис. 5



Рис. 6

В результате лечения амплитуда волн достигала 4—7, 6, 10—12, 7—8 гц.

В третьей группе опытов лечение проводилось под монокомпонентным эндотрахеальным (N_2O+O_2) наркозом. Биопотенциалы мозга исследовались у 10 животных.



Рис. 7



Рис. 8



Рис. 9

Фоновая активность выражалась волнами или приближенными к ним частотами 8, 9—10, 7—8, 8—12 с амплитудой 10—20, 15—25, 5—15 мкв.

В результате воспроизведения травмы частота волн снижалась, появлялись высокоамплитудные колебания 4—5, 4—6 гц, 25—50, 15—40, 15—30 мкв. После лечения амплитуда волн достигала 4—5, 6—7, 10 гц.

В четвертой группе опытов лечение проводилось под общей гипотермией с барбитуратами. Исследование биопотенциалов мозга было осуществлено у 10 животных.

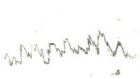


Рис. 10

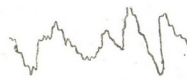


Рис. 11



Рис. 12

Фоновая активность выражалась в наличии волн или приближенных к ним частот 7—8, 9—10, 11—12 гц с амплитудой 10—20, 10—30, 15—30 мкв.

После воспроизведения травмы частота колебаний снижалась, появлялись высокоамплитудные волны 4—6 гц, 10—30, 20—60 мкв.

В результате лечения амплитуда волн снижалась в большинстве случаев. Частота волн достигала 5—6, 7—8, 9—10, 11—12 гц.

В пятой группе опытов лечение осуществлялось под многокомпонентным эндотрахеальным (НЛА+закись азота+ O_2) нейролептнаркозом. Биопотенциалы мозга исследовались у 10 животных.

Фоновая активность выражалась α -волнами или приближенными частотами 8—10, 7—8, 8—9, 8—10, 8 гц с амплитудой 10—25, 10—20 мкв.

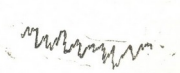


Рис. 13



Рис. 14



Рис. 15

После воспроизведения травмы частота волн снижалась, появлялись высокоамплитудные волны 4—5, 5—6, 5—11 гц. В результате лечения амплитуда волн достигала 8—10, 7—8, 6—7, 9 гц.

Таким образом, анализ полученных данных ЭЭГ при острой, тяжелой черепно-мозговой травме, леченной различными видами обезболивания, выявил, что наиболее эффективным и рациональным методом лечения посттравматических изменений головного мозга является многокомпонентный эндотрахеальный нейролептический наркоз.

Институт экспериментальной и
клинической хирургии
МЗ ГССР

(Поступило 14.11.1974)

მასალის მთავრობის მიზანი

ა. ლორთქიაძე, ლ. თევდორაძე, ვ. ახიბაძე

მკურნალობის ეფექტურობის ელექტრონციფალოგრაფიული
კონტროლი ჩატარ-ტვინის მიზანი მაგავი ტრავმების დროს
გაუტკიცარიბის სხვადასხვა სახის გამოყენებისას

რეზოუმე

ექსპერიმენტები ჩატარებულია 56 ძოლზე. შესწავლითა ვებ-ს მონაცემები ეტაპურად. ვარიაციება, რომ ტრავმის შედეგად განვითარებულ ცვლილებათა მკურნალობის ღროს გაუტკიცარების სახეებიდან უფრო ეფექტური და რაციონალური აღმოჩნდა მრავალკონენტური ენდოტრაქეალური ნეოროლეპტინარკოზი.

EXPERIMENTAL MEDICINE

M. G. LORDKIPANIDZE, L. A. TEVDORADZE, V. A. AKHOBADZE

EEG CONTROL OF THE TREATMENT EFFECTIVITY OF ACUTE,
GRAVE CRANIOTRANSMITTER TRAUMAS WITH VARIOUS
TYPES OF PAIN-KILLING

Summary

Stagewise EEG observation of 56 experimental mongrel dogs has shown that multicomponent endotracheal neuroleptic narcosis is the most effective and rational method of treating posttraumatic changes.

ЛІТОРАЛАТУРА — ЛІТЕРАТУРА — REFERENCES

1. М. Г. Лордкіпанидзе. Сообщения АН ГССР, 72, № 3, 1973, 732—736.
2. ბ. იანიშვილ. თემდობაძე, ზ. კახიანი, მ. ლორთქიფანიძე. საქ. სსრ გეცნიერებათა აკადემიის მომბეჭ. ტ. 75, № 1, 1974, 221—224.
3. E. Cremonesi, S. Bailrao сг. Rev. Brasil. anesthesiol., 1965, 15, 4, 407.

ლ. გოგიაშვილი

უცხოური მიზანის საცდლი და დაცვა
 ინტენსიური პურის

(წარმოადგინა ავადემიკოსმა შ. ძიძეშვილმა 25.11.1974)

თბილისის სახელმწიფო უნივერსიტეტის ენგბის სწავლების ახალი მეთოდების ლაბორატორიაში სუვეროპედიურ ბაზაზე დამუშავებული უცხოური ენგბის სწავლების ინტენსიური კურსის შემოწმების მიზნით ლაბორატორიის შეცვირ-თანამშრომლებმა ჩატარეს ექსპერიმენტული სერია მოსკოვში, კლაი-შედაში, ოდესაში, ბათუმში, რუსთავში და თბილისში.

1973 წლის 10 აგვისტონამდე ქ. კლაი-დაში ექსპერიმენტი რატორდა გერმანულსა და ინგლისურ ენგბში. შემსწავლელთა კონტინგენტს შეადგინდნენ კლაი-დაში საზღვაო ფლოტის თანამშრომლები.

წინაექსპერიმენტული საკონტროლო ჭრილის შედეგები, რომელიც ჩატარდა საყიდის დონის ფიქსირების პრინციპით, ასეთია (%).

თ. მ ნული და ინ. ლიტური გრუმი

№	მსენელები		100 სიტუა		10 ფრაზა		15 კითხები და პასუხი		12 ფრაზა		სშეცალ სიერთობის დონე	
	ერ. გ.	ინგ.	ერ. გ.	ინგ.	ერ. გ.	ინგ.	ერ. გ.	ინგ.	ერ. გ.	ინგ.	ერ. გ.	ინგ.
1	კ. ლ.	ო. გ.	4	10	0	0	0	0	0	10	1,0	5
2	ტ. მ.	გ. გ.	1	8	0	0	0	0	0	0	0,25	2
3	ლ. ლ.	გ. გ.	6	13	0	10	0	5	0	10	1,5	9,5
4	ს. კ.	ტ. გ.	2	14	0	0	0	5	0	10	0,5	7,2
5	ვ. დ.	გ. გ.	2	9	0	0	0	0	0	0	0,5	2,2
6	ი. პ.	ი. ი.	4	16	0	10	0	5	0	10	1,0	10,2
7	მ. ლ.	რ. გ.	1	4	0	0	0	0	0	0	0,25	1
8	ბ. კ.	ნ. კ.	5	7	0	0	0	0	0	0	1,1	1,7
9	ს. ა.	ა. ფ.	5	11	0	0	0	0	0	0	1,1	2,8
10	ვ. ბ.	კ. ბ.	4	13	0	10	0	0	0	0	1,0	5,7
11	ი. გ.	ი. ს.	2	10	0	0	0	0	0	0	0,5	2,5
12	ს. რ.	ლ. ნ.	4	14	0	0	0	5	0	10	1,0	7,2
13	კ. პ.	ი. დ.	6	6	0	0	0	0	0	0	0	1,5
14	კ. დ.	ი. დ.	9	0	0	0	0	0	0	0	0	2

როგორც წინასწარი ტესტებიდან ჩანს, მოცემული ენა მსენელთაგან არცერთს არ ჰქონდა ნასწავლი. საერთო დონის ცალკეული მაჩვენებლები, რომელიც ძრითადად მიღებულია 100-სიტუაციის ტესტის წერითი თარგმანის შედეგად, ვერავითარ ცოდნას ვერ დაადასტურებენ, ეინაიდა ამ დონს ითარგმნებოდა მხოლოდ საერთოშორისო სიტყვები ისეთი ტიპისა, რომელიცაა business, beefsteak და სხვ.

საზოგადო უნდა აღნიშვნოს, რომ კლაი-დების ორივე გრუმი გამოირჩეოდა უცხო ენათა სწავლის გაზრდილი მოტივაციით.



კლაიპედაში მეცადინეობა შარმობისაგან მოუწყვეტლივ ტარდებოდა. ითოვეულ ჯგუფს ლექსიკური მასალის სულ 9—9 დასამიასსაცრებელი სეანის ჩატარდა, რომლის დროსაც მსმენელებს ეძლეოდათ ენობრივი მასალა 1600—1800 ლექსიკური ერთეულის ფარგლებში.

მეცადინეობის 28 დღის მანძილზე ტარდებოდა საკონტროლო ჭრილები, რომლებიც დასტურებდა სასწავლო პროგრამის ათვისების მსვლელობას. კონტროლი სამჯერ ხორციელდებოდა: პირველი ოთხი სეანის ჩატარების შემდეგ შეუზე და შეექვსე სეანსების შემდეგ და ბოლოს, მეტვიდე და მერვე სეანსების შედეგ.

მიმდინარე საკონტროლო ჭრილების ჩატარებამ საშუალება მოგვცა დავედგინ, რომ სასწავლო პროგრამის ათვისების პროცესი ჯგუფში სრაბილურ ხსიათს ატარებდა. საკონტროლო ტესტირების შედეგები როგორც გერმანულ, ისე ინგლისურ ჯგუფებში საშივე სახის კონტროლის დროს შეადგინდა 80—100%-ს. გარდა იმ შემიზუა რაოდენობრივი მაჩვენებლების განსაზღვრისა, რომლებიც მიუთითებენ უხვი ენობრივი მასალის ათვისების პროცესის ეფექტურიანობაზე, ექსპერიმენტის მსვლელობისას გამოვლინდა პრობლემის თვისისობრივი მხარეები, სახელდობრი: რამდენად უნდა გამოიყენონ მსმენელები ათვისებული ლექსიკის გამოყენებას რეალურ სიტუაციაში საკომუნიკაციას მზნების მისაღწევად.

ამ თვალსაზრისით შემსწავლელო ექლეოდათ ე. წ. „შეთავაზებული გარემოებანი“, რომლებშიც მათ უხდა ემოქმედათ ამა თუ იმ საკომუნიკაციო იმიტაციის გადასასტურებლად. ამგვარი ექსპერიმენტული მუშაობის შედეგად გამოიჩინეა, რომ მსმენელები ასეთ ამოცანებს სამართლი ითლად და ძალდაუტანებლად ართვევდნენ თვეს. ამასთან, მსმენელთა სამეტყველო ქცევის დამახსიათებელი თვეისებურება იყო აქცენტირებული პერლაცია შინაარსობრივი პლანისაღმი, მაშინ როცა გამომსახველობითი პლანი საკეთებით იყო უგულებელყოფილი.

საბოლოო ტესტირების შედეგები გერმანულსა და ინგლისურ ჯგუფებში (%)

№	მსმენელები		100 სიტყვა		10 ფრაზა		10 ქოთხვა და პასუხი		12 ფრაზა		საშუალო სერთო დონე	
	ერმ.	ინგ.	ერმ.	ინგ.	ერმ.	ინგ.	ერმ.	ინგ.	ერმ.	ინგ.	ერმ.	ინგ.
1	გ. ლ.	ო. ვ.	85	95	100	85	95	80	90	90	92,5	87,5
2	ტ. ტ.	ვ. ვ.	93	90	95	93	100	90	95	100	95,7	93,2
3	ლ. ლ.	ვ. ნ.	95	98	100	100	95	100	100	100	97,2	99,5
4	ს. კ.	ტ. ვ.	84	100	90	95	95	100	100	100	92,3	98,9
5	ვ. დ.	ვ. ა.	90	94	95	100	90	95	95	100	92,5	97,2
6	ი. ჟ.	ი. ი.	85	98	95	100	95	100	90	100	88,7	99,5
7	პ. ლ.	რ. ვ.	96	90	100	90	85	95	90	100	92,3	93,8
8	პ. კ.	ნ. კ.	91	92	95	100	100	90	95	90	92,5	93,7
9	ს. ი.	ი. ფ.	89	100	95	90	90	95	100	95	93,7	92,5
10	ვ. ბ.	კ. ზ.	85	98	10	95	85	100	90	100	87,5	98,2
11	ი. გ.	ი. ს.	88	92	10	100	80	85	95	95	88,7	93,7
12	ს. რ.	ლ. ტ.	94	100	100	100	95	95	90	95	95,0	97,5
13	გ. ბ.		93		90			100		100		95,7
14	ი. დ.		98		100			95		100		97,2

უცხო ენების შემსწავლელ ადამიანთა სამეტყველო ქცევაში შინაარსობრივი და გამომსახველობითი პლანების ამგვარი შეფარდების უპირატესობანი უდავოა. მიუხედავად ამისა, საჭიროა მიუუთითოთ ამ მოვლენის უარყოფითი



მხარეზეც ასაშერი ექსპერიმენტების პირობებში. მოცემულ შემთხვევაში მხედველობაში გვაქვს მეტყველების კორექტულობის პრობლემა. სავსებით ცხადია, რომ თუკი გვექნება ობიექტური ციფრობრივი მაჩვენებლები, რომლებიც მიუთითებენ მსმენელთა უზარეს გამოიყენონ ათვისებული ლექსიკური საშუალებან, მაშინ ზემოთ მოცემულ ცხრილებით შედარებით მოვახდებოდა დაგვედისტურებინა პირველ მაჩვენებელთა მნიშვნელოვანი ჩამორჩენა მეორისაზე.

28-ღლიანი მეცანიერობის დამთავრების შემდეგ არივე ჯგუფში ჩატარდა ათვისებული მასალის საკონტროლო ჭრილი ამოსავალი ღონის განსაზღვრის სისტემით.

ექსპერიმენტის შედეგები დამატაყოლებლად უნდა ჩაითვალოს. როგორც ქვემოთ წარმოდგენილი ცხრილიდან ჩანს, საშუალო ამოსავალი ღონე ორივე ჯგუფში 80 და 100%-ს შორის მერყეობს. ეს მაჩვენებელი ნორმა ინტენსიური კურსით სწავლებისას.

ქ. კლაივედაში ჩატარებული მუშაობს ანალოგიურად ექსპერიმენტული მუშაობა გაგრძელდა ოდესის შავი ზღვის სანახონის თანამშრომელთა კონტრინგენტთა 1973 წლის 25 ოქტომბრიდან 20 ნოემბრამდე. ამ მიზნით შეიქმნა ორი ექსპერიმენტული ჯგუფი ფრანგულსა და ინგლისურ ენებში.

ოდესაში ფრანგული ჯგუფი ისეთი პირებისაგან შედგებოდა, რომელთაც არასდროს უსწავლიათ ეს ენა, მაშინ როცა ინგლისურ ჯგუფში სწავლობდნენ ისეთები, რომელთაც მოეპოვებოდათ გარკვეული ცნობები ინგლისური ენის სტრუქტურის შესახებ და მცირეოდენი ლექსიკური მარაგი. ქვემოთ მოგვყავს ორივე ჯგუფის ცოდნის საწყისი ღონის შემოწმების შედეგები.

საწყისი ღონის ტესტირების შედეგები ფრანგულ და ინგლისურ ჯგუფებში (%)

№	მსმენელები		100 სიტუა		10 ფრაზა		10 კითხვა და პასუხი		12 ფრაზა		საშუალ ოთო ღონე	
	ფრ. გ.	ინგ. ჭ.	ფრ. გ.	ინგ. ჭ.	ფრ. გ.	ინგ. ჭ.	ფრ. გ.	ინგ. ჭ.	ფრ. გ.	ინგ. ჭ.	ფრ. გ.	ინგ. ჭ.
1	3. პ.	თ. ჩ.	2	30	0	10	0	10	0	15	—	16,2
2	ა. ტ.	გ. გ.	3	40	0	20	0	15	0	20	—	23,8
3	ი. კ.	ი. გ.	2	17	0	10	0	10	0	10	—	14,2
4	გ. ჩ.	ტ. კ.	0	36	0	20	0	20	0	30	—	26,5
5	დ. ლ.	გ. გ.	6	47	0	30	0	20	0	30	—	31,8
6	რ. ვ.	ი. კ.	1	32	0	15	0	10	0	35	—	23,0
7	თ. გ.	ტ. ბ.	5	27	0	20	0	15	0	20	—	20,5
8	ი. ზ.	ნ. გ.	0	10	0	0	0	10	0	10	—	7,5
9	ი. გ.	კ. დ.	2	19	0	10	0	15	0	25	—	17,2
10	ლ. კ.	ი. კ.	4	43	0	30	0	20	0	25	—	29,5
11	გ. ზ.	ი. ზ.	1	24	0	25	0	15	0	10	—	18,5
12	კ. ფ.	ი. ი.	0	22	0	10	0	10	0	10	—	13,0
13	ლ. კ.	ლ. ჩ.	5	29	0	20	0	20	0	30	—	24,8
14	ა. პ.	ლ. ი.	1	17	0	15	0	10	0	20	—	15,5
15	გ. პ.	კ. ფ.	2	4	0	0	0	10	0	5	—	4,8
16	გ. ს.	—	10	—	10	—	10	—	5	—	8,8	—
17	გ. ი.	—	2	—	0	—	10	—	0	—	—	3,0

ოდესაშიც მეცანიერობები ტარდებოდა წარმოებისაგან მოუწყვეტლივ. მსმენელთა მოტივაციის ღონე უცხო ენის სწავლებაში გაცილებით მაღალი იყო, ვიდრე კლაივედაში.



ორივე ჭავჭავაძის ცოდნის საწყისი დონეთა შორის სხვაობამ დიდად განსაზღვრა ინტენსიური კურსის პირველი ეტაპის ჩატარების ხასათი და მსელულობა. პირველი ოთხ სეასის სასწავლო მასალის დამტესოვრება უფრო ეფექტუანად ხდებოდა ინგლისურ ჭავჭავში, რომელშიც მსმენელებს უკვე მე-5-6 დღეს შეეძლოთ საკმაოდ ძალაუტანებლად ესაუბრათ ინგლისურ ენაზე გნავლით ლექსიური მასალის ფაოგლებში. მაგრამ, უნდა აღინიშნოს, რომ თუ ფრანგულ ჭავჭავში შეინიშნებოდა ერთგვარი ჩამორჩენა მეტყველების პროცესში ულობის დონის მხრივ, სასწავლო პროგრამის რეცეპტიული შეთვასების მხრივ შეფარდება დაახლოებით თანაბარი იყო.

შემდგომი მუმაიაბის დროს შეინიშნებოდა ტენდენცია ორივე ჭავჭავში მეტყველების პროცესში ულობის შაჩქენებელთა გათანაბრებისადმი, ამასთან სასწავლო პროგრამის რეცეპტიული ფლობის დონე წინანდებურად თითქმის იგივე რჩებოდა.

დასკვნითი საკონტროლო ტესტირების დროს ორივე ჭავჭავში მიღებული შედეგები გაანალიზდა თბილისის სახელმწიფო უნივერსიტეტის ენების სწავლების ახალი მეთოდების ლაბორატორიაში შესაბამისი სტატისტიკური დამუშავებითი.

დასკვნითი საკონტროლო ჭრილის ძირითადი ამოცანები იყო მარტივი უცხოური ტესტების სმენითი გაგების ხარისხის განსაზღვრა, უცხო ენაზე ელემენტარული აზრების ზეპირი გამოხატვის შესაძლებლობის, დასმულ კითხვაზე პასუხის გაცემის უნარის, წერილობთი ტესტის გაებისა და თარგმნის, ავრეთვე უცნობი უცხოური ტესტის ხმამაღლა კითხვის უნარის განსაზღვრა.

ოდესაში ჩატარებული ექსპრიმენტული მუშაობის შედეგების შეჯამებისას უნდა მიეუთიოთ, რომ წარმოების მუშავთათვის 28-დღიანი სწავლების შედეგად დატტიცდა უცხოური ზეპირმეტყველების სწავლების ინტენსიური კურსის უდავო ეფექტუანობა. მსმენელებმა მაღლიერ ექსპრიმენტური მასალის (1500—1600 ლექსიური ერთეული) თითქმის ასპროცენტით გაგებას სმენით, დამაკავშირობლად დაუცილენ्दნ გარკვეულ საკომუნიკაციო ჩვევებს, ისწავლეს კითხვა უცხო ენაზე და დასმულ კითხვებზე სპონტანურად პასუხის გაცემა.

თბილისის სახელმწიფო უნივერსიტეტი

(შემოვიდა 26.11.1975)

ЯЗЫКОЗНАНИЕ

Л. Ш. ГЕГЕЧКОРИ ОПЫТНОЕ ОБУЧЕНИЕ ВЗРОСЛЫХ ИНОЯЗЫЧНОЙ РЕЧИ ПО ИНТЕНСИВНОМУ КУРСУ

Резюме

В экспериментальных циклах была изучена эффективность обучения иноязычной речи взрослых по интенсивному курсу, разработанному в лаборатории новых методов обучения языкам ТГУ, на базе суггестопедической методики.

LINGUISTICS

L. Sh. GEGECH KORI
EXPERIMENTAL INTENSIVE COURSE OF TEACHING FOREIGN
LANGUAGES TO GROWN-UPS

Summary

The effectiveness of teaching foreign languages to grown-ups by the intensive (high-speed) method worked out in the Laboratory of Modern Methods of Teaching Foreign Languages of Tbilisi State University, on the basis of suggestopedia methods has been repeatedly tested in a number of experimental cycles.

The paper deals with the stages of the experiment, and in conclusion, the high effectiveness of the mentioned course is illustrated.

8. 13050

ଶ୍ରୀମତୀ ପାତ୍ନୀ କଣ୍ଠରୁଦ୍ଧ ପାତ୍ନୀ ଏବଂ ପାତ୍ନୀ କଣ୍ଠରୁଦ୍ଧ ପାତ୍ନୀ

(წარმოადგინა ეკადემიის წევრ-კორესპონდენტა კ. შირვაშვილმა 11.11.1974)

სირიულ ენაში ბრუნვის კატეგორია არ გამოიჩატება. მის მაგივრობას ეწევა სახელის მდგომარეობა. მეტ არამეტლში სახელის სამი მდგომარეობა განიჩინდა: *status absolutus*, *status emphaticus* და *status constructus*. *Status emphaticus*-მ თანდათანობით დაკარგა თვეის მორფოლოგიურ ფუნქცია — სახელის განსაზღვრა და ჩვეულებრივ ფორმად იქცა. ამრიგად, იტორიულ პერიოდის სირიულში იგი არ შეიძლება ჩათვალოს განსაზღვრულ მდგომარეობად არაბულსა და ებრაულში *al-*, *ha-* არტიკულიანი ფორმების საბირისპიროდ. *Status absolutus*-ის, სახელის მარტივი ფორმის სფერო შეიძლება.

ამ სტატუსში გვხვდება ზოგი საკუთარი სახელი, უცხო წარმოშობის სახელები, კომპონიტორი, გარემოება (წინდებული + მარტივი ფორმა), ალარიცხვავი სახელი. იგი დასტურდება აგრეთვე დისტრიბუტორი განმეორებისა და უარყოფისას.

განსაზღვრულ-განსაზღვრელი ფორმების დასაპირისპირებლად სხვადა-სხვა საშუალებებს გამოიყენება: სახელის დეტრამინაცია ჩვენებითი ზეღალრთა-ვი სახელით, კუთვნილებითი ნაცვალსახელური სუფიქსებით და სის მესამე პირის ნიკანოლსახელით: *hū helga „ბერი“*.

კუთხინილება ჩვეულებრივ *status constructus*-ით გამომიცემა (kt̄ab malkā), რომელსაც თითქმის ყოველთვის შეიძლება შეენაცვლოს *status emphaticus*-ი რელატიური ა ნაწილაკით (kt̄ab hdmalkā). (ეს შენაცვლება და-უშვებელია კომპონიტებში ხელ სახტა „სინაგოგა“, b'eldəbəsh̄ „მოწინა-ღმდევე“). დასტურდება აგრეთვე შემთხვევები როდესაც სუბსტანტივს გან-საზღვრავს მეორე სუბსტანტივი ნაკალსახელური სურიქსით (kt̄abeh dmalkā).

უნდა აღინიშვნოს, რომ ეკნეტტიური კონსტრუქციის გაგებაში აზრთა ერთიანობაა სპეციალისტთა შორის [1].

ამასთან დაკავშირებით საინტერესო ჩანს არსენიოს თანურის მოსაზრება.

გამოსატული იზაფეთი ფაზურისათვის ისეთი იზაფეთური შეთანხმებაა, რომელიც იქანონობა:

- 1) რელატიური ძ ნაწილაკით — *kfābā* *dīmūsē*.
- 2) რელატიური ნაწილაკით და ნაცვალსახელური სუფიქსით — *kfābeh* *dīmūsē*.
- 3) საზღვრულის შეკვეცით — *kfābā* *māsē*.
- 4) საზღვრულის შეკვეცით და რელატიური ნაწილაკის დართვით — *kfābā* *dīmūsē*.

როგორც ვხედავთ, პირველ და მეორე შემთხვევაში გენეტიური კონსტრუქცია წარმოდგენილია *status emphaticus*-ით (რელატიური ნაწილაკით და მის გარეშე). სახელის ემფატიკური მდგომარეობა ფასურისათვის სახელის ამოსავალი ფორმა და იზაფეთური კონსტრუქციის წარმოების ძირითადი საშუალებაა. მას უპირისისირდება გამოხატული იზაფეთის მეორე სახეობა, მიღებული საზღვრულის შეკვეცით (მესამე და მეოთხე შემთხვევა), სადაც არ არის წარმოდგენილი *status emphaticus*-ის *a* დაბოლოება ანუ *status constructus*-ი.

ამრიგად, ფასურის ოთხი ზემოაღნიშნული დებულებით ჩენ ვიღებთ გენეტიური კონსტრუქციის იმ ძირითად ფორმებს, რომლებიც დაკანონებულია სირიული ენის გრამატიკებში.

შემთხვევითი არ არის ფასურის მიერ იზაფეთური შეთანხმების პირველ საშუალებად რელატიური ნაწილაკის გამოყოფა. ძ ნაწილაკი, რომელიც ნაიერ-საბითთ ბრუნვის ფუნქციას ასრულებს, გენეტიური კონსტრუქციის გამოხატვის უკელასე გავრცელებული და ძირითადი საშუალებას სირიულში. მას მთავარ მაწარმოებლად მიიჩნევს ილია თირხანელი [2]. აღსანიშნავია, რომ თვით ბარ ებრაიაც გენეტიური კონსტრუქციის ორ სახეობას განარჩევს — გამოხატულსა და ნაგულისხმევს, მაგრამ პირველ სახეობაში მხოლოდ ისეთ კონსტრუქციებს გულისხმობს, სადაც წარმოდგენილია რელატიური ნაწილაკი. ყველა დანარჩენ შემთხვევას კი ნაგულისხმევ გენეტივში ერთიანებს [3].

ფასური ითვალისწინებს როგორც არაბი, ისე ძველი სირიული გრამატიკის კოსების, განსაკუთრებით ბარ ებრაიას თეორიებს. ეჭვეგარეშეა, იცნობს ამ უკანასკნელის მოსაზრებას გენეტიური კონსტრუქციის შესახებ, მაგრამ არ იზიარებს ბარ ებრაიას მიერ მოცემულ განსაზღვრას და გვთავაზობს საკუთარ, შესაძლოა უფრო მართებულ დაყოფას (ცე ეხება განსაკუთრებით წარმოდგენილ იზაფეთს).

რაც შეეხება ნაგულისხმევ იზაფეთს, ბარ ებრაიასგან განსხვავებით, ფასურისათვის ეს არის სახელის თანკიფი, სადაც სახელი განისაზღვრება ნაცვალსახელური სუფიქსით: *kfābā*, „ჩენი წიგნი“, *kfābeh*, „მისი (კაცის) წიგნი“, *kfābah*, „მისი (ქალის) წიგნი“ და მისთ.

სირიულ ენაში ნაცვალსახელური სუფიქსები დაერთვიან სახელის ფუძეს, *status emphaticus*-ის დაბოლოების გარეშე, რის შედეგადაც სახელში ხდება გარკვეული ცვლილებები (ხმოვნის გაჩენა, მეტათეზისი, თანხმოვნის აღდგენა).

ამ ცვლილებათა მიხედვით ფასური გამოყოფს სახელის რამდენიმე ყალიბს და წარმოადგენს მათ პარადიგმებს. გარჩეულია:

- 1) სახელები, რომლებშიც ნაცვალსახელური სუფიქსების დართვისას ცვლილებები არ ხდება.

- 2) სახელები, სადაც უხმოვნო ნაცვალსახელურ სუფიქსებთან ჩნდება ხმოვანი.



3) სახელთა 'abā და 'ahā ტიპს.

სირიულ ენაში დასტურდება სახელები, სადაც პირის მხოლოდით რიცხვის (1), მეორე პირის მრავლობითი რიცხვის (kān, kēn) და მესამე პირის მრავლობითი რიცხვის (hān, hēn) სუფიქ्सებთან შესაძლებელია გაწნევები:

- ა) ე ხმოვანი პირები ძირულოთა (šmā > šemhān) ან მეორე ძირულოთ (rāhmatā > rāhemkān), ბ) ა ხმოვანი მესამე ძირ ულთან (mađbhā > mađbahkān).

ხმოვანთა გაჩენის გარდა გვაქვს აგრეთვე ვავის გაჩენის, უფრო სწორად, ოლდგენის შემთხვევებიც. ეს ახასიათებს მესამე ჭავუფს: 'abā და 'ahā. ამ სახელებში ოლდგენილია მესამე ძირული (ვავი) და ვიღებთ 'abūk, 'ahuh ფორმებს.

გენეტიურ კონსტრუქციაში, რომელიც ორ სახელს შორის მიმართების განსაზღვრულ სახელსხმაბას წარმოადგენს, პირები წევრი ყოველთვის განისაზღვრება მეორით. მასთან ერთად გენეტიური კონსტრუქციის ორივე წევრი სხვადასხვა სინტაქსურ კავშირშია ურთმანეთთან. დასტურდება შემთხვევები, როდესაც პირები და მეორე სუბსტანტივი განსაზღვრულია წმინდა გენეტიურ კავშირის: breh d'alāhā ან როდესაც ორივე წევრი სხვადასხვა გენეტიურ ურთიერთობაშია ერთ სუბსტანტივთან: 'bad pūqdānā d'ādām. ფასური განსაკუთრებულ ყურადღებას უთმობს მეგარ კონსტრუქციებს და დაწვრილებით განიხილავ მათ როგორც გამოხატული იზაფეთის სპეციალურ შემთხვევებს. აღინიშნება რეალურად წარმოდგენილი იზაფეთის ექვსი სახეობა. ესენია იზაფეთური შეთანხმებები, რომლებიც გადმოიცემა:

1) არსებითი სახელი + ზედსართავი რელატიური d ნაწილაკით(hajla rābā d'alāhā).

2) არსებითი სახელი + ზმნა რელატიური d ნაწილაკით ('bādā 'bad dam-sabrānā).

3) მსაზღვრელს + რამდენიმე საზღვრული.

4) მსაზღვრელს + მესამე პირის ნაცვალსახელი (ინვერსიული) წყობა: dmārjai 'ar'ā.

5) მსაზღვრელს + რელატიური d ნაწილაკი (საზღვრულის გარეშე).

6) იზაფეთური კონსტრუქცია, რომელშიც იგულისხმება წ, და ქ, ნაწილაკები.

სირიულში აღინიშნება ისეთი შემთხვევები, როდესაც გენეტიური კონსტრუქციის პირები და მეორე წევრს შორის ჩნდება ზედსართავი სახელი, ზმნა და ნაცვალსახელი დეტერმინაციის გაძლიერებისათვის. ასეთ კონსტრუქციებთან გვაქვს საქმე I, II და III შემთხვევებში.

რაც შეეხება იზაფეთურ შეთანხმებას ზედსართავი + არსებითი სახელი რელატიური ნაწილაკით, იგი არაბულ ყალბ იზაფეთს (اضافة غير الحقيقى) (უაბლოვდება, სადაც კონსტრუქციის პირები წევრი წარმოდგენილია ზედსართავი სახელით: رجل حسن الوجه. ფასურისათვის მსგავს კონსტრუქცია წარმოადგენს გამოხატულ და არა ნაცვლისხმევ იზაფეთს (რადგანაც გადმოცემულია რელატიური d ნაწილაკის საშუალებით).

ზოგ შემთხვევაში გენეტიური კონსტრუქცია სირიულში (ისევე როგორც არაბულში) მოცემულია ნაცვლისხმევი წ, და ქ ნაწილაკებით. ფასური აზუსტებს მსგავს შესიტყვებებს და აღნიშნავს, რომ იზაფეთი შეიძლება შე-



ენაცვლოს მა წინდებულს, როდესაც მსახლვრული აღნიშნავს მასალახებულთა
ღვრული კი საგანს, რომელიც ამ მასალისაგან არის გაკეთებული: *tārā danħāša*
„სპილენძის კარი“ *lħušā d'anġħā* „*ħaġġis ტანსაცਮेर*“ სხვა დანარჩენ ჰემ-
თხვევაში იზაფეთი გულისხმობს ქ წინდებულს *tāgħā dmalkā* „*meż-
għoġi*“.

საქართველოს სსრ მეცნიერებათა აკადემია
აღმოსავლეთმცოდნეობის ინსტიტუტი

(შემოვიდა 11.12.1974)

ЯЗЫКОЗНАНИЕ

Д. Д. СВАНИ

К ВОПРОСУ ГЕНЕТИВНОЙ КОНСТРУКЦИИ В СИРИЙСКОМ

Резюме

Рассмотрены два вида генетивной конструкции: реально выраженная — *malūtūtā qribatā* и подразумеваемая — *malūtūtā hušabijatā*.

Даны арабские эквиваленты этих терминов.

В первом виде автор объединяет все формы генетической конструкции, представленной как *status constructus* (*ktāb dmūšē*), так и *status emphaticus*.

В виде подразумеваемого изафета представлен танкиф имени, при котором имя становится определенным посредством местоименного суффикса: *ktābī* „моя книга“, *ktābāḥ* „его книга“.

LINGUISTICS

D. D. SVANI

CONCERNING THE GENITIVE CONSTRUCTION IN SYRIAC

Summary

Two types of genitive construction are considered: actually expressed: *malūtūtā qribatā*, and implied: *malūtūtā hušabijatā*.

The Arabic equivalents of these terms are presented.

All the forms of the genitive construction represented by *status constructus* (*ktāb dmūšē*) and by *status emphaticus* are classed by the author under the former construction (i. e. *malūtūtā qribatā*).

The *tancif* of a noun under which the noun is determined by means of a pronominal suffix is represented as an implied *izəfat*.

ლიტერატურა — ЛИТЕРАТУРА — REFERENCES

1. Th. Nöldeke. Kurzgefasste syrische Grammatik, Leipzig, 1898. A. Guillaumont, DLECS, V.
2. Syrische Grammatik des mar Elias von Tirhan, hrg. und übers. von Fr. Beathgen. Leipzig, 1880.
3. Le Livre des splendeurs. La grand grammair de Grigoir Barhebraeus. Lund. 1922, p. 193.

0613003500603

© 260446031

სიტყვათა რიგის ხასეათის საჭიროებათვის
შარტულ ზონადაჭვები

(წარმოადგინა აქალემიის წევრ-კორესპონდენტმა შ. ძიძიგურმა 10.11.1974)

შინამდებარე ნაშრომი ეხება გარევეულ შესიტყვებებში შემავალი სიტყვების გადაადგილების უნარისთვის და მის საფუძველზე გამოყოფილი სიტყვათვანობების ტიპების დაგრძნას.

ქართული წინადაღების ელემენტების გადაღვილების ანუ პერმუტაციული ოვისებების განსაზღვრისას აღნიშვნელ ორ შემთხვევას — თავისუფალ სიტყვათა რიგს და ფიქსირებულს (უკანასკნელს ქვეს მეტად ფაკულტატიური ხსიათი). მაგრამ აღმოჩნდა, რომ აღნიშვნული თვისებებით არ აღმოჩნდება ყველა პერმუტაციული მოვლენა ქართული წინადაღების შევრებისა. შევაღაროო, მაგალითად, ორი ორსიტყვანი შესიტყვება პერმუტაციული თვისებების თვალსაზრისით — „ეს უკანასკნელი“ და „სახლი“. პირველ მაგალითში სიტყვათა რიგი აბსოლუტურა ფიქსირებულია, ეს იგი შეუძლებელია ჩავსევათ სხვა სიტყვა მთავარ და დამოკიდებულ სიტყვებს შორის, და დამოკიდებული სიტყვის იდგილის შეცვლა მთავარის მიმართ. მეორე მაგალითში შესაძლებელია დამოკიდებული სიტყვის პოზიციის შემდეგი ცვლილებები: მთავარ და დამოკიდებულ სიტყვებს შორის შეიძლება ჩავსევა სხვა განსაზღვრება (მათი დიდი სახლი), რის შედეგადაც მნიშვნილი მთავარ და დამოკიდებულ სიტყვებს შორის იზრდება, აგრეთვე დავსევათ დამოკიდებული სიტყვა მთავარი სიტყვის მარჯვნივ — „სახლი მამისა“ (სიტყვათა რიგის უკანასკნელი ვარიანტი ბუნებრივია ძველ ქართულში, ესლაც გვხვდება გარევეულ სტრუქტურებში, საღაც მას გარევეული სტილისტიკური მნიშვნელობა ენიჭება).

— ანალოგიური მდგრამარეობაა ზენა-შემასმენლიანი შესიტყვების წევრების განლაგების ღრუს. მაგალითად, სამისიტყვიანი წინადაღებაში „ქორმა წიწილა წინადაღების ღრუს, როგორ ლ. კ 3 ა პ ა ე [4] ონდოშნავა, გვაქვე სიტყვათა რიგის კველა, ექვე ი შესაძლებელი ვარიაციის: წიწილა ქორმა წაილო, წიწილა წაილო ქორმა და ა. შ. ხოლო თუ აკოლებთ წინადაღებას: „მაგრამ მთავარი კიდევ სხვაც არის“, წინადაღების სიტყვათა რიგის შეცვლა თოთქმის შეცვლებელია (თუმცა გარკვეულ შემთხვევებში შეიძლება ითქვას „მთავარი... მაგრამ... კადეც სხვაც არის“), ხოლო სიტყვათა სერი რიგი შესაძლებელია სალაპარაკო ენაში). მოვაყუანთ კიდევ ერთ მაგალითს, სადაც წინადაღების წევრების რიგის შეცვლა შესაძლებელია, ძაგლამ არანებისმისად: „საშუალ ქართულში მთავრდება აღმოსავლელურ ენათაგნ ნასესხები სიტყვების ფრენტული ცვლილება...“. წინადაღების წევრების შეიძლება გადავსვთ ასე: აღმოსავლელურ ენათაგნ ნასესხები სიტყვების ფრენტული ცვლილება მთავრდება ს ა შ უ ა ლ ქ ა რ თ უ ლ შ ი ა ნ ს ა შ უ ა ლ ქ ა რ თ უ ლ შ ი მ თ ა ვ რ დ ე ბ ა. ხოლო

შემდეგნაირი სიტყვათვის ლაგების დროს „საშუალ ქართულ უკანონობა მოსავლურ ენათვან ნასესხები სიტყვების ფონეტიკური ცვლილება მთავრდება“ გადასაცემი შეტყობინება ხდება ორაზროვანი (საშუალ ქართულში მთავრდება, თუ საშუალი ქართულის დროს ნასესხები სიტყვების...?).

თუ ავილებთ როგორ წინადაღებას, ქაც მის შემაღენელ მარტივ წინადაღებათა თანამიმღევრისას შეიძლება ჰერონდეს ანალოგიური თესისებები. მაგალითად, შემდეგ როგორ ჰერონდეს წინადაღებებში მთავარი და დამკიდებული ყისადაღებების თახაძიძევრობა ფიქსირებულია: „გიორგი დასარულალაპარაკი, რომლის დროს მისი სტურებულთანაც ზოგნი წარბებს ჭრუსვებულნენ და ზოგნი გაცვრებულის სახით გამოიყურებოდნენ“; „მრავალდ განალენ სისხლი იძელს ალევდა შოშის, რომ ჯიხს მალე მოსტრიდა მსხვერია“; სხვა წინადაღებებში შეიღება თავისუფლად გადასვათ მათი შემაღენელი კომპონენტებით — მარტივი წინადაღებები. შეგვლითაც: „ოთხმოცდაცხრაშეტ ვაჟკაცს მოსკრეს თავი, რადგან ტყუილი ვერა თქვეს“. შევადაროთ: რადგან ტყუილი ვერა თქვეს, ოთხმოცდაცხრაშეტ ვაჟკაცს მოსკრეს თავი, ან „როცა მიწყარდა ყოველი და სოფელზე ძილმა ვაშალა ფრთხის, ვათოშმა ამოიღო ჯიბიდინ ქისა და პაპროსი გაახვია, როცა მიწყნარდა ყოველზე ძილმა ვაშალა ფრთხისი. პაპროსი გაახვია, როცა მიწყნარდა ყოველზე ძილმა ვაშალა ფრთხისი.“ შევადაროთ: გაორშემა ამოიღო ჯიბიდინ ქისა და პაპროსი გაახვია, როცა მიწყნარდა ყოველზე ძილმა ვაშალა ფრთხისი.

მეგვარად, როგორც შეიძლება დაკასკვნათ მოყვანილი მაგალითებიდან, წინადაღების ელემენტების გადასმის საშუალებანი საკმაოდ დიდია. ზოგ შემთხვევაში გადასმის სხვადასხვა საშუალებანი ძალის მაჩტივია, ზოგან კი დაკავშირებულია გარკვეულ სიძნელეებთან ანა აპსოლუტურად შეუძლებელია. იმის მიხედვით, თუ როგორ განსხვავდებიან თვეის პერმუტაციული თვისებებით წინადაღების ელემენტები, გმოვყავით ოთხი რიგი და მათ უშროეთ სიტყვათგანლაგების ტიპები (ზემოთ აღნიშნულ ორ რიგს ჩვენ დაუმატეთ კიდევ ორი).

ეს ტიპები დაღგინდა ისეთი დაქვემდებარებითი ხსიათის მქონე შესი-
ტყვებებს საფუძვლზე, რომლის წევრებს შორის არსებობს ასეთი დამკა-
ლებულება: სამარავა სტრუქტურა — მისიან უშუალოდ დამკალებული სიტყვა ან
სიტყვები. საკვლევი მასალის შეკრების დროს ყურალება ეცემოდა იმსა, რომ
შესიტყვებაში არ შესულიყო კავშირები, ექსტრესული ლექსია, ფრენე-
ლოგიზმები, რაღაც ასეთ შესიტყვებში სიტყვათა რიგი და მისი ხსიათი
განპირობებულია სხვა თვისტებით, რაც მოიხსოვს სპეციალურ შესწორას.

ასეთი შესიტუაციების ელემენტების პროცესუაციული ოვისებების სა-
ფუძველზე გამოიყო სიტყვათანალაგების შემდეგი ტიპები:

1) მკაცრად ფიქსირებული სიტყვათა ჩიგი.

შეატყობინებული სიტყვათა რიგი ეწოდება შესიტყვების ელემენტების ისეთ თანამიმდევრობას, სადაც არ შეიძლება ელემენტის ადგილის შეცვლა არც ახალი ელემენტის ჩამით, უშუალოდ დამკიდებულ იმავე მთავარი სიტყვისაგან, და არც ინერსინის საშუალებით. მავლითად: უმარცვლო უ უშებარით ტრადიციით იმავე ფურქებში... სალიტერატურო ენის ნორმატიული სასიათი.

ამ ტიპს უპირისპირდება მეორე ტიპი:

2) ဝဏ္ဏရှိနာစီးပွားရေးဝန်ကြီးမြုပ်နည်း၊ အနုတ် တာဂျိလျှော့တွင် စိတ်သွားသူ ရှိခိုင်း

ალტერნატიული, ანუ თავისუფალი ეწოდება შესიტყვების ელემენტების ისეთ თანამდებობას, სადაც შესაძლებელია ორი ან მეტი მხოლოდ ნეიტრალური სიტყვათა რიგის ვარიანტი: ყველა ღმოვიდებული სიტყვის პრემუტარიული შესაძლებლობანი მთავრობა სიტყვის მიმართ სრულიად თანაბარია. მაგალითად: მ-ე-4 წუთზე გორონის მიერ კართან მიწოდებულ ბურთს მიუსწოდა მეტრუელმა. ამ შესიტყვებაში შესაძლებელია სიტყვა

აღწერილი ორი ერთმანეთის საწინააღმდეგო ტკიპების გარდა გამოიყო კი-
დევ ორი შუალედური ტკიპი: 3) სუსტად ფიქსირებული და 4) შე-
ეცული.

4) სიტყვათგანლაგებას ეწოდება „შერეული“, თუ შესიტყვების ზოგიერთი სიტყვის პონიერი მკურად ფიქსირებულია, ზოგისა კი — სუსტად. მაგალითად, შესიტყვებაში „მილაკების საქმაოდ ფართო დამუშავება“ სიტყვათგანლაგება „საქმაოდ ფართო დამუშავება“ მკურად ფიქსირებულია, ხოლო სიტყვას „მილაკები“ შეუძლია დაიკავოს აკრეთვე აღილი შთავარი სიტყვის („დამუშავების“) მარჯნივ.

სიტყვათგანლაგების ტიპები საშუალებას გვაძლევენ შედარებით იოლად დავაღინორთ გარეული სტრუქტურების სიტყვათა რიგის ვარირების შესაძლებლობანი და მისი ნიშან-თვისებები. შესტყვების პოზიციური ტიპის ცოდნა ადვილებს შესტყვების სიტყვათა რიგის დაღვენს მისი სხვადასხვა კონტექსტში გამოყენებს ღროს და აგრეთვე შესტყვების სხვადასხვა გარდაქმნების ღროს.

არაქაცირად ფექსირებული სიტყვათაგანლაგების ტიპები განიცდიან ვა-რიჩებას განსაზღვრული ჩარჩოების ფარგლებში. მაგალითად, თუ ავილებთ სუსტად ფექსირებული ტიპის შესიტყვებას „მხატვრული ლიტერატურა“, განსაზღვრულ კონტექსტში ზედსაბოთავი სახელი შეგვიძლია დაცხეა არსებითი სახელის მარჯვნივ: „ლიტერატურა მხატვრული, პუბლიცისტური, მეცნიერული...“, ხოლო შესიტყვებაში „მხატვრული ლიტერატურის ქეგლები“ სიტყვა „მხატვრული“ ვადარ იცვლის ოდგინს, მაგრამ შესაძლებელია მთელი შესიტყვება „მხატვრულ ლიტერატურის“ დაგვათ „ქეგლები“ სიტყვის მარჯვნივ. თუ ამ შესიტყვებას დაცულატებთ გამორჩევით ნაწილაკს „მარტის“, რომელსაც ამავე დროს აყისრია ლოგიკური გამოყოფის (ქეცენტრულის) ფუნქციაც, მაშინ სიტყვათაგანლაგების ნეიტრალური რიგი მიიღებს მეცნიერად ფიქსირებულ ხასიათს: „მარტო მხატვრული ლიტერატურის ქეგლები“. იმ პირობების დადგენა, თუ როდის და როგორ ხდება პოზიციური ტიპის შეცვლა, მოითხოვს სპეციალურ კოლეგას.

საქართველოს სსრ მეცნიერებათა აკადემია
გამოთვლითი კუნძრი

Д. А. ГРИКУРОВА

К ВОПРОСУ О ХАРАКТЕРЕ ПОРЯДКА СЛОВ В ГРУЗИНСКОМ ПРЕДЛОЖЕНИИ

Р е з ю м е

На материале определенных словосочетаний грузинского языка выделены четыре типа порядка слов: жестко фиксированный, альтернативный, слабо фиксированный и смешанный.

LINGUISTICS

D. A. GRIKUROVA

CONCERNING THE CHARACTER OF WORD ORDER IN THE GEORGIAN SENTENCE

S u m m a r y

On the basis of definite word combinations in Georgian four types of word order have been identified: rigid, alternative, loose, and mixed.

ლიტერატურა — ЛИТЕРАТУРА — REFERENCES

1. А. А. Холодович. Филологические науки, № 3, 1966.
2. М. И. Откупщикова. Грамматика порядка слов для синтеза при автоматическом переводе. Автореферат. Л., 1967.
3. И. А. Мельчук. Научно-техническая информация, № 12, 1965.
4. დ. გრიკუროვა. თანამდებოვე ქართული ენის სინტაქსი. თბილისი, 1956.



ИСТОРИЯ

Л. И. МАРУАШВИЛИ, А. А. БУРЧУЛАДЗЕ, Г. И. ТОГОНИДЗЕ

«ПЕРЕКИНУТЫЕ БРЕВНА» ГЛАВНОЙ ГАЛЕРЕИ
ЦУЦХВАТСКОЙ ПЕЩЕРНОЙ СИСТЕМЫ, ИХ
РАДИОУГЛЕРОДНЫЙ ВОЗРАСТ И ИСТОРИЧЕСКОЕ
ЗНАЧЕНИЕ

(Представлено академиком Г. А. Меликишвили 12.11.1974)

Цуцхватская тринадцатиярусная карстовая пещерная система, расположенная восточнее Кутаиси, использовалась человеком начиная с нижнего палеолита и кончая феодальной эпохой [1, 2]. Предлагаемая статья касается одного из поздних памятников этой замечательной группы пещер.

В Главной галерее пещерной системы, у кровли, на высоте 18—20 м от дна галереи, в весьма труднодоступном месте виднеется горизонтально лежащее бревно, опирающееся своими концами на выступы скал. Вопрос о том, как дерево могло попасть в это место, давно интересовал ученых, занимавшихся исследованиями Цуцхватских пещер. Высказывались два предположения:

а) Бревно принесено речкой Шабата-геле при сильном паводке, во время которого Главная галерея наполнилась водой. При подъеме воды дерево всплыло, а при спаде уровня зацепилось за скалы и осталось на месте. Подобные случаи в литературе описаны для многих пещер мира; они наблюдаются и в грузинских пещерах (Келасури, Ткибула-Дзверула—устное сообщение З. К. Тинтиловсва).

б) Местные жители считали странное положение бревна делом человеческих рук, приписывая его туркам (!?).

Во время третьей комплексной Цуцхватской экспедиции Института географии им. Вахушти и Государственного музея Грузии им. С. Джанашвилли в 1974 г. «загадка бревна» была решена с помощью альпинистов Д. Симонишвили, О. Эркомаишвили и Э. Ибери. Предоставленные «Ткибулаштстроем» две восьмиметровые железные трубы позволили преодолеть нависающую скалу под перекинутым бревном; дальше подъем совершился посредством вбивания стальных крючьев в трещины скал. В результате двухчасовой работы О. Эркомаишвили, а за ним археолог Т. Мешвелани обогнули бревно и проникли в открывавшуюся за ним каменную щель.

Оказалось, что, кроме виднеющегося из Главной галереи бревна, позади него, поперек щели, на различных уровнях лежат еще три бревна, опирающиеся своими концами на скалы. Все бревна носят следы искусственной обработки — обтесаны с двух противоположных сторон, а в некоторых случаях имеют выемки, сделанные с целью их приспособления к неравновысотным точкам опоры (см. фото). По нашей просьбе, О. Эркомаишвили сбросил одно из невидимых снизу бре-

вен на дно галереи (первое, видимое снизу бревно не было тронуто как имеющее показательное историческое значение).

При падении на камни сброшенное бревно переломилось пополам. Бревно дубовое, длиной до 2 м и с поперечником в 20 см. Древесина сохранила свою твердость, но факт перелома бревна при падении говорил о его значительной древности. Для определения абсолютного возраста бревна от него был отрезан образец.

Радиоуглеродный анализ древесины в лаборатории Тбилисского университета показал возраст 605 ± 40 лет, что соответствует периоду с 1329 по 1409 г. Таким образом, вышеописанные бревна доставлены в щель кровли Главной галереи Цуцхватской пещерной системы во второй половине XIV или в начале XV в. Относительно хорошая сохранность древесины объясняется ее постоянным нахождением в условиях пещерного климата (отсутствие прямого воздействия солнечной радиации, смягчающие колебания температуры, отсутствие атмосферных осадков и вообще воды, хорошая проветриваемость).

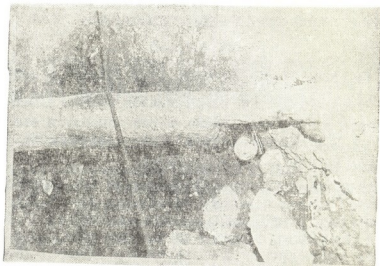


Рис. 1

Возникает вопрос о целевом назначении этого своеобразного сооружения в пещере, его историческом смысле, а также о технических способах его выполнения. Некоторый свет на назначение памятника проливает воспоминание 80-летнего жителя села Цуцхвати Владимира Амколадзе. По его словам, в пору его юности на первом, видимом снизу бревне висела епитрахиль⁽¹⁾, а выше был воздвигнут крест. Позже один из цуцхватских крестьян сумел подняться туда, снять и унести названные предметы (последний факт как будто подтверждается тем, что при подъеме О. Эркоманишвили к бревну был обнаружен вклиниенный в узкую трещину скалы кусок толстой железной проволоки). Таким образом, «сооружение» должно было служить религиозным, христианско-пропагандистским задачам правящих кругов средневековой Грузии. Это тем более вероятно, что время сооружения па-

⁽¹⁾ Епитрахиль — часть одеяния священника, носимая на шее (по грузински «олари»).

мятника, указанное изотопным определением возраста древесины, совпадает с эпохой нашествий Тамерлана, силой насаждавшего на Кавказе ислам [3—5]. В условиях средневековья наличие атрибутов христианской религии в столь недоступном месте грандиозной пещеры должно было казаться простому народу «чудом» и агитировать за эту религию.

Что касается технических приемов выполнения «сооружения», то нет необходимости в признании особого мастерства его творцов. Дело в том, что, по геоморфологическим наблюдениям 1974 г., щель с бревнами является северным продолжением пещеры Двойной Грот, открывающейся на юг. В настоящее время открытого сообщения между Двойным Гротом и щелью с бревнами нет, но оно могло существовать до сооружения пещерной молельни. Строители последней могли использовать имевшийся ход для доставки материала на место сооружения, а затем завалить его и сделать свое произведение практически недоступным.

Окончательное решение загадки перекинутых бревен Главной галереи Цуцхватской пещерной системы, возможно, будет найдено в процессе дальнейших работ Цуцхватской комплексной экспедиции и, в частности, планируемых раскопок Двойного Грота.

Академия наук Грузинской ССР
Институт географии им. Вахушти

(Поступило 14.11.1974)

ისტორია

ლ. მარჯავანიშვილი, ა. ბუჩაძე, გ. ტომონიძე

ცუცხათის მღვიმოვნის გთავარი თალანის „გადიგული
მოჩები“, მათი რადიონაზორებადაული ასაკი და
ისტორიული მნიშვნელობა

რეზიუმე

ცუცხათის მღვიმოვნის მთავარი ტალანის ჭერთან, მიუღომელ ადგილის შემორჩენილი ხის მორები, რომლებიც წყალდიდობისას ბუნებრივად შემოტანილად ითვლებოდა, ხელოვნურად დამუშავებული და გადებული გამოდგა. C¹⁴ ანალიზით მათი ასაკი განსაზღვრული იქნა 605 ± 40 წლად. უხუცეს ადგილობრივ მცხოვრებთა მოგონებით, XIX ს. დასაწყისამდე ერთ-ერთ მორჩე ეკიდა ოლარი, ხოლო მის ზევით ჭარი იყო ოღართული. შემდგომში ეს საგნები ჩამოდებულ იქნა. არსებობს საფუძველი ვივარაულოთ, რომ თემურლენგის შემოსევებისა და ისლამის მოძალების ეპოქაში ცუცხათის მღვიმოვნიში მიუვალ ადგილს გამართული სალოცავი მიზნად ისახავდა ქრისტიანობის პროპაგანდას. მისი მასალა შეიძლება შემოტანილი იყოს „ორმაგი ეხიდან“, რომელსაც უკავშირდებოდა მორების უკან არსებული ხერელი.

L. I. MARUASHVILI, A. A. BURCHULADZE, G. I. TOGONIDZE

THE "CROSS-BEAMS" IN THE MAIN GALLERY OF THE
TSUTSKHVATI CAVE COMPLEX, THEIR RADIOCARBON
DATING AND HISTORICAL VALUE

Summary

The beams preserved in an almost inaccessible spot, under the roof of the main gallery of the Tsutskhvati cave complex (the vicinity of Kutaisi, Georgian SSR) were thought to have been brought by a high water of the Shabata-gele. However, a study has shown that the beams were cut and laid by human hands. Radiocarbon analysis has shown the age of the beams to be 605 ± 40 years. As testified by the aged residents of Tsutskhvati, at the end of the last century an epitrachelion was hanging from one of the beams with a cross raised a little higher up. Later these articles were taken down. There are grounds to suppose that during the invasions of Tamerlane and forced spread of Islam a chapel built in an inaccessible part of the Tsutskhvati cave system was intended for the propagation of Christianity. The building material could be brought from the Double Grotto which communicated with a crevice just behind the beams.

ლიტერატურა — ЛИТЕРАТУРА — REFERENCES

- Л. И. Маруашвили. Сообщения АН ГССР, т. 46, № 1, 1967.
- ლ. მარუაშვილი. მღვიმეთმცოდნეობის საფუძვლები. თბილისი, 1973.
- ქართლის ცხოვრება, ტ. II. თბილისი, 1959.
- ვახტაგ გრიგორიანი. სამეცნია საქართველოსა (ქართლის ცხოვრება) IV. თბილისი, 1973.
- История Грузии, ч. I. Тбилиси, 1946.

თ. ვაჩარიშვილი

რძის პროდუქტების დამზადებისათვის განკუთვნილი
სამზურიო ნაგებობანი ჩვემო ძართლი

(წარმოადგინა აკადემიკოსმა გ. ჩიტამაშ 15.7.1974)

საქართველოს სსვალასხვა კუთხებში, სადაც მესაქონლეობა მეტად იყო განვითარებული და მოსახლეობის ერთ-ერთ საარსებო წყალოს წარმოადგენდა, საცხოვრებელ და სამეურნეო ნაგებობათა კომპლექსში რძის პროდუქტების დამზადებისათვის გახუთვნილ სათავსოებს სავაგებო ადგილი ჰქონდა მინეული. კერძოდ, ხევსურულ კლოინ სახლში რძის პროდუქტების დამზადება-შენხევისათვის გახუთვნილი იყო სათავსო „სენეს“ სახლშოდებით. „სენე“, „შინას“ წინა კედელთან ეწყობოდა; ერთი მხრივ გამოიყენებოდა „შინას“ გვერდის ყორის გაგრძელება, ძორე მხრივ — „შინას“ წინა ყორე, ხოლო მესამე და შეოთხე კედელი იყო მოწურული და ფიცრული ([1] 151, 154). ამვე მსამართი და შევერტებით „სენეს“ XI ს. ნიკორწმინდის სიგელში ვხვდებით, სადაც აღნიშვნულია: „შევერტებ სახლი მუხისა: ა: და ზედა სახლი კორელიანი და სენიანი: ა: ა“ ([2], 34).

ტერიტორიულ სახლში, იგივე დანიშნულების სათავსო „სარძიეს“ სახლშოდებით აქარული სახლის მეორე სართულზე იყო მოთავსებული და უშუალოდ სამშრეულოს კერძოდა ([3], 129). ტერიტორიულ საცხოვრებელ კომპლექსში შედის აგრეთვე სეზონური ხასიათის საცხოვრებელი ნაგებობა „ძირთული ჯარგვალი“, რომელიც პორიზონტულ განზომილებაში განვითარებულ კომპლექსურ ნაგებობას წარმოადგენს. აյ ერთი სახურავის ევეშ აღამინის საცხოვრებელთან და ძირითად საცხოვრენ სათავსოებან ერთად წარმოადგენილი „სარძიე“ ([3], 10). „სარძიე“ გვხვდება მესამე სახლშიც ([5], 18).

იყალ. გ. ჩიტამაში ვარაუდით, ხევსურულ-აქარული „სენე“-„სარძიეს“ მსახისი ნაგებობის არსებობა დამოწმებულ უნდა იყოს XVII ს. სამეგრელოს ეთნოგრაფიულ ყოფაშიც. ქრ. კასტელის ალბომში მოცემული სახლის სურათის მიხედვით, სადაც საცხოვრებელი სახლის ერთ კუთხეში იკითხება ჭარწერა „Cassina“, რაც „სარძიეს“ აღნიშვნას ([1], 159).

ქვემო ქართლის ეთნოგრაფიულ ყოფაშიც დასტურდება რძის პროდუქტების დასაბუსვებელ-შესანაბ სათავსო, რომელიც ოთხრიწყაროს რაიონის მთიელ-გუდამაყრელ მოსახლეობაში „სარძეულას“, ხოლო ბოლნის-დმანისის რაიონის ქართულ მოსახლეობაში „საფილავის“ სახლშოდებით არის ცნობილი.

„სარძეულა“ მიშენდებოდა საცხოვრებელი სახლის I სართულზე ჩრდილის მხრიდან, ისე რომ ერთ კედელად სახლის კედელი იყო გამოყენებული, ხოლო დანარჩენი სამი კედელი კეთდებოდა ფიცრული ან მოწურული. ეს კედელები ისე იყო მოყვანილი, რომ ფიცარსა და ფიცას შორის „შემრტანები“ იყო დატანებული იმსათვის, რომ ნაის თავისი ფიცა დამოძრავა, რაღაც, როგორც ცნობილია, რძის პროდუქტებისათვის პარალელურ განვითარებაში მართავდნენ. „სარძეულაში“ თაროები იყო გამართული ვარცლების ჩამოსადგმელად.

„სარძეულასაგან“ განსხვავებით „საფილავი“ გატანილი იყო სახლიდან და ცალკე ნაგებობას წარმოადგენდა, ეზოში შეარჩევდნენ შედარებით მაღალ დაგილს, მოსომავდნენ ორ მეტრამდე ადგილს, ჩასაბლნენ დაახლოებით



შეტრონახევრის სიმაღლის ბოძებს, გვერდებიდან ამოწნაუდნენ, ზემოღამ ფიტ-რებს დააფარებდნენ, ჩრდილის მხრიდან კარებს შეაბამდნენ, შიგნით 2—3 ფარგლებს გასდებდნენ თაროებად ვარცლების ჩამოსაღმელად. „საფილავს“ 2—3 კომლი ერთად შეარბობა.

ზეტესულობით მთაში ყოფნის დროს საცხოვრებელი ქოხის — „დაგას“ ერთ-ერთ კუთხეს გამოიყენებდნენ რძის პროდუქტების დამზადება-შენახვი-სათვის; მასაც „საფილავს“ ერქვა. თანამედროვე ირჩებში ბოლნის-მანის რაიონში „საფილავს“ იშვიათად აგვებდა. ამჟამად მის დანიშნულებას ას-ტულებს აიგნის ერთ კუთხეში თოკებით ჩამობმული ბრტყელი ფიცარი, რომელზედაც დასაფილევად განკუთხილ რძეს ვარცლებით ჩამოსდგამდნენ; „საფილავის“ სახელწოლებაც ამ ელემენტზე გადმოვიდა.

აქედაც უნდა აღინიშვის, რძის „სატესულაში“ ხებორი რძის პროდუქტების დამზადება-შენახვა, „საფილავში“ კი — მხოლოდ დამზადება.

„საფილავში“ სრულდებორი შემდეგი პროცესები:

I. რძის დასხმა პირფართო ხის ვარცლებზე რძის პირის — ნაღების მოსაყენებლად — „დაფილვა“.

II. რძის პირის — ნაღების მოხსნა — „წაფილვა“.

შემდგომ რძეს ყველის ამოსაღებად განკუთხილ ჭურჭელში გადასხამდნენ, რძის პირს — ნაღებს კი სანილებში ჩასხსამდნენ და სახლში შეიტანდნენ შემდგომი პროცესების შესასრულებლად.

საინტერესო თვითონ ტერმინი — საფილავი, რომელიც ნაწარმოები უნდა იყოს ფილ-ფუძისაგან. ფილ-ფუძისაგან არის ნაწარმოები სხვადასხვა პირგანირი ხის ჭურჭლეულის სახეები — ფილი, ფილობი, ჭამფილა და სხვა. სულხან-საბა არბელიანთან „ფილი — ტაშტია ჭელის საბანი, ფილად ითქმის დიდი როდინი“ [6].

ამავე სატყვიდან არის ნაწარმოები ფილჯამიც, ფილჯამი — დიდი ჭამი ჭამი კი არის „ყოველგვარი ჭურჭელი ნოტიოთა: ბაღია, ლოდა, ლოდაკი, უსტურა, პინა, ფილჯამი“ [6].

ჩუბინაშვილთან „ფილი არის დიდი როდინი“ [7], ჭამი კი „ჭურჭელი წნოკანთა სანვაგეთა მისართმევი, სახელნი ამისანი არიან: ბაღია, ლოდა, პინა, პინაკი, უსტურა, ფილჯამი და სხვა“ [7].

მაშასადმე, ჭამთან დაკავშირებული ჭურჭლეულობა არის განკუთვნილი თხიერი მძისიანი „რაც დასათხეველი რამ არის“ [6]. მაგრამ, როგორც ი. აბულაძის ლექსიკონი იმ ტექსტთან დაკავშირებით მოყვანილ ძევლი აღთქმის ტექსტიდან ჩანს. ტილი გამოყენებული ყოფილა არა მარტო „წნოკანთათვის“ არმენ რძის პროდუქტებისავათ კერძოდ ერბოსთვის „ფილითა წყლისათვა და მოართვა მას ერბოდ“ (M, მსჯ, 25) [8].

ეთნოგრაფიული სისის ლიტერატურიდანც ჩანს, რომ რაჭაში გვერცელებულ თხის ჭურჭლეულობაში გვხვდება ფილი, რომელიც ძირითადად რძის მოსავავებელი ჭურჭელია, მაგრამ ამოიყენება ივრეოვე ერბოსა და ხაჭის შესანახადაც [9]. აქედან გამომდინარე, შესაძლებელია ტერმინი „საფილვი“ თავდაპირველად სწორედ რძის დასასხმელ პირფართო ხის ჭურჭელს ერქა. ამის დამადასტურებლად შეიძლება მეტველებდეს ის ფაქტიც, რომ მთხრობელობა ხანახან ვარცლებს, რაზედაც რძეს ასხამენ, „საფილავის ვარცლებს“ ან უბრალოდ „საფილავის“ უწოდებენ.

თვითონ ნაგებობა „საფილავის“ ასებობა კი შეიძლება დაკავშირებული იყოს ქემო ქართლში ფართოდ გვერცელებულ „ხანულობის“ (რძის გასესხების) წესთან, რაღაც ხანულობის პერიოდში მოსახლეს დიდი როდინობით უგროვდებორთ „დახანულებულებისაგან“ რძე. მის დასაფილად კი საქორი იყო დიდი მასშტაბის სათავსო, რომელსაც, შესაძლებელია, ამ სახით აშენებდა რამდენიმე ღაზი ერთად და ხანულობის პერიოდში რიგრივობით გამოიყენდნენ. მაშინ სწორედ აქედაც უნდა იქნას ასნილი ის გარემოებაც, რომ „საფილავი“ საცხოვრებელი სახლითან მოშორებით ცალკე იღმებორდა, როგორც ღრმებითი სათავსო რამდენიმე კომლის საზიარო სახმარად.



არსებობით კი ისაა, რომ „სარძეულა-საფილავი“, ისევე როგორც ხულა სახლის „სარძიები“, ხევსურული კალთანი სახლის „სენეს“ აშენების დროს დაცული იყო ერთი ძირითადი პრინციპი — ისინი სახლის ისეთ კუთხედებში ან ადგილებში უნდა გავეთებულიყო, სადაც ქარი უკეთ შოხედებოდა და იმოძრავებდა მასში სტირო ტემპერატურული რეზიმის დასამყარებლად, რაც ნაღების შოსაგდებად იყო საჭირო. მისიათვის ხევსურულ „სენეს“ დატანებული ჰქონდა „შუქუმები“, აქარულ სარძიებს — „შიჭინები“, სარძეულას — „შუშრუტანები“, საფილავი კი წერტილისაგან თხლად იწნებოდა ისე, რომ ზეგ ნიავს თავისუფლად ემოძრავა.

ამინიჭად „სარძეულა-საფილავის“, ისევე როგორც „სენე“-„სარძიების“ ძირითად მიზანს წარმოადგენდა ჰერის ხელოვნური ცირკულაციის შეშევებით მაღალი ხარისხის კარაქის მიღება. ეს გარემოება, როგორც ლიტერატურული ძლინიშნება, მიჩნეულია ხალხის მეურნეობრივ მოღვაწეობაში რაციონალური სახის მიეცვლევად.

საქართველოს სსრ მცნიერებათა აკადემია
და ჯავახიშვილის სახელმის ისტორიას,
არქიოლოგიისა და ეთნოგრაფიის ინსტიტუტი

(შემოვად 19.7.1974)

ЭТНОГРАФИЯ

Т. Ш. ЦАГАРЕШВИЛИ

СПЕЦИФИЧЕСКИЕ ХОЗЯЙСТВЕННЫЕ ПОСТРОЙКИ ДЛЯ МОЛОЧНЫХ ПРОДУКТОВ В НИЖНЕЙ КАРТЛИ

Резюме

До последнего времени в Нижней Картли бытовали два типа хозяйственных построек для молочного производства: «сапилави» (Болнисский и Дманисский районы) и «сардзеула» (Тетришварийский район).

«Сапилави» представляет собой отдельное строение для изготовления молочных продуктов. Этот тип хозяйственной постройки, по-видимому, является одной из разновидностей, бытовавшей в Восточной Грузии формы трудовой кооперации «ханулоба», широко распространенной в Нижней Картли.

В отличие от «сапилави», «сардзеула» входит в жилой комплекс как отдельное помещение для обработки и хранения молочных продуктов и имеет аналогии со специальными помещениями в различных районах Грузии (хевсурское «сене», аджаро-месхское «сардзне»).

В Грузии хозяйственные постройки и помещения для молочного производства сооружались по одному и тому же принципу. При строительстве таких сооружений особое внимание уделялось созданию благоприятных условий для естественной вентиляции нужного температурного режима.

ETHNOGRAPHY

T. Sh. TSAGAREISHVILI

SPECIFIC ECONOMIC BUILDINGS FOR MILK PRODUCTS IN “KVEMO KARTLI” (LOWER KARTLI)

Summary

Until recently there existed two types of milk-economy buildings in Kvemo Kartli: *Sapilavi* in the Bolnisi and Dmanisi districts and *Sardzeula* in the Tetritskaro district.

Sapilavi was a separate building where milk products were produced. This type of building was apparently related to a form of collective production of dairy products widespread in the Bolnisi-Dmanisi area, being a variety of *Khanuloba* or cooperative work prevalent in Eastern Georgia.

Unlike *Sapilavi*, *Sardzeula* was a separate room in the dwelling in which milk products were prepared and kept. It has analogies with special rooms in various regions of Georgia (*Khevsurian Sene*, *Ajaro-Meskhan Sardzie*).

In Georgia dairy-economy buildings and rooms were built according to one and the same principle. The buildings were placed on sites with favourable conditions for natural ventilation and providing the necessary temperature regime.

ლიტერატურა — ЛИТЕРАТУРА — REFERENCES

1. გ. ჩიტაია. ხევსურული სახლი „სენე“. თბილისი, 1947.
2. მ. ბერძნეშვილი. ნიკორწმინდის „დაწერილი“ (ტექსტის გმილურისათვეს) მასალები. საქართველოსა და კოკასიის ისტორიისათვეს, ნავ. 34. თბილისი, 1962.
3. ვ. შამილაძე. აღმური მესაქონლეობა საქართველოში. თბილისი, 1965.
4. თ. ჩიჭოვანი. მთური ჯარგვალი ჯართულ-კავკასიური ეთნოგრაფიული მასალის შექმნები 1. თბილისი, 1964.
5. გ. ჩიტაია. გლეხის სახლი ქვაბლიანში. შიმომხილველი, I. თბილისი, 1926.
6. სულხან-საბა თრბელიანი. სიტყვის კონ. თბილისი, 1949.
7. ნ. ჩუბინიშვილი. ქართული ლექსიკონი. თბილისი, 1951.
8. ი. აბულაძე. ტელი ქართული ენის ლექსიკონი. თბილისი, 1973.
9. მ. ზანდუკველი. ძეგლის მეცნიერი. 34. თბილისი, 1974.

К СВЕДЕНИЮ АВТОРОВ

1. В журнале «Сообщения АН ГССР» публикуются статьи академиков, членов-корреспондентов, научных работников системы Академии и других ученых, содержащие еще не опубликованные новые значительные результаты исследований. Печатаются статьи лишь из тех областей науки, номенклатурный список которых утвержден Президиумом АН ГССР.

2. В «Сообщениях» не могут публиковаться полемические статьи, а также статьи обзорного или описательного характера по систематике животных, растений и т. п., если в них не представлены особенно интересные научные результаты.

3. Статьи академиков и членов-корреспондентов АН ГССР принимаются непосредственно в редакции «Сообщений», статьи же других авторов представляются академиком или членом-корреспондентом АН ГССР. Как правило, академик или член-корреспондент может представить для опубликования в «Сообщениях» не более 12 статей разных авторов (только по своей специальности) в течение года, т. е. по одной статье в каждый номер, собственные статьи — без ограничения, а с соавторами — не более трех. В исключительных случаях, когда академик или член-корреспондент требует представления более 12 статей, вопрос решает главный редактор. Статьи, поступившие без представления, передаются редакцией академику или члену-корреспонденту для представления. Один и тот же автор (за исключением академиков и членов-корреспондентов) может опубликовать в «Сообщениях» не более трех статей (независимо от того, с соавторами она или нет) в течение года.

4. Статья должна быть представлена автором в двух экземплярах, в готовом для печати виде, на грузинском или на русском языке, по желанию автора. К ней должны быть приложены резюме — к грузинскому тексту на русском языке, а к русскому на грузинском, а также краткое резюме на английском языке. Объем статьи, включая иллюстрации, резюме и список цитированной литературы, приводимой в конце статьи, не должен превышать четырех страниц журнала (8000 типографских знаков), или шести стандартных страниц машинописного текста, отпечатанного через два интервала (статьи же с формулами — пять страниц). Представление статьи по частям (для опубликования в разных номерах) не допускается. Редакция принимает от автора в месяц только одну статью.

5. Представление академика или члена-корреспондента на имя редакции должно быть написано на отдельном листе с указанием даты представления. В нем необходимо указать: новое, что содержится в статье, научную ценность результатов, насколько статья отвечает требованиям пункта 1 настоящего положения.

6. Статья не должна быть перегружена введением, обзором, таблицами, иллюстрациями и цитированной литературой. Основное место в ней должно быть отведено результатам собственных исследований. Если по ходу изложения в статье сформулированы выводы, не следует повторять их в конце статьи.

7. Статья оформляется следующим образом: вверху страницы в середине пишутся инициалы и фамилия автора, затем — название статьи; справа вверху представляющий статью указывает, к какой области науки относится она. В конце основного текста статьи с левой стороны автор указывает полное название и местонахождение учреждения, где выполнена данная работа.

8. Иллюстрации и чертежи должны быть представлены по одному экземпляру в конверте; чертежи должны быть выполнены черной тушью на кальке. Надписи на чертежах должны быть выполнены каллиграфически в таких размерах, чтобы даже в случае уменьшения они оставались отчетливыми. Подрисуночные подписи, сделанные на языке основного текста, должны быть представлены на отдельном

листе. Не следует приклеивать фото и чертежи к листам оригинала. На ~~подложке~~ ~~оригинале~~ оригинала автор отмечает карандашом, в каком месте должна быть помещена та или иная иллюстрация. Не должны представляться таблицы, которые не могут уместиться на одной странице журнала. Формулы должны быть четко вписаны чернилами в оба экземпляра текста; под греческими буквами проводится одна черта красным карандашом, под прописными — две черты черным карандашом снизу, над строчными — также две черты черным карандашом сверху. Карапашом должны быть обведены полукругом индексы и показатели степени. Резюме представляются на отдельных листах. В статье не должно быть исправлений и дополнений карандашом или чернилами.

9. Список цитированной литературы должен быть отпечатан на отдельном листе в следующем порядке. Вначале пишутся инициалы, а затем — фамилия автора. Если цитирована журнальная работа, указываются сокращенное название журнала, том, номер, год издания, а если цитирована книга, — полное название книги, место и год издания. Если автор считает необходимым, он может в конце указать и соответствующие страницы. Список цитированной литературы приводится не по алфавиту, а в порядке цитирования в статье. При ссылке на литературу в тексте или в сносках номер цитируемой работы помещается в квадратные скобки. Не допускается вносить в список цитированной литературы работы, не упомянутые в тексте. Не допускается также цитирование неопубликованных работ. В конце статьи, после списка цитированной литературы, автор должен подписаться и указать место работы, занимаемую должность, точный домашний адрес и номер телефона.

10. Краткое содержание всех опубликованных в «Сообщениях» статей печатается в реферативных журналах. Поэтому автор обязан представить вместе со статьей ее реферат на русском языке (в двух экземплярах).

11. Автору направляется корректура статьи в сверстованном виде на строго ограниченный срок (не более двух дней). В случае невозврата корректуры к сроку редакция вправе приостановить печатание статьи или напечатать ее без визы автора.

12. Автору выдается бесплатно 25 оттисков статьи.

(Утверждено Президиумом Академии наук Грузинской ССР 10.10.1968; внесены изменения 6.2.1969)

Адрес редакции: Тбилиси 60, ул. Кутузова, 19, телефоны 37-22-16, 37-93-42.

Почтовый индекс 380060

Условия подписки: на год — 12 руб.

କବିତାରେ ପାଦମଣିକାନ୍ତଙ୍କାରୀ

2. „მოამბეში“ არ უცილება გამოქვეყნდეს პალემიტური წერილი, აგრძეთვე მიმოხილვითი ან აღწერითი ხასიათის წერილი ცხოვლათა, მცნობრეთა ან სხვათ სისტემაზე, თუ მასში მოცემული არა მცნობებისათვის განსაკუთრებით სიინტერესით შედგები.

3. საქართველოს სსრ მცუნიერებათ აყალიბის ფადემიკსთა და წევრ-კორესპონდენტთა შერჩევის უშაულოდ გადაცემი გრძისაქვეყნებლად „მოაბისა“ რეაქტებას, ხოლო სხვა აუტორთა წერილები ქვეყნებდა აყალიბიკსთა ან წევრ-კორესპონდენტთა წარდგინებით. როგორც წესი, აყალიბიკოსს ან წევრ-კორესპონდენტს „მოაბისა“ დასაბუჭლად წერლიაზე შეცდილი წარმოადგინოს სხვა აეტორთა არაუმეტეს 12 წერილის (პლოლო თავისი სკეკვალობის მახსედვით), ე. ვ. ითოვოვან ნომერის წერილი. საუკუნე წერილი არამარტინ სურს, რომ თანამეტობობით ურთად — არაუმეტეს სამი წერილის. გამონალის შემთხვევაში, როცა აყალიბიკოს ან წევრ-კორესპონდენტი მოთხოვს 12-ზე მეტი წერილის წარდგენას, საკითხს წყვეტს მთავრი რედაქტორი. წარდგინების გრატუშე შემსასულ წერილს „მოაბისა“ რეაქტება წარმოსადგენად გადასცემს აყალიბის ან წევრ-კორესპონდენტს. ერთსა და იმავე აუტორს (გარდა აყალიბისასა და წევრ-კორესპონდენტის) წერლიაზე შეცდილია „მოაბისა“ გამოაქვეყნოს არა შემეტეს სამი წერილის (სულ ერთია, თანააუტორებთან იქნება იგი, თუ კაჟე).

4. წერილი წარმოდგენილ უნდა იყოს ორ კალაბ, დასახურდად სავსებით შეა სპილო, ავტორის სურვილისამებრ ქართულ ან რუსულ ენაზე, ქართულ ტექსტს თან უნდა ახლდეს რუსული და მოკლე ინგლისური რეზიუმე, ხოლო რუსულ ტექსტს — ქართული და მოკლე ინგლისური რეზიუმე. წერილის მოცულობა ილუსტრაციებითია, რეზიუმებითა და ღა- მოწმებული დოკუმენტის ნუსხითურთ, რომელიც შეს ბოლოში ერთოვანია ან უნდა აღმატე- ბოდეს უკრაინის 4 გვერდს (3000 სასტაბი ჩისანი), ანუ საწერ მანებანებ ირა ინტერავლით გადაწერილ 6 სტანდარტულ გვერდს (ფორმულებითი წერილი კი 5 გვერდს). არ შეიძლება წერილების ნიტილებად დაყოფა სხვადასხვა ნომერში გამოსავევნებლად. ავტორისაგან რედაქ- ცია ლიტერატურული თავმიზი შეოროვა ერთ წერილს.

5. အောက်ဖော်ပြန်စာ ၁၆ အောက်မိမိ၏ နှံချုပ်-ကျော်ဆောင်ရွက်စာ နှံလွှာဂျို့မာ လူထားပြုပါသော စာအံ့ဩ။

7. წერილი სა ფორმდება: თავში ზემოთ უნდა დაიწეროს აეტონის ინიციალება და გვა-რი, ქვემოთ — წერილის სათავრი. ზემოთ მარჯვენა მხარეს, წარმომეტენა უნდა წაწერის, თუ მეცნიერების რომელ დარღს განეკუთვნება წერილი. წერილის ძირითადი ტექსტის ბოლოს, მარცხნი მხარეს, აეტონმა უნდა აღიმოს იმ დაწესებულების სრულ სახელწოდება და აფ-იონისათვაზეთბოდა. სათავ შეისრულობითია შერომა.



ბის დაწესება დელნის გვერდებზე. ფეტორშა დელნის კიდეზე ფანჯრით უნდა აღნიშვნის აუკანვითი და აღვილას მოთავსდეს ესა თუ ის ილუსტრაცია. არ შეიძლება წარმოდგენილ იქნეს ისეთი ცხრილი, რომელიც უურნალის ერთ გვერდზე ვერ მოთავსდება. ფორმულები მელნით მკაფიოდ უნდა იყოს ჩაწერილი ტექსტის არივა ევნებილარმა: ბერძნულ ასოები ქვემო უკელვანი უნდა გაესას თოთ ხაზი წითელი ფანჯრით, მთავრულ ასოებს — ქვემოთ არ-ორი პატრა ხაზი შევი ფანჯრით, ხოლო არამთავრულ ასოებს — ზემოთ ორ-ორი პატრა ხაზი ფანჯრით. ფანჯრითვე უნდა შემოიფარგლოს ნახევარწრით ნაშანებიც (ინდექსები და ხარისხის მაჩვენებლები). რეზიუმები წარმოდგენილ უნდა იქნეს ცალ-ცალკე უზრულებზე. წერილში არ უნდა იყოს ჩასწორებები და ჩამატებები ფანჯრით ან მღლინით.

9. დამოწერბულ ლიტერატურა უნდა დაბეჭილოს ცალკე უზრულებზე. საჭიროა დაცულ იქნეს ასეთი თანმიმდევრობა: ავტორის ინიციალები, გვარი. თუ დამოწერბულია საუზრულო შრომა, ვერწენოს უურნალის შემოყლებული სახელწოდება, ტომი, ნომერი, გამოცემის წელი. თუ დამოწერბულია წიგნი, აუცილებელია ვერწენონ მისი სრული სახელწოდება, გამოცემის აღვალი და წელი. თუ ავტორი სავიროლ მიიჩნევს, ბოლოს შეუძლია გვირდების ნუშერვალაც უწევონ. დამოწერბული ლიტერატურა უნდა დალაგდეს არა აბანური წესით, არამედ დამოწერბის თანმიმდევრობით, ლიტერატურის მისათხოვბლად ტექსტსა თუ შენიშვნებში კვალდარულ ფრჩხილებში ნაჩვენები უნდა იყოს შესაბამისი ნომერი დამოწერბული შრომისა. არ შეიძლება დამოწერბული ლიტერატურის ნუსხაში შევიტანოთ ისეთი შრომა, რომელიც ტექსტში მითხოვბული არ არსოს ასევე არ შეიძლება გამოშვევეცნებელი შრომის დამოწერა. დამოწერბული ლიტერატურის ბოლოს ავტორმა უნდა მოაშეროს ხელი, აღნიშნოს სად მუშაობს და რა თანამდებობაზე, უჩევნოს თავისი ზუსტი მისამართი და ტალეფონის ნომერი.

10. „მოაბეში“ გამოვევეცნებული კველა წერილის მოკლე შინაარსი იბეჭდება რეფერატულ უურნალებში. ამიტომ აეტორმა წერილთან ერთად აუცილებლად უნდა წარმოადგინოს მისი რეფერატულ ენაზე (ორ ცალდა).

11. ავტორს წასაკითხად ეტლება თავისი წერილის გვერდებად შეკრული კორექტურა მეაცრად განსაზღვრული ვადით (არაუმეტეს ორი დღისა). თუ დალევნილი ვადისათვის კორექტურა არ იქნა დამტორბებული, რედაქციას უფლება აქვს შეაჩეროს წერილის დაბეჭდა ან დაბეჭდოს იგი აეტორის ვიზის გარეშე.

12. ავტორს უფასოდ ეტლევა თავისი წერილის 25 ამინაბეჭდი.

(დამტკიცებულია საქართველოს სსრ მეცნიერებათა აკადემიის
პრეზიდიუმის მიერ 10.10.1968; შეტანილა ცელლებები 6.2.1969)

რედაქციის მისამართი: თბილისი 60, კუტუროვის ქ. № 19; ტელ. 37-22-16, 37-93-42.

საფოსტო ინდექსი 380060

ხელ მთწერის პირთხები: ერთობით წლით 12 მან.

6 30/56



1960 г. №56.
ЦЕНА 1 РУБ.

ИНДЕКС 76181